

MINISTERUL EDUCAȚIEI SI INVATAMÂNTULUI
INSTITUTUL POLITEHNIC "TRAIAN VUIA" TIMIȘOARA
FACULTATEA DE INGINERIE CHIMICA

Ing. VASILE D. JĂSCANU

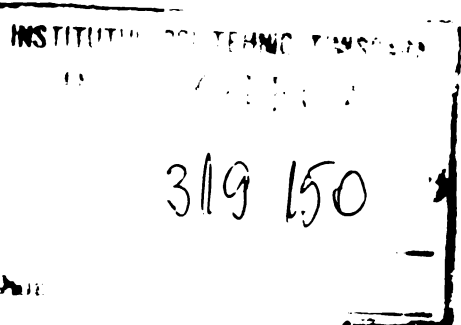
CONTRIBUTII LA STUDIUL TRANSFERULUI CALDURII
LA FIERBEREA SOLUTIILOR SI AMESTECURILOR CU
IMPORTANTA TEHNOLOGICA

BIBLIOTeca CENTRALĂ
UNIVERSITATEA "POLITEHNICA"
TIMIȘOARA

TEZA DE DOCTORAT

Conducător științific:
Prof.dr.ing. ZENO GROPSIANU

- 1 9 7 6 -



C U R I U S
oooooooooooo

LITERATURĂ	5
Partea I	
Capitolul 1. FIERBEREA METALURGICĂ	
1.1. Aspecte generale ale fierberii	8
a. Fierberea în bale	10
b. Fierberea de transiție	11
c. Fierberea peliculată	12
1.2. Fierberea în bale (cuolenii)	13
a. Cauții fundamentale de suprafață	13
b. Nucleația oxigenii	15
c. Nucleația heterogenii	17
d. Nucleația în caza preexistenței fazei gazei sau vaporilor	19
1.3. Corelația dintelor experimentale la fierberea în bale	20
a. Problemele corelării dintelor experimentale în transfacerul căldurii la fierbere	20
b. Fierberea în convecție naturală	21
Capitolul 2. FIERBEREA SOLUȚIILOR DE ALEAȚECUZILE	
2.1. Fierberea în bale a soluțiilor	27
a. Fierberea soluțiilor cu un component solid	30
b. Fierberea soluțiilor cu doi compoziți solidi	34
2.2. Fierberea în bale a acetocuzilor binari	35
Capitolul 3. METALURGIE IN INDUSTRIUL TRANSFORMATOR	
CAPITOLUL 4. FIERBERE	
3.1. Clasificarea acetocuzelor experimentale	40

3.2. Tipuri reprezentative de aparatate experimentale utilizante în studiul transferului căldurii în fierbere	42
3.2.1. Aparate cu suprafață de transfer de căldură formată dintr-un fiz metalic	42
3.2.2. Aparate cu suprafață plană de transfer de căldură	43
3.2.3. Aparate cu suprafață cilindrică de transfer de căldură	43
3.3. Principiul de calcul al transferului căldurii în fierbere în aparatate experimentale	49
Întrebări, CONCLUCII ORIGINALE A STUDIUL EXPERIMENTAL VELICOVĂ LA FIERBEREA ALU-MECURILOR SI SOLUȚIILOR	

Capitolul 4. APLICAȚIA UTILIZAREI FIERBEREI EXPERIMENTALE A COMPLEXULUI DE TRANSFER DE CALDURA LA PLASERIE

4.1. Aparatul experimental cu corp încălzitor cilindric orizontal cu încălzire electrică	55
4.2. Aparatul experimental cu corp încălzitor cilindric orizontal, cu agent încălzitor vaporii de sareuz	60
4.3. Aparatul experimental cu corp încălzitor sub focul de fiz metalic, utilizat în studiul fierberii	64

Capitolul 5. APLICAȚIA PRACTICĂ ÎMPREUNĂ CU ÎNCAPACITĂȚILE DE TRANSFER DE CALDURA și LA PLASERIEA ALU-MECURILOR CU IMPORTANȚĂ TEHNOLΟGICĂ

5.1. Determinarea experimentală a coeficientelor de transfer de căldură și la fierberea oxotecurilor dinții caprelor - apl	68
5.2. Determinarea experimentală a coeficientilor de transfer de căldură și la fierberea oxotecurilor	

binare caprolactam-benzen	• • • • •
3.3.	Determinarea experimentală a coeficienților de transfer de căldură la fierberea acetatoacrilor toluenice de α -(β -mioctil)-caprolactam (HOCCL) • • • •
3.4.	Determinarea experimentală a coeficienților de transfer de căldură \propto la fierberea acetatoacrilor apăase de α -(β -mioctil)-caprolactam (HOCCL) • • • •
3.5.	Determinarea experimentală a coeficienților de transfer de căldură \propto la fierberea acetatoacrilor tamox caprolactam-alcool etilic-apa • • • • • • •
3.6.	Determinarea experimentală a coeficienților de transfer de căldură \propto la fierberea soluțiilor de antimon în acetilenoglicol (HGC) • • • • • • • •
3.7.	Comparări de fierbere ale acetatoacrilor studiate •
3.8.	Transpunerea pe calculatoare, în limbaj MISTRAL, a rezultatelor punctu calculul coeficiențului de transfer de căldură \propto la fierbere (exemplu numeric) • • •
3.9.	Aprecieri cu privire la determinarea experimentală a coeficienților de transfer de căldură \propto la fierberile acetatoacrilor cu importanță tehnologică studiate • • • • • • • • • • • • • • • • • • 3 •
Capitolul 6.	<u>STUDIUL TRANSPERMUII CALORII LA FIERBEREA IN BULE A SOLUȚILOR APOASE DE SUBSTANȚE CU SOLUBILITATE LIMITATĂ</u>
6.1.	Aspecte fizico-metematice privind calculul coeficienților de transfer de căldură la fierberea soluțiilor apăase de substanțe cu solubilitate limitată •
6.2.	Interpretarea datelor experimentale la fierberea în bule a soluțiilor apăase de substanțe cu solubilitate limitată. Stabilirea unei noi relații de calcul • • • • • • • • • • • • • • • • •

3. Posibilitățile de aplicare ale soluției stabilită în proiectarea termică a unor instalații	132
4. Modelul matematic al transferului de căldură la fierberea soluțiilor apăice de substanțe cu solubilitate limitată. Programul pe calculator în limbaj FORTRAN .	134
5. Aprecieri cu privire la problematicii abordate	142
rezumatul I. STUDIUL EXPERIMENTAL COMPARATIV AL COMPARABILITATII DINTRE METODA CU FIR SI METODA CU TUB CILINDRIC ORIZONTAL	
1. Determinarea experimentale a coeficientilor de transfer de căldură ∞ la fierbere pe aparatul cu fir	144
a. Determinări experimentale ale coeficientului de transfer de căldură ∞ la fierberea apăi distilate	145
b. Determinări experimentale ale coeficientului de transfer de căldură ∞ la fierberea emulsiei	149
c. Determinări ale coeficientului de transfer de căldură ∞ la fierberea anestecicului de 30% masă de $n-(\beta-\text{ciacostil})-\text{caprolactam}$	154
2. Aprecieri cu privire la posibilitățile de utilizare a aparatului cu fir metalic la determinarea valorilor coeficientului de transfer de căldură ∞ la fierbere, cu valabilitate aplicativă practică . .	159
OCLUZII	160
otopii utilizate	167
bibliografie	170

1.0. PROIECTAREA

Congresul al XX-lea al Partidului Comunist Român a stabilit direcțiile fundamentale ale dezvoltării viitoare a societății românești pe calca oeconomismului și corporatismului. Prin directivile sale, ca privire la planul cincinal 1976-1980 și linile directoare ale dezvoltării economico-oecunale a României pentru perioada 1981-1990, Congresul al XI-lea al PCR a asigură creșterea în ritmuri lente și modernizarea producției materiale pe baza continuării formei de politică de industrializare, perfecționarea relațiilor de producție, a relațiilor sociale, în general, ridicarea nivelului de trai material și spiritual al poporului român.

O tehnologie definitivă a prevederilor inscrise în directive o constituie coextensia întreilor calitative ale activității în toate cecocarele vieții social-economice, condiția primordială pentru crearea unui economii moderne, dinamice, în sfârșit să încorporeze cacezirile științei și tehnicii înaintate, să aducă zdrobătoria pe scară largă, proiectul multilateral al întregii societăți.

În acest context, industria chimică va cunoaște o puternică dezvoltare în vederea valorificării cuporicioare a resurselor de antorii prime întâi și fabricării unui gama largă de produse, corespondență nevoilor economiei naționale. În 1980 producția industrială chimică va fi de 1,6 - 1,8 ori mai mare decât în 1975. Un obiectiv de încredință deosebită rămâne și de ani departe folosirea cu un raționalizări a borselor energetice.

În lumina acestor consideranțe, studiul transferului căldurii la fierberea soluțiilor și anotocuzilor cu importanță tehnologică, studiu ce pune la dispoziție o serie de date practice utilizabile în mod curios la proiectarea tehnicii a unor inovații industriale,

peste constituie o contribuție modestă în traiectoria în viință a urmă din dezideratele prevăzute în directive, respectiv a noilelor referitoare la acordarea și proiectarea utilajelor necesare industriei chimice din țara noastră. În același timp, utilizarea acestor date ar permite realizarea unor instalații cu un consum național de energie termică.

În partea Iatăcă a tesei se prezintă date din literatură cu privire la transferul de căldură la fierbere și apărute pentru determinarea coeficientului de transfer de căldură și la fierbere. Sectionarea căi această parte cuprinde doar unele aspecte ale problemelor care au strictă legătură cu partea experimentală.

În partea a doua a tesei se prezintă rezultatele următoarelor cercetări de interes pentru industria chimică:

- determinarea coeficienților de transfer de căldură și la fierbere, pentru acetoneuri apărate și benzene de caprolectan și stabilirea unei relații simple pentru calculul acestora;
- determinarea coeficienților de transfer de căldură și la fierbere, pentru acetoneuri apărate și tolueno de n-(β-acetoxiostil)-caprolectan și stabilirea unei relații simple pentru calculul acestora;
- determinarea coeficienților de transfer de căldură și la fierbere, pentru acetoneuri termore caprolectan-apă-alcool etilic și stabilirea unei relații simple pentru calculul acestora;
- determinarea coeficienților de transfer de căldură și la fierbere, pentru soluții binare de acetona în acetileniglicol și stabilirea unei relații simple pentru calculul acestora;
- stabilirea unei noi relații de regularitate a variației valorilor coeficienților de transfer de căldură și la fierbere soluțiilor apărate de substanțe cu solubilitate limitată;

- stabilirea unei noi relații de calcul a coeficientului de transfer de căldură \propto la fierberea soluțiilor apăsate de substanțe cu solubilitate limitată;
- transpunerea pe calculator, în limbaj FORTRAN, a rezultatelor de calcul a valorilor coeficienților de transfer de căldură \propto la fierbere, cu exemplificare numerică;
- studii privind corelațarea datelor experimentale la determinarea coeficienților de transfer de căldură \propto la fierbere, pe aparatul experimental cu fir metalic încălzitor și pe aparatul cu corp cilindric încălzitor.

În rămășiș faptul că, determinările experimentale s-au efectuat pe instalații de laborator originale, proiectate și construite în cadrul laboratorului de Operații și Apașate din Industria Chimică, Facultatea de Inginerie Chimică București.

O mare parte din problemele tratate în lucrare, reprezentă pînă în prezent problema de transferul de căldură la fierbere, din diferite contracte de cercetare științifică (paragrafele 3.3., 3.4., 3.6.). Unele din aceste contracte, momentan, se găsesc înaintea fazelor de pilotare (ex: parificarea antrenorului indigen de 90% puritate) alttele, în faza faza de inovație industrială și brevetarea tehnologici adoptate (ex: sinteza n-(β -acionoxtil)-caprolactonului).

Problemele tratate în teză reprezintă deci, obținerea unor date experimentale și propunerea unor metode de calcul termic, care să rezultă din cele arătate mai sus, care ar putea constitui și în viitor obiective ale unor alte contracte de cercetare științifică, referitoare la alte soluții și anestezici cu importanță tehnologică, respectiv proiectarea utilajelor corespondătoare.

P A R T E A I - a

**ASPECTE TEORETICE PRIVIND FIERBEREA LICHIDALOR
PURE, A SOLUTIILOR SI A AMESTECURILOR**

CAPITOLUL 1.

FIERBEREA LICHIDELOR PURE

1.1. Aspecte generale ale fierberii

Transformarea de fază lichid-vapori prezintă o importanță foarte mare în procesele calorice, atât în domeniul cercetărilor experimentale și fundamentale cât și în domeniul tehnicii industriale. Cu toate acestea, fierberea, adică formarea intensă a vaporilor în interiorul lichidului, precum și cedarea căldurii prin fierbere au fost relativ mai puțin cercurate. Descoperirea unor fenomene noi, au dat semnalul pentru începerea unor studii de prin anul 1934, al acestui proces. Intensificarea cercetărilor experimentale și teoretice au fost favorizate și de dezvoltarea impetuosă industrială în general, respectiv a industriei chimice, a energiei nucleare, etc., la care transferul de căldură prin pereții vaselor la lichide care fierb, sau în sensul invers, reprezintă o importantă fază tehnică, științifică și economică.

Cercetările s-au orientat, pe de o parte asupra stabilirii mecanismului, a cineticii fierberii, pe de altă parte pentru stabilirea experimentală a coeficienților parțiali de transfer de căldură la fierbere. Astfel, multe studii experimentale se ocupă cu problema dedării căldurii la fierberes speci la presiune atmosferică și la alte presiuni, precum și a altor lichide organice sau anestecuri¹⁻¹³.

Ipoteza emisă de mult cu privire la diferența mare de temperatură dintre pereții vasului în care se face fierberea și lichidul care fierbe, a precisat concluzia că transferul de căldură este relativ redus. Totuși, mult timp nu s-a studiat legătura ce ar exista între temperatură suprafetei calde și viteză de fierbere (deci problema transferului de căldură la fierbere).

Mukiyama¹⁴ în 1934 a fost primul care a studiat acest proces, în

casul apoi, cu ajutorul unui fir de platiniă scufundat în ea și încălzit electric. El a constatat că mărind treptat curentul, temperatura sîrmei crește pînă la valoarea de 150°C cînd fierberea este deja puternică, ca apoi la o mărire în continuare a curentului, temperatura să rămîne constantă și apoi să crească brusc la 1000°C , mărindu-se în continuare încet pînă la topirea sîrmei.

La realizarea inversă a procesului, de răcire a firului încălzitor, de la 1500°C prin micorarea treptată a curentului de alimentare, s-a observat că viteza de fierbere scade pînă la cca. 300°C și apoi rămîne constantă în timp ce temperatura firului scade brusc la valori ceva mai mari de 100°C .

Pe baza acestei experiențe și a altora similare, s-a trăs concluzia că există o dependență între viteza de fierbere, v , și diferența de temperatură ΔT dintre temperatură suprafetei încălzitoare și temperatura de fierbere a lichenidului. Această dependență este redată în fig.1. Porțiunea dintre B și C reprezintă fază nestabilă

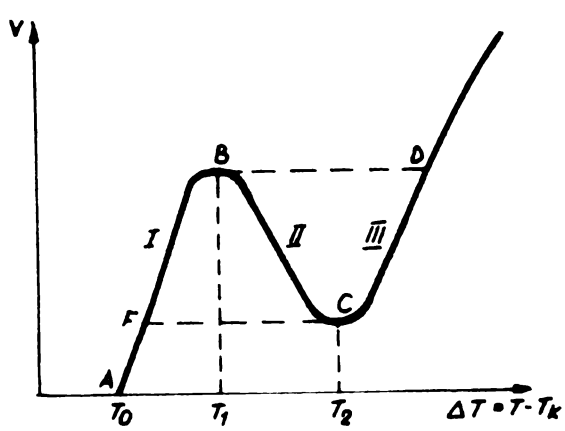


Fig.1.- Dependența vitezei de fierbere v de potențialul de temp. ΔT (egal cu diferența temp. încălzitorului și lichenidului la fierbere).

T_0 - temp. sîrmei coresp. încep. fierberii

T_1 - prima temp. critică coresp. sfîrșitului fierb. în bule

T_2 - a doua temp. critică ce se observă la răcirea încălzitorului în momentul sfîrșitului fierberii în peliculă.

care se observă în practică, doar la decurgerea foarte lentă a încălzirii, respectiv răcirii.

In anii următori anului 1934 au fost elaborate o serie de lucrări cu privire la dependența dintre coeficientul de transfer la fierbere α și încărcarea termică specifică q a suprafetei, respectiv

funcție de diferență de temperatură ΔT dintre peretele cald și lichid. Lucrările lui Mukiyama și a altor cercetători cu privire la apă, substanțe organice sau metale lichide sunt în evidență existența, cu precădere, a trei faze ale procesului de fierbere:

- fierberea în bule, nucleată sau de suprafață;
- fierberea de tranziție;
- fierberea peliculării, sau în film.

În afară de aceste trei tipuri de fierbere, faze obișnuite ale procesului de fierbere se mai amintesc încă alte două faze:

- fierberea lichidelor subrăcite;
- fierberea în volum a lichidelor.

In fig.2. se arată curba de fierbere a metanolului, obținută de Westwater¹⁵ cu un aparat utilizând drept corp de încălzire un tub orizontal de cupru, iar în fig.3. sunt indicate curbele obținute de Kusteladze¹⁶ pentru apă și metal lichid.

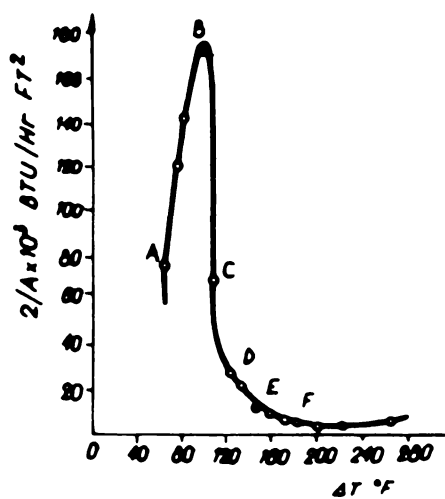


Fig.2.- Curba de fierbere pentru metanol.

?

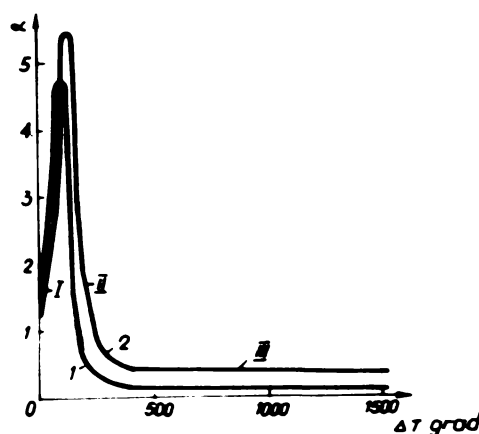
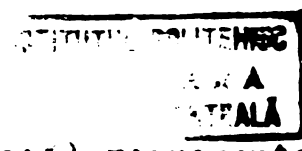


Fig.3.- Dependența coeficientului parțial de transfer de căldură α de ΔT la fierbere:

- apă;
- metal lichid
- în bule;
- de tranzitioriu;
- fierbere în peliculă



- Fierberea în bule (nucleată sau de suprafață) reprezentată prin porțiunea AB din fig.2., se caracterizează prin formarea de bule în anumite puncte ale suprafeței încălzitoare, numite centre active.

Fotografarea fenomenului arătă că drept puncte de nucleație pot servi unele neuniformități ale suprafeței (mici asperități, crăpături, impurități absorbite, iegituri ascunse), limite între cristale, etc.

Prin ridicarea temperaturii peretelui cald numărul centrilor activi crește, deci și numărul bulelor, respectiv și transferul de căldură. Cind toată suprafața devine centru activ, bulele acoperind întreaga suprafață, coeficientul de transfer de căldură la fierbere va atinge valoarea maximă. Această valoare poartă denumirea de α_{cr} (critic). Corespunzător acestei valori α_{cr} , există o diferență de temperatură critică ΔT_{cr} , respectiv o încărcare termică specifică critică q_{cr} a suprafeței.

Fierberea în bule prezintă importanță deosebită pentru transferul de căldură în procesele industriale.

b) Fierberea de tranziție, reprezentată prin porțiunea BCD a curbei din fig.2., a cărei instabilitate a susținut-o încă Nukiyama, nu este complet elucidată încă pînă astăzi. Ea apare din momentul unirii bulelor ce acoperă suprafața încălzitoare pînă la transformarea acestora într-o peliculă continuă. Transferul de căldură se desfășoară continuu împotriva diferenței de temperatură și măregite. Deci acest stadiu al fierberii face legătura între fierberea în bule și cea peliculară. În ultima vreme se fac foarte multe studii pentru elucidarea mecanismului acestei faze^{17,18,19}. Astfel, V.P. Skripov²⁰ a dezvoltat chiar o teorie termodinamică a schimbării caracterului fierberii. La baza acestei teorii stă presupunerea că stratul subțire de lichid aflat pe suprafața încălzitorului este suprainălțit, dar poate fi considerat și subîncălzit față de microbul ce apare în interiorul lui. La ridicarea temperaturii suprafeței, crește și temperatura stratului limită de lichid, ajungînd la o valoare maximă a suprainălțirii; în acest moment contactul dintre lichid și suprafața solidă

nu mai poate avea loc nici pentru intervale de timp foarte limitate și are loc deja fierberea în film. În concluzie, stadiului de fierbere tranzitorie îi corespunde un regim mixt de fierbere, în bule și film cu o succesiune în timp și în spațiu²⁰.

Drew și Mueller²¹ au obținut date experimentale pentru gaze lichide în regim tranzitoriu de fierbere pe tuburi de cupru încălzite cu vaporii (fig.4.). ... Westwater și Contangelo¹⁵ au fotografat fierberea tranzitorie arătând că aceasta diferă mult, atât de fierberea în bule cât și de cea în film. Tubul încălzitor este acoperit complet de vapori dar pelicula nu este netedă și stabilă. Filmările de mare viteză arată că vaporii se formează exploziv pe tubul încălzitor, localizati întâmplător fără ca să sporească influența vreunui centru activ.

c) Fierberea peliculară, reprezentată în fig.2. cu începere de la punctul E, se caracterizează prin aceea că bulele sunt aglomerate și sporește un film continuu de vapori care izolează complet stratul de lichid de suprafață solidă. Convecția în acest stadiu al fierberii închide să joace un rol iar valoarea coeficientului α scade puțin răminind unui aproape constantă, independentă de creșterea lui ΔT . Bulele nu se mai formează de suprafață ci la limite de separație dintre stratul de vapori și lichid și viteza de fierbere devine neînsemnată.

Fierberea peliculară a fost studiată de un număr mare de cercetaitori^{16,20,22-26}, atât experimental cât și sub aspectul teoretic al problemei.

De altfel, dintre cele trei faze ale fierberii, fierberea pelicu-

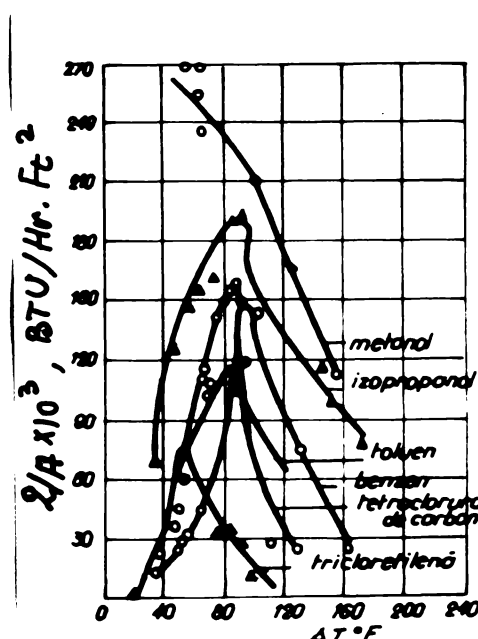


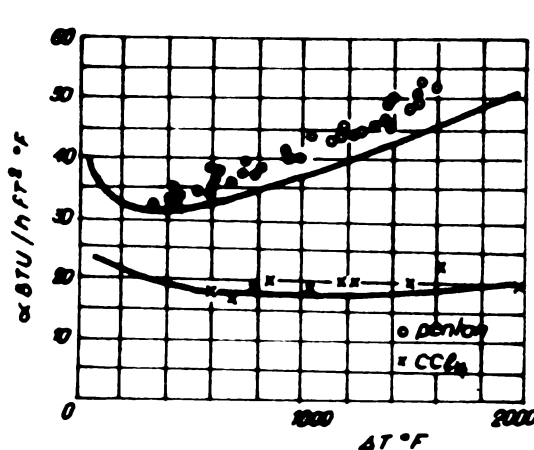
Fig.4.- Fierberea în bule și de tranziție

lare este cea mai bine definită și cea mai clară lămurită din punct de vedere teoretic.

În 1950 Bromley²⁴ a prezentat o tratare completă a fierberii particulare pentru tub orizontal.

Relația teoretică a lui Bromley pentru tuburi orizontale a fost verificată prin comparare cu date experimentale, observindu-se o bună concordanță (fig.5.).

fig.5.- Fierberea particulă pentru benton și tetraclorură de carbon pe un tub de cărbune.



1.2. Fierberea în bule (nucleată)

a) ecuații fundamentale de suprafață. Anumite ecuații sunt fundamentale pentru cunoașterea suprafețelor și deci pentru studierea fenomenelor ce au loc la interfața de contact lichid-vapori. Ecuația Laplace și ecuația Kelvin sunt două ecuații de acest gen.

Ecuația Laplace face legătura între presiunea lichidului și a vaporilor cu dimensiunile geometrice ale suprafeței, respectiv rază de curbură a suprafeței.

Se se obține utilizând un model fizic constituit dintr-o suprafață ondulată a cărei rază de curbură perpendicular pe ondulării este infinită. Această suprafață, reprezentată ca un plan ondulat este indicată în fig.6.a. În fig.6.b. se reprezintă un fragment din curba de intersecție normală cu un plan x - y, a suprafeței ondulate considerate. Sint, de asemenei, figurate și forțele care acționează pe suprafață.

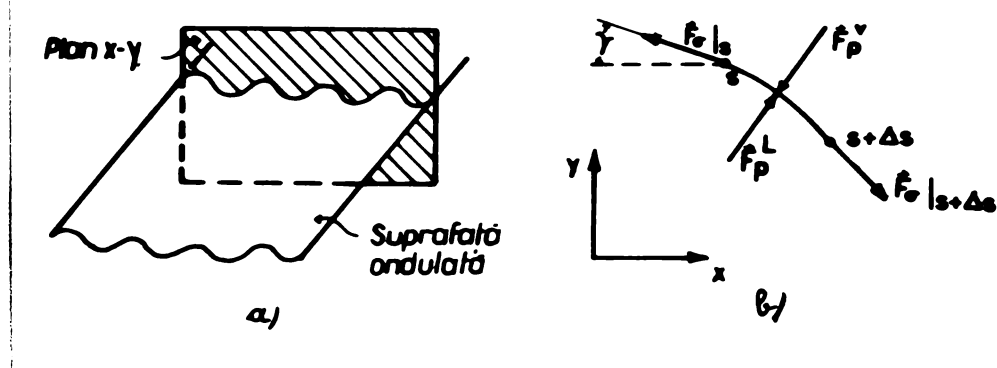


Fig.6.- Interfață ondulată gaz-lichid²⁷.

Sub condiții staționare, ecuația de echilibru a forțelor are forma:

$$\sum F = F_\sigma|_s + F_\sigma|_{s+\Delta s} + p_v^V + p_L^L = 0 \quad (1)$$

unde:

F_σ - forță de tensiune superficială

p_v^V - forță exercitată de vaporii

p_L^L - forță exercitată de lichid.

Realizându-se substituțiile necesare și integrând ecuația diferențială obținută, rezultă:

$$p^L - p^V = \sigma / R \quad (2)$$

unde R este raza de curbură a suprafeței.

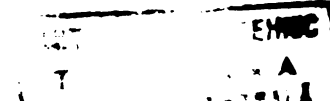
Pentru suprafețele la care și raza a două de curbură are valoare finită expresia (2) capătă forma:

$$p^L - p^V = \sigma \cdot (R_1^{-1} + R_2^{-1}) \quad (3)$$

Cind suprafața este concavă spre fază gazoasă (vaporii) termenul din stînga devine $p^V - p^L$.

Relația (3) este cunoscută sub numele de ecuația Laplace.

Ecuția Kelvin reprezintă echilibrul presiunii de vaporii a unei picături de lichid sau a unei buli de vaporii, cu presiunea exterioară, în funcție de raza picătului sau bulei. Modelul considerat (fig.7) pentru obținerea formei ecuației Kelvin, este constituit dintr-o bulă afer-



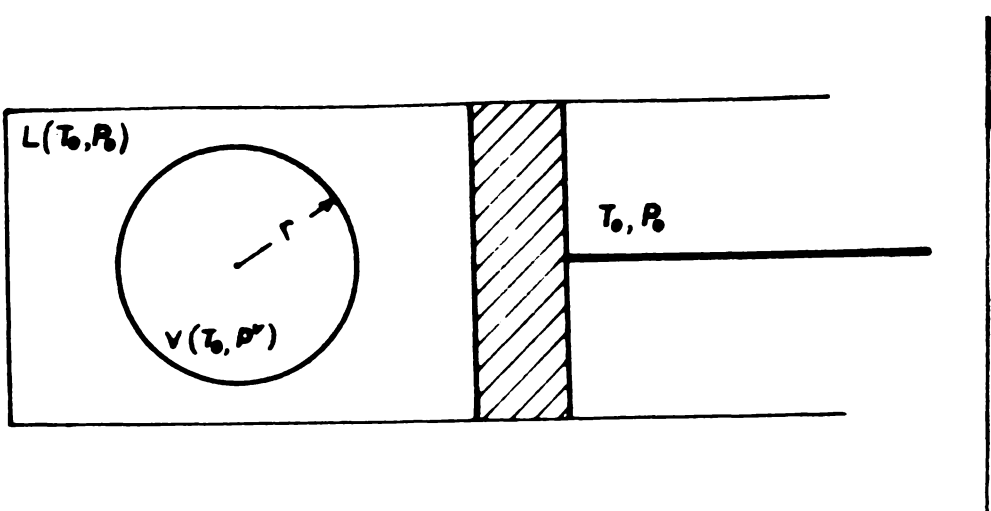


Fig. 7.- Configurația echilibrului lichid-vapori pentru un sistem cu un singur component.

rice de vapor la temperatură uniformă T_0 și presiunea P^V inserată în fază lichidă la temperatură uniformă T_0 și presiunea P_0 . mediul ambient este de asemenea la temperatură T_0 și presiunea P_0 . Condiție de echilibru este data de relația:

$$(\partial A / \partial r) \Big|_{T_0, P_0} = 0 \quad (4)$$

activitatea A' fiind definită de ecuație:

$$A' = U - T_0 S + P_0 V \quad (5)$$

Efectuind substituțiile și simplificările necesare, punând condițiile ce se impun, se obține:

$$\rho^L \cdot \ln \frac{P_\infty}{P^L} = \frac{2\sigma}{R} \quad (6)$$

In literatură această expresie este cunoscută sub numele de ecuația Kelvin.

Vezi și zinu seara de condiție:

$$(P_\infty - P^L) / P^L \ll 1 \quad (7)$$

ecuația (7) devine:

$$[(\rho^L - \rho^V) / \rho^L] \cdot (P_\infty - P^L) = 2\sigma / R \quad (8)$$

fiind cunoscută sub numele de ecuația Laplace-Kelvin. Această ecuație se poate obține pornind de la diferite considerații.

b) Nucleația omogenă presupune că trecerea fazei lichide în fază

de varori poate să aibă, și are loc, în întreaga masă a lichidului. Concentrul cinetic simplificat constă în următoarele²⁸⁻³⁴:

Moleculele care intră în compoziția lichidului sunt considerate să avă energia astfel distribuită încât fiecare are o foarte mică frâțiune din energia medie a întregului ansamblu. Astfel de activitatea moleculelor, acel exces de energie cunoscut ca "energie de activare",

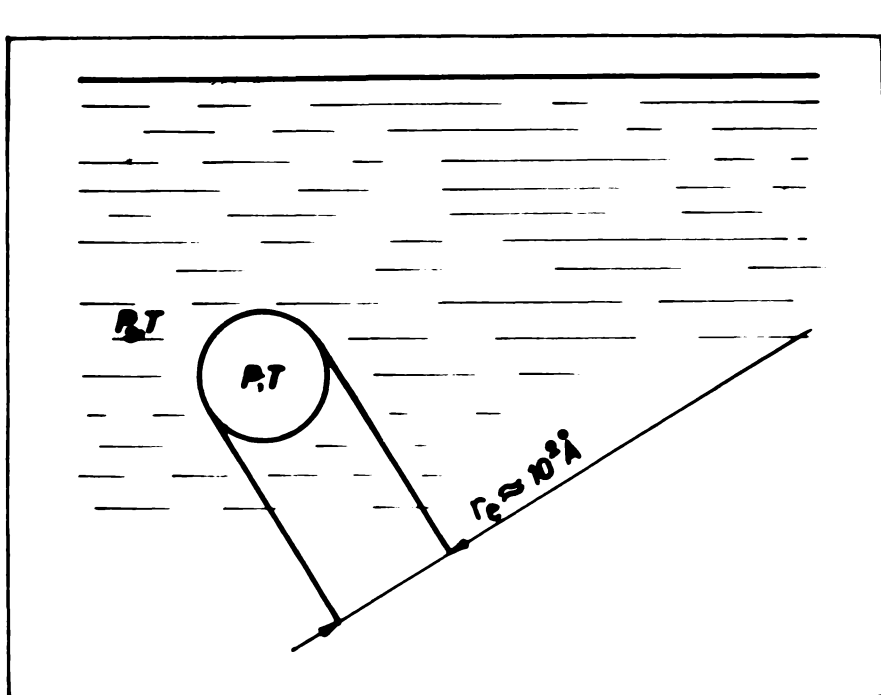


fig.8.- Nucleația omogenă⁴¹.

este presupusă a iniția procesul de formare a bulei de vaporii. Dacă fiind că probabilitatea existenței unui număr suficient de mare de astfel de molecule cu activitate mare, în același loc și în același timp, este neglijabil de mică, procesul de nucleație este considerat să se producă într-o oarecare măsură în procesul de ciocnire²⁷, adică:



unde A'_x reprezintă activitatea unui grup de x molecule, A'_1 este activitatea unei singure molecule, și A'_{x+1} este activitatea grupului de $x+1$ molecule, rezultată din ciocnirea lui A'_x și A'_1 . Alte procese decit cel indicat aici, ca de exemplu că ocnirea a două grupe de molecule sunt considerate improbabile. După cum se indică în relația (9), procesul este considerat reversibil și încit la procesul invers poste

să apară o moleculă cu suficientă energie astfel încit să poată trece în mod spontan în fază de vaporii.

Problematica esențială în nucleație omogenă este ridicată de stabilirea cu precizie a temperaturii maxime de suprareînălțire a lichidului, față de temperatura de saturare, la care lichidul poate fi încălzit, fără ca nucleația să apară.

Conindu-se de la ecuația Laplace-Kelvin și ecuația Clausius-Clapeyron care dă curbe de echilibru a presiunii de vaporii, și punând condiția incompresibilității vaporilor se ajunge la o relație de formă:

$$T^L - T_{sat} = 20 \cdot T_{sat} / \rho^V \cdot r \cdot R_e \quad (10)$$

Dacă se conține rază bulei la echilibru, relația (10) este rar utilizată pentru calculul temperaturii de suprareînălțire.

Literatura²⁷ indică existența și a altor relații cu aplicabilitate mai mare ca de exemplu:

$$T^L - T_{sat} = \frac{T_{sat}}{\rho^V \cdot r} \left[\frac{16 \pi \cdot 10^3}{3 k T^L \cdot \ln(n_p \cdot k \cdot T^L / h)} \right]^{1/2} \quad (11)$$

Relația (11) indică pentru apă temperatura de suprareînălțire (temperatura de începere a fierberii) de 539 K adică $T^L - T_{sat} = 166$ K; experimental s-a obținut $T^L - T_{sat} = 170$ K.

c) Nucleație heterogenă. Suprareînălțirile lichenidelor, rezultate din teoria nucleației omogene, relația (11), sunt cu cel puțin un ordin de mărime mai mare decât cele care apar în toate sistemele reale. Deocamdată, dină seamă, în toate sistemele reale, s-a observat că nucleația are la limite de separație între lichidul care fierbe și suprafața încălzitoare, care rezonabil a presurune că suprafața cerește creșterea catalizator reducind astfel energia necesară pentru realizarea nucleației. Lucrări recente^{29,30-41} scot în evidență în mod pregnant importanța pe care o prezintă natura suprafaței de încălzire precum și modul de prelucrare, în realizarea inițierii nucleației.

Într-o suprafață perfect plană relația de calcul (ec.12) a supraîncălzirii lichidului are forma identică cu relația (11) cu excepția factorului $f_1(\theta)$ al cărui valoare este funcție de valoarea unghiului dintre suprafață plană și tangentă la bula de vapozi în punctul de contact cu suprafață plană. Când $\theta = 0$ există lichid deasupra întregii suprafațe, funcția $f_1(\theta) = 1$, iar supraîncălzirea este identică cu supraîncălzirea în cazul năcleației omogene.

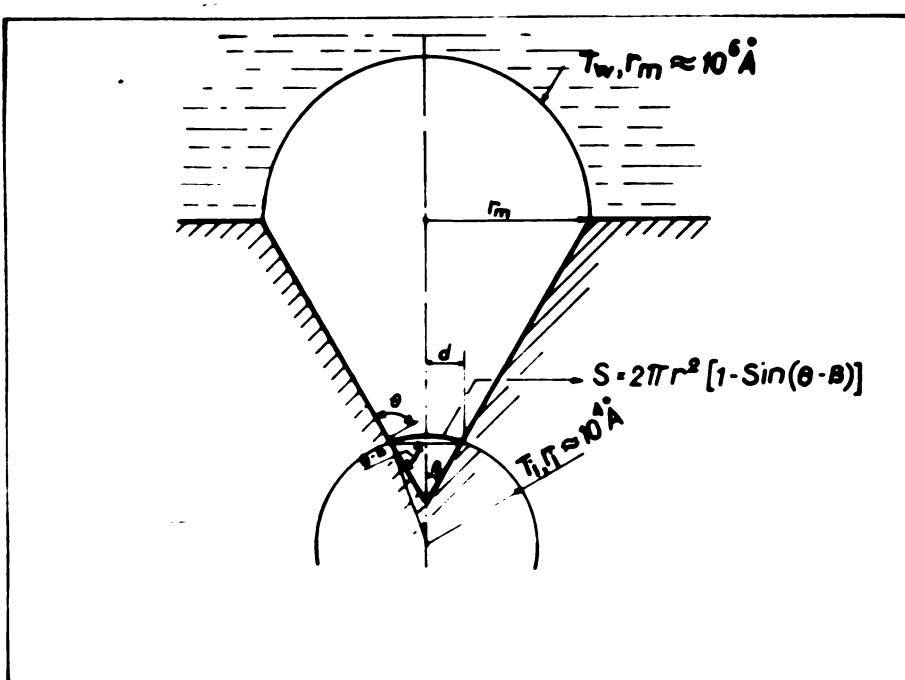


Fig.9.- Nucleație heterogenă, într-o cavitate conică⁴¹.

Introducerea factorului $f_1(\theta)$ face ca supraîncălzirea, $(T^L - T_{sat})$, să se micșoreze, dar el, totuși, în ipoteza expusă – suprafață perfectă

$$T^L - T_{sat} = \frac{T_{sat}}{\rho^V \cdot r} \cdot \left[\frac{16\pi \cdot \sigma^3 \cdot f_1(\theta)}{3 \cdot k \cdot T^L \cdot \ln(n_p \cdot k \cdot T^L / h)} \right]^{1/2} \quad (12)$$

plană – nu reușește să explice valorile practice foarte mici ale supraîncălzirii.

Părtul că, oricât de bine ar fi prelucrată o suprafață de schimb de căldură, ea continuă să prezinte asperități și cavitații de diverse dimensiuni și forme, este singura explicație posibilă a scăderii accentuate a valorii supraîncălzirii necesare practic rată de valorile teoretice.

d) nucleatia in cazul preexistentei fazei gazoase sau vaporilor. De obicei suprafetele reale conțin în mod natural sau ca urmare a prelucrării diverse cavități, scobituri, zgârieturi, caneluri etc. a căror dimensiuni pot merge de la mărimi macroscopice pînă la mărimi microscopice. Deoarece suprafața este puțin udată de lichidul supus fierberii atunci este de așteptat ca multe dintre cavități, care în aceste condiții conțin gaze, să devină centri inițiatori de formare a bulelor. În fig.10. este reprezentată o cavitate tipică ce conține gaz.

Cavitatea de acest fel reprezintă o sursă de emisie de bule de vapor, la limite inferioare de supraîncalzire, rămânind activă o perioadă îndelungată de timp. Multe cavități au probabil o astfel de geometrie încit după o perioadă finită de timp (ore sau zile) componentul necondensabil se epuizează complet fiind înlocuit cu vaporii ai lichidului. Anterior acestui moment de înlocuire, relația între presiune și raza R a interfeței nucleu-lichid are forma:

$$p^V + p^G - p^L = 2 \sigma / R \quad (13)$$

unde p^V și p^G reprezintă presiunile parțiale ale vaporilor și gazului. Considerînă $p^V \approx p_{\infty}^V$ și substituind $p_{\infty}^V - p^L$ cu expresia din ecuația Clausius-Clapeyron, pentru supraîncalzirea lichidului în perioada preexistenței gazului, se obține:

$$T^L - T_{sat} = \frac{T_{sat}}{p^V \cdot r} \left(\frac{2 \sigma}{R} - p^G \right) \quad (14)$$

Să observă că în acest caz nucleația apare la o supraîncalzire neglijabilă de mîna.

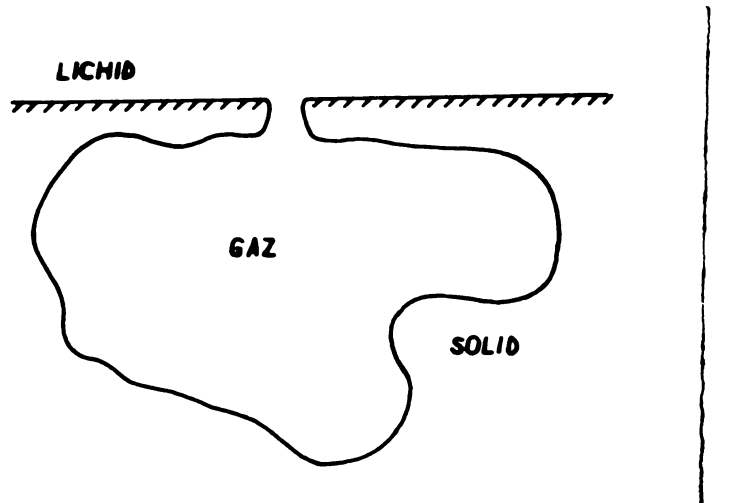


Fig.10.- Cavitate tipică cu rol de rezervor de gaz.

aptă înlocuirea gazului necondensabil din covităten cu vapozi
al lichidului, căreia care determină în mod efectiv suprafața lichidului este raza r_{g} a gurii covității în casul:

$$T^L = T_{\text{sat}} = \frac{20^{\circ}\text{C}}{\gamma \cdot R \cdot x_{\text{g}}} \quad (15)$$

Se observă că aceeași relație derivă din relație (10) referitoare la nucleația omogenă în care raza bulei la echilibru se înlocuiește cu raza gurii covității.

Numărul inițial de bale apărute pe unitatea de suprafață de înălțare depinde și de concentrația gazelor dissolvute în lichid. Gaz și alții⁴² prezintă o analiză a termodinamicii nucleației omogene în casul lichidelor cu o concentrație corectă de gaz dizolvat, care a provocat o serie de controverze cu privire la efectul gazului dizolvat. Conform analizei lui Ward, raza de echilibru a bulei care apare are forma (preocupând comportamentul ideal pentru gaz și vapozi):

$$R_0 = \frac{2.0}{\gamma' \cdot P_{\infty}^L + P^L(c^L/c_{\infty}) - P^L} \quad (16)$$

unde

$$\gamma' = \exp \left[\frac{v_L^L (P_L^L - P_{\infty}^L) + k_T c^L}{k_B T} \right] \quad (17)$$

c^L este concentrația gazului în fază lichid și c_{∞} este concentrația gazului în lichid saturat la nivelul suprafeței de separație vapozi - lichid. Ecuția (16) indică o ușoară micșorare a razei de echilibru a bulei în soluția lichid - gaz comparativ cu cea din lichidul pur. Concluzia este obținută pe baza rezultatelor experimentale efectuate acuprisoarei.

1.3. Cozelarea datelor experimentale la fierberea în bule.

a) Problema cozelirii datelor experimentale în trunchiul cilindrici la fierbere. Se observă cu siguranță că este virtual imposibil să se scrie o singură relație de cozelare care să includă toate datele referitoare la fierbere: fierbere în convecție naturală, în convecție forțată, a lichidelor subcritice, în bule, de transiție, în film, etc. Relațiile ce se pot stabili definesc doar anumite regiuni

de fierbere și anume: convecția naturală fiind fierbere, fierberea în bule și fierberea în film. În afară de acestea, efectul vitesei poate fi tratat separat. În același mod, în convecția forțată cu subțire se tratează în mod separat datele experimentale cu privire la fierberea lichidelor la valori mici ale încărcării termice specifice și la valori mari ale încărcării termice specifice ϱ .

Datele experimentale pun în evidență că, în regiunile de fierbere în bule, pentru unul și același fluid, la aceeași presiune, o schimbare a condițiilor cuprinsă în prelucrarea ei poate afecta în mod semnificativ poziția curbei de fierbere. Rezultă că, nu poate exista o ecuație singulară de corelație a datelor, cu aplicabilitate generală, care să cuprindă proprietățile lichidului și ale suprafeței.

Există două probleme majore care preocupă în mod deosebit studiul transferului căldurii la fierbere: dificultatea obținerii cu precizie a cantității de căldură transmisă și a temperaturii și dificultatea obținerii cu precizie a valorilor proprietăților fluidului. În fierbere, fluxurile termice sunt mari iar diferențele de temperatură sunt mici. Suprafețele contaminate, la fluxuri termice mari, pot introduce eroziuni serioase în măsurarea temperaturii. Prin urmare, este dificil de măsurat cu precizie diferențe mici de temperatură, ΔT . Cu ochiul de corelație bazat pe o analiză logică a unui sistem finit, opuse corelațiilor empirice simple, nu poate oglindii adevarul dacă nu sunt utilizate valori corecte ale proprietăților fluidului cuprins fierberii.

b) Fierberea în convecție naturală. În regiunea fierberii în bule, porțiunea AB din curba de fierbere, fig.2., se poate reprezenta cu suficientă aproximativitate ca o linie dreaptă ce va fi exprimată de următoarea relație:

$$q/A = \mathcal{E} \cdot (\tau_{perete} - \tau_{ext})^2 \quad (18)$$

unde Σ și m sunt constante pentru un sistem dat la o presiune dată. Valorile lui Σ și m depind de proprietățile fluidului și suprafeței, geometria și orientarea suprafeței și de presiune. La fluxuri termice mari, cind sistemul în apropierea condițiilor critice curba se apăsă mică și îndepărta panta. Într-unii cazuri verticale mari convecția induată de mișcarea bulelor poate cauza curbei o inclinație mai mare, și mai mare, decât curbei corespunzătoare unei suprafețe de schimb de căldură de dimensiuni mici, celelalte dimensiuni geometrice (ex: grosimea) fiind același.

O serie de relații de corelație a datelor experimentale au la bază relația generală:

$$Nu = f (Re, Pr) \quad (19)$$

În cale ce urmează, sunt prezentate câteva relații de corelație propuse. Detaliile și discutarea logică a fiecărei relații de corelație sunt omise. Ordinea prezentării este strict cronologică.

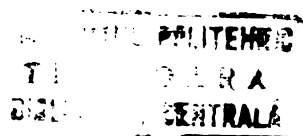
Ecuatia Nusselt. Autorul e ajuns la o anumită formă folosindu-se de ecuația (19), în care:

$$\begin{aligned} Re_1 &= \frac{g_1 \cdot D_1}{\mu_1} \\ Nu_1 &= \frac{(q/A) \cdot D_1}{(T_p - T_s) \cdot \lambda_1} \\ D_1 &= 0,145 \cdot \beta \left[\frac{2 \cdot g_0 \cdot \sigma}{g(\rho_1 - \rho_v)} \right]^{1/2} \end{aligned} \quad (20)$$

Astfel se obține următoarea ecuație de corelație:

$$\frac{g_1 (T_p - T_s)}{r} = C_s \left\{ \frac{(q/A)}{\mu_1 \cdot r} \cdot \left[\frac{g_0 \cdot \sigma}{g(\rho_1 - \rho_v)} \right]^{1/2} \right\}^p \cdot (r)^s \quad (21)$$

Ecuatia a fost verificată pentru apă. S-a obținut o bună corelație a datelor experimentale cu cele obținute din calcul. În ecuație exponentul p , și coeficientul C_s sunt funcții directe de condițiile legate de suprafață. În cazul celor mai multe corelații $p = 0,55$ și



$s = 1,7$.

Ecuatia Forster-Zuber⁴³. Forster și Zuber utilizează un număr Reynolds modificat în care introduc rezultatele lor pentru mărimile R și R pentru o bulă crescută într-un lichid infinit, uniform încălziit.

$$Re_{FZ} = \frac{R \cdot R \cdot \rho_1}{\mu_1} = \frac{\rho_1}{\mu_1} \left[\frac{(T_p - T_s) \cdot \sqrt{\lambda_1 \cdot \rho_1 \cdot c_1}}{\rho_v \cdot r} \right]^2 \quad (22)$$

$$Nu_{FZ} = \frac{(q/A)R}{(T_p - T_s) \cdot \lambda_1} = \frac{q/A}{(T_p - T_s) \cdot \lambda_1} \cdot \left[\frac{(T_p - T_s) \cdot \sqrt{\pi \cdot \lambda_1 \cdot \rho_1 \cdot c_1}}{\rho_v \cdot r} \cdot \left(\frac{2G}{\Delta P} \right) \cdot \left(\frac{\rho_1}{\Delta P} \right)^{1/4} \right]^{1/2} \quad (23)$$

Acstea expresii introduse într-o relație de forma ecuației (19) dau următoarea ecuație:

$$Nu_{FZ} = n_{af} \cdot Re_{FZ}^{0,62} \cdot Pr_1^{0,33} \quad (24)$$

Reevaluarea coeficienților și exponenților cu datele lui Cichelli și Bonilla² conduce la ecuația:

$$Nu_{FZ} = n_{af} \cdot Re_{FZ}^{1,05} \cdot Pr_1^{-0,7} \quad (25)$$

Coefficientul n_{af} dă dependența combinației fluid-suprafață. Ecuația (25) se pune de acord cu toate datele experimentale. În esență ea ne arată că:

$$q/A \sim T^{2,65}$$

Ecuatia Forster-Greif⁴⁴. Mai târziu Forster și Greif modifică ecuația de corelare de tipul Forster-Zuber și prezintă două forme noi de corelare. Prima dintre ale definește un număr Nu astfel:

$$Nu = \frac{(q/A) \cdot (2G/\Delta P)}{\mu_1 (T_p - T_s)} \quad (26)$$

care, cu relația (20) dă următoarea ecuație de corelare:

$$\frac{(q/A) \cdot (2G/\Delta P)}{\lambda \cdot \Delta T_x} = C_1 \left\{ \frac{\rho_1}{\mu} \cdot \left[\frac{C \cdot \rho_1 \cdot \pi \cdot a \cdot T_{sat}}{(r \cdot \rho_v)^2 \cdot 778} \cdot \Delta P \right]^2 \right\}^{1,5} : Pr_1^{1,3} \quad (27)$$

Pentru cea de a doua formă Forster și Greif sugerează următoarea formă pentru Nu_b :

$$Nu_b = \frac{q/A}{r \cdot \beta_v} \cdot \left(\frac{2 \sigma}{a \cdot \Delta p} \right)^{1/2} \cdot \left(\frac{\rho_1}{\Delta p} \right)^{1/4} \quad (28)$$

Rezultă relația următoare de corelare:

$$\frac{q/A}{r \cdot \beta_v} \cdot \left(\frac{2 \sigma}{a \cdot \Delta p} \right)^{1/2} \cdot \left(\frac{\rho_1}{\Delta p} \right)^{1/4} = C_2 \left\{ \frac{1}{\mu} \left[\frac{C \cdot \beta_1 \cdot (\pi \cdot a)^{1/2} \cdot T_{sat}}{(a \cdot \beta_v)^2 \cdot 778} \cdot \Delta p \right]^2 \cdot Pr_1^{1/3} \right\}^{5/8} \quad (29)$$

Se vede că ecuațiile Forster-Zuber și Forster-Greif sunt similare, cu excepția faptului că ecuația Forster-Greif conține o serie de expresii pentru Δp și ΔT .

Ecuația Gilmour⁴⁵. Gilmour sugerează o ecuație de o formă obișnuită, pentru o singură fază:

$$G = \frac{q/A}{r \cdot \beta_v} \cdot \rho_1 \quad (30)$$

cu ajutorul căreia, corelindu-se rezultatele se obține o nouă ecuație pentru investigațarea fenomenului fierberii în convecție naturală:

$$\frac{q/A}{(T_p - T_s) \cdot C_1 \cdot G} = n_{sf} \cdot \left(\frac{D \cdot G}{\mu_1} \right)^{-0,3} \cdot Pr_1^{-0,6} \cdot \left(\frac{g_s \cdot p^2}{g \cdot \beta_1 \cdot \sigma} \right)^{0,452} \quad (31)$$

unde D este diametrul tubului sau diametrul discului și p presiunea absolută.

Ecuația (31) exprimă relația $q/A \sim T^{3,33}$. Dacă dorim să obținem o linie dreaptă pentru curba de fierbere, în ec.(31) este necesar să se introducă proprietățile unui singur fluid.

Ecuația Levy. Folosind expresia Forster-Zuber pentru K și R ⁴⁵, Levy⁴⁶ scrie o expresie pentru transferul de căldură spre bule și ajunge la următoarea relație pentru fluxul de căldură de la suprafața căldă:

$$\frac{q}{A} = \frac{\lambda_1 \cdot C_1 \cdot \beta_1^2}{G \cdot T_s \cdot (\beta_1 - \beta_v)} \cdot \left(\frac{T_p - T_s}{E_L} \right)^3 \quad (32)$$

unde E_L este raportul între fluxul de căldură spre bule și fluxul de căldură de la suprafața căldă. Levy consideră E_L ca fiind corelat cu produsul $\beta_v \cdot r$, care nu este dimensional. Cea mai bună soluție a ecua-

ției (32) constă în construirea de curbe separate pentru relația $B_L = f(\beta_v \cdot r)$ pentru fiecare combinație suprafață-fluid încercat.

Ecuațiile autorilor sovieticii. În cartea sa cu privire la transferul de căldură la fierbere, Kutateladze⁴⁷ adună relațiile de corelare propuse de autori sovietici. Ele au forma generală:

$$Nu_x = A \cdot r^{n_1} \cdot Pe_x^{n_2} \cdot K_p^{n_3} \cdot K_t^{n_4} \cdot Ar_x^{n_5} \quad (33)$$

iar valorile constantei și exponenților, funcție de autori, sunt prezentate în tabela 1.

Tabelă 1

Nr. crt.	Autori	A	n_1	n_2	n_3	n_4	n_5
1.	M.A. Kicighin și N.Iu. Tobilevich	$1,04 \cdot 10^{-4}$	0	0,7	0,7	0	0,125
2.	S.S. Kutateladze	$7,0 \cdot 10^{-4}$	-0,35	0,7	0,7	0	0
3.	V.M. Horisanski și F.P. Misenko	$8,7 \cdot 10^{-4}$	0	0,7	0,7	0	0
4.	G.N. Kruijilin și Ie.N. Averin	0,082	-0,5	0,7	0	0,377	0
5.	D.A. Labunțov	0,125	-0,32	0,65	0	0,35	0

În aceste relații:

$$Nu_x = \frac{\alpha}{\lambda} \left[\frac{g_0 \cdot G}{\sigma (\beta_1 - \beta_v)} \right]^{1/2}$$

$$Pe_x = \frac{\alpha' A}{\sigma \cdot \beta_v \cdot r}$$

$$K_p = \left[\frac{\rho}{\sigma \cdot G (\beta_1 - \beta_v) / g_0} \right]^{1/2} \quad (34)$$

$$K_t = \frac{(\beta_v \cdot r)^2}{J \cdot C_1 \cdot I_s \cdot \beta_1 \left[\frac{\rho}{\sigma \cdot G (\beta_1 - \beta_v) / g_0} \right]^{1/2}}$$

$$Ar_x = \frac{K}{r^2} \left[\frac{g_0 \cdot G}{\sigma (\beta_1 - \beta_v)} \right]^{3/2} \cdot \left(1 - \frac{\beta_v}{\beta_1} \right)$$

Mărimea coeficientului A depinde de condițiile de suprafață și de proprietățile lichidului. Se determină cunoașind toate celelalte mărimi din ecuație (33).

Ecuația Kurihara și Myers³. Pentru prima dată o încercare de a încorpora în efectul general efectele suprafeței, într-o relație cantitativă, a fost făcută de Kurihara și Myers. Ei au determinat concentrația centrilor de nucleație, n, prin observarea vizuală a procesului de fierbere.

Folosind Nu, Re și Pr din ecuația (20) ei dă următoarea ecuație pentru $n > 200$ centri pe ft^2 :

$$\frac{\rho}{\lambda_1 \cdot (T_p - T_s)} = K \left(\frac{\rho}{\mu_1} \right)^{1/3} \cdot n^{1/3} \cdot \Pr_1^{-0.89} \quad (35)$$

unde K a fost observat să fi 820 pentru datele lor. Ecuația (35) exprimă relația aproximativă, $(\rho/A) \sim T^2$. Ecuația (35), în forma prezentată, este probabil că nu este universal aplicabilă, dar ea încorporează influența suprafeței, într-o corelare urmărită pînă acum.

Ecuația Tien⁴⁸. Vizualizînd coloanele de bule prin introducerea unui generator simulator cu debit egal, într-un punct asymmetric, stacionar al curentului de fluid, Tien a obținut următoarea relație:

$$\frac{\rho/A}{\lambda_1 \cdot (T_p - T_r)} = K \cdot Pr^{1/3} \cdot n^{1/2} \quad (36)$$

unde $K = 61,3$ pentru datele experimentale obținute pentru apă.

Capitolul 2

PIERBEREA SOLUȚIILOR SI A AMESTECURILOR

2.1. Fierberea în bule a soluțiilor⁴⁹

Studiile publicate în literatură cu privire la transferul de căldură la fierbere se referă în mare parte majoritate la substanțe pure, cu toate că lichidele care fierb în instalațiile industriale, au mai mulți compoziții.

Amestecurile binare pot fi clasificate în funcție de starea de agregare a celui de al doilea component, respectiv în funcție de faptul dacă se formează o soluție sau o suspensie. Se vor distinge următoarele cazuri:

- soluții obținute prin dizolvarea unor substanțe într-un solvent;
- amestec de două lichide miscibile;
- gaze dizolvate în lichid;
- suspensie de substanțe solide într-un solvent;
- amestecuri de două lichide nemiscibile;
- gaze nedizolvate într-un lichid.

Soluții obținute prin dizolvarea unor substanțe într-un solvent

Literatura de specialitate din puține indicații, cu privire la transferul de căldură la fierberea acestor soluții^{23, 50-54}. Se semnalază⁵⁰ că efectul substanțelor solide, dizolvate, asupra transferului de căldură la fierbere este destul de redus. Deacă însă cantitatea de substanță dizolvată este suficient de mare pentru o schimbare apreciabilă a proprietăților fizice, se va putea constata și o schimbare a coeficientului de transfer de căldură la fierbere. Lucrările citate se referă la soluțiile de cloruri de sodiu diluante și soluții de zahăr pentru care s-au propus și relații de calcul.

Studii privind transferul de căldură la fierberea unor soluții apoase de clorură și bromură de litiu, respectiv amoniac la presiunea de 10 atmosfere au fost efectuate de către Kutateladze⁵⁵. Pe baza acestor date experimentale, acesta stabilește o ecuație, care permite calculul coeficientului de transfer de căldură la fierbere, din valorile unor constante fizice ale soluțiilor.

Ecuația este de forma:

$$Nu = 7 \cdot 10^{-4} \cdot (\tau_r)^{0,55} (\alpha \cdot K_p)^{0,7} \quad (37)$$

în care:

$$\begin{aligned} Nu &= \frac{\alpha}{\lambda_L} \cdot \left(\frac{\sigma}{\rho_L - \rho_V} \right)^{0,5} ; \quad \tau_r = \frac{c_L \cdot \gamma_L}{\lambda_L} ; \\ \alpha &= \frac{\alpha \cdot r \cdot A}{\alpha \cdot r \cdot \rho_V} \cdot \left(\frac{\sigma}{\rho_L - \rho_V} \right)^{0,5} ; \quad K_p = \frac{P}{\sqrt{\sigma} (\rho_L - \rho_V)} \end{aligned} \quad (38)$$

În literatură⁵⁵ se mai propun relații pentru calculul coeficientului relativ de transfer de căldură la fierberea soluțiilor apoase de NaCl și zahăr, forma:

$$\frac{\alpha_{(p,q,c)}}{\alpha_{(p,q)}} = \left[\left(\frac{\lambda \cdot c_p}{\lambda_a \cdot c_{p_a}} \right) / \left(\frac{\sigma_a \cdot r_a}{\sigma_a \cdot r_a} \right) \right]^{0,5} \cdot \left[\left(\frac{\rho_L}{\rho_a} \right) / \left(\frac{\rho_V}{\rho_{V_a}} \right) \right]^{-0,25} \cdot \left(\frac{\gamma}{\gamma_a} \right)^{-0,125} \quad (39)$$

Această relație a fost puțin modificată în ceea ce privește influența densităților și viscozităților de către un alt autor⁵⁷, care propune următoarea expresie:

$$\frac{\alpha_{(p,q,c)}}{\alpha_{(p,q)}} = \left[\left(\frac{\lambda \cdot c_p}{\lambda_a \cdot c_{p_a}} \right) / \left(\frac{\sigma_a \cdot r_a}{\sigma_a \cdot r_a} \right) \right]^{0,5} \cdot \left[\left(\frac{\rho_L}{\rho_a} \right) \left(\frac{\rho_V \cdot \gamma}{\rho_{V_a} \cdot \gamma_a} \right) \right]^{-0,5} \quad (40)$$

O relație stabilită pe baza unor date experimentale obținute pentru soluții de NaOH, NaCl și zahăr⁵⁷ permite calculul coeficientului relativ de transfer de căldură la fierberea acestor soluții. Autorul propune următoarea expresie:

$$\frac{\alpha}{\alpha_a} = \left(\frac{\rho_L}{\rho_a} \right)^{0,816} \left[\left(\frac{\rho_{V_r}}{\rho_{Va}^r} \right) / \left(\frac{C_p}{C_{p_a}} \right) \right]^{-0,716} \left(\frac{\rho_L - \rho_V}{\rho_a - \rho_{Va}} \right)^{-1,0795} \left(\frac{\gamma}{\gamma_a} \right)^{-0,1} \left(\frac{\sigma}{\sigma_a} \right)^{-1,2135} \cdot \left(\frac{\lambda}{\lambda_a} \right)^{0,284} \quad (41)$$

Tot în cadrul soluțiilor obținute prin dizolvarea unor substanțe într-un solvent trebuie amintite acelea la care substanța dizolvată se găsește în urme, sau în concentrații sub 1%. Studiile efectuate la aceste soluții au avut drept scop stabilirea influenței substanțelor tensioactive asupra coeficientului de transfer de căldură la fierbere $7,8,50-68^{14}$. Datele experimentale obținute pentru alcool metilic $7,43^{13}$ și alcool izopropilic $8,41^{14}$ cu aceleiași substanțe, arată un efect de creștere al transferului de căldură la fierbere, față de cel al solvenților puri.

Suspensiile de solide într-un lichid. Influența substanțelor solide în suspensie asupra transferului de căldură la fierbere a lichidului pur este relativ puțin studiată. Din literatura $12,50^{15-16}$ rezultă că o concentrație mică de substanță solidă în suspensie nu influențează transferul de căldură la fierbere. Pentru concentrații mari, cind sifilul devine nonnewtonian, se observă o micorare considerabilă a valorii încărcării termice critice, cît și a transferului de căldură la fierbere.

Anestecuri de lichide nemiscibile. Cele mai multe lucrări privind transferul de căldură la fierbere s-au făcut pentru anestecuri binare de lichide (în special organice). Studiile efectuate se referă la obținerea directă a coeficientului de transfer de căldură la fierbere și stabilirea unor relații criteriale $9,55,61-68^{17-25}$, la problema creșterii buzelor în sisteme binare cu compoziții cu volatilități apropiate sau mult diferite $9,58,61^{10,17,16}$ și stabilirea unui mecanism care să permită explicația unor fenomene legate de valoarea creșterii buzelor în anestecuri sisteme $69-71^{18-22}$.

Lichide nemiscibile $9,50,61,62^{19}$. În cazul lichidelor nemiscibile, mecanismul transferului de căldură va depinde în mare măsură de agita-

rea sistemului. Agitarea puternică conduce la o emulsie fină, astfel că fiecare din cele două componente ajunge în contact cu suprafața încălzitoare. În masă de lichid va exista de asemenea un schimb de căldură.

Dacă agitarea sistemului este slabă, vor exista mai multe cazuri:

- lichidul din stratul inferior este mai volatil și numai acesta este în contact cu suprafața încălzitoare. În acest caz, bulele formate vor traversa mai întâi lichidul cu densitatea mare apoi lichidul cu densitatea mică, care va putea să se evapore pe seama căldurii acestor bule (sistem apă-ulei);

- lichidul din stratul superior este mai volatil și va fierbe chiar fără formarea buzelor din lichidul mai dens și mai puțin volatil (sistemul mercur-apă). Bulele lichidului mai volatil din stratul superior se formează probabil la interferența celor două straturi și parcurg doar acest strat.

Gaze dizolvate în lichid⁵⁰. Această cauză este mai puțin studiată, deoarece apar dificultăți experimentale, fiind un sistem cu regim nestacionar, din cauza gazului care se elimină continuu. Totuși, s-a constatat că prezența aerului sau CO_2 dizolvat duce la o mărire a transferului de căldură.

Gazele nedizolvate în lichid⁵⁰. Prezența buzelor nedizolvate în lichidul care fierbe duce la o mărire a transferului de căldură. Fiecare bulă de gaz poate constitui un centru activ de schimbare de fază. Problema este foarte puțin studiată.

a) Fierberea soluțiilor cu un component solid

Studiind relațiile date în literatură, referitoare la calculul coeficientului de transfer de căldură și la fierberea soluțiilor, s-a sesizat faptul că acestea nu dă valori satisfăcătoare. Pe de altă parte, la foarte multe soluții cu importanță tehnologică, lipesc date fizico-chimice și termice necesare întocmirii unui astfel de

calcul, în special în domeniul concentrațiilor mari. Având în vedere cele arătate, în ultima perioadă, colectivul format din Z. Grogianu, D. Kohn, A. Iovi a considerat că este utilă abordarea acestei probleme. Pe baza datelor experimentale obținute și prezentate în literatura de specialitate⁷²⁻⁷⁹ s-au dedus relații simple pentru calculul coeficientului de transfer de căldură α la fierberea soluțiilor, de forma:

$$\alpha = k_1 \cdot C^{-n} \cdot q^m \quad (42)$$

$$\alpha = k_2 \cdot C^{-n_1} \cdot \Delta t^{m_1} \quad (43)$$

Valorile coeficienților k_1 , n și m respectiv k_2 , n_1 și m_1 se determină experimental.

Ca și în cazul substanțelor pure, coeficientul α la fierbere, la soluții, crește odată cu creșterea încărcării termice specifice q și suprafeței încălzitoare (fig.11), respectiv a diferenței de temperatură Δt (fig.12), dintre temperatura suprafeței de încălzire și temperatură de fierbere a soluției⁸⁷. Această constatare s-a făcut atât pentru

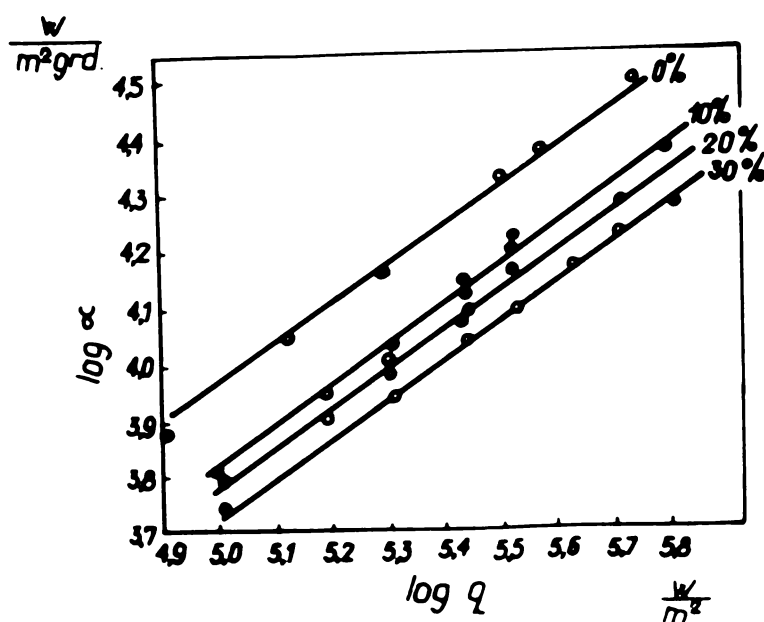


Fig.11.- Variatia lui α în funcție de q , la presiunea atmosferică, pentru diferite concentrații ale soluțiilor de fosfat disodic⁷⁶.

casul fierberii la presiune atmosferică cît și la fierberea la presiuni

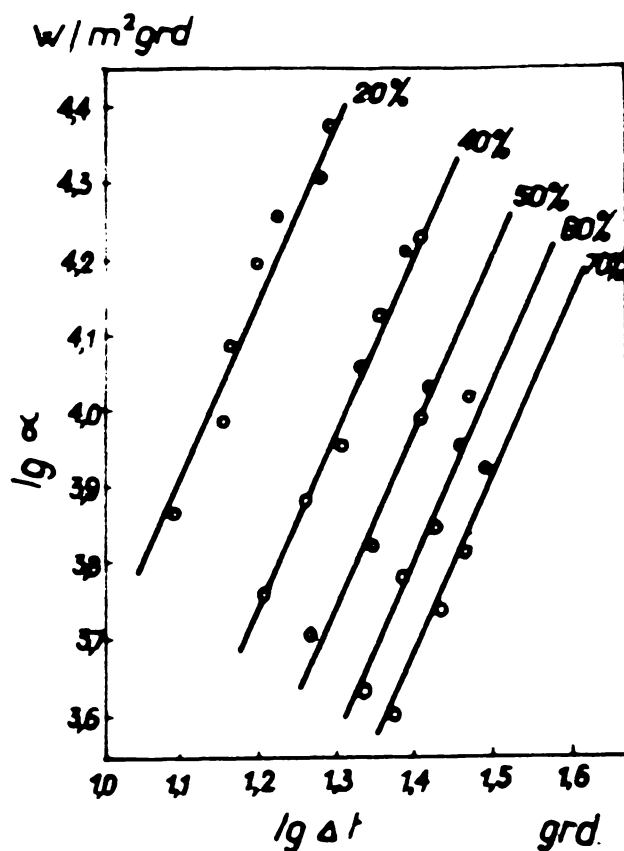


Fig.12.- Varietățile lui α în funcție de Δt , la presiunile atmosferice, pentru diferite concentrații ale soluțiilor de azotat de potasiu 78 .

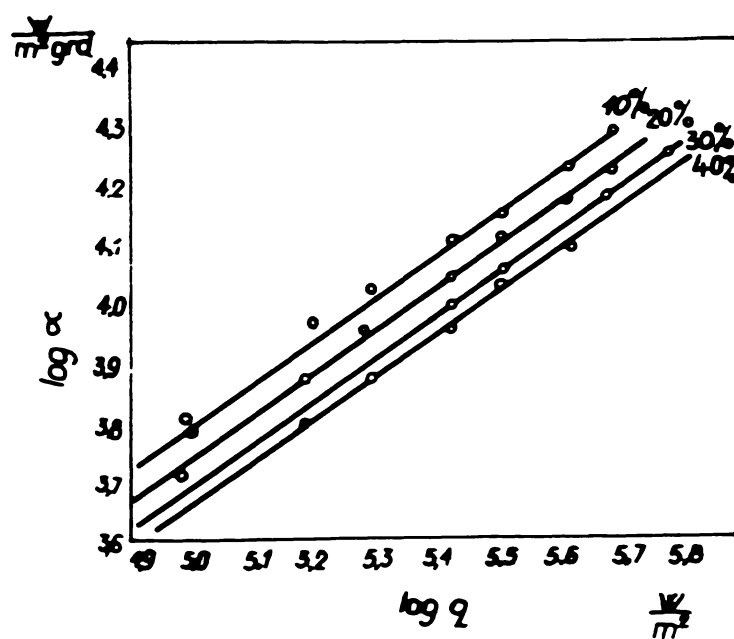


Fig.13.- Varietățile lui α în funcție de q , la presiunea de 500 mm Hg și pentru diferite concentrații ale soluțiilor de fosfat disodic $^{76},^{77}$.

mai mici decât acele atmosferice, indiferent de concentrația soluțiilor (fig.13 și 14).

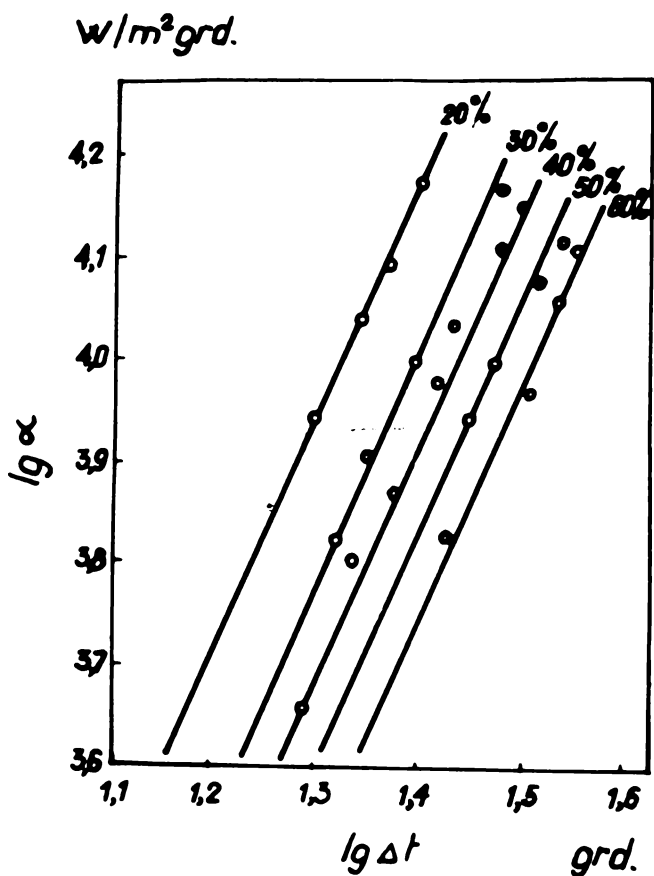


Fig.14.- Variația lui α în funcție de Δt , la presiunea de 300 mm Hg, și diferențe concentrării ale soluției de azotat de potasiu.^{78, 79}

Coefficientul α la fierbere, pentru soluții, scade odină cu creșterea concentrației soluției, și anume caracterul acestei schăderi este mai pronunțat la concentrații mai mici, diminuindu-se și tinzind către o valoare limită la concentrații mari.⁸⁰ Această constatare contrazice unele date din literatură⁵⁰ care susțin contrariul.

Aplicarea practică a relațiilor mai sus amintite de calcul ale lui α , nu necesită cunoașterea valorilor constantelor fizico-chimice și termice ale soluțiilor și nici variația acestora cu concentrația.⁸⁰ De altfel, aceste constante lipesc parțial sau total (în special în domeniul concentrațiilor mai mari), iar determinarea experimentală a acestora prezintă dificultăți cu mult mai mari decât determinările experimentale directe a coeficienților α la fierbere și stabilirea relațiilor lor de calcul.⁸¹

Studiile întreprinse și ecuațiile stabilite au valabilitate în domeniul regimului de fierbere în bule, rețin înțilnit în majoritatea cazurilor practice industriale de fierbere.

b) Fierberea soluțiilor cu doi compoziți solizi. Aceasi colectiv de cercetare, prezintă în literatură de specialitate⁵¹⁻⁵³, datele experimentale și concluziile privitoare la fierbera soluțiilor cu doi compozitori solizi disolvăți într-un solvent.

Se fac următoarele aprecieri:

- Coeficientul α la fierbere, crește cu creșterea încărcării termice specifice q și suprafeței încălzitoare, respectiv diferențe de temperatură Δt , dintre temperatură suprafeței de încălzire și temperatură de fierbere a soluției, pentru toate concentrațiile, indiferent de presiunea de lucru, (fig.15 și 16). În acest sens nu există nici o deosebire între fierbera substanțelor pure, a soluțiilor cu un component solid, respectiv cu 2 compozitori solizi⁵⁰.

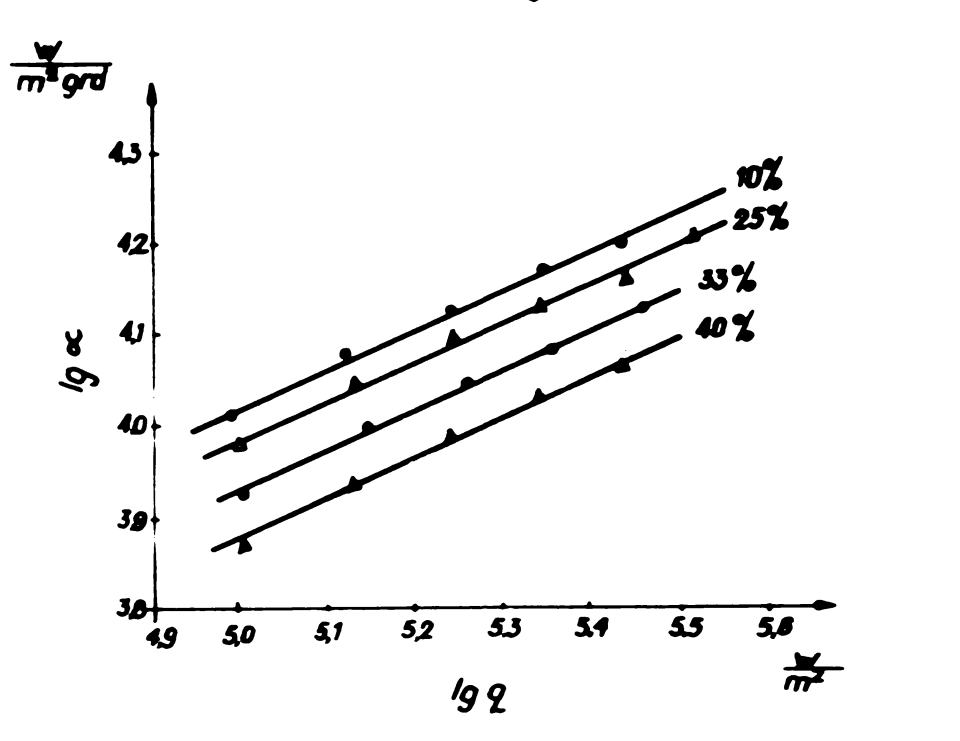


Fig.15.- Variatia lui α în funcție de q , la presiunea de 100 mm Hg, pentru soluțiile apoase ale amestecului de sulfanat de amoniu în raport 1:1⁵³.

- Prezența fiecărui component influențează specific asupra compoziției globale a sistemului în fierbere. Se stabilită că, în cazul soluțiilor cu doi compozitori solizi, se poate scrie o relație de aditivitate pentru calculul lui α la fierbere, de forma:

$$\alpha_{\text{am}} = K \cdot \alpha_1 + N \cdot \alpha_2 \quad (44)$$

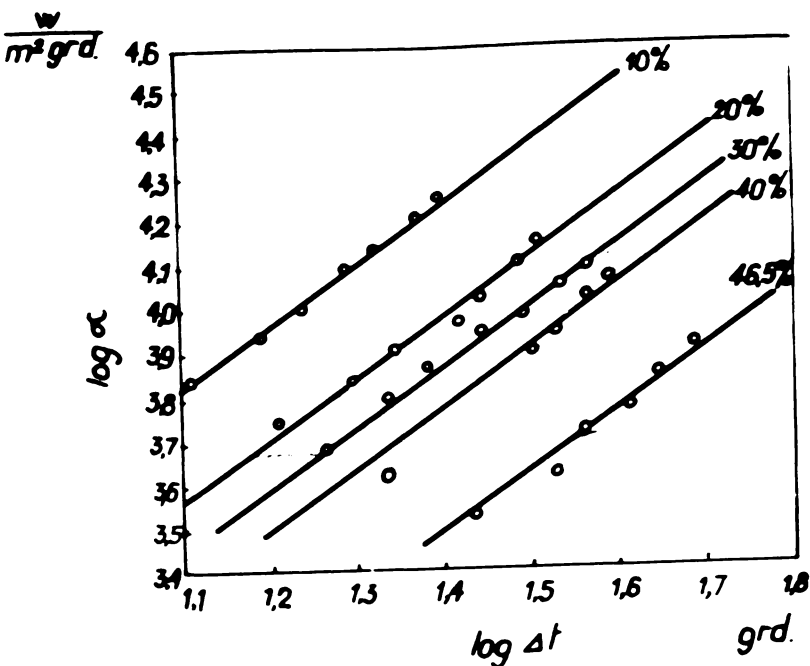
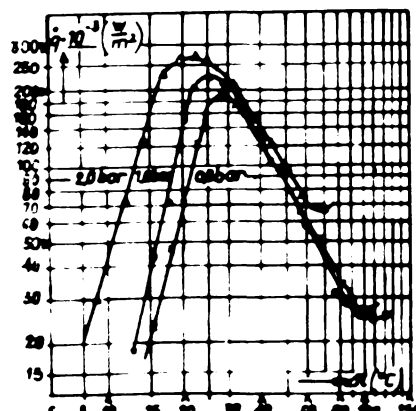


Fig.16.- Variația coeficientului χ , în funcție de Δt , la presiunea de 300 mm Hg, și diferite concentrații ale soluțiilor amestecului de fosfați mono și disodici⁸².

- Pe baza datelor experimentale s-au stabilit relații de calcul pentru coeficientul de transfer de căldură χ la fierbere, relații a căror formă generală este identică cu cea pentru soluțiile cu un singur component solid dizolvat⁸⁰.

2.2. Fierberea în bule a amestecurilor binare

Fig.17.- Variația încărcării termice specifice q în funcție de diferența de temperatură, la diferite presiuni, pentru toluen⁸⁵.



Pînă nu de mult amestecurile de lichide au fost tratate în același mod ca și soluțiile, adică pentru diferite amestecuri, experimental, se stabilește valorile constantelor k_1 , n și m respectiv k_2 , n_1 și m_1

din relațiile (42) și (43) pentru intervalul de concentrații și înărmări termice specifice care interesează. Lucrări recente^{84, 85} luând în considerare cunoștințele referitoare la transferul de căldură și de masă, respectiv echilibrul lichid-vapori care apare în cazul fierberii, au reorientat direcțiile de cercetare, îndreptindu-le spre obținerea unor noi relații de corelare a datelor experimentale, relații mai simple de calcul a coeficientului de transfer de căldură α la fierbere.

În contextul acestei idei și bazindu-ne pe tipul de comportare al coeficientului α la schimbarea compozitiei amestecului, se pot distinge două categorii de amestecuri:

- amestecuri neazeotrope: coeficientul α capătă valoarea minimă la anumite valori ale concentrației;
- amestecuriazeotrope cu un ~~minimum~~azeotrop: coeficientul α capătă două valori de minim.

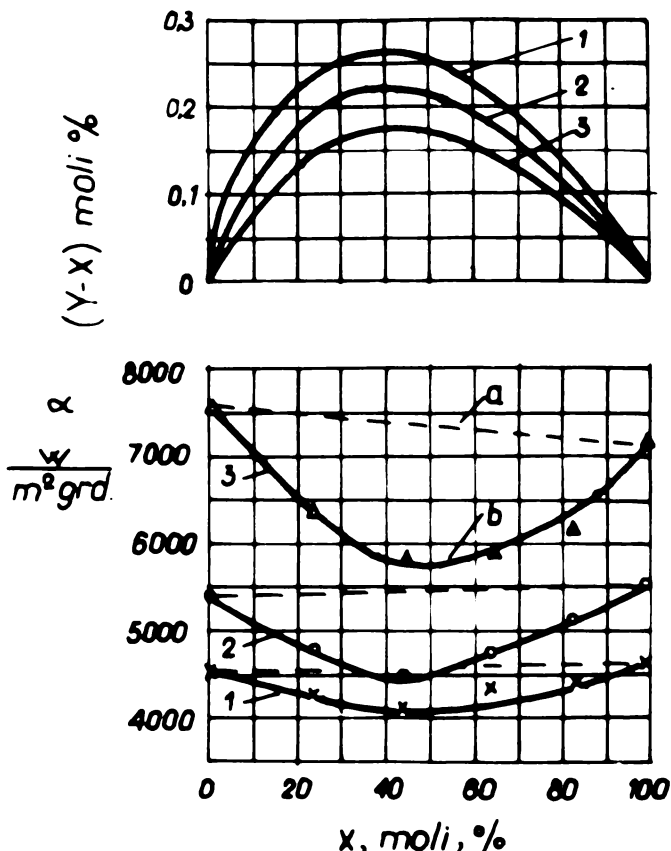
Coefficientul de transfer de căldură α la fierbere pentru amestecuri este diferit de acela al substanței pure deoarece volatilitatea diferită a componentelor amestecului crește concentrații diferite între lichid și vaporii din bule. Transferul de masă din amestecul lichid spre amestecul în vaporii care conduce la creșterea dimensiunilor bulelor este o caracteristică ce depinde de volatilitatea fracțiilor din amestec. Rezistența de difuzie care apare în timpul transferului de masă, alături de rezistența termică, sunt responsabile de reducerea valorii coeficientului de transfer de căldură α la fierbere. Se observă că el scade odată cu creșterea diferenței concentrațiilor ($Y-X$).

Din cele arătate, se poate găsi mărimea reducerii transferului căldurii în acele regiuni unde linia vaporilor și linia lichidului sunt cel mai distanțate una de alta, adică atunci cind ea atinge un maxim, reducerea fiind proporțională cu modulul diferenței concentra-

țiilor $|Y - X|$, (fig. 18).

Fig. 18. - Diferența concentrațiilor vaporilor și lichidului ($Y - X$), și valoările coeficientului de transfer de căldură α la fierberea amestecului benzen-toluen, pentru diverse presiuni, ca o funcție de concentrația amestecului, la $q = 10^5 \text{ W/m}^2$.

1 - 0,5 bari; 2 - 1,0 bari;
3 - 2,0 bari; a - α_{ideal} ;
b - α_{real} .



Evident că, reducerea transferului căldurii pentru amestecuri trebuie să fie dependentă numai de valoarea absolută a diferenței concentrațiilor, deoarece, fără deosebire de semn, fracțiunea mai volatilă poate difuza în fracțiunee mai puțin volatilă. Acest mod de a pune problema conduce la ideea că un amestec azeotropic se comportă, din punct de vedere al fierberii, ca o substanță pură cu proprietățile corespunzătoare aceluia amestec, dat fiind că, în acest caz diferența ($Y - X$) devine zero. Aceast lucru se explică prin aceea că în amestecul azeotrop rezistența la difuzie este nesemnificativă. Coeficientul de transfer de căldură α_{ideal} a amestecului izotrop se va obține ca o medie ponderată a valorilor coeficienților de transfer de căldură α_1 și α_2 la fierbere, a componentelor pure.

$$\alpha_{\text{ideal}} = \alpha_1 (1 - x) + \alpha_2 \cdot x$$

INSTITUTUL POLITEHNIC
TIRGOCARA
CENTRALĂ

(45)

Anterior, și Grigoriev⁹⁵ ajunsese la aceste concluzii. El făcuse observația că reducerea transferului căldurii pentru amestecuri nu este cauzată de schimbarea proprietăților fizice ci de diferențe de con-

centratii pe suprafata de inelizare. Rezulta ca la regimuri largi de reducere a coeficientului de transfer a caldurii vor corespunde valori mari ale diferenței $(Y-X)$. Se utilizează, conform celor postulate anterior, o relație de forma:

$$\frac{\alpha_{\text{real}}}{\alpha_{\text{ideal}}} = 1 - K_{st} \cdot | Y-X |^n \quad (46)$$

în care:

K_{st} - coeficient ce depinde de natura substăncelor din amestec și de presiune, adică:

$$K_{st} = f(\text{subst.}, p)$$

n - coeficient ce depinde de natura substăncelor din amestec.

Relația anterioară include limitele $\alpha_{\text{real}} = \alpha_{\text{ideal}}$ atunci cind $(Y-X) = 0$:

- amestecul este de fapt o substanță pură;
- amestecul este azeotrop.

Pentru verificarea veridicității celor afirmate pînă acum, pentru amestecuri neazeotrope s-a lucrat cu amestecul benzene-toluan. Rezultatele experimentale sunt reprezentate în fig. 17 și 18. Se observă că ele concordă cu ideile ce se desprind din relația de calcul prezentată. Curba pentru α_{real} prezintă un minim corespondator valorii maxime a diferenței $(Y-X)$. Se obține $K_{st} = 1,5$ ($p = 1$ bar), $n = 1,4$.

Pentru amestecuri azeotrope s-a luat în studiu amestecul etanol-benzene. În fig. 19 sunt reprezentate determinările experimentale pentru acest amestec.

Curbe pentru α_{real} prezintă un maxim la punctul azeotropic, atingind valoarea lui α_{ideal} . La celelalte valori ale concentrațiilor, respectiv diferențelor de concentrații, valorile lui α_{real} sunt mai mici decît α_{ideal} . Aceste rezultate sunt în concordanță satisfăcătoare cu cele obținute de Afgan⁸⁷ și ele dă $K_{st} = 1,25$ și $n = 1$. Se poate amînti că Afgan, în fel ca și Körner⁸⁸ bănuiește, afirmando, existența unei relații liniare între α_{real} și diferen-

la concentrațiilor.

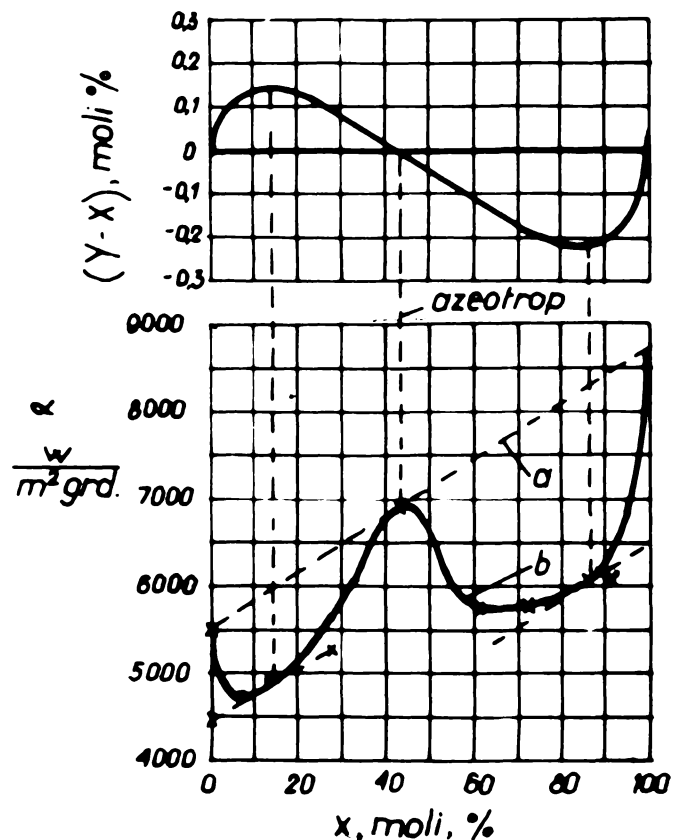


Fig.19.- Diferența concentrațiilor vaporilor și lichidului ($Y-X$), și valorile coeficien-tului de transfer de căldură α , la fierberea amestecului etanol-benzen, la presiunea atmo-sferică, ca o funcție de con-cen-trația amestecului⁸⁵.

a - α ideal; b - α real.

Din ideile prezentate și rezultatele experimentale obținute, se conclude că ecuația prezentată este o reprezentare matematică satis-făcătoare a fenomenului.

Pentru determinarea valorilor lui X_{st} și n sunt necesare cîte două măsurători experimentale, pentru fiecare presiune, cu înregistra-rea celor două perechi de valori q și t . Se consideră cunoscute va-lorile lui α pentru substanțele pure care intră în amestec.

Capitolul 3

METODICA DE LUCRU IN STUDIUL TRANSFERULUI CALDURII

LA FIERBERE

3.1. Clasificarea aparatelor experimentale utilizate

In studiul transferului căldurii la fierbere

Literatura de specialitate^{1,7-9,12,15,19,21,41,51-54,60-63,68-70, 74,85,89-133} este deosebit de bogată în ceea ce privește prezentarea unor tipuri de aparete de laborator, sau varianțe ale acestora, și și utilizarea lor în studiul transferului căldurii la fierbere. Cu toate acestea, cu excepția unei singure lucrări⁸⁰, în literatură nu se face o prezentare sistematică a acestor aparete. În conformitate cu indicația bibliografică mai sus amintită, clasificarea aparatelor experimentale de studiu a transmiterii căldurii la fierbere se face în funcție de următoarele criterii:

a) In funcție de regimul de lucru:

- aparete pentru determinarea lui α în regim de convecție liberă;
- aparete pentru determinarea lui α în regim de curgere forțată;

b) In funcție de forma suprafeței de transfer de căldură:

- aparete cu suprafață de transfer de căldură formată dintr-un fir metalic, în poziție orizontală, verticală sau înclinată;
- aparete cu suprafață plană de transfer de căldură, în poziție orizontală, verticală sau înclinată;
- aparete cu suprafață cilindrică de transfer de căldură, în poziție orizontală, verticală sau înclinată.

c) In funcție de modul de producere a fluxului termic:

- incălzirea electrică prin rezistență proprie a corpului încălzitor (efect Joule-Lenz);
- incălzire prin aburi sau lichide care circulă în interiorul corpului de încălzire;

a) În funcție de condițiile de lucru:

- la presiune normală;
- la presiune sub sau supră atmosferică;
- în lipsa gravitației;
- în condiții de vibrare;
- sub influența ultrasunetelor.

Privitor la determinarea unor mărimi ca: temperatura suprafeței de transfer de căldură, t_p ; temperatura de fierbere a lichidului, t_f ; încărcarea termică a suprafeței q , necesare calculării valorii coeficientului de transfer de căldură α , se utilizează o serie de soluții care se pot clasifica astfel:

A. Măsurarea temperaturii suprafeței de transfer de căldură, t_p :

a) cu termocopluri:

- așezate într-un canal longitudinal din peretele încălzitorului;
- așezate într-un orificiu al suprafeței de transfer de căldură (pentru măsurarea temperaturii, respectiv variației de temperatură locale la formarea buzelor);
- așezate în interiorul tubului încălzitor și aplicarea unei corecții de temperatură;

b) prin măsurarea rezistenței electrice a corpului încălzitor, după o etalonare prealabilă;

c) cu termometru așezat în interiorul corpului încălzitor și aplicarea unei corecții de temperatură.

B. Măsurarea temperaturii de fierbere a lichidului, respectiv a vaporilor saturanți, t_f :

a) cu termocopluri;

b) cu termometru.

C. Calculul încărcării termice specifice q , a suprafeței încălzitoare:

- a) la încălzirea electrică prin măsurarea energiei consumate;
- b) la încălzirea cu aburi sau alți agenți termici lichizi,
din valorile parametrilor termici și hidraulici ai acestora.

3.2. Tipuri reprezentative de aparate experimentale

utilizate la studiul transferului căldurii la fierbere

3.2.1. Aparate cu suprafață de transfer de căldură formată dintr-un fir metalic, 7-9, 15, 19, 21, 53, 61, 62, 69-71, 94-111 se utilizează la:

- determinarea coefficientului de transfer de căldură în toate fazimurile de fierbere;
- studii asupra mecanismului fierberii, prin intermediul unor instalații anexe pentru filmări ultrarapide;
- studiul valorilor critice la fierbere;
- studiul procesului fierberii realizat în condiții speciale (lipsa gravitației, vibrație, încălzire prin impulsuri, etc.).

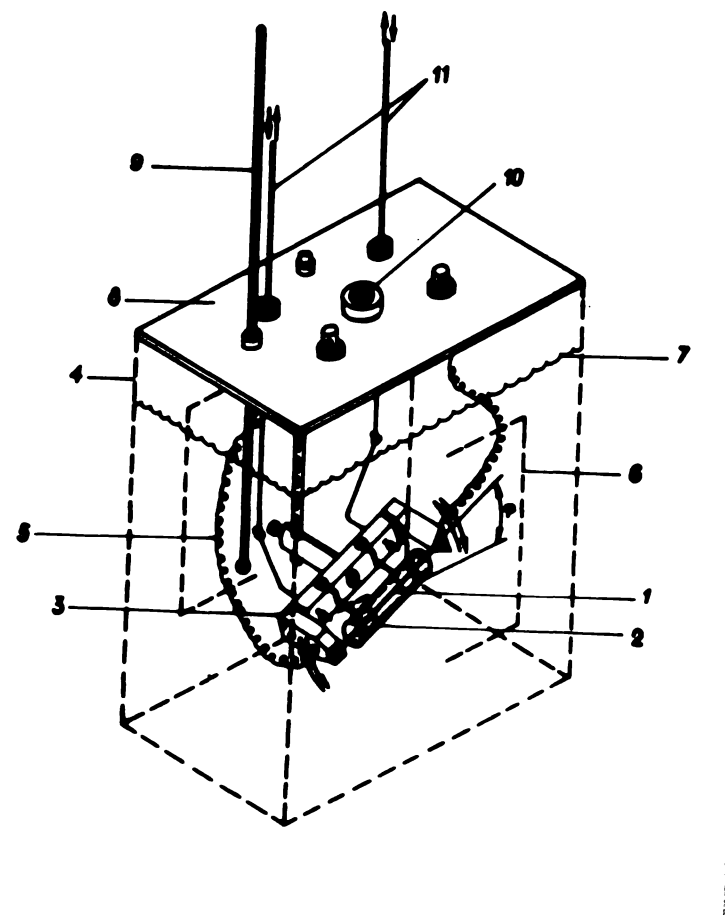
Energia necesară realizării fierberii se obține prin întreșarea firului într-un circuit electric de curent continuu. Temperatura suprafeței firului metalic se stabilește din valoarea rezistenței acestuia, după o prealabilă etalonare. Variante constructive, principial diferite ale acestui tip de aparat, nu apar în literatură. Diferențierile apar doar în schemele electrică, respectiv în aparatura anexă, în funcție de scopul urmărit în determinările experimentale.

In principiu, aparatul cu suprafață de transfer de căldură formată dintr-un fir metalic constă din doi electrozi de secțiune mare între care se fixează un fir metalic, de obicei din platiniu sau nichel fizic pur. Din valoarea căderii de potențial măsurată pe firul

metalic precum și din valoarea intensității curentului ce trece prin fir, se calculează valoarea încărcării termice specifice q a suprafeței și rezistența electrică a firului, respectiv temperatura suprafeței. Schema de principiu a aparatului cu fir este redată în fig.20.

Figura 20.- Schema de principiu a aparatului experimental cu suprafață de transfer de căldură formată dintr-un fir metalic (proiecție izometrică)⁶².

1 - Fir încălzitor; 2 - tub de sticlă; 3 - izolator; 4 - vas fierbător; 5 - fir flexibil de Al; 6 - vizor de sticlă; 7 - nivelul lichidului; 8 - capac; 9 - termometru; 10 - orificiu de reflux total; 11 - bare verticale pentru fixarea poziției firului.



Firul metalic, respectiv suprafața de încălzire poate fi verticală, orizontală sau înclinată.

3.2.2. Aparate cu suprafață plană de transfer de căldură. Aceste aparate se caracterizează prin acesta că au drept suprafață de transfer de căldură o suprafață plană. Diferența între diferitele aparate experimentale de acest tip constă în variantele de generare a fluxului termic necesar realizării fierberii și în principiul de stabilire a temperaturii suprafeței de transfer de căldură. Una din variantele cele mai des întâlnite în literatură^{1,41,51,60,89,93,129} utilizează un încălzitor electric și două termocouple pentru măsurarea temperaturii.

Schela instalației experimentale¹²⁹ este prezentată în fig.21.

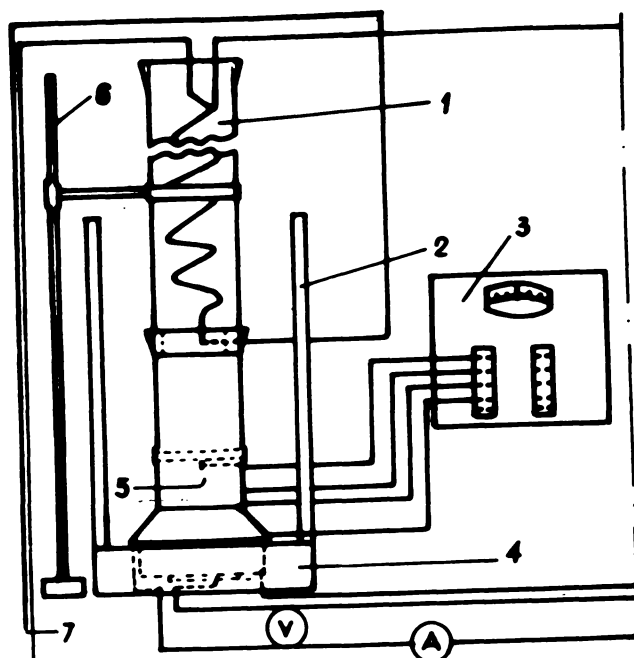


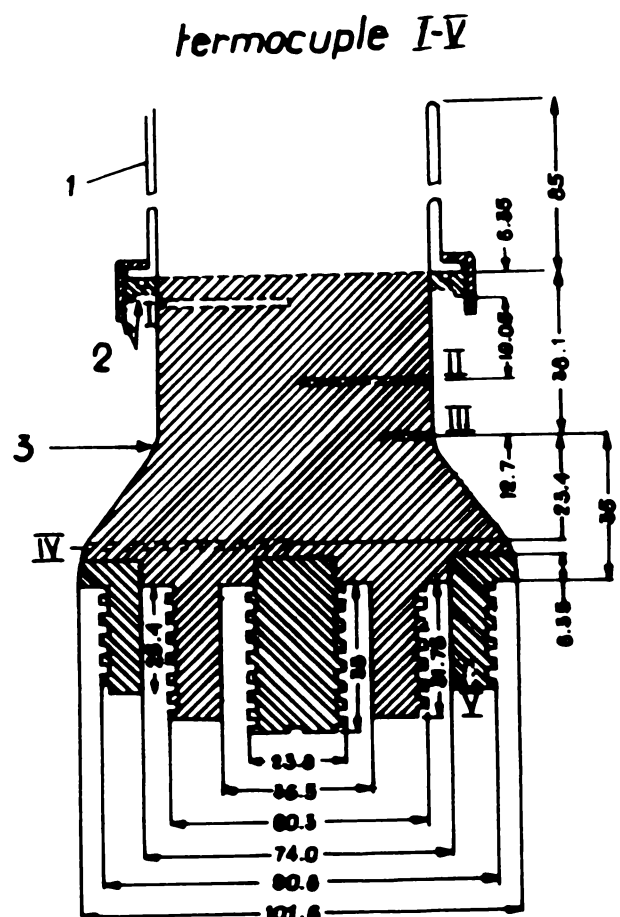
Fig.21.- Aparat experimental cu suprafață plană de transfer de căldură¹²⁹.

1 - condensator de reflux; 2 - suportul încălzitorului; 3 - milivoltmetru electronic înregistrator; 4 - izolator termic; 5 - încălzitor cilindric din cupru; 6 - stativ de sprijin a instalației
7 - circuitul apa de răcire.

Instalația constă din încălzitorul cilindric 5 din cupru, suportul 2 al încălzitorului, condensatorul de reflux 1 și un mecanism de întrerupere automată a încălzirii electrice în caz de suricul.

Încălzitorul 3 (fig.22) este confecționat din cupru pur cu o configurație circulară. Un cilindru 1 din sticlă pirex constituie vasul în care se află lichidul în fierbere. El este prins de corpul încălzitor prin intermediul unei piulișe olandeze 2 din oțel inoxidabil. Încălzitorul prezintă în partea inferioară trei inele pe care se găsesc infăgurești firme-rezistență electrică din nichel-crom care generă fluxul termic. Cinci termocouple de fier-constantă sunt așezate ca în figură realizând: două, măsurarea fluxului termic la suprafață de fierbere, unul pentru determinarea fluxului termic pierdut în exterior, unul, pentru a verifica dacă condițiile etaoilite sunt realizate și ultimul pentru comanda funcționării sistemului de protecție.

în caz de suprareînlăzire. Aparatul este adecvat pentru a se realizeze determinări experimentale și în condiții de lipsă a gravitației.



Pig.22.- Secțiune verticală prin încălzitorul aparatului experimental¹²⁹.
1 - cilindru din sticlă pyrex; 2 - oțel inoxidabil; 3 - corpul încălzitor din cupru pur; I-V termocouple.

Aparatele cu suprafață plană de transfer de căldură se utilizează pentru:

- determinarea experimentală a coeficientului de transfer de căldură α ;
- studiul influenței geometriei suprafeței de transfer termic asupra procesului de fierbere;
- studiul mecanismului procesului de fierbere prin determinarea numărului de centri activi.

3.2.3. Aparatele cu suprafață cilindrică de transfer de căldură formată dintr-un tub metalic în poziție orizontală, verticală sau inclinată, sunt din punct de vedere funcțional cele mai apropiate de instalațiile industriale existente, în care au loc procese de fierbere. Încălzirea suprafeței de transfer de căldură se poate realiza electric

sau cu ajutorul unor purtători de căldură. Purtătorii de căldură (aburi săruri topite, etc.) circulă prin interiorul tubului, fierberea lichidului având loc în exteriorul său.

Avind în vedere comoditatea metodei, mareea majoritate a eparătorilor experimentale prezентate în literatură^{68,74,85,128} au adoptat metoda încălzirii electrice.

In fig.23 se indică schema unui aparat experimental⁸⁵, dintre cele mai complete, arerat cu ajutorul căruia se scoperă întreg domeniul fierberii, în bule, de tranziție și în film, cu stabilitate maximă în funcționare.

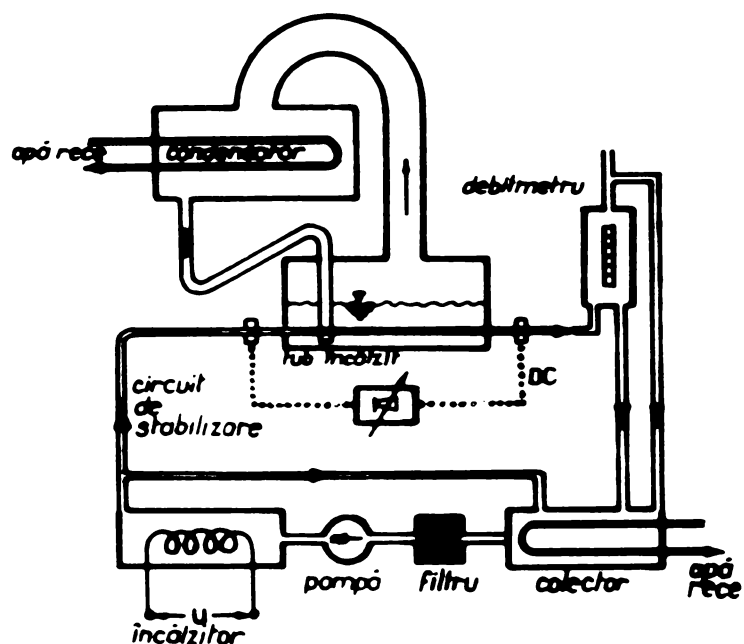


Fig.23.- Schema de principiu a esăretului experimental cu suprafață cilindrică de transfer de căldură⁸⁵.

Tubul care formează suprafața de transfer este orizontal și introdus în evaporator. Suprafața exterioară a tubului este în contact cu lichidul de evaporare. El poate fi încălzit în două moduri:

- prin trecerea directă a curentului electric;
 - prin trecerea unui fluid de încălzire prin interiorul său.

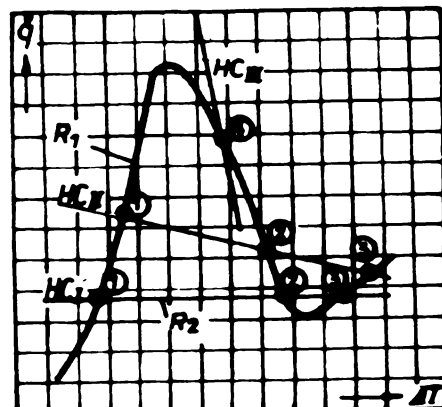
Combinarea acestor două metode constituie singura metodă care permite realizarea parametrilor doriti, caracteristici suprafeței de încălzire.

La încălzirea electrică, caracteristica de încălzire a suprafeței este dată de relația:

$$q \cdot A = \frac{\Delta U^2}{R_{\text{rez}}} \quad (47)$$

Dependența de temperatură a rezistenței electrice nefiind luată în considerare, variația lui q - caracteristica de încălzire a suprafeței - este independentă de Δt , astfel încât ea reprezintă o dreaptă cu panta egală cu zero (fig.24).

Fig.24.- Curba caracteristică de fierbere (R_1) și curba caracteristică a suprafeței de încălzire (R_2).⁸⁵



Născă, concomitent cu încălzirea electrică, prin tubul de încălzire trece un fluid oarecare, fluid de stabilizare, panta liniei care reprezintă curbe caracteristice pentru suprafețe de încălzire, se schimbă. Încărcarea termică specifică q a suprafeței de încălzire poate fi obținută în acest caz prin integrarea ecuației care dă energia necesară fenomenului de fierbere. Rezultatul este:

$$q = \frac{1}{R_p} \cdot \Delta t + \frac{1}{R_p} (t_f - t_s) + q_0 \quad (48)$$

unde R_p reprezintă rezistența termică a transferului termic de la fluidul de stabilizare la perete, t_f temperatura fluidului de stabilizare, t_s temperatura de saturare (fierbere) a lichidului supus fierberii și q_0 fluxul energetic pus în libertate de încălzitorul electric.

Ecuația de mai sus este o linie dreaptă, cu pantă negativă, în planul coordonatelor $q - \Delta t$.

Punctele de intersecție ale curbei caracteristice de fierbere a lichidului și liniei caracteristice a suprafeței de incălzire constituie punctele posibile de lucru ale evaporatorului. Condiția:

$$\left(\frac{\partial q}{\partial (\Delta t)} \right)_{\text{curba de fierbere}} > \left(\frac{\partial q}{\partial (\Delta t)} \right)_{\text{dreapta de incălzire}} \quad (49)$$

constituie condiția de stabilitate a punctului de lucru și este decisivă. Punctul de lucru este stabil dacă panta curbei de fierbere în acest punct este mai mare decât cea a dreptei caracteristice a suprafeței de incălzire. De exemplu, în fig. 24, punctele 1 și 3 sunt stabile iar punctul 2 este instabil. De asemenei și punctul 4 este stabil.

Alegind o pantă suficient de mare pentru caracteristicele elementului de incălzire, adică alegind în mod rational veloarea incălzirii electrice precum și temperatura și debitul fluidului stabilizator, este posibil să se realizeze condiții experimentale stabile pentru regimul de tranziție dintre fierberea în bule și fierberea în film.

În determinările experimentale noastre s-a utilizat un aparat cu suprafață de transfer de căldură cilindrică cu incălzire electrică, fără fluid stabilizator, deoarece punctele 1 (fig. 24) de lucru situate în regiunea fierberii în bule, regiune studiată, sunt stabile în aceste condiții.

Literatura^{7,12,19,63,68,74,85,113-128,133} arată că, aparatele cu suprafață de transfer de căldură cilindrică se utilizează în vederea realizării următoarelor:

- determinarea coeficientului de transfer de căldură în toate regiunile de fierbere, în bule, în tranziție, în film;
- determinarea coeficientului de transfer de căldură în regim de circulație naturală și forțată, la diferite valori ale presiunii;
- determinarea coeficientului de transfer de căldură la lichide pure, smestecuri, soluții și topituri;
- determinarea coeficientului de transfer de căldură la diferite

forme geometrice ale suprafeței de transfer termic.

Pentru realizarea determinărilor indicate anterior literatură prezintă o gamă largă de variante constructive ale aparatelor experimentale cu suprafață de transfer de căldură tubulară.

Măsurarea mărimii parametrilor care interesează de exemplu temperatură, se poate realiza prin măsurare directă, cu termometrul, sau prin transformarea în mărimi electrice, ex: cu termocouple, care sunt trimise la sferete electrice indicatoare sau înregistratoare.

3.3. Principiul de calcul al transferului căldurii la fierbere în aparatelor experimentale

Centitatea de căldură transmisă de către o suprafață încălzită cu temperatura t_p , spre lichidul în fierbere, cu temperatura t_f , prin microstratul adiacent peretelui, cu rezistență termică $1/\alpha$, într-un timp orericare τ , se calculează cu relația:

$$Q = \alpha \cdot (t_p - t_f) \cdot A \cdot \tau \quad (50)$$

de unde:

$$\alpha = \frac{Q}{A \cdot \tau} \cdot \frac{1}{t_p - t_f} \quad (51)$$

Din această relație rezultă:

$$\alpha = \frac{Q}{\Delta t} \quad (52)$$

coeficientul de transfer de căldură la fierbere.

P A R T S A II-a

CONTRIBUȚII ORIGINALE LA SECHIUL TRANSPARULEI CALCARII
LA PIERDEREA ALLEGATORILOR SI SOLUTIILOR.

Revoltarea tehnicii, apariția de tehnologii noi, cum ar fi de exemplu cea nucleară sau explorarea spațiului cosmic, ridică noi probleme de cercetare în domeniul transferului de căldură la fierbere. În afara acestor probleme cu totalul noi, catorâtă condițiilor în care fenomenul de fierbere are loc, în domeniul transferului de căldură la fierbere există încă multe aspecte insuficiente și chiar unele foarte puțin studiate.

Astfel, în tot numărul urmării de lecții ce se efectuează în acest domeniu, tratând aspecte extrem de variate, transferul de căldură la fierberea anestecorilor și soluțiilor binare apără relativ scăzută în problematica de cercetare, deoarece în practica industrială fierberea acestor anestecuri și soluții se întâlnesc cu mult mai frecvent decât fierberea substanțelor pure.

În cadrul sistemelor binare, cercetările sunt orientate mai ales către anestecorile a două lichide (în special de natură organică) miscibile sau parțial miscibile. În ultimii timp au apărut o serie de lecții tratând și problematica soluțiilor de substanțe solide. Acestea au apărut ca o necesitate a faptului că relațiile deduse pe considerente teoretice și verificate cu valori obținute experimental, pentru lichide pure, nu pot fi aplicate cu suficientă exactitate și în soluții, conduciind la erozi.

Constatându-se că, relațiile deduse pe considerente teoretice:

- nu sunt valori satisfăcătoare;

- în aceste calcule sunt necesare constante fizico-chimice și termice la diferite concentrații ale soluțiilor și anestecorilor, constante care lipesc parțial sau total (în special pentru domeniul concentrațiilor mari și a substanțelor organice non sintetizate);

• considerind că avem ocazia importantă cunoașterea valoilor coeficientului de transfer de căldură în fierbere în vederea proiectării tehnice a instalațiilor chimice unde avem procese cu loc, în mod deosebit la soluții și azeotropuri cu importanță tehnologică;

rezultă că determinarea și cunoașterea ca măsură a valoilor coeficientului de transfer de căldură \propto la fierbere, constituie o nevoie obiectivă.

Pentru determinarea experimentală a valoilor coeficientului de transfer de căldură \propto la fierbere, a fost necesară proiectarea și construirea unor instalații de laborator, lucru realizat în cadrul laboratorului nostru. Astfel, sună construit și funcționând următoarele:

• aparat experimental cu corp incilzitor cilindric orizontal, cu încălzire electrică;

• aparat experimental cu corp incilzitor cilindric, orizontal, cu încălzire cu vaporii de apă;

• aparat experimental cu corp incilzitor sub formă de fir metalic, cu încălzire electrică.

Pe lângă cele amintite, în prezentă lucrare s-a studiat transferul de căldură în fierbere la soluții și azeotropuri care au o importanță cuantificată în domeniul ecologic și în domeniul organic.

• s-au determinat valoile coeficienților de transfer de căldură \propto la fierbere pentru azeotropuri cu importanță tehnologică;

• azeotropuri apăsate și benzeneice de caprolectană care în procesul tehnologic apăzură sălăt sau sălătătatea concentrată și care trebuie să fie concentrate pînă în fierbere^{13,142};

• azeotropuri toluenice de n-(β-cianoetil)-caprolectană, important solvent selectiv, care în procesul de tehnologic de obținere apără în exces cu toluen și trebuie separat, operație ce se zo-

alineam prin fierbere¹⁴³;

- acetozini apăză de noi β -(cloroetil)-caprolactam care apăză în timpul utilizării și care în operația de regenerare sănătății capăză separării prin fierbere¹⁴³;
- acetozini termice de caprolactam-alcool etilic - apă;
- soluții monocetilenglicolic de extracție, care apăză în procesul de rectificare a anticeozului de minimă 93% puritate și care se supun fierberii în vederea purificării.

În ceea ce urmărește, s-a determinat și s-a reprezentat grafic variația temperaturii de fierbere a acetozinilor studiați, în funcție de concentrație.

Pentru a mai apăză menevrarea a datelor obținute experimentul, în vederea determinării valorii coeficientului de transfer de cloruri OC la fierbere, s-a întocmit programul pe calculator în limbaj PASCAL, al relațiilor de calcul necesare.

În vederea înțelegării mai profunde a fenomenului fierberii soluțiilor apăză de substanțe cu solubilitate limitată, problematica respectivă s-a abordat sub un alt unghi, și anume:

- s-a lăsat în studiu soluțiile apăză de substanțe cu solubilitate limitată, ca de exemplu acetatul de potasiu și fosfatul dicomicic, căreia lă s-a determinat experimental valorile coeficienților de transfer de cloruri OC la fierbere, pe calea diferențelor tehnice specifice q ale suprafeței de încuiere, pe întreg domeniul de solubilitate. Pentru aceste soluții, extrapolându-se conoluările la toate tipurile de soluții apăză de substanțe cu solubilitate limitată, s-a stabilit relații de regularitate a transferului de cloruri la fierbere¹³⁴;

- pe baza regulașităților găsite, s-a stabilit o nouă relație de calcul a coeficientului de transfer de cloruri OC la fierberea acetozilor soluți¹³⁷;

• s-a stabilit modelul matematic al fenomenului fierberii cu lățiiile opacoare de substanțe cu solubilitate limitată, fenomen previt din punctul de vedere prezentat anterior. Importanța deosebită a noii relații de calcul concordă în acesta că, în cazul unei soluții noi supuse studiului transferul termic la fierbere, săt suficiente doar un număr de trei determinări experimentale pentru acoperirea întregului domeniu de concentrații exprimate între $x = 0$ și $x = x_{\text{sat}}$, și întreg domeniul de încălziri termice specifice c̄ a suprafeței incisitoare, în cazul regimului de fierbere în bali.

În ideea stabilirii compatibilității aparatului experimental cu fier metalic incisitor, cu aparatul experimental cu tub cilindric incisitor, în cazul studiului fierberii, determinările se vor face corespunzător de transfer termic \propto , sau fără determinări experimentale la axii distanții, tolmau și amestec de $n(\beta \text{-acetoat})$ - coproiectan în balanț.

Toate aceste studii le-am efectuat în dorința ca ele să constituie o contribuție directă la efortul global de elucidare a fenomenului fierberii în general, și al fierberii soluțiilor și amestecilor particulare.

Capitolul 4

ANALIZA VALORELOR DATORITE AEROMOTORULUI AVANTAJEALA

A CAMPIONIRII LA PLANSELE DE CALORIE LA FIERBARE.

Principiul pe care se bazează determinarea experimentală a coe-
ficienților de transfer de căldură la fierbere este de a stabili diferența
de temperatură dintre temperatură suprafetei încălzitoare în
contact cu lichidul în fierbere și oană de fierbere a acetecului
pentru o valoare dată a încărcării termice specifică q_s a suprafelei
încălzitoare. Vă trebuie deci să mențineți același trei parametri. În
funcție de tipul aparatului experimental, modul de stabilire a acestor
valori diferește. În cadrul laboratorului disciplinei de operații și
aparate din Industrie Chimică de la Facultatea de Inginerie Chimică
îmaginează o-un proiect, construit și funcționând următoarele tipuri
de instalații experimentale:

- aparat experimental cu corp încălzitor cilindric orizontal, cu
încălzire electrică;
- aparat experimental cu corp încălzitor cilindric orizontal, cu
încălzire cu vaporii de sare sau;
- aparat experimental cu corp încălzitor sub formă de fir moto-
lic, cu încălzire electrică.

Ceste aparate sunt utilizate în mod curent la rezolvarea diver-
selor probleme de transfer de căldură la fierbere ridicate de cer-
tărești și inginerii fundamentali și contractuali.

In cele ce urmăresc se prezintă principiul constructiv și func-
țional al acestor aparițe.

4.1. Apparatuș experimental cu corp încălzitor cilindric orizontal, cu încălzire electrică, pentru determinarea coeficientului de transfer de căldură de cilindru către fierbere.

Partea principală a instalației experimentale (figurile 25 și 26) o constituie vacuul de sticlu 1, cilindric și vertical, în interiorul căruia se aduceți explozat, orizontal, corpul încălzitor cilindric 2, confectionat din otel inoxidabil. În cedie, dimensiunile sale geometrice au fost: $L = 50$ mm, $d_0 = 10$ mm, $\delta = 0,2-0,3$ mm. Corpul cilindric 2 a fost legat la bornele transformatorului electric boboșitor 3 prin intermediul capetelor cilindrice mărite 4, confectionate din cupru, în vederea evitării căderilor de tensiune, produse pe aceste porțiuni.



Fig. 25.- Instalația experimentală cu corp încălzitor cilindric orizontal, cu încălzire electrică, pentru determinarea coeficientului de transfer de căldură la fierbere.

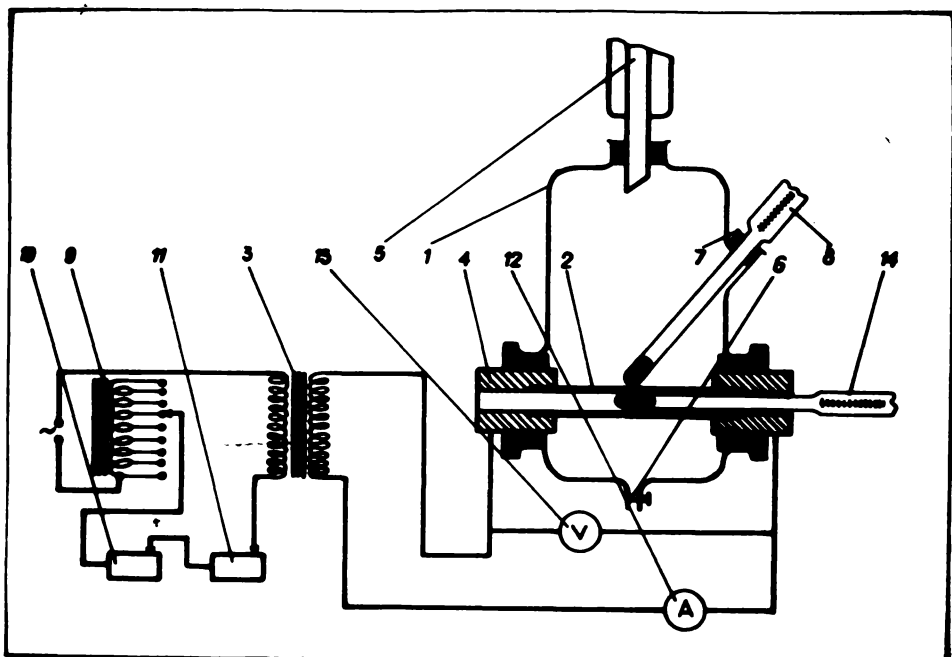
Pentru realizarea etențării între capetele mărite 4 și corpul vacuului de sticlu 1, s-a utilizat dopuri de cauciuc, în ceea ce astecurilor fără acțiune de disolvare a corpului cauciucului, sănătatea și siguranța lucrărilor de lucru.

Pentru asigurarea unei concentrații constante a acetocelulai în traiul experimentelor, s-a utilizat refrigerantul 5 în vederea rezilierea refluxului total.

Pentru realizarea etențării între capetele mărite 4 și corpul vacuului de sticlu 1, s-a utilizat dopuri de cauciuc, în ceea ce astecurilor fără acțiune de disolvare a corpului cauciucului, sănătatea și siguranța lucrărilor de lucru.

Pentru realizarea etențării între capetele mărite 4 și corpul vacuului de sticlu 1, s-a utilizat dopuri de cauciuc, în ceea ce astecurilor fără acțiune de disolvare a corpului cauciucului, sănătatea și siguranța lucrărilor de lucru.

Sunt prezentate în figura 26, în cazul astecurilor



15.26. Adevărat de principiu a inotelorii experimentale cu corp înclinator cilindric orizontal, cu încălzire electrică.

1 - vas de otel, cilindric, vertical; 2 - corp înclinator cilindric orizontal din oțel inoxidabil; 3 - transformator electric coboritor de tensiune; 4 - capete cilindrice moive din capuză; 5 - refrigerent; 6 - orificiu de golire și apăzare; 7 - orificiu înclinat; 8 - termometru de precizie; 9 - autotransformator; 10, 11 - rezistoare; 12 - expozitru; 13 - voltmetru; 14 - termometru de precizie.

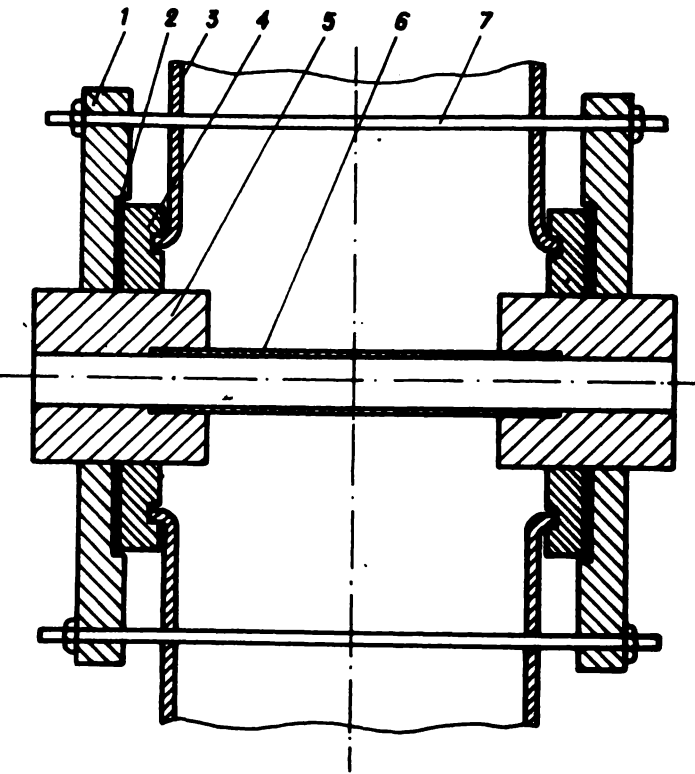
În partea inferioară a vasului 1, se practică orificiul 6 pentru golirea și apăzarea ușoară a apei din tub. În același timp, careasă este practicat orificiul înclinat 7 pentru introducerea termometrului de precizie 8, cu ajutorul căruia se determină temperatura de fierbere a amestecurilor.

rezerva termică necesară realizării și studierii fenomenului fierberii este coagăsată, ca urmare a efectului Joule-Lents, de curențul electric de intensitate înaltă care circulă prin cilindrul orizontal 2.

Circuital electric, care formează din autotransformatorul coboritor de tensiune 9, rezistoarele variabile 10 și 11, punctul reglajului intensității înclinsirii, transformatorul coboritor de tensiune 3,

²
Fig.27. - Sisteme de etanșare
al aparatului ciborioscual
prin utilizarea prestrângerei
cu precotupă din teflon.

1 - plăci de etanșare; 2 -
gumături cauciuc; 3 - văo
de sticla; 4 - inel de etan-
șare din teflon; 5 - capete cil-
indrice din cupru; 6 - cusp
înălătoare cilindric orizontal;
7 - tirant de strângere.



capetele cilindrice cuive de cupru 4 și cilindrul orizontal încil-
nătoare 2 care constituie rezistența electrică debitoare de energie ter-
mich a sistemului.

Circuitul electric se alimentează cu un curent electric alter-
nativ, lăsând în considerare cauza care a cilindrului încilnătoare al-
ternanțele curentului alternativ nu intră din cauza în valoarea de-
telor experimentale, adăvăz empiric și în literatură de speciali-
tate.⁸⁰

În cadrul circuitului electric sătăcătoare aparatelor de cibori-
zu și control aferente: exponențial 12 și voltmetru 13.

Prin recordarea instalației la o poziție de vid și la un ampe-
metru alcătuit de precizie se pot realiza determinările și la pre-
cizii mai mici ca procedura atrofieristică.

Pentru stabilizarea valoții parametrilor necesari calculului co-
eficientului de transfer de căldură α în fierbere, cum este incide-
carea termică specifică q a suprafeței încilnătoare și diferența
de temperatură Δt între temperatura suprafeței încilnătoare t_p și
temperatura de fierbere a suportului t_{p_0} , se procedează la alcătu-
rea unor măsurări electrice, geometrice și termice.

Tabola 2

Valeurile experimentale ale lui α pentru diverse încărcări termice specifice q ale suprafeței de încălzire și diverse diferențe de temperaturi Δt , la fierberea apăi distilate, în presău atmosferică.

Nr. ord.	E N/m^2	I A	Δt $^{\circ}C$	$I \cdot E \cdot \Delta t$ $A \cdot N \cdot s$	α	
					$10^{-3} \cdot \alpha$	$10^{-3} \cdot \alpha$
1	140 900	5,140	10,4	1,017	13 500	4,130
2	161 300	5,200	11,0	1,042	14 600	4,166
3	182 900	5,261	11,7	1,066	15 600	4,193
4	203 600	5,322	12,3	1,090	16 690	4,222
5	225 300	5,389	12,8	1,107	17 690	4,252
6	256 900	5,409	13,3	1,124	19 300	4,285
7	284 000	5,453	13,8	1,140	20 990	4,313
8	311 000	5,493	14,1	1,149	22 450	4,343
9	340 000	5,541	14,5	1,162	24 000	4,370
10	374 000	5,573	15,1	1,179	24 800	4,394
11	411 000	5,613	15,4	1,198	26 600	4,426
12	442 000	5,646	15,7	1,209	29 200	4,450
13	480 000	5,682	16,1	1,207	29 800	4,474
14	515 000	5,712	16,5	1,218	31 200	4,494

În vederea determinării încărcării termice specifice q a suprafeței încălzitoare se obțin: căderea de potențial pe corpul încălzoitorului 2 cu voltmetrul 13; intensitatea curentului ce trece prin corpul încălzoitor 2 cu ampermetrul 12; suprafața de coborâre căldură din inoxine și diametrul exterior al corpului încălzoitor 2.

Valeoarea lui q este calculat ca relație:

$$q = \frac{A I \cdot E}{\pi \cdot d_0 \cdot l} \quad (53)$$

Indicati si la paragraful 3.3.

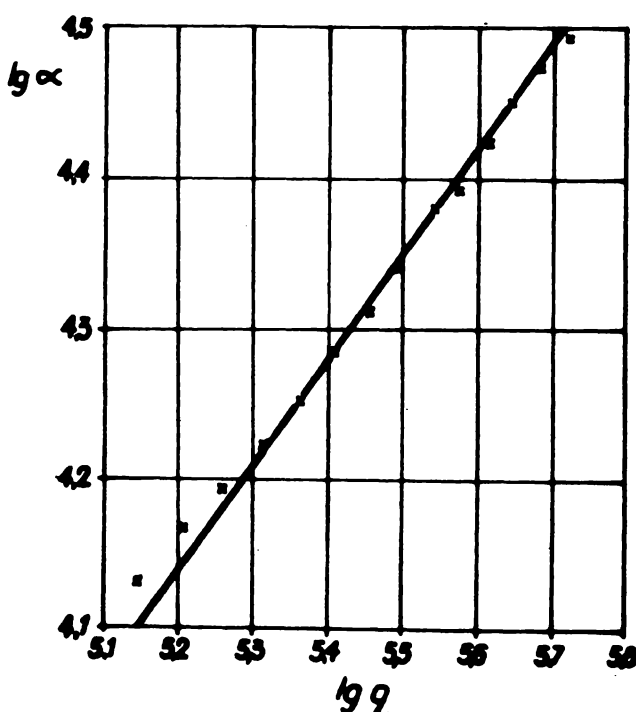
Temperaturile de fierbere a acetocuialor se măsoară cu termometrul S. Temperatura suprafeței corpului incülător se stabilește din valoarea temperaturii porțiunii interioare al cilindrelui incülător, măsurată cu ajutorul termometrului de precizie 14 și corectată conform reloașiei $52,146$,

$$t_{2e} = t_{21} - \frac{q \cdot d_2}{4 \cdot \lambda} \cdot \left[1 - \frac{2 \ln d_0/d_1}{(d_0/d_1)^2 - 1} \right] \quad (54)$$

Verificarea aparatului se efectuează determinându-se valoarea coeficientului de transfer de căldură α la fierberea apelă distilată, la preciziea stansoforică și diferențele încălzirii termice specifice q .

Prezentarea grafică, în funcție de q a valorilor α obținute experimental (tabela 2), în coordinate logaritmice (figura 20), a dat o dreaptă cu cinci parametri caracteristici, punctul și ordonata în origine au aproximativ aceleasi valori ca valorile prezentate

Fig. 20. Varianta valorilor experimentale ale coeficientului de transfer a căldurăi α , la fierberea apelă distilată, în funcție de factorul tehnicii specifici q a suprafeței de încălzire, la preciziea stansoforică.



în literatură de specialitate^{52,136} și anume:

$$\alpha = 3,34 \cdot q^{0,7}$$

- din literatură

(55)

$$\alpha = 3,16 \cdot q^{0,7}$$

- experimental

Se observă o bună concordanță a rezultatelor experimentale cu cele indicate în literatură de specialitate, ceea ce atestă faptul că aparatul este apt pentru a fi utilizat în vederea realizării cercetărilor în domeniul fierberii în baza a obiectelor.

4.2. Aparatul experimental cu corp încălzitor cilindric orizontal, cu agent încălzitor vaporii de mercur.

Aparatul experimental (figurile 29 și 30) este format din trei părți distincte și anume: generatorul de vaporii de mercur, aparatul

de fierbere propriu zis și sistemul de măsurare a debitului de mercur condensat, respectiv sistemul de condensare de siguranță.

Generatorul de vaporii de mercur este constituit din cuptorul de încălzire 1 prevăzut cu sezionele electrice 2 și tubul ceramic central 3. Recipientul fierbitor 4, din oțel inoxidabil, este prevăzut cu orificiu 5 de umplere sau golire cu mercur, recordul 6 de evacuare a vaporilor de mercur și diverbul hidraulic 7 care asigură reîntoarcerea în rezervorul fierbitor 4 a eventualelor cantități de mercur condensate și la intrarea vaporilor în interiorul suprafeței de schimb de căldură.

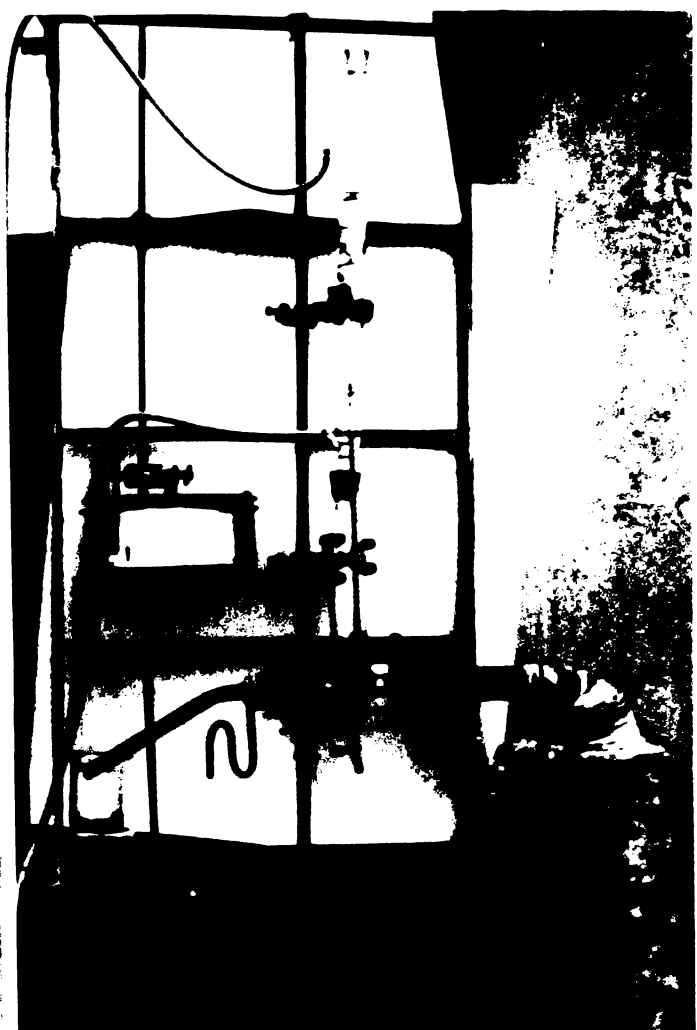


Fig. 29.- Instalația experimentală cu corp încălzitor cilindric orizontal, cu agent încălzitor vaporii de mercur, pentru determinarea coeficientului de transfer de căldură α la fierbere.

• 2 3 4 5 E 7 8 3 7 7 2 6 4 E E 7 E S D Z 2

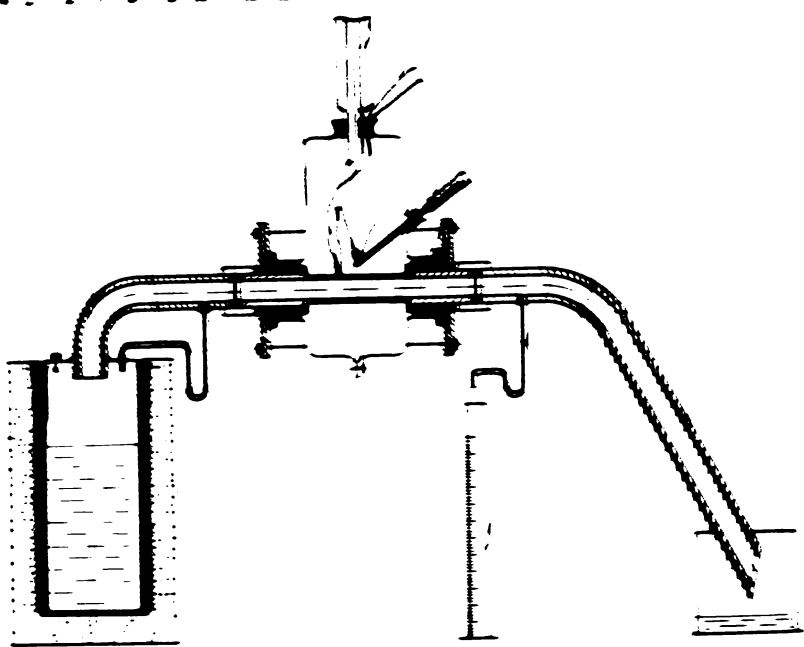


Fig. 3.- Schema de principiu a instalației experimentale cu corp cilindric în călător orizontal, cu apă și înzătător vaporii de sarem.

1-opter de înzătăre, 2-conducător electric, 3-tub ceramic, 4-roti servos fierbător, 5-sifonie, 6-aceurd evacuare vaporii, 7-19-afuze hidraulice, 8-ant, 9-geamuri din teflon, 10-cisternă de pezentărișare 11-campor din teflon, 12-vad din cauciuc, 13-corp înzătitor, 14-corp de sticla cilindric, vertical, 15-refrigerant, 16-termocouple diferențial, 17-termometru, 18-sifonie de galine și apălare, 20 și 22-vas de colectare, 21-aceudator.

Corpul de fierbere propriu zis este format din trei corpuri de sticla 14, cilindric și vertical, prevăzut cu sifonie 18 de galine și apălare, în interiorul cărora se găsește amplasat, orizontal, corpul înzătitor cilindric 13, confectionat din opal inoxidabil. În secție, dimensiunile geometrice ale corpului înzătitor au fost: $L = 50$ mm, $d_1 = 12,8$ mm, $d_{int} = 12$ mm, $\delta = 0,4$ mm. Prin intermediul amelor 8 și a geamurilor de teflon 9, corpul înzătitor 13 este legat de gămoniera de vaporii de sarem și de cisterna de condensare de siguranță. Temperatură între corpul de înzătăre 13 și vasul de sticla 14 se realizează prin intermediul măpoanelor din teflon 11, doborilor din cauciuc 12, și a cisternei de prezentărire 15 (decrie în paragraful 4.1.). Difer-

zenă de temperatură dintre temperatura suprafeței încălzitoare și temperatura de fierbere a lichidului supus studiului se determină prin intermediul termocoplului diferențial 16. Temperatura de fierbere a lichidului supus fierberii se citează la termometrul de precinie 17. În vederea realizării rezultatului total s-a prevăzut condensatorul (refrigerantul) 19. Termocuplul diferențial 16 este o suflare amplasată pe suprafața exterioară a corpului 13 iar cealaltă pe rezervorul cu sareură a termometrului 17.

Sistemul de alimentare a debitului de sareură condensat în interiorul corpului încălzitor 13 se ocupă din altfel hidraulic 19 și vasul de colectare 20.

Pentru a se adăuga condensarea totală a vaporilor de sareură s-a prevăzut condensatorul 21 și vasul colector 22.

Întreaga instalație experimentală a fost decobbită de bine și atent izolată termic de mediul încărcător astfel încât cantitățile de căldură pierdute să fie cît mai mici, practic neglijabile.

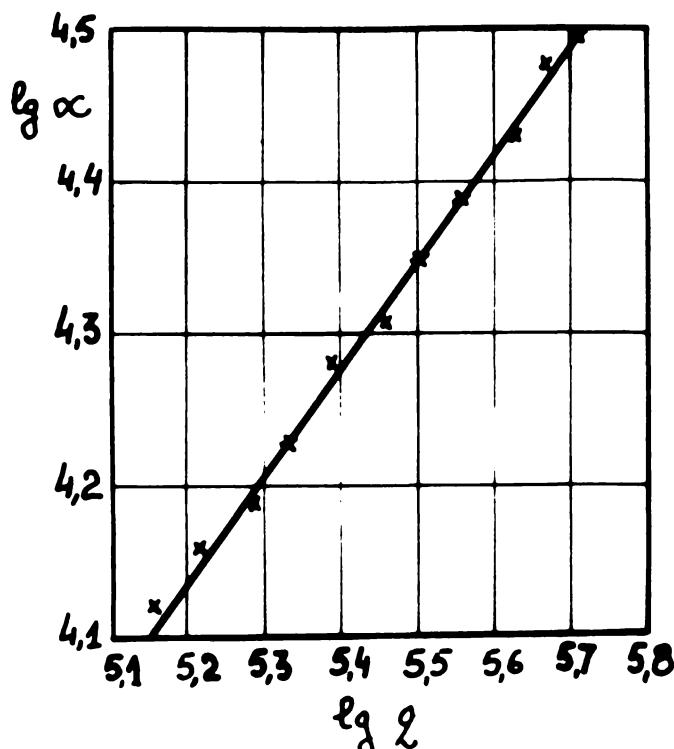
Pentru stabilirea valorilor parametrilor necesari calculului coeficientului de transfer de căldură α la fierbere, cum este îndepărarea termică specifică q a suprafeței încălzitoare și diferența de temperatură Δt între temperatura suprafeței încălzitoare și temperatura de fierbere a acetonaui se procedează la măsurarea unor mărimi electrice, geometrice și tehnice.

În vederea determinării încărcării termice specifice q a suprafeței încălzitoare se măsoară: debitul de sareură condensat pe suprafața corpului încălzitor 13 și suprafața de sarcină de căldură, din lungime și diametru exterior al corpului încălzitor 13. Valoarea lui q s-a calculat cu relația:

$$q = \frac{\pi z}{m} d_0 \alpha x \quad (56)$$

în care, m – debitul de sareură condensat; kg/s; x – căldura latentă de condensare a sareuriei, J/kg.

Fig. 31.- Variatia valorilor experimentale ale coeficientului de transmitere a caldurii α , la fierberea apel distilata, in functie de incarcarea termica specifica q a suprafetei de incalzire la presiunea atmosferica, pe intervalul de vaporii de mercur.



Prin modificarea parametrilor caracteristici de incalzire a caporului 1, modificarea lui n , sau prin schimbarea presiunii in circuitul de incalzire, modificarea valoarii lui x , se modifica incarcarea termica specifica q a suprafetei de incalzire 1.

Valoarea coeficientului de transfer de calduri α la fierbere se obtine din relatie:

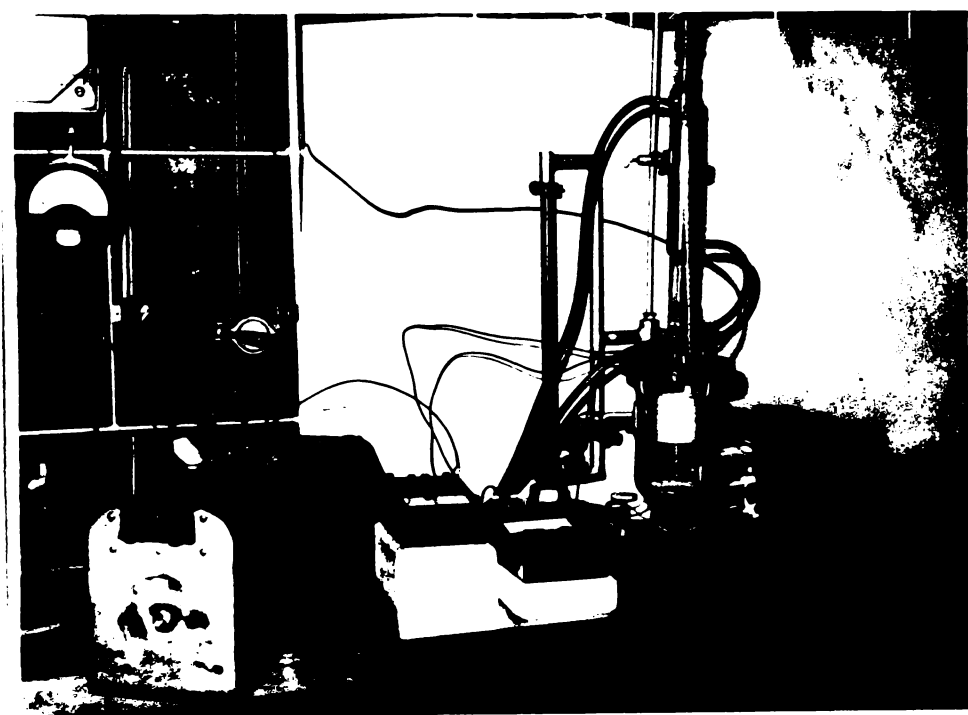
$$\alpha = \frac{q}{\Delta t} \quad (57)$$

Verificarea aparatului s-a realizat cu apă distilată care este supus fierberii la presiunea atmosferică și la diferite încărcări termice specifice q . Valorile experimentale sunt prezentate în figura-grafic 31, ele având o bandă corespondătoare celei din literatură. Rezultatul căi aparatul este apt pentru a fi utilizat în studiul transferului căldurii la fierberea acetosorilor și soluțiilor de substanțe cu importanță tehnologică.

4.3. Apparatuș experimental cu corp încilzitor sub formă de fiz metalic, utilizat în studiile fierboare.

paratul (figurile 32 și 33) este constituit din vasul de otel 11 7, în care se găsesc anestocanul cu pătră fierberii și firul insulător de platini 12. Vasul de otel 7 este izolat termic în partea exterioră prin intermediul izolației 5 din abur. Într-o an-

ginal este introdus într-o cămagă metalică 4 de protecție care se



4.4. 28.- Instalație experimentală cu corp încilzitor sub formă de fiz metalic, pentru determinarea coeficiențului de transfer de căldură α la fierbere.

prinde la partea superioară de capucul 6 din tezălit prin intermediul precoconștelor 14. În capac este practicat canalul circular 13 prin intermediul căruia se realizează etanșarea între vasul de otel și capac. Tot în capac sunt practicate o serie de orificii prin care trece refrigerantul 1. de soflor total, termocoral 2., cu ajutorul căruia se determină temperatura de fierbere a lichidului din vas și electrozorii model 12 din nichel, care auțin firul metalic. Corpul încilzitor este format dintr-un fir de platini de paritate 30, cu diverse diametre ($d = 0,1 - 0,5$ mm) și lungimea $L = 67$ mm. Apăr-

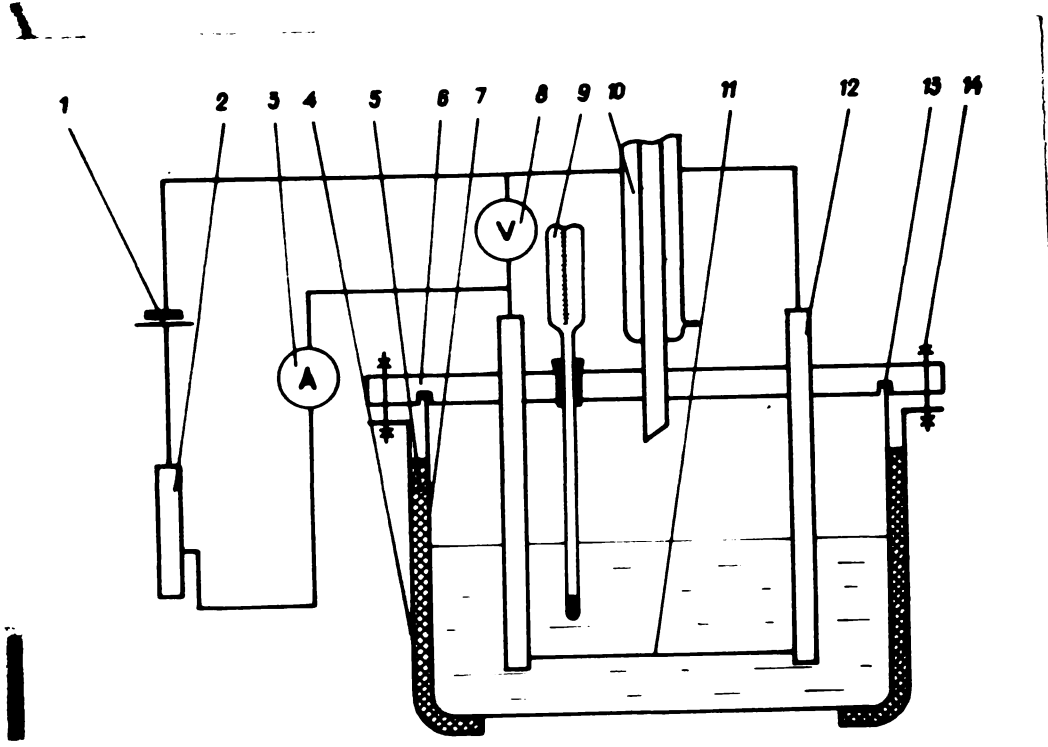


Fig. 33.- schema inotologică experimentală cu cimp inotătoare sub formă de fir catalitic, pentru determinarea coeficientului de transfer de căldură α în fierbărcă.

1 - baterie electrică; 2 - rezistență variabilă;
3 - ampermetru; 4 - șanță catalitică de protecție;
5 - izolație ecboat; 6 - capăt testolit; 7 - vârf de aliciul; 8 - voltmetru electronic; 9 - termodispozitiv; 10 - refrigerant; 11 - fir catalitic; 12 - electroduri de nichel; 13 - canal pentru etanșare; 14 - preasene.

tul poate lucra în condiții atmosferice și la presiuni mai mici decât presiunea atmosferică. Măsurătorile de alimentare cu energie electrică a operării constă dintr-o baterie electrică 1 de 12 V și 1,02 Ah, un ampermetru 3 legat în serie și un voltmetru electronic 8 legat în paralel cu filtriul de platini. În serie, în circuit, se mișcă rezistență variabilă 2 cu ajutorul căreia se modifică diferența de tensiune și curentul, respectiv anotroponul termic a circuitului metalic.

În schema inotologică rezultă că circuitul de platini este scurt-circuitat în momentul electric, închidându-se cărora rezistență

proprietăți, pe baza efectului Joule-Lenz.

Inclinația termică specifică a cuprului închisitor este rezultatul unei calcule sau din atât de la căldura care circula prin fierul:

$$q = \frac{i \cdot \Delta U}{\pi \cdot d_0 \cdot l} \quad (58)$$

Coefficientul de transfer de căldură în fierbere se calculează cu o relație de formă:

$$\alpha = \frac{q}{t_p - t_g} = \frac{q}{\Delta t} \quad (59)$$

Diferența de temperatură dintre temperatura cuprului fierului (t_p) și temperatura de fierbere a anestecului (t_g) se obține dintr-o relație de formă¹⁴⁴:

$$t_p = t_{g_0} (1 + \alpha \cdot \Delta t + \beta \cdot \Delta t^2) \quad (60)$$

În care t_g reprezintă valoarea rezistenței electrice a fierului în condițiile experimentale; t_{g_0} reprezintă valoarea rezistenței elec-

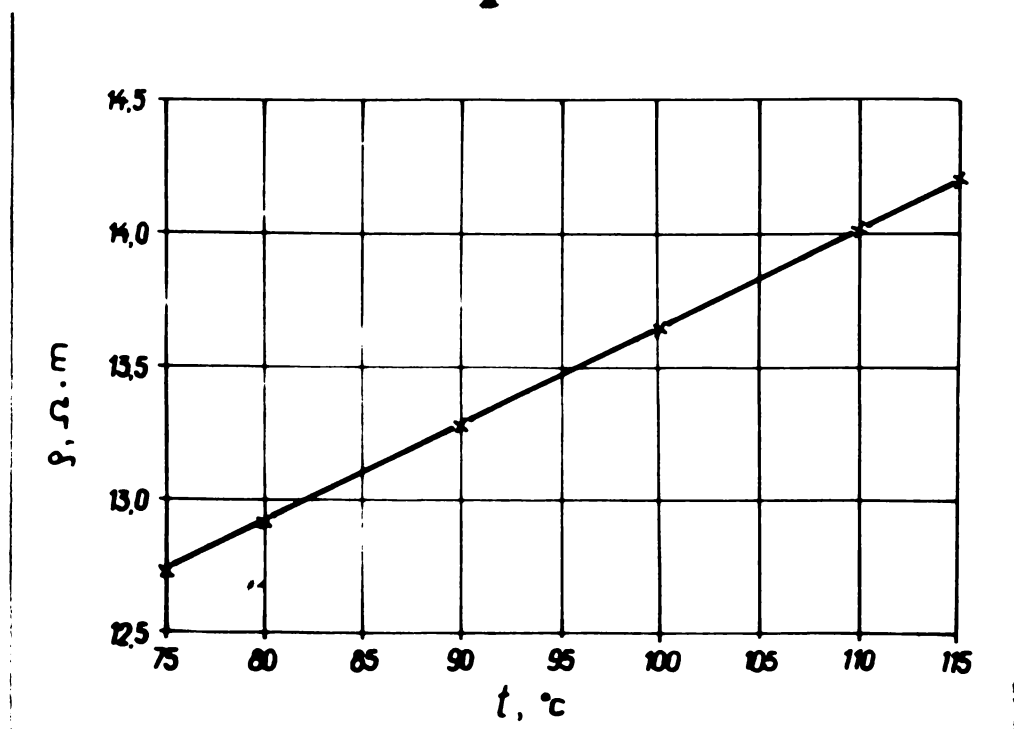


Fig. 34. Varietatea valorilor rezistențității electrice ρ a platinei în funcție de temperatură¹⁴⁵.

teice a firului la temperatură de fierbere; $\alpha = 0,00372 \text{ } \mu\text{m}^{-1}$ și $\beta = 5,5 \cdot 10^{-7} \text{ } \mu\text{m}^{-2}$ coeficienți de temperatură ai rezistenței pentru platini.

În expresia de mai sus se calculează diferența de temperatură cu relația:

$$\Delta t = \frac{\gamma}{\alpha} \quad (61)$$

pentru regimuri de fierbere în bule, în care:

$$\gamma = \frac{t_f - t_0}{t_f} \quad (62)$$

Firurile de platini utilizate, în prealabil se eliberează prin încălzire la roșu în aer timp de 15 minute.

În figura 34 se vede dependența rezistivității electrice a platinei în funcție de temperatură. Această lumeni este necesar pentru a se putea calcula ca auxiliu valoarea rezistenței electrice a firului în funcție de temperatura de fierbere a acetecului, ca o relație de forma:

$$t_f = \gamma \cdot \frac{1}{\alpha} \quad (63)$$

Verificarea bunei funcționalizări a aparatului să fie în conformitate cu ce se indică în capitolul 7.

capitolul 5

ANALIZA INFLUENȚELE DIFERENȚIILE DE VITESĂ A ZIGOGURII

LA CILINDRUL DE FIERBARE A MESTOCURILOR BIRORE CAPSOLACTARI-

APARAT.

- 5.1. Determinarea experimentării a coeficientului de transfer de căldură α la fierberea mestocurilor birore capsolactari-
apar.⁰³

Determinarea experimentală a valorilor coeficientului de transfer de căldură α , la fierberea mestocurilor apăruse de capsolactari și-a efectuat într-un aparat cu corp încilzitor cilindric orizontal (descris în paragraful 4.1.) din oțel inoxidabil, 10×100 , cu diametrul exterior de 10 mm și grosimea peretei de 0,9 mm.

Determinările s-au făcut în zgomot de fierbere intensiv și

fig.35.- Variația valorilor lui α în funcție de valoările lui q pentru mestocurile birore capsolactari-
apar, la precizarea atențio-

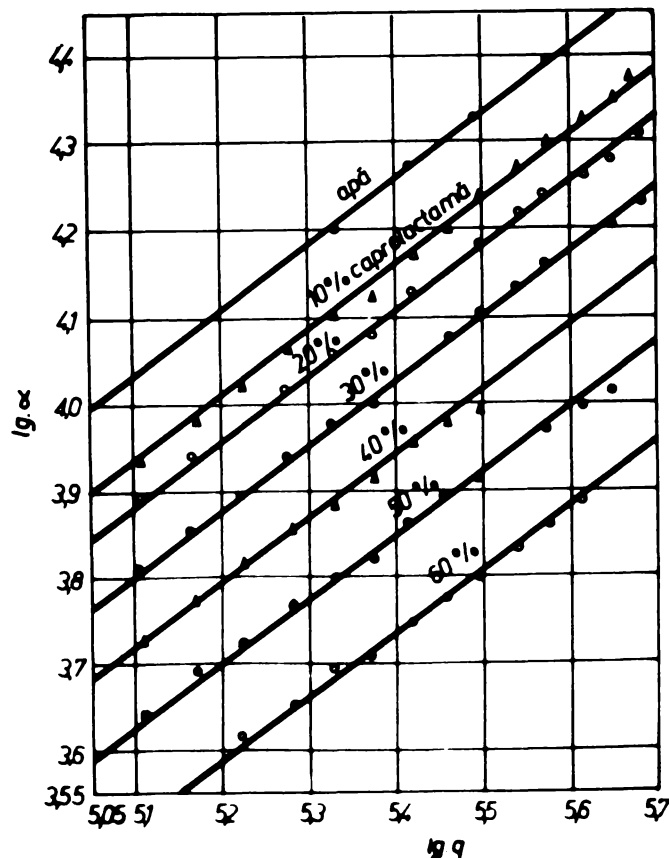
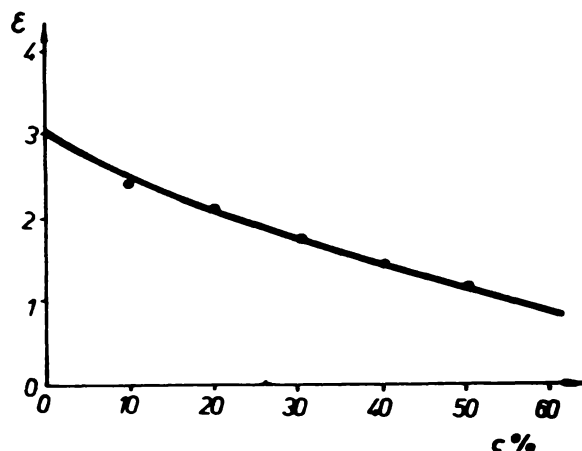


Fig.36.- Dependența valorilor coeficientului Σ de concentrația acetocurilor binare caprolactam + apă, la precizarea atmoferică.



bulo, domeniul încălzirii termice specifică a suprafeței închisitoare fiind cuprins între $1 \cdot 10^5$ și $3 \cdot 10^5$ W/m^2 . Valorile coeficientului de transfer de căldură \propto la fierbere au stabilit pentru concentrații cuprinse între 0 și 60 caprolactam, la precizarea atmosferică.

Dependența coeficientului de transfer de căldură \propto la fierberea acetocurilor binare caprolactam + apă, precum și pentru apă (concentrația 0% la caprolactam), de încălzirea termică specifică a suprafeței închisitoare este indicată în figura 35.

Tânăr graficul $\lg \alpha = f(\lg q)$ din figura 35 se observă creșterea valorilor coeficientului \propto cu creșterea valorilor lui q , la concentrații constante, respectiv scăderea valorilor lui \propto cu creșterea concentrației q , la valori constante ale lui q_0 .

Pe baza datelor experimentale s-a stabilit o relație între α și q de forma:

$$\propto = \Sigma \cdot q^0$$

în care în reprezentării puncte dreptulice și este egali cu 0,7.

Între apă (concentrația 0% caprolactam) rezultă astfel:

$$\propto = 3,16 \cdot q^{0,7} \quad (64)$$

Această rezultă, obținută pe baza datelor experimentale, a permis de altfel să se verifice a jumătatea utilizat, ea prezintă o bună concordanță cu rezultările corecționatoare, prezentate în

literatură 12, 135, 136.

coeficientul Σ este o funcție de concentrația acetocozilor caprolectan - apă. Varietatea sa se prezintă în figura 31.

elată care este deosebită dependența între Σ și α este:

$$\Sigma = 2,23 \cdot 10^{-4} \cdot C^2 + 4,05 \cdot 10^{-2} \cdot C + 3,03 \quad (35)$$

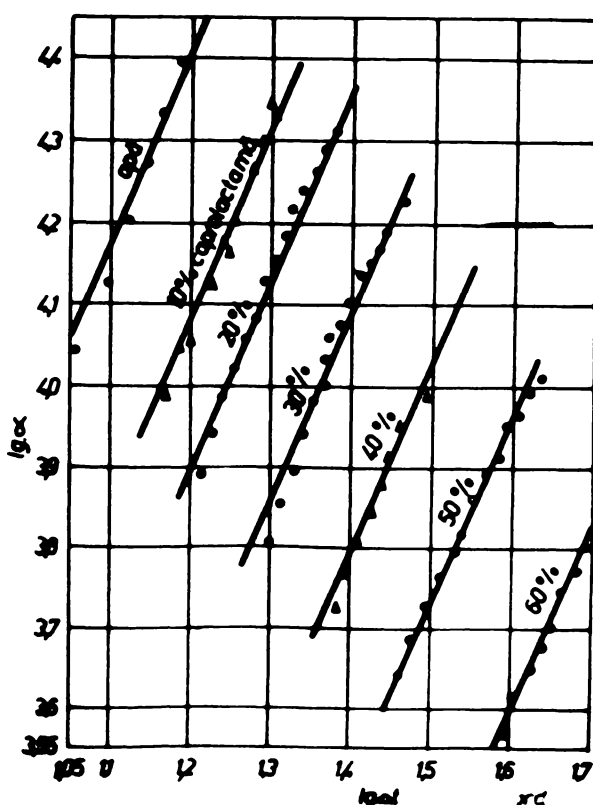
pentru întreg intervalul de concentrații.

Ecuația generală pentru calculul valorii coeficientului α pentru acetocoză binară caprolectan - apă în ceea ce concentrărilor $C = 60$ și încălzirile termice specifice ale suprafeței acelui acetoză specificate va fi:

$$\alpha = (2,2) \cdot 10^{-4} \cdot C^2 + 4,05 \cdot 10^{-2} \cdot C + 3,03 \cdot 10^{0,7} \quad (36)$$

Dependența valorii coeficientului de transfer de căldură α în fizbeza acetocozilor binari caprolectan - apă de diferența de temperatură Δt dintre temperatura suprafeței încălzitoare (t_p) și cea de fierbere a acetozului (t_f) este redată în figura 37.

Fig. 37: Varietatea valorilor lui α în funcție de valoriile lui Δt pentru acetocoză binară caprolectan - apă, în presiunea atmosferică.



Crescerea concentrației caprolectozii în amestecul caprolectoză-apă, pentru diferenții de temperaturi Δt , conduce la o scădere a valorii coeficientului α , în același mod ca și concentrația amestecului, ceeașa că crescerea diferenței de temperaturi Δt crește și valoarea coeficientului α .

În figura 37 se stabilește o ecuație de formă:

$$\alpha = \Sigma_1 \cdot \Delta t^{-2} \quad (67)$$

în care $\Sigma_1 = 2,33$ iar Σ_1 este un coefficient care depinde de concentrația amestecului. Variatia acestui coefficient în funcție de concentrație este redată în figura 38 din care se stabilesc relațiile de dependență:

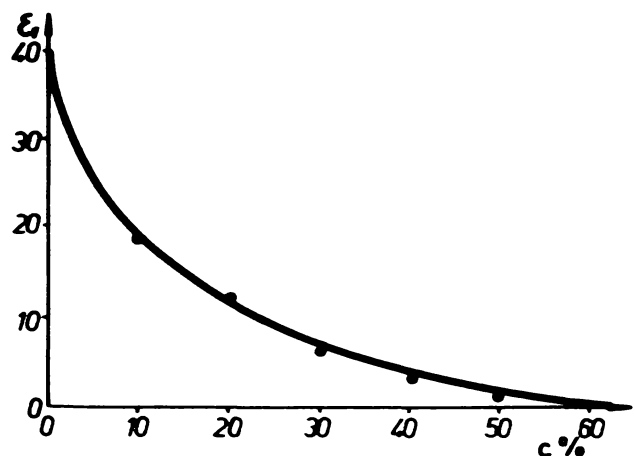


Fig. 38. Dependența valorilor coeficientului Σ_1 de concentrația amestecurilor binare caprolectoză - apă, la presiunea atmosferică.

$$- C = 0 = 20 ;$$

$$\Sigma_1 = 6,6 \cdot 10^{-2} \cdot C^2 = 2,72 \cdot C + 39,5 \quad (68)$$

$$- C = 20 = 60 ;$$

$$\Sigma_1 = 70 \cdot 10^{-2} \cdot C^2 = 0,20 \cdot 10^{-1} \cdot C + 25,20 \quad (69)$$

Ecuațiile globale pentru caloului coeficientului α , în domeniul concentrațiilor indicate sunt:

$$- C = 0 = 20 ;$$

$$\alpha = (6,6 \cdot 10^{-2} \cdot C^2 + 2,72 \cdot C + 39,5) \cdot \Delta t^{2,33} \quad (70)$$

$$- C = 20 = 60 ;$$

$$\alpha = (70 \cdot 10^{-2} \cdot C^2 + 0,20 \cdot 10^{-1} \cdot C + 25,20) \cdot \Delta t^{2,33} \quad (71)$$

**5.2. Determinarea experimentală a coeficientului de transfer de căldură α la fierberea acetatoacrilică binară caproacetat-
benzen¹⁴².**

Determinările experimentale s-au efectuat în vederea stabili-
rii valorilor coeficientului de transfer de căldură α la fierbere,
a concentrarilor binevenite de caproacetat, concentrații ce apar în
processul tehnologic de obținere a caproacetatului¹⁴⁷, în dependență de
concentrații $C = 10\%$. În prezinența atâtăfășiei și caproacetatului
până la presiunea de 100 mm Hg, pentru elajina unor rezoluții sim-
ple de calori a coeficientului α în funcție de parametrii fier-
berii și ai acetatoacrilici.

Experimentările s-au efectuat pe un aparat cu corp cilindric
orizontal (descrie în paragraful 4.1.) din oțel inoxidabil 16 Rc
100, cu diametrul exterior 10,6 mm, grosime peretilor 0,3 mm,
lungimea 49,6 mm. Momentul încălzirii termice specifică a suprafe-
ței încălzitoare a fost cuprins $\dot{Q}_{max} = 0,33 \cdot 10^5$ și $1,0 \cdot 10^5 \text{ J/m}^2$.
Probleme deosebite a rădinoz zecimalor etanșărilor, având în vedere
că o-a lucrat cu benzene și soluții binevenite precum și la vid înc-
ințat. Aceste dificultăți au fost depășite prin utilizarea unui
sistem de preținere și a garniturilor de teflon (figura 27, po-
ragraful 4.1.).

Dependența coeficientului parțial de transfer de căldură α
la fierberea acetatoacrilică binară benzene - caproacetat, de încăl-
zarea termică specifică q a suprafeței încălzitoare este indicată
în figura 39.

În graficul $lg \alpha = f(lg q)$ din figura 39 se observă creșterea
valorilor coeficientului α cu creșterea lui q , pentru aceeași con-
centrație în caproacetat, respectiv scăderea valorilor lui α cu
creșterea concentrației acetatoacrilică în caproacetat la valori
constante ale lui q .

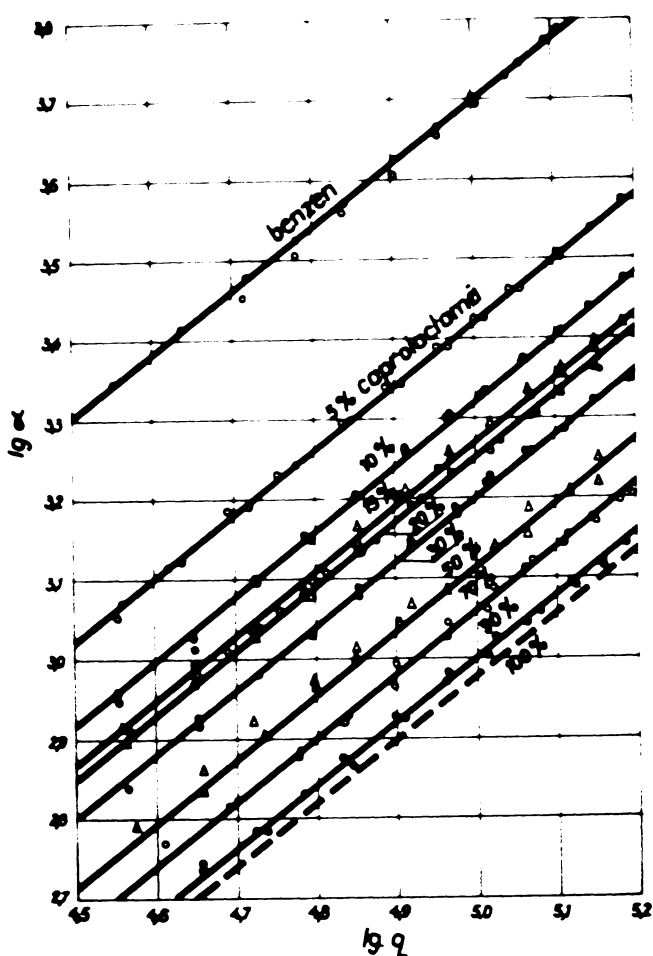
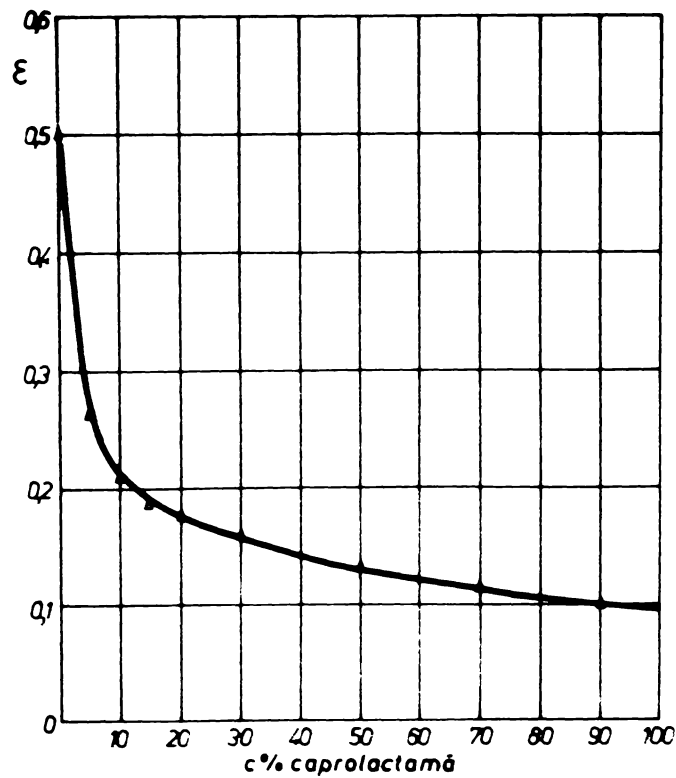


Fig. 21.- Variación volumétrica del α en función de la concentración de caprolactam y benzene.

• • - Exponente volumétrico de actividad de los componentes a la temperatura constante = caprolactam + benzene = efecto.



Pe baza datelor experimentale s-a stabilit o relație între α și q de forma:

$$\alpha = \Sigma \cdot q^{\alpha}$$

în care, pentru determinările efectuate, $\alpha = 0,8$, iar Σ este o funcție de concentrație, variația lui fiind prezentată în figura 40.

În acest grafic s-au stabilit ecuațiile care rezultă dependența lui Σ de concentrația C a caprolectomii, exprimată în procente, și următoarele ecuații generale pentru calculul valorilor coeficiențului de transfer al căldurii α la acetocuza binară benzene - caprolectomă, vor fi:

$$- C = 0 + 5\%$$

$$\alpha = (-4,74 \cdot 10^{-2} \cdot C + 0,5) \cdot q^{0,8} \quad (72)$$

$$- C = 5 + 30\%$$

$$\alpha = (2,33 \cdot 10^{-4} \cdot C^2 - 1,24 \cdot 10^{-2} \cdot C + 0,32) \cdot q^{0,8} \quad (73)$$

$$- C = 30 - 100\%$$

$$\alpha = (1 \cdot 10^{-5} \cdot C^2 - 2,16 \cdot 10^{-3} \cdot C + 0,213) \cdot q^{0,8} \quad (74)$$

Dependența coeficiențului de transfer α la fierberea acetocuza binară benzene - caprolectomă, de diferența concentrației, de diferența de temperaturi Δt dintre temperatura suprafeței încălzitoare și cea de fierbere a soluției este redată în figura 41.

Creșterea concentrației caprolectomii în acetocul benzene - caprolectomă conduce și în acest caz la o scădere a coeficiențului de transfer de căldură α la fierbere pentru aceeași diferență de temperatură Δt . În același concentrație a acetoculuui, odată cu creșterea diferenței de temperatură Δt crește și valoarea coeficiențului de transfer de căldură α . În figura 41 se stabilește o ecuație de formă:

$$\alpha = \Sigma_1 \cdot \Delta t^{\alpha_1}$$

în care, $\alpha_1 = 3,8$ iar Σ_1 este un coeficient a cărui valoare depinde

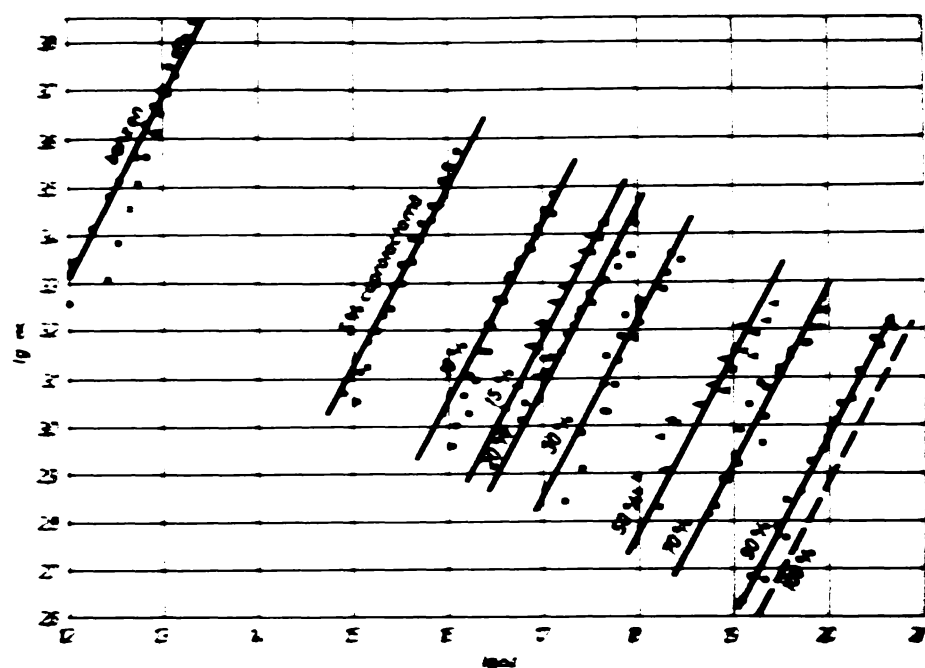


Fig. 41.- Variația valorilor lui α în funcție de valorile lui Δt pentru acetateuri binare benzene - caprolectan, la presiunea atmosferică.

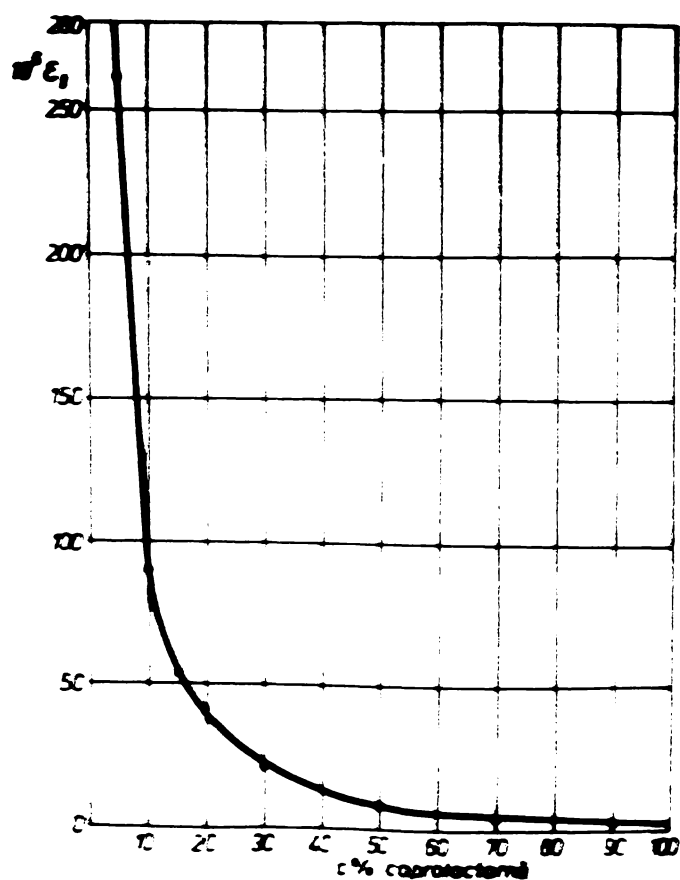


Fig. 42.- Îndependența valorii coeficientului Σ_1 de concentrația acetatoorilor binari benzene - caprolestan, la presiunea atmosferică.

de la concentrația soluției. Variatia valorilor acestui coefficient, în funcție de concentrația C exprimată în procente, este reprezentată în figura 42. În figura 42 se stabilesc relațiile de dependență între Σ_1 , și C, astfel încât ecuațiiile globale de calcul ale lui α , au forma:

$$- C = 0 = 10$$

$$\alpha = (1,01 \cdot 10^{-3} \cdot C^2 + 1,55 \cdot 10^{-2} \cdot C + 5,3 \cdot 10^{-1}) \cdot \Delta t^{3,0} \quad (75)$$

$$- C = 10 = 30$$

$$\alpha = (1,475 \cdot 10^{-2} \cdot C^{1,2}) \cdot \Delta t^{3,0} \quad (76)$$

$$- C = 30 = 100$$

$$\alpha = 6,346 \cdot C^{2,13} \cdot \Delta t^{3,0} \quad (77)$$

Pentru concentrația de 100% caprolactam, dreapta de variație a lui α în funcție de variația încălzirii termice și a suprafeței încălzitoare sau în funcție de variația diferenței de temperaturi Δt , a cărui obținut prin extrapolarea rezultatelor experimentale experimentale de la celelalte concentrații. Acest lucru a fost necesar să se efectueze corect, la presiunea atmosferică, temperatură de fierbere a caprolactamului depășește baremul celor 170°C, temperatură peste care apără pericolul polimerizării care se ar conduce la obținerea unei rezultate exponențiale.

Literatura¹⁴⁷ indică, într-o emisiune fosilă de fabricație, și prezența apel, în proporție de 2%, alituri de benzene și caprolactam, fapt care a rămas nescris și verificarea influenței acestor compuși transpiranțai de căldură. Non făcând încercări de fierbere pe un amestec termic cu 68% benzene, 30% caprolactam și 2% apă, rezultatele sunt reduse în figura 43.

În figura se observă că, valorile coeficientului α sunt practic aceleasi atât pentru amestecul binar cât și pentru amestecul termic de caprolactam, pentru că constant, ceci prezența celor două precente de apă în amestec nu schimbă caracterul fierberii.

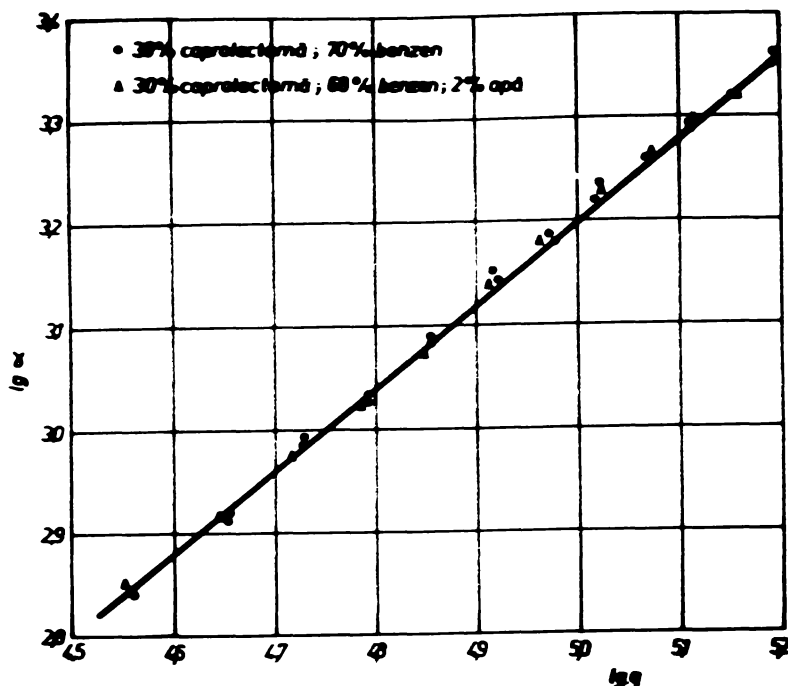


Fig. 43.- Variație val. zilei lui α în funcție de valoarea lui q , pentru anestecuri binare: 70% benzene - 30% coprolectamid și anestecuri ternare: 68% benzene - 30% coprolectamid + 2% apd, la presiunea atmosferică.

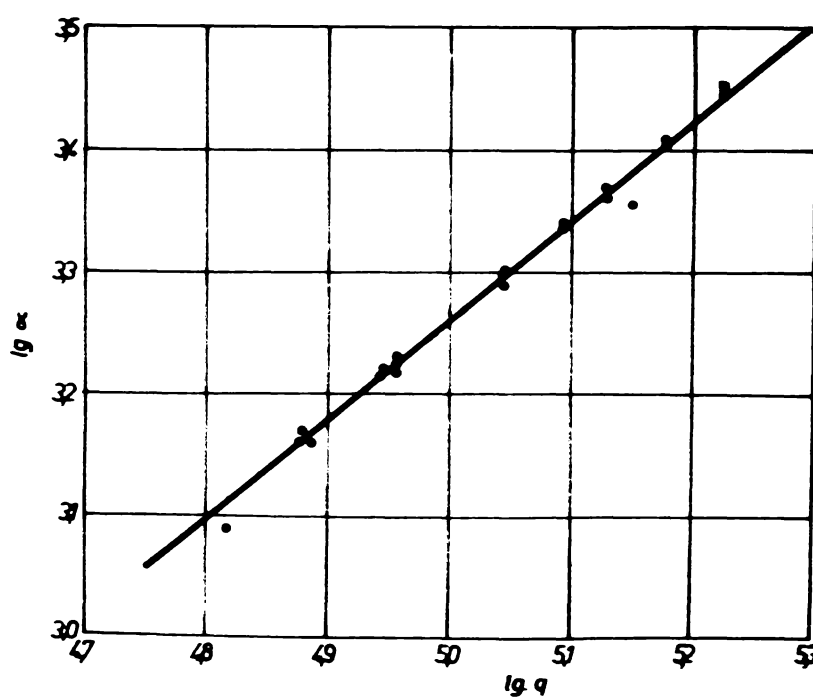


Fig. 44.- Variația valoziilor lui α în funcție de valoarea lui q , pentru coprolectamid, la presiunea de 1 atm. apd.

La presiunea de 100 mm Hg nu aș fi posibile decât determinările experimentale pentru caprolectomii pură decarcocice în aceste condiții, benzozul, care fierbe la temperatură de $39^{\circ}C^{140}$ și capzoleotom cu temperatură de topire de $60,97^{\circ}C^{147}$ vor da în ceea ceală expozitional, indiferent de concentrația inițială a anesteziei, un amestec de benzoz entuziat cu capzoleotom și cristale de caprolectom. Aci, în prima fază se îndepărtează din amestec benzozul, urmând în faza a doua fierberea caprolectomii.

Răsultatul experimentelor pentru presiunea de 100 mm Hg sunt redăute în figurile 44 și 45.

În figurele 44 și 45 se observă că valoarea coeficientului parțial de transfer de căldură α la fierberea pentru capzoleotom, aflată la presiunea de 100 mm Hg exces, cu excepția finalării termice a suprafeței de încălzire sau cu excepția diferenței de temperatură Δt dintre temperatură suprafeței de încălzire și tem-

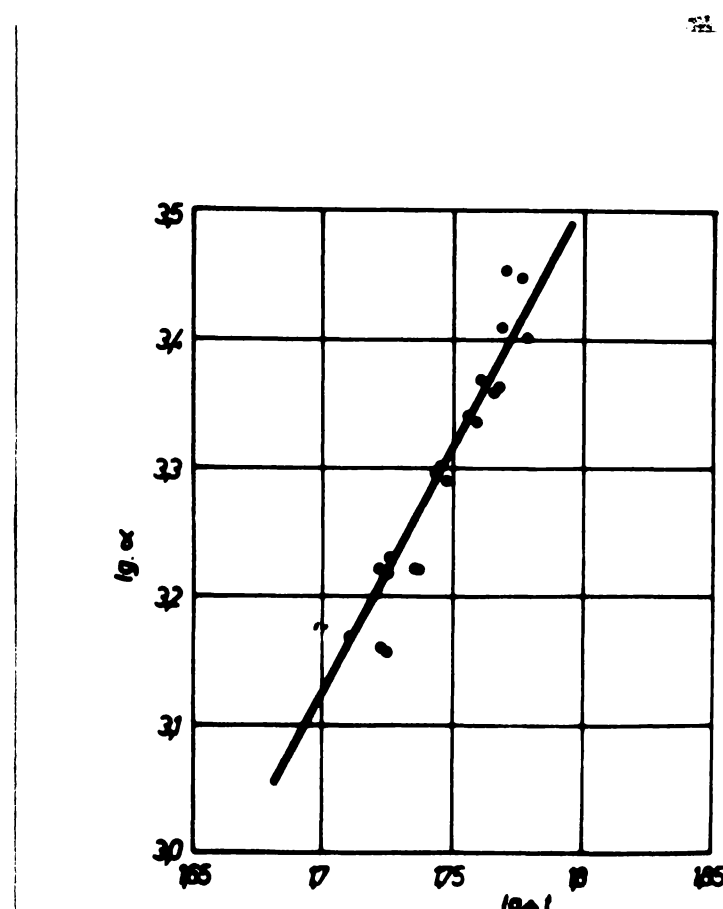
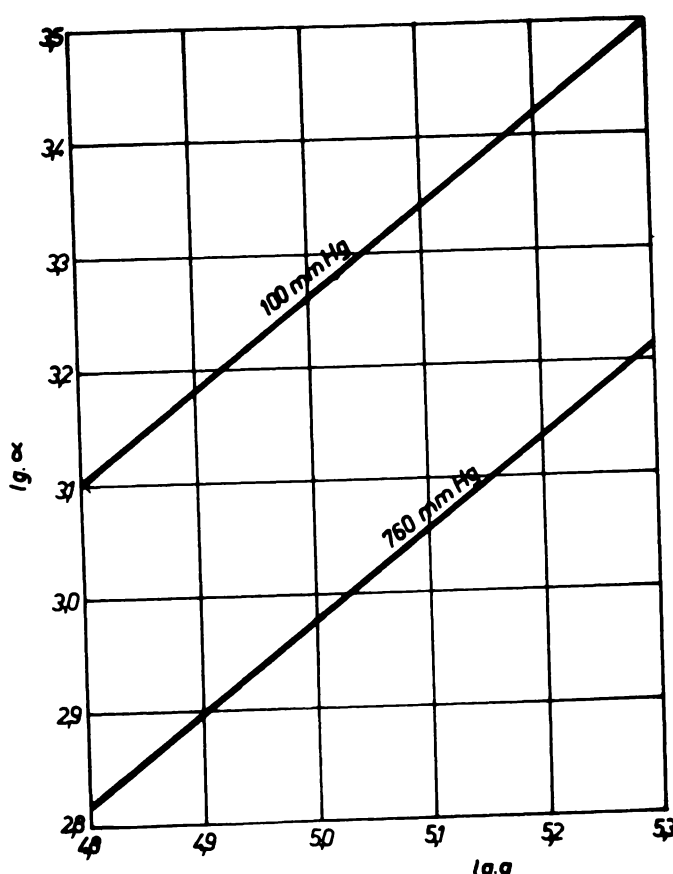


Fig. 45. Variatia valorilor lui α în funcție de valoarea lui Δt pentru capzoleotom, la presiunea de 100 mm Hg.

fig. 46.- Variație valoarelor lui α în funcție de valoarele lui q pentru caprolectori, la presiunile atmosferice și la presiunea de 1 m. m. Hg.



pentru de fierbere a caprolectorului, se stabilesc ecuații de forma:

$$\alpha = \sum_i q^m$$

$$\alpha = \sum_i \Delta t^{n_i}$$

și astfel:

$$\alpha = 0,182 + q^{0,8} \quad (78)$$

$$\alpha = 4,56 \cdot 10^{-4} \cdot \Delta t^{3,0} \quad (79)$$

Prin reprezentarea pe ecografi grafic, figura 46, a variației valorilor coeeficientului α în funcție de valoarele inotării termice q a suprafeței încălzitoare pentru caprolectori puri la presiunea atmosferică și la presiunea de 100 m. m. Hg se observă că cele două drepte sunt paralele, $n = 0,8$, și că la presiunea mai mică decât presiunea atmosferică transferul de căldură se întărește.

Prin funcție și de presiune, valoarea coeeficientului de transfer de căldură α la fierbere pentru caprolectori puri se exprimă sub forma:

$$\alpha = 0,007 + q^{0,8} \cdot p^{-0,31} \quad (80)$$

$$\alpha = 1,9 \cdot 10^{-5} \cdot \Delta t^{1,8} \cdot p^{-1,52} \quad (31)$$

relații valabile pentru valori ale presiunii de 0,13 ata (100 mm Hg sau $1,33 \cdot 10^4 \text{ N/m}^2$) și 1 ata ($1,033 \cdot 10^5 \text{ N/m}^2$).

5.3a Determinarea experimentală a coeficientului de transfer de căldură α la fierberea amestecurilor toluenice de $n-(\beta-\text{cincoetil})-\text{caprolactam}$ (HCECL) [43]

Determinarea experimentală a valorilor coeficientului de transfer de căldură α la fierberea amestecurilor toluenice de $n-(\beta-\text{cincoetil})-\text{caprolactam}$ (HCECL) a apărut ca o necesitate deosebită în vederea proiectării în bune condiții a aparatului termic de sinteză a acestui solvent selectiv.

Determinările s-au efectuat între-un operat cu corp închisitor cilindric orizontal (descris în paragraful 4.1) din otel inoxidabil, 10 EC 190, cu diametrul exterior de 10,6 mm, diametrul interior de 10,2 mm, grosimea peretilor de 0,2 mm și lungimea 50 mm.

Determinările experimentale efectuate s-au situate în regimul de fierbere intensivă în baie: domeniul încălzirii termice specifice q a suprafeței încălzitoare fiind cuprins între $7 \cdot 10^4 \text{ W/m}^2$ și $16 \cdot 10^4 \text{ W/m}^2$, ceea ce reprezintă 30% pînă la 60% din încălzirea termică specifică critică, q_{cr} , pentru toluen. Toluenul are încălzirea termică specifică critică, q_{cr} , egală cu $23 \cdot 10^4 \text{ W/m}^2$.

Valorile coeficientelor de transfer de căldură α la fierbere s-au stabilit pentru concentrații cuprinse între 0,6 și 30% $n-(\beta-\text{cincoetil})-\text{caprolactam}$, la presiuni atmosferice. Quantitățile apăzute datorită prezenței toluenului au fost depășite ca urmare a utilizării găsimurilor din terțon și a sistemului de prestrîngere (figura 27, paragraful 4.1.).

Dependența coeficientului de transfer de căldură α la fierber-

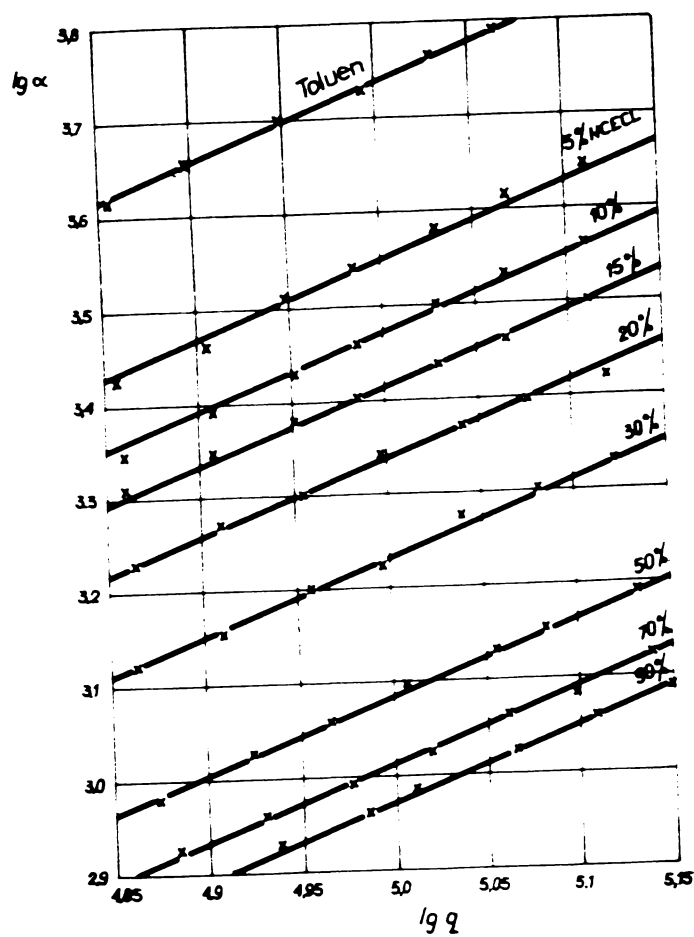


Fig. 47.- Variatia lui α in functie de valoarile lui q pentru anestecourile binare ECOCl-toluene, la presiunea atmosferica.

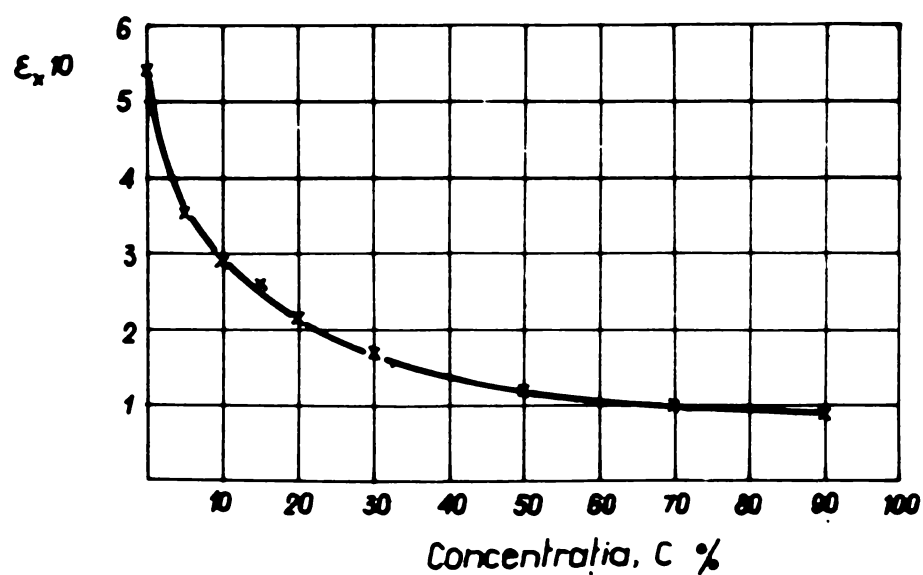


Fig. 48.- Dependenta valorilor coeficientului Σ de concentratie anestecourilor binare ECOCl-toluene, la presiunea atmosferica.

rez anotocurilor binare $\text{HCl}-\text{toluen}$, de încărcarea termică specifică și a suprafeței încălziitoare este indicată în figura 47.

În graficul 13 $\alpha = f(15 \cdot q)$ din figura 47 se observă creșterea valorilor coeficientului α cu creșterea valoarei lui q , la concentrații constante, respectiv scăderea valorilor lui α cu creșterea concentrației C , la valori constante ale lui q .

Pe baza dateelor experimentale s-a stabilit o relație între α și q de forma:

$$\alpha = \Sigma \cdot q^{\beta}$$

în care, pentru determinările efectuate $\alpha = 0,8$, iar Σ este o funcție de concentrație, variația lui fiind prezentată în figura 48.

În acest grafic s-a stabilit ecuațiile care zedă dependența lui Σ de concentrația C a HCl -ului, exprimate în procente, și avem:

$$C = C - 15 \quad \Sigma = 0,56 \cdot C^{0,283} \quad (82)$$

$$C = 15 - 90 \quad \Sigma = 1,31 \cdot C^{0,6} \quad (83)$$

Ecuațiile generale pentru calculul valorilor coeficientului α în anotocurile binare $\text{HCl}-\text{toluen}$, în funcție de încărcarea termică specifică q , a suprafeței sint:

$$C = C - 15 \quad \alpha = 0,56 \cdot C^{0,283} \cdot q^{0,8} \quad (84)$$

$$C = 15 - 90 \quad \alpha = 1,31 \cdot C^{0,6} \cdot q^{0,8} \quad (85)$$

În dependența valorilor coeficientului de transfer de căldură α la fierberea anotocurilor binare $\text{HCl}-\text{toluen}$ de diferența de temperatură Δt dintre temperatura suprafeței încălziitoare și cea de fierbere a anotocului, este zedată în figura 49.

Creșterea concentrației HCl -ului în anotocul binar $\text{HCl}-\text{toluen}$, pe cota careva diferență de temperatură Δt , conduce la

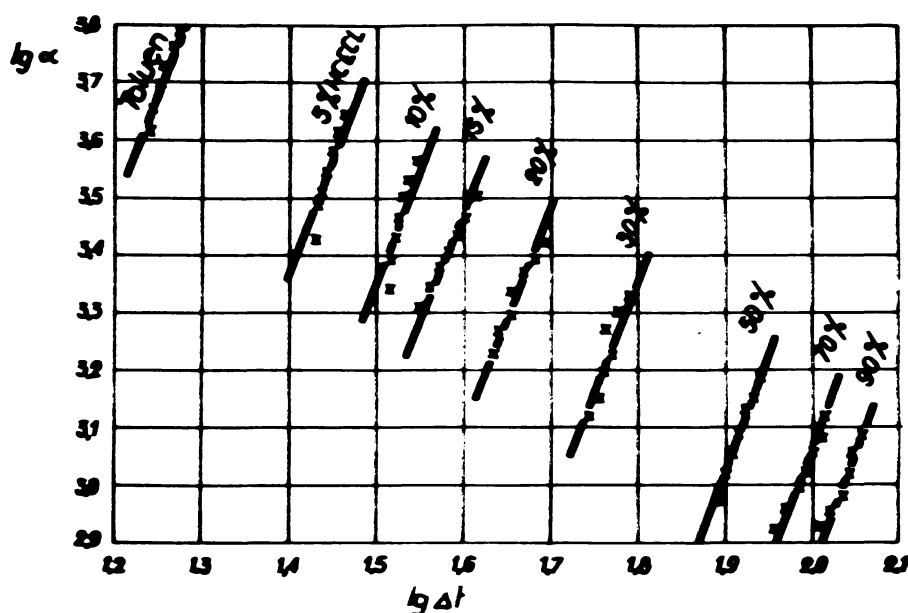


Fig. 4).- Variația valorilor lui α în funcție de valoarea lui Δt , pentru anestecori binari Ketotoluen , la precizanee atmosferice.

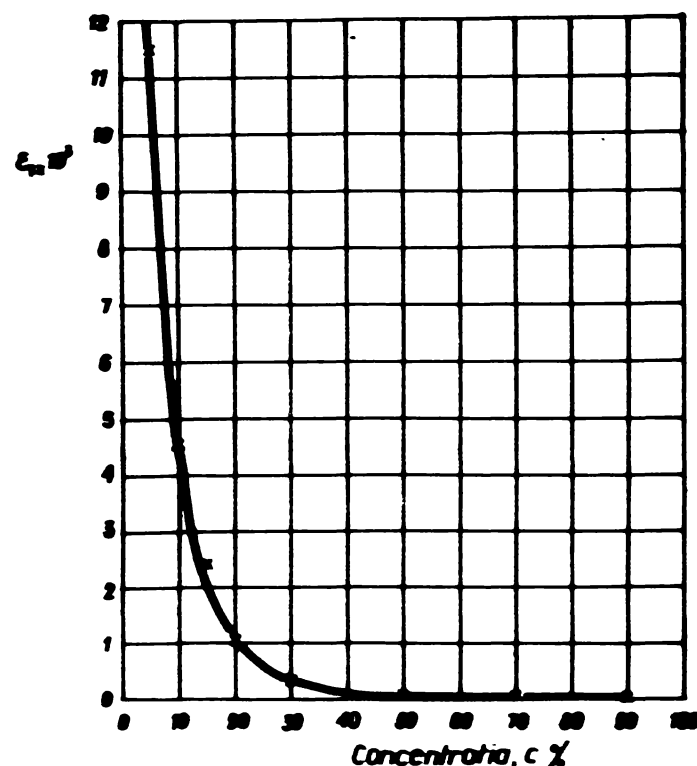


Fig. 5).- Repondența valorilor coeficientului ε_1 de concentrație anestecorilor binari $\text{Ketoluen} + \text{toluen}$, la precizanee atmosferice.

se determină a valoarii coeficientului α . De asemenea, în o concentrație constantă a anestezinii, orării cu creșterea diferenței de temperaturi Δt , crește și valoarea coeficientului α . Din figura 49 se stabilește o ecuație de formă:

$$\alpha = \varepsilon_1 \cdot \Delta t^{\frac{1}{2}}$$

în care, $\varepsilon_1 = 3,08$, iar ε_1 este un coeficient a cărui valoare depinde de concentrația anestezinii. Variatia valorilor acestui coeficient, în funcție de concentrația C a anestezinii, exprimată în procente mol, este reprezentată în figura 50, din care se stabilește relațiile de dependență:

$$C = 0 - 19\% \quad \varepsilon_1 = 0,11 \cdot C^{-1,41} \quad (86)$$

$$C = 15 - 90\% \quad \varepsilon_1 = 2 \cdot C^{2,43} \quad (87)$$

Rezultările globale pentru calculul coeficientului α , în domeniul concentrațiilor indicate sunt:

$$C = 0 - 19\% \quad \alpha = 0,11 \cdot C^{-1,41} \cdot \Delta t^{3,08} \quad (88)$$

$$C = 15 - 90\% \quad \alpha = 2 \cdot C^{2,43} \cdot \Delta t^{3,08} \quad (89)$$

3.4. Determinarea experimentală a coeficientilor de transfer de căldură α la fierberea acetatecurilor apone de n-(β -ciano-stil)-caprolacton (KOCCL) ¹⁴³

Determinarea experimentală a coeficientilor de transfer de căldură α , la fierberea acetatecurilor apone de n-(β -ciano-stil)-caprolacton (KOCCL), ajăru ca o necesitate deosebită în vederea proiectării în bune condiții a opereazării tehnice în care are loc operația de recuperare - regenerare a acetatul solvent selectiv.



Determinările s-au efectuat într-un apărat cu corp încălziitor cilindric orizontal (descris în paragraful 4.1) din oțel 3-nodabil, 10 EC 180, cu diametrul exterior de 10,6 cm, diametrul interior de 10,2 cm, grosimea peretei de 0,2 cm și lungimea 50 cm. Determinările experimentale s-au situat în domeniul regimului de fierbere intensiv în bule, încărcarea termică specifică q a suprafeței încălziitoare fiind exprimată între $1,38 \cdot 10^5 \text{ W/m}^2$ și $4,6 \cdot 10^5 \text{ W/m}^2$. Valorile coeficienților de transfer de căldură α la fierbere s-au stabilit pentru concentrații cuprinse între 0% și 2-95% NaCl, la presiunea atmosferică. Dependența coeficientului de transfer de căldură α la fierberea acetoclorilor binare NaCl-ați, de încărcarea termică specifică q a suprafeței încălziitoare este redată în figura 51.

În graficul $\lg \alpha = f(\lg q)$ din figura 51 se observă creșterea valorilor coeficiențului α cu creșterea valorilor lui q la con-

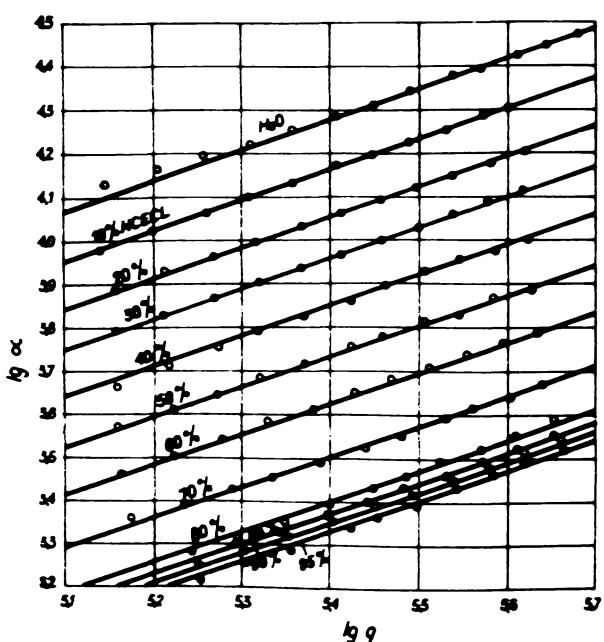


Fig. 51. Variatia valorilor lui α în funcție de valorile lui q pentru acetoclorile binare NaCl-ați, la presiunea atmosferică.

concentrații constante, respectiv celelalte valoriile lui α ca funcție concentrației C , la valori constante ale lui ϵ .

Pe baza datelor experimentale s-a stabilit o relație între α și ϵ de forma:

$$\alpha = \epsilon \cdot q^2$$

În cadrul punctului determinărilor efectuate, $q = 0,7$, iar ϵ este o funcție de concentrație, variația lui fiind prezentată în figura 52.

În acest grafic rezultă conținutul care se dău dependența lui ϵ funcție de concentrație și a α -calui în cadrul experimentării:

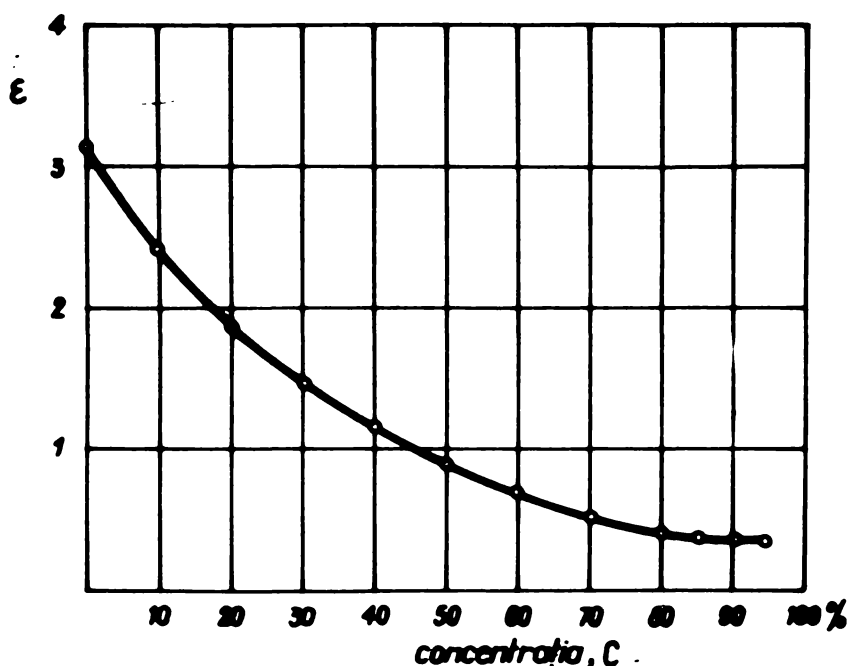


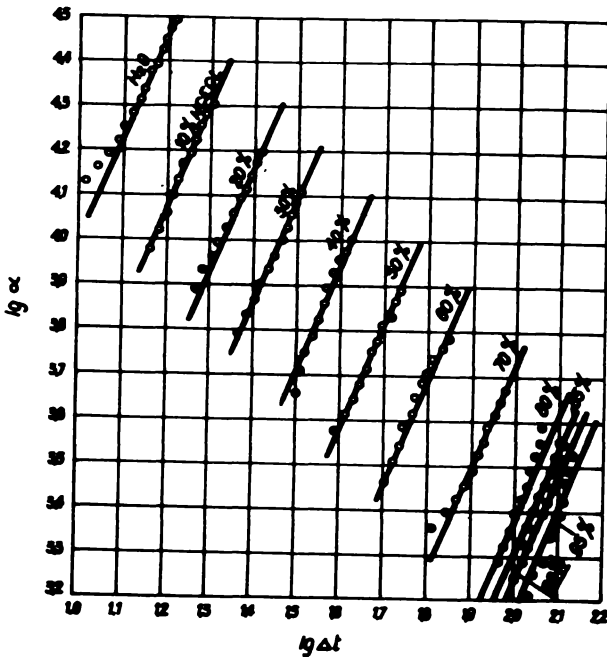
fig. 52.- dependența valorilor coeficientului ϵ de concentrație pentru curile binare $\text{C}_2\text{H}_5\text{OH} - \text{C}_2\text{H}_5\text{Cl}$, la presiunea atmosferică.

$$v = 10 = 35 \quad \epsilon = 92 \cdot e^{-0,323} \quad (51)$$

$$v = 35 = 93 \quad \epsilon = 21 \cdot e^{-0,14} \quad (51)$$

conținutul general pentru calculul valoarei coeficientului α pentru anectocuri bimole $\text{C}_2\text{H}_5\text{OH} - \text{C}_2\text{H}_5\text{Cl}$, în funcție de încărcarea ter-

FIG. 53.- Variația valorilor lui α în funcție de valoarea lui Δt pentru amestecuri binare H₂O + apă, la presiunea atmosferică.



mai specifici q și suprafaței încălzitoare, sănt:

$$C = 10 - 37 \quad \alpha = 52 \cdot e^{0.333} \cdot q^{0.7} \quad (22)$$

$$C = 35 - 35 \quad \alpha = 200 \cdot e^{-1.4} \cdot q^{0.7} \quad (23)$$

În dependența valorii coeficientului de transforță de căldură α la fierberea amestecurilor binare H₂O + apă de diferența de temperatură Δt dintre temperatura suprafeței încălzitoare și cea de fierbere a amestecului, este redată în figura 53.

Înăpterea concentrației HClO₄-ului în amestecul binez H₂O + apă, pentru aceeași diferență de temperatură Δt , conduce la o scădere a valorii coeficientului α . În acestor, la o concentrație constantă a amestecului, odată cu creșterea diferenței de temperatură Δt crește și valoarea coeficientului α . În figura 53 se stabilește o ecuație de formă:

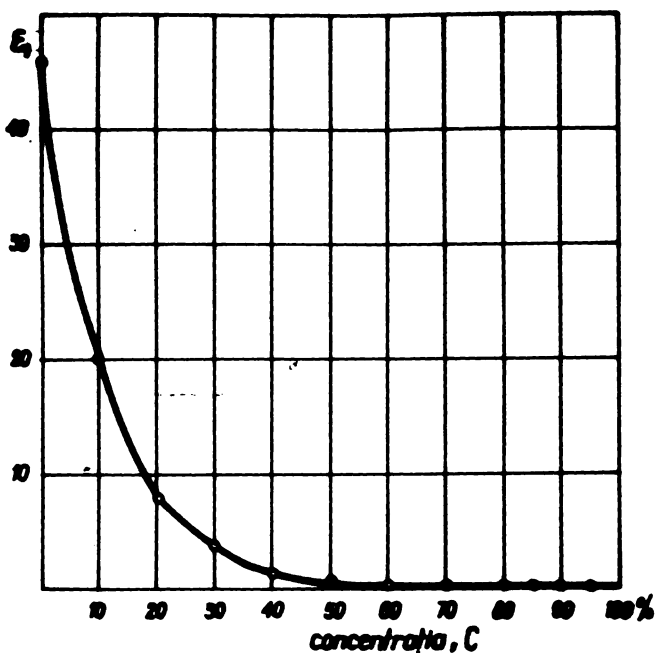


Fig. 54. - Dependența valorilor coeeficientului Σ_1 de concentrația acetocorilor dinare HCHO - apă, la precizarea acetooxidă.

$$\alpha = \Sigma_1 \cdot \Delta t^{2,33}$$

În care, $\Sigma_1 = 2,33$ iar Σ_1 este un coeeficient care depinde de concentrația acetooxidă. Variatia acestui coeeficient în funcție de concentrație este redată în figura 54, din care se stabilesc relațiile de dependență:

$$C = 10 - 35 \quad \Sigma_1 = 640 \cdot \sqrt[10]{C} \quad (94)$$

$$C = 35 - 95 \quad \Sigma_1 = 3,36 \cdot 10^7 \cdot \sqrt[10]{C} \quad (95)$$

coeeficiile globale pentru calculul coeeficientului α , în funcția concentrațiilor indicate sunt:

$$C = 10 - 35 \quad \alpha = 64 \cdot \sqrt[10]{C} \cdot \Delta t^{2,33} \quad (96)$$

$$C = 35 - 95 \quad \alpha = 3,36 \cdot 10^7 \cdot \sqrt[10]{C} \cdot \Delta t^{2,33} \quad (97)$$

S.3. Determinarea experimentala a coeficientului de transfer al cildorii α_C în fierberea acetoclorilor termice complexatori - alcool etilic + apă⁶³.

Prin decoobirea de acetoclorile exterioare de data aceasta se pune problema unui acestor de trei componente lichide: apă, alcool etilic, și caprolectori. Variatia concentratiei acetoclorului se poate da fapt variația raportului dintre doi solventi, apă și alcool etilic, constitutie de caprolectori fiind un parametru constant.

Problema interesantă interesă, în special prin faptul că elera curbei de variație a coeficientului α_C în fierbere, în funcție de concentrație, în q constant, în cazul sistemului binar alcool etilic - apă, ca și la alcool metilic - apă, prezintă un minim^{11,72}.

În rezultatele experimentale care sunt obținut, se observă că introducerea unui al treilea component în acest sistem de doi solventi schimbă caracterul transferentul de cildori în fierbere.

Determinările experimentale sunt efectuat cu acetoclori de 20% caprolectori în disolvent, apă - alcool etilic, de concentrații $c = 10\%$, apă sau alcool etilic. Îndreptările termice specifice și ale suprafeței încălzitoare sunt situate între $1 \cdot 10^5 \text{ J/m}^2$ și $5 \cdot 10^5 \text{ J/m}^2$. Instalația experimentală utilizată este cea descrisă în paragraful 4.1. și care utilizează un corp încălzitor cilindric din oțel inoxidabil, 10 NC 18C, cu diametrul exterior de 10 mm și grosimea pereteilor de 0,5 mm.

Dependența valorilor coeficientului α_C de îndreptările termice și a suprafeței încălzitoare, pentru aceste acetoclori, este redată în figura 75.

Ecuția de calcul dedusă pentru α_C este următoarea:

$$\alpha_C = \Sigma \cdot q^{0,7}$$

Variatia coeficientului Σ în funcție de concentrația C a

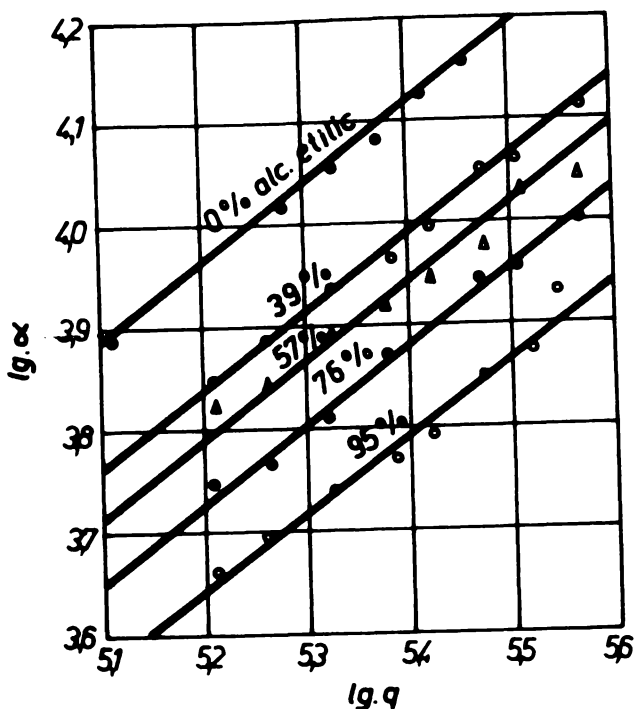


Fig. 55.- Variație valorilor lui ∞ în funcție de valorile lui q pentru amestecuri termice caproleotană-alcool etilic-apă (caproleotană 20%; dissolvantul: apă + alcool etilic în proporții variabile), la presiunea atmosferică.

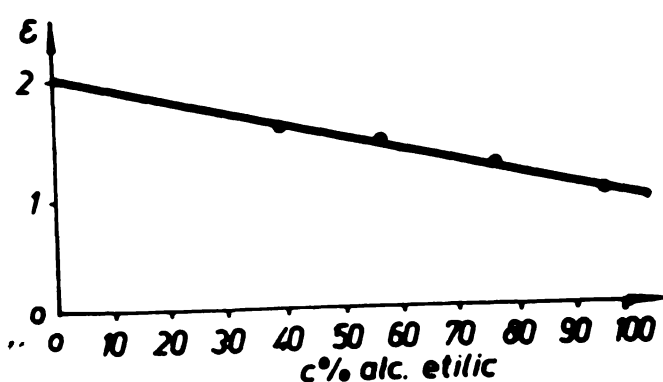


Fig. 56.- Îndependența valorilor coeficientului Σ de concentrația dissolvantului în alcool etilic pentru amestecurile termice caproleotană-alcool etilic-apă, cu 20% caproleotană.

dizolvantului în alcool etilic este redată în figura 56, iar rezoluția dedusă din acestui diagramă este:

$$\Sigma = -1,15 \cdot 10^{-2} \cdot C + 2,14 \quad (98)$$

pentru întreg domeniul de concentrații.

Ecuația globală pentru calculul lui α are forma:

$$\alpha = (-1,15 \cdot 10^{-2} \cdot C + 2,14) \cdot q^{0,7} \quad (99)$$

Dependența coeficientului de transfer de solvabil α la fierberea sucoaselor termice coprolactam - alcool etilic - apă de diferența de temperatură Δt dintre temperatură suprafetei închisită și cea de fierbere a sucoaselor este redată în figura 57.

Relația dedusă din acestui diagramă are forma:

$$\alpha = \Sigma_1 \cdot \Delta t^{2,33}$$

în care, Σ_1 este un coeficient care depinde de concentrația C a alcoolului etilic din dissolvant și a cărei valoare se prezintă în figura 58.

Din figura 58 se stabilesc relațiile de dependență ale lui Σ_1 și anane:

$C = 0 = 30\%$ alcool etilic în dissolvant

$$\Sigma_1 = 9,33 \cdot 10^{-3} \cdot C^2 + 0,301 \cdot C + 12,2 \quad (100)$$

$C = 0 = 100\%$ alcool etilic în dissolvant

$$\Sigma_1 = 3,61 \cdot 10^{-4} \cdot C^2 + 0,112 \cdot C + 0,505 \quad (101)$$

Ecuațile globale pentru calculul coeficientului α în domeniul concentrațiilor indicate sint:

$C = 0 = 30\%$ alcool etilic în dissolvant

$$\alpha = (5,33 \cdot 10^{-3} \cdot C^2 + 0,301 \cdot C + 12,2) \cdot \Delta t^{2,33} \quad (102)$$

$C = 0 = 100\%$ alcool etilic în dissolvant

$$\alpha = (3,61 \cdot 10^{-4} \cdot C^2 + 0,112 \cdot C + 0,505) \cdot \Delta t^{2,33} \quad (103)$$

Fig. 57.- Varietatea valorilor lui α în funcție de valorile lui Δt pentru anestecazi termice caproloctoz - alcool etilic - apă (caproloctoz 20% din solventul: apă + alcool etilic în proporții variabile), la presiuni atmosferice.

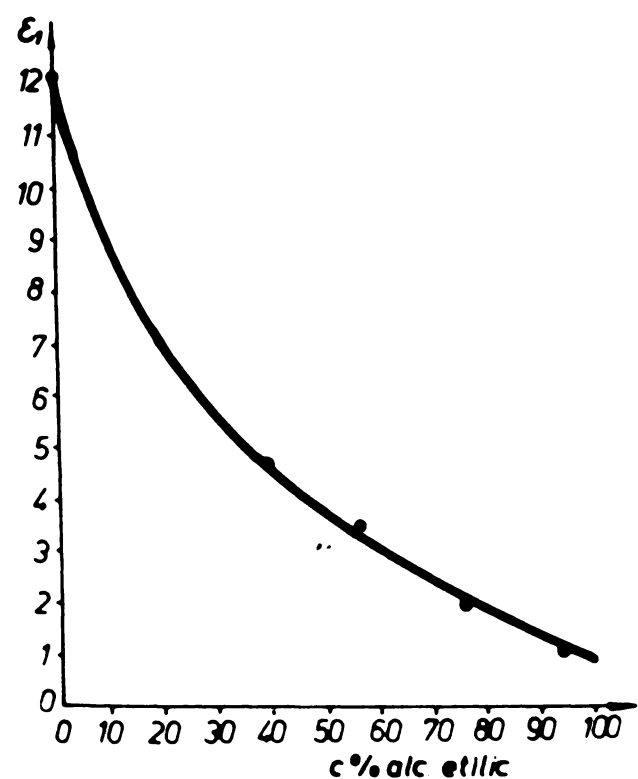
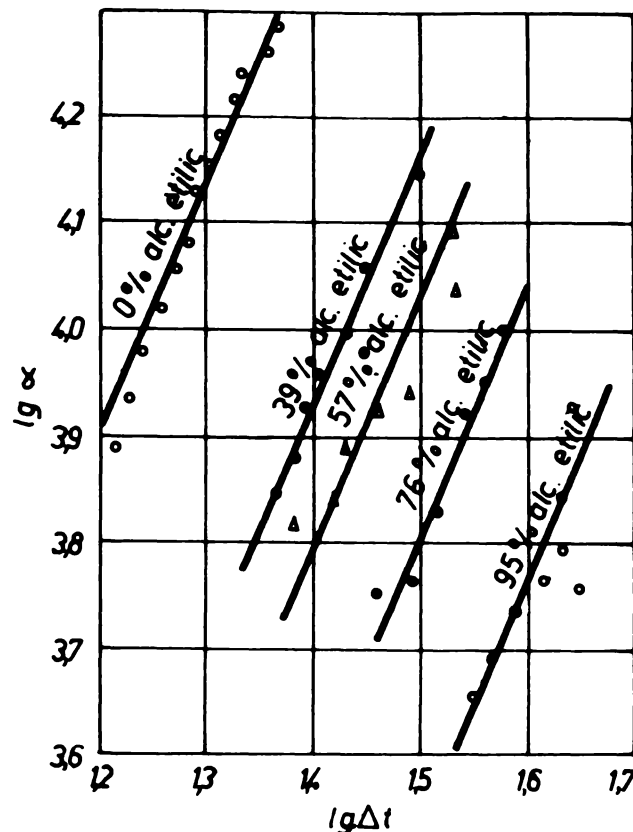


Fig. 58.- dependența valorilor coeficientului Σ , de concentrația disolvantului în alcool etilic pentru anestecazi termice caproloctoz - alcool etilic - apă, ca 2x caproloctoz.

Pentru a vedea în ce măsură coeficientul α la fierberea concentrației efectuat de trei compozenți poate fi călcidat, respectiv calculat cu o măsură aditivă, să se reprezinte grafic, figura 59, variația coeficientului α stabilit experimental și cel calculat cu formula aditivității, în funcție de concentrația anestezicului de solventi^{74,31}:

$$\alpha_{\text{sol.ternar}} = \frac{\alpha_{\text{apă}}}{\alpha_{\text{alcool}}} \alpha_{\text{sol. binară}} + \frac{\alpha_{\text{alcool}}}{\alpha_{\text{etilic}}} \alpha_{\text{sol. binară}} + \frac{\alpha_{\text{etilic}}}{\alpha_{\text{etanolic}}} \alpha_{\text{sol. binară}} \quad (104)$$

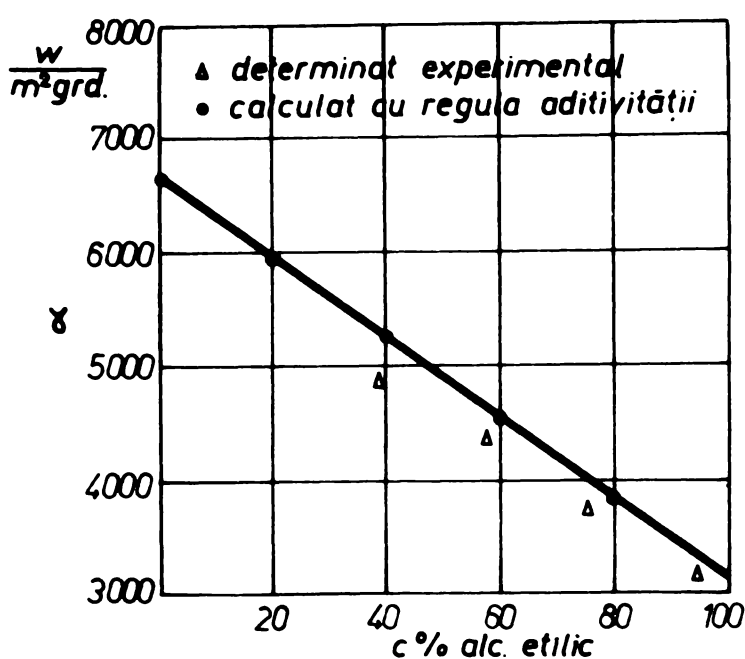


Fig. 59.- Variația valorilor lui α în funcție de concentrația alcoolului etilic în disolvent pentru anestezici terpene caprolactam - alcool etilic - apă cu 20% caprolactam.

Afacerile observate (max. 10%) se încadrează în limitele erorilor admisibile în domeniul determinărilor experimentale ale tensiunii de căldură. Se poate conchide că pentru cazul studiat valoarea coeficientului α pentru anestezicile terpene este aproape aproximativ aditivă.

3.6. Determinarea experimentala a coeficientului de transfer
din cildură în fierberea soluțiilor de antisocen în monooctilenglicol (MOG)¹⁵⁰

Cunoașterea datelor tehnice, respectiv valoarelor coeficienților de transfer de cilduri și la fierberea soluțiilor de antisocen în monooctilenglicol (MOG), constituie o problemă de o deosebită importanță atât sub aspect practic cât și sub aspect fundamental al activității de cercetare.

Din punct de vedere practic, problema este importantă înseamnă că de puține ori apare nevoie de proiectările cu un de schimb de cilduri în case ase în care are loc fierberea unor astfel de lăzii, proiectare care necesită cunoașterea valorilor reale coeficientului de transfer de cilduri la fierbere.

Din punct de vedere fundamental, problema prezintă astăzi deosebere, așa după cum arată literatura de specialitate¹⁵¹, că de antisocen în monooctilenglicol prezintă un azeotrop la concentrația de 1,7% antisocen. Aceasta înseamnă că substanța de antisocen, la temperatură de fierbere a soluției prezintă o densitate de vaporă, precumva care nu poate fi neglijată și care produce la apariția antisocenului în condensă. Sub acest aspect lăzia binară de antisocen în monooctilenglicol se comportă ca oeroare binare.

Determinările experimentale sunt efectuate pe un apărat insulitor cilindric orizontal, din oțel inoxidabil, 10 EC și diametrul exterior 10,6 mm, diametrul interior 10,2 mm, grosimea zării 0,2 mm și lungimea 50 mm. Determinările sunt situate menținând regimul de fierbere intensiv în boile, instanțează și specifică că suprafațele insulatorare fiind cuprinse între 1 m^2/s^2 și $2 \cdot 10^5 \text{ m}^2/\text{s}^2$.

Dependența coeficientului de transfer de cilduri \propto la

rez soluțiilor binare de entracen în acetilenglicol (HGC), indicarea termică specifică a suprafeței încălziitoare este dată în figura 60.

Literatura de specialitate¹⁵¹ arată că acetilenglicolul reză cu entracenul un exotrop la 1,7% entracen.

Din graficul $\lg \alpha = f(\lg q)$ din figura 60 se observă creșterea valorilor coeficientului α cu creșterea valorilor lui q concentrația C constantă, și creșterea bruscă a valorilor lui α creșterea concentrației C pînă la 1,7% entracen și apoi creșterea lentă a valorilor lui α cu creșterea concentrației C, alături constante ale lui q .

Pe baza datelor experimentale s-a stabilit relația de dependență între α și q de formă:

$$\alpha = \Sigma \cdot q^n$$

aceea, pentru determinările efectuate, $n = 0,7$ iar Σ este o parte de concentrație, a cărei variație este prezentată în figura 61.

În acest grafic rezultă ecuațiile care rezolvă dependența α funcție de concentrația C a entracenului în acetilenglicol, exprimate în procente astfel:

$$C = 1,7 - 10\% \quad \Sigma = 0,218 \cdot C^{-0,0364} \quad (103)$$

$$C = 10 - 15\% \quad \Sigma = 0,183 \cdot C^{-0,0057} \quad (104)$$

Iecuțiile generale pentru calculul valoarei coeficientului pentru soluțiile binare de entracen - acetilenglicol (H.G) în raport cu încălzirea termică specifică a q suprafeței încălziitoare sunt:

$$C = 1,7 - 10\% \quad \alpha = 0,218 \cdot C^{-0,0364} \cdot q^{0,7} \quad (105)$$

$$C = 10 - 15\% \quad \alpha = 0,183 \cdot C^{-0,0057} \cdot q^{0,7} \quad (106)$$

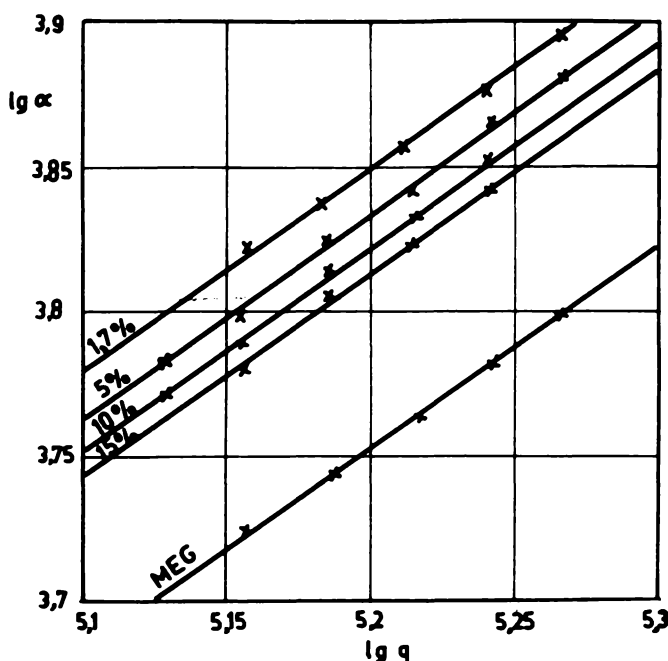


Fig. 60.- Variația valorilor lui α în funcție de valoarea lui q pentru soluțiile binare antrocen - ... C, la presiunea atmosferică.

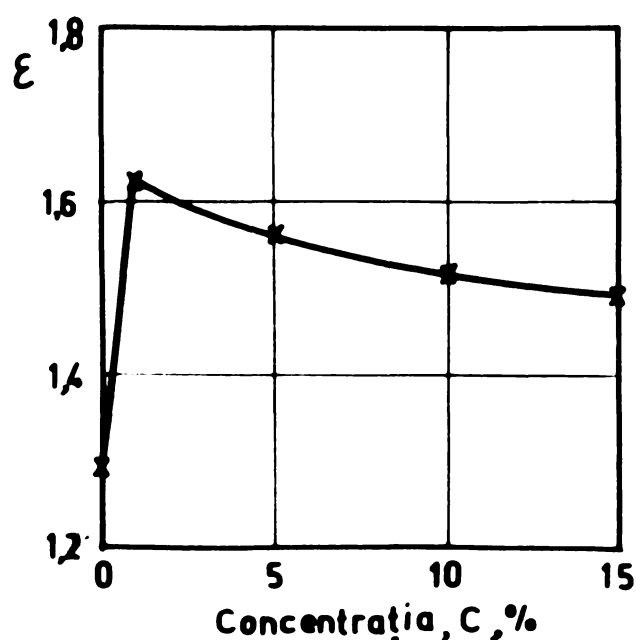


Fig. 61.- Dependenta valorilor coeficientului Σ de concentrație soluțiilor binare antrocen - ... C, la presiunea atmosferică.

Dependența valorilor coeficientului de transfer de soluție α , la fierberea soluțiilor binare de antropon în monostilen-glicol, de diferența de temperatură Δt este redată în figura 62.

În figura 62 se observă că, la o concentrație constantă a soluției, obțin cu ceeaștea diferenței de temperatură Δt , crește și valoarea coeficientului α . Cât privește variația valorii coeficientului α cu variația concentrației soluției, la diferențe de temperatură Δt constante, se constată o creștere bruscă pînă la $C = 1,7$ antropon și apoi o scădere lată la concentrații mai mari de 1,7%. În această figură se stabilește relația între α și Δt de forma:

$$\alpha = \varepsilon_1 \cdot \Delta t^{2,3}$$

În care, $\varepsilon_1 = 2,33$ iar ε_1 este un coefficient care depinde de concentrația soluției, a cărui variație este redată în figura 63. Pentru coefficientul ε_1 se stabilesc următoarele relații de dependență:

$$C = 1,7 - 10\% \quad \varepsilon_1 = 0,737 \cdot C^{-0,13} \quad (109)$$

$$C = 10 - 15\% \quad \varepsilon_1 = 0,677 \cdot C^{-0,017} \quad (110)$$

Racordările globale pentru calculul coeficientului α , în funcție de concentrațiiile în dicte, sunt:

$$C = 1,7 - 10\% \quad \alpha = 0,737 \cdot C^{-0,13} \cdot \Delta t^{2,33} \quad (111)$$

$$C = 10 - 15\% \quad \alpha = 0,677 \cdot C^{-0,017} \cdot \Delta t^{2,33} \quad (112)$$

În punct de vedere al comportării la fierbere, soluțiile de antropon în monostilen-glicol pot fi încadrate caî coracet în categoria soluțiilor decrcce antroponal, la temperatură de fierbere prezintă o presiune totală de vapori apreciabilă (18 mm Hg), ceea ce face ca în vaporii de monostilen-glicol să reziste și antropon. Cantitatea de antropon entranat depinde de concentrație și în soluție supusă fierberii. Soluția cu 1,7% antropon conține

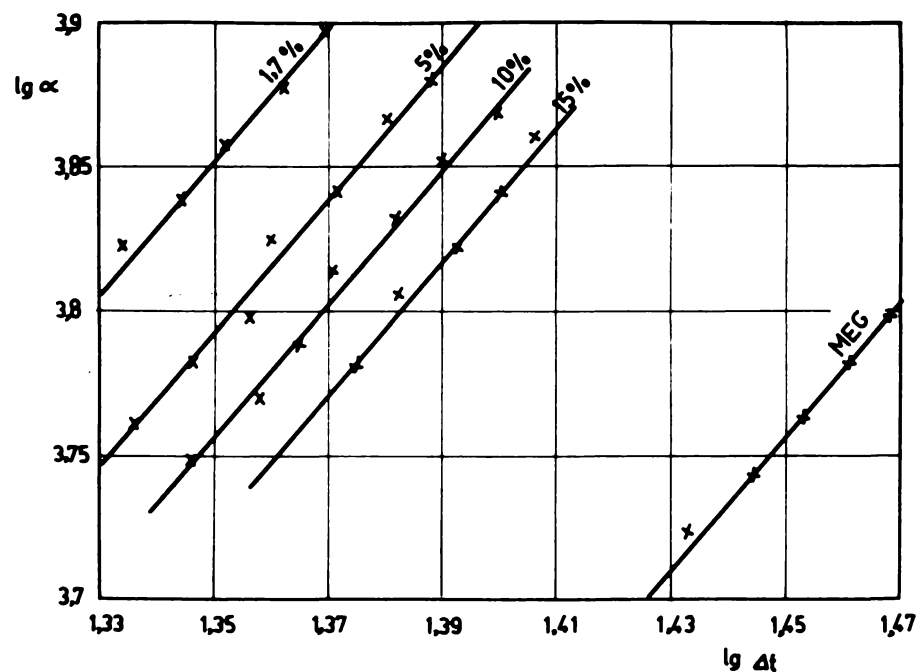


Fig. 62.- Variația valorilor lui α în funcție de valorile lui Δt , pentru soluții binare anticonvective, la presiunea atmosferică.

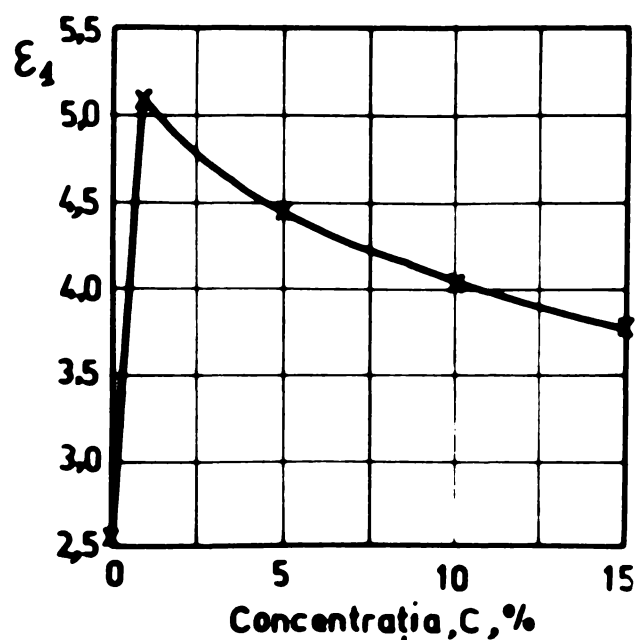


Fig. 63.- Dependența valorilor coeficientului ε_1 de concentrația soluțiilor binare anticonvective, la presiunea atmosferică.

tric acetotrop¹⁵¹, care are un comportament de similitudine.

In conformitate cu indicațiile din literatură¹⁵² valozile coeeficientului de transfer de cilduri \propto la fierbere pentru acetotrop pot fi mai mari sau mai mici decât cele corespondente pentru solventul par - monoetilenglicol. Privit sub acest aspect, comportamentul ciudat al soluțiilor de acetac în monoetilenglicol este de creșterea bruscă a valorilor lui \propto de la valozile pentru acetotilenglicol pînă la soluțiile de concentrație acetotropulat și apoi cădereea lentă a valorilor lui \propto , cu creșterea din concentrație, la c un Δt constant, este perfect normal.

Pentru a avea un coeeficient de similitudine suficient de mare recomandăm ca, în calculele de proiectare să se utilizeze valozile lui \propto pentru monoetilenglicol par indiferent de concentrație în soluției cuprinse fierberii.

5.7. Temperaturi de fierbere ale acetocurilor studiate.

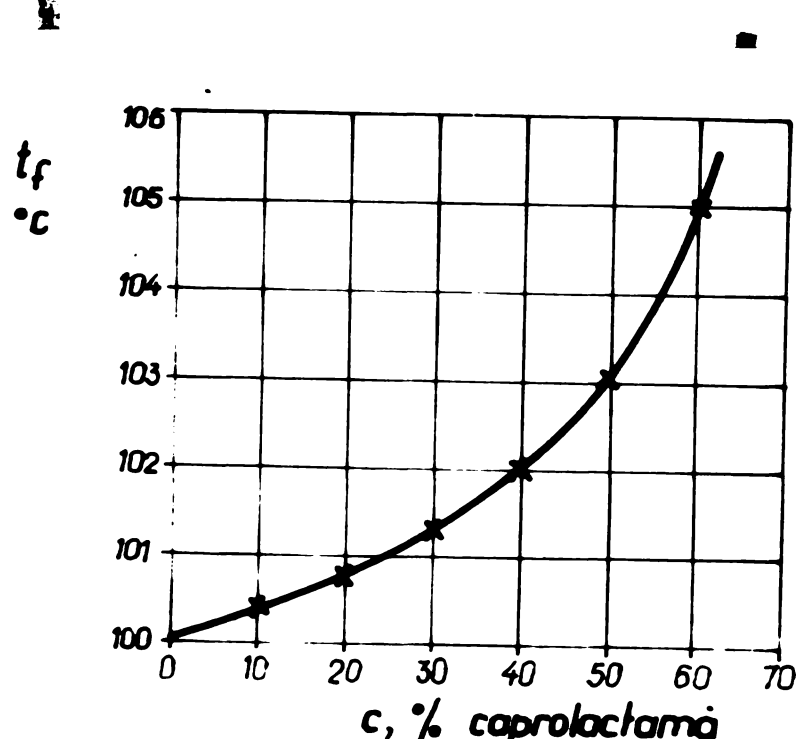
În determinarea experimentală a coeeficientilor de transfer de cilduri \propto la fierberea acetocurilor studiate a fost necesară determinarea unei serie de parametri. Între acești parametri era analizat și temperatura de fierbere a acetocurilor. Valozile experimentale obținute sunt prezentate în tabelele 3 - 6, respectiv figurele 64 - 67.

Din graficele prezentate se observă că temperaturile de fierbere prezintă odată cu creșterea concentrației componentului mai puțin volatil din acetac, observație normală și în concordanță cu indicațiile din literatură. În une potuț se arată că determinarea temperaturii de fierbere pînă la 100% component greu volatil decorece înainte de atingerea acestei temperaturi este caprolaclina și α -(β -clianostil) - caprolaclina ce polimerizează sau se degradă pe termic.

Tabel 3.- Abestec coproloctam - apă.

c mol caproloctam	0	10	20	30	40	50	60
Temperatura de fierbere a abestecurilor coproloctam - apă de concentrație, la presiunea atmosferică							
baze, t _f , °C	100	100,4	100,6	101,3	102	103,1	105

Fig. 64.- Dependenta temperaturii de fierbere a abestecurilor coproloctam - apă de concentrație, la presiunea atmosferică.



Tabel 4.- Abestec coproloctam - benzene.

c mol caproloctam	0	5	10	15	20	30	40	50	60
Temperatura de fierbere a abestecurilor coproloctam - benzene de concentrație, la presiunea atmosferică									
baze, t _f , °C	170,7	80,9	81,9	82,7	83,6	85	86,5	88,3	97,5

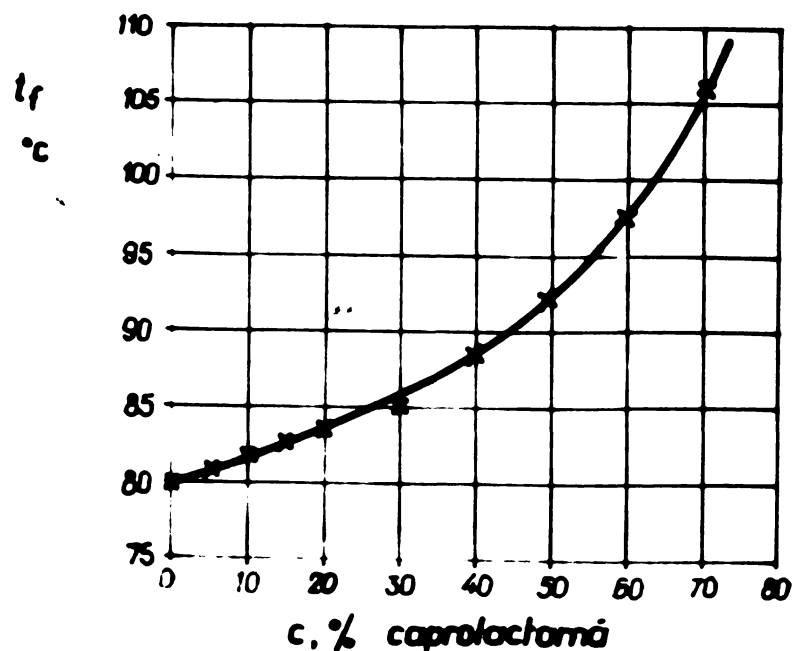


Fig. 65.- Dependenta temperaturii de fierbere a abestecurilor coproloctam - benzene de concentrație, la presiunea atmosferică.

Tabla 5.- Acetec α -(β -cianoctil)-caprolicacid - toluen.

C, % NCECL	t _f , °C
0	107,8
10	110,4
20	109,3
30	110
40	111,3
50	112,9
60	117
70	120

Fig. 66.- Dependenta temperaturii de fierbere a acetoclorilor α -(β -cianoctil)-caprolicacid - toluen de concentratie, la presiunea atmosferica.

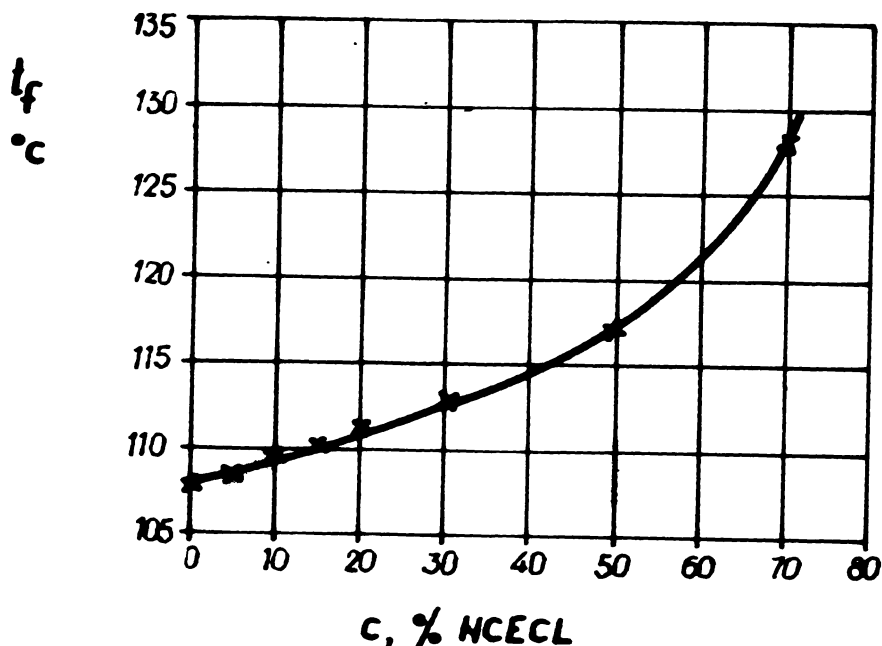


Tabla 6.- Acetec α -(β -cianoctil)-caprolicacid - apă.

C, % NCECL	t _f , °C
0	100
10	100,3
20	100,6
30	100,9
40	101,3
50	102,9
60	102,5
70	103,4
80	104,8
90	106,6

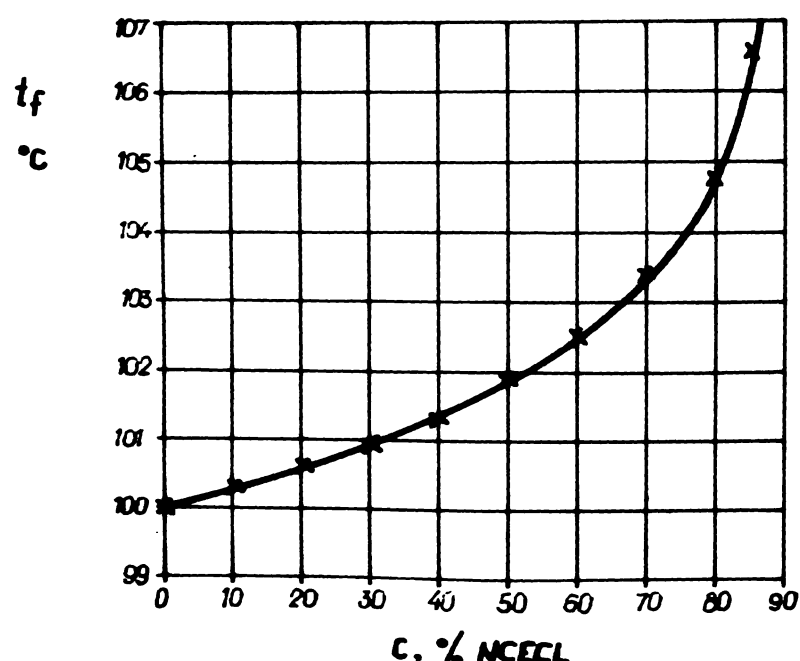


Fig. 67.- Dependenta temperaturii de fierbere a acetoclorilor α -(β -cianoctil)-caprolicacid - apa de concentratie, la presiunea atmosferica.

Acum sănătă, polarizarea cu depolarizare termică, constă în motivul pentru care modul de abordare al problemei fierberei anestezurilor prezentat în paragraful 2.2. nu poate fi aplicat în cazul anestezurilor studiate în prezentă lucrare. Dăină ca metodele ca expuse și aplicată în prezentul capitol să fie utilizate și în viitor în cazul unor astfel de tipuri de anestezari.

5.3. Descrierea pe calculator, în limbaj PASCAL, a rezultatelor pentru calculul coeficientului de transfer de căldură α la fierbere (exemplu prezisie: anestezicul $\text{p-(}\beta\text{-clinoetil)-copolimeri - toluen}$)

întrucât operațivitatea efectuirii calculelor necesare determinării valorilor coeficientului de transfer de căldură α la fierberea anestezurilor studiate, pornindu-se de la următoarele relații:

$$q = \frac{L_e \Delta t}{3,14 \cdot d_e \cdot 1} \quad (113)$$

$$t_{D_e} = t_{D_1} = \frac{q \cdot d_e}{4 \cdot \lambda} \cdot \left[1 - \frac{2 \ln d_e / d_1}{(d_e / d_1)^2 - 1} \right] \quad (114)$$

$$\alpha = \frac{\text{---}}{\Delta t} \quad (115)$$

c-a întocmit programul pentru calculator, în limbaj PASCAL.

În valoile parametrilor implicați în calcule, determinate experimental, aplicând acest program, se obțin valoile coeficienților de transfer de căldură α la fierbere. Se exemplifică pentru anestezicul $\text{p-(}\beta\text{-clinoetil)-copolimeri - toluen}$.

Programul în limbaj FORTRAN al relațiilor pentru calculul
valorilor coeficientului de transfer de căldură la fier-
erbere.

```

PPPPP PPPP P   QQQQ Q   2 2222222222 666666666
PPPP P   QQQ Q   2 2222222222 666666666
PPPP PPPPP P   QQQ Q   2 2222222222 666666666
PPPP PPPPP P   QQQ Q   2 2222222222 666666666
PPPP P   QQQ Q   2 2222222222 666666666

```

JOB ALFAF. AN: PG26. PI: JASCANU. COND: (126,LT)
COMPILE FORTRAN
STARTED
FORTRAN 00.00

ALFAF 22/05/76 20.28:01

```

C CALCULUL LUI ALFA LA FIERBERE
C
C DIMENSION V(8),A(8),Q(8),TP(8),T(8),DELTAT(S),ALFA(E)
REAL L1,L2,L3,L4,L5,L6,L7,L8,L9,L10,L11,L12,L13,L14,L15,L16,L17,L18,L19,L20,L21,L22,L23,L24,L25,L26,L27,L28,L29,L30,L31,L32,L33,L34,L35,L36,L37,L38,L39,L40,L41,L42,L43,L44,L45,L46,L47,L48,L49,L50,L51,L52,L53,L54,L55,L56,L57,L58,L59,L60,L61,L62,L63,L64,L65,L66,L67,L68,L69,L70,L71,L72,L73,L74,L75,L76,L77,L78,L79,L79,L80,L81,L82,L83,L84,L85,L86,L87,L88,L89,L89,L90,L91,L92,L93,L94,L95,L96,L97,L98,L99,L100,L101,L102,L103,L104,L105,L106,L107,L108,L109,L110,L111,L112,L113,L114,L115,L116,L117,L118,L119,L120,L121,L122,L123,L124,L125,L126,L127,L128,L129,L130,L131,L132,L133,L134,L135,L136,L137,L138,L139,L140,L141,L142,L143,L144,L145,L146,L147,L148,L149,L150,L151,L152,L153,L154,L155,L156,L157,L158,L159,L159,L160,L161,L162,L163,L164,L165,L166,L167,L168,L169,L169,L170,L171,L172,L173,L174,L175,L176,L177,L178,L179,L179,L180,L181,L182,L183,L184,L185,L186,L187,L188,L189,L189,L190,L191,L192,L193,L194,L195,L196,L197,L198,L199,L199,L200,L201,L202,L203,L204,L205,L206,L207,L208,L209,L209,L210,L211,L212,L213,L214,L215,L216,L217,L218,L219,L219,L220,L221,L222,L223,L224,L225,L226,L227,L227,L228,L229,L229,L229,L230,L231,L232,L233,L234,L235,L236,L237,L238,L239,L239,L240,L241,L242,L243,L244,L245,L246,L247,L248,L249,L249,L250,L251,L252,L253,L254,L255,L256,L257,L258,L259,L259,L260,L261,L262,L263,L264,L265,L266,L267,L268,L269,L269,L270,L271,L272,L273,L274,L275,L276,L277,L278,L279,L279,L280,L281,L282,L283,L284,L285,L286,L287,L288,L289,L289,L290,L291,L292,L293,L294,L295,L296,L297,L297,L298,L299,L299,L299,L300,L301,L302,L303,L304,L305,L306,L307,L308,L309,L309,L310,L311,L312,L313,L314,L315,L316,L317,L318,L319,L319,L320,L321,L322,L323,L324,L325,L326,L327,L328,L329,L329,L330,L331,L332,L333,L334,L335,L336,L337,L338,L339,L339,L340,L341,L342,L343,L344,L345,L346,L347,L348,L349,L349,L350,L351,L352,L353,L354,L355,L356,L357,L358,L359,L359,L360,L361,L362,L363,L364,L365,L366,L367,L368,L369,L369,L370,L371,L372,L373,L374,L375,L376,L377,L378,L379,L379,L380,L381,L382,L383,L384,L385,L386,L387,L388,L389,L389,L390,L391,L392,L393,L394,L395,L396,L397,L398,L399,L399,L400,L401,L402,L403,L404,L405,L406,L407,L408,L409,L409,L410,L411,L412,L413,L414,L415,L416,L417,L418,L419,L419,L420,L421,L422,L423,L424,L425,L426,L427,L428,L429,L429,L430,L431,L432,L433,L434,L435,L436,L437,L438,L439,L439,L440,L441,L442,L443,L444,L445,L446,L447,L448,L449,L449,L450,L451,L452,L453,L454,L455,L456,L457,L458,L459,L459,L460,L461,L462,L463,L464,L465,L466,L467,L468,L469,L469,L470,L471,L472,L473,L474,L475,L476,L477,L478,L479,L479,L480,L481,L482,L483,L484,L485,L486,L487,L488,L489,L489,L490,L491,L492,L493,L494,L495,L496,L497,L498,L499,L499,L500,L501,L502,L503,L504,L505,L506,L507,L508,L509,L509,L510,L511,L512,L513,L514,L515,L516,L517,L518,L519,L519,L520,L521,L522,L523,L524,L525,L526,L527,L528,L529,L529,L530,L531,L532,L533,L534,L535,L536,L537,L538,L539,L539,L540,L541,L542,L543,L544,L545,L546,L547,L548,L549,L549,L550,L551,L552,L553,L554,L555,L556,L557,L558,L559,L559,L560,L561,L562,L563,L564,L565,L566,L567,L568,L569,L569,L570,L571,L572,L573,L574,L575,L576,L577,L578,L579,L579,L580,L581,L582,L583,L584,L585,L586,L587,L588,L589,L589,L590,L591,L592,L593,L594,L595,L596,L597,L598,L599,L599,L600,L601,L602,L603,L604,L605,L606,L607,L608,L609,L609,L610,L611,L612,L613,L614,L615,L616,L617,L618,L619,L619,L620,L621,L622,L623,L624,L625,L626,L627,L628,L629,L629,L630,L631,L632,L633,L634,L635,L636,L637,L638,L639,L639,L640,L641,L642,L643,L644,L645,L646,L647,L648,L649,L649,L650,L651,L652,L653,L654,L655,L656,L657,L658,L659,L659,L660,L661,L662,L663,L664,L665,L666,L667,L668,L669,L669,L670,L671,L672,L673,L674,L675,L676,L677,L678,L679,L679,L680,L681,L682,L683,L684,L685,L686,L687,L688,L689,L689,L690,L691,L692,L693,L694,L695,L696,L697,L698,L699,L699,L700,L701,L702,L703,L704,L705,L706,L707,L708,L709,L709,L710,L711,L712,L713,L714,L715,L716,L717,L718,L719,L719,L720,L721,L722,L723,L724,L725,L726,L727,L728,L729,L729,L730,L731,L732,L733,L734,L735,L736,L737,L738,L739,L739,L740,L741,L742,L743,L744,L745,L746,L747,L748,L749,L749,L750,L751,L752,L753,L754,L755,L756,L757,L758,L759,L759,L760,L761,L762,L763,L764,L765,L766,L767,L768,L769,L769,L770,L771,L772,L773,L774,L775,L776,L777,L778,L779,L779,L780,L781,L782,L783,L784,L785,L786,L787,L788,L789,L789,L790,L791,L792,L793,L794,L795,L796,L797,L798,L799,L799,L800,L801,L802,L803,L804,L805,L806,L807,L808,L809,L809,L810,L811,L812,L813,L814,L815,L816,L817,L818,L819,L819,L820,L821,L822,L823,L824,L825,L826,L827,L828,L829,L829,L830,L831,L832,L833,L834,L835,L836,L837,L838,L839,L839,L840,L841,L842,L843,L844,L845,L846,L847,L848,L849,L849,L850,L851,L852,L853,L854,L855,L856,L857,L858,L859,L859,L860,L861,L862,L863,L864,L865,L866,L867,L868,L869,L869,L870,L871,L872,L873,L874,L875,L876,L877,L878,L879,L879,L880,L881,L882,L883,L884,L885,L886,L887,L888,L889,L889,L890,L891,L892,L893,L894,L895,L896,L897,L898,L899,L899,L900,L901,L902,L903,L904,L905,L906,L907,L908,L909,L909,L910,L911,L912,L913,L914,L915,L916,L917,L918,L919,L919,L920,L921,L922,L923,L924,L925,L926,L927,L928,L929,L929,L930,L931,L932,L933,L934,L935,L936,L937,L938,L939,L939,L940,L941,L942,L943,L944,L945,L946,L947,L948,L949,L949,L950,L951,L952,L953,L954,L955,L956,L957,L958,L959,L959,L960,L961,L962,L963,L964,L965,L966,L967,L968,L969,L969,L970,L971,L972,L973,L974,L975,L976,L977,L978,L979,L979,L980,L981,L982,L983,L984,L985,L986,L987,L988,L989,L989,L990,L991,L992,L993,L994,L995,L996,L997,L998,L999,L999,L1000,L1001,L1002,L1003,L1004,L1005,L1006,L1007,L1008,L1009,L1009,L1010,L1011,L1012,L1013,L1014,L1015,L1016,L1017,L1018,L1019,L1019,L1020,L1021,L1022,L1023,L1024,L1025,L1026,L1027,L1028,L1029,L1029,L1030,L1031,L1032,L1033,L1034,L1035,L1036,L1037,L1038,L1039,L1039,L1040,L1041,L1042,L1043,L1044,L1045,L1046,L1047,L1048,L1049,L1049,L1050,L1051,L1052,L1053,L1054,L1055,L1056,L1057,L1058,L1059,L1059,L1060,L1061,L1062,L1063,L1064,L1065,L1066,L1067,L1068,L1069,L1069,L1070,L1071,L1072,L1073,L1074,L1075,L1076,L1077,L1078,L1079,L1079,L1080,L1081,L1082,L1083,L1084,L1085,L1086,L1087,L1088,L1089,L1089,L1090,L1091,L1092,L1093,L1094,L1095,L1096,L1097,L1098,L1099,L1099,L1100,L1101,L1102,L1103,L1104,L1105,L1106,L1107,L1108,L1109,L1109,L1110,L1111,L1112,L1113,L1114,L1115,L1116,L1117,L1118,L1119,L1119,L1120,L1121,L1122,L1123,L1124,L1125,L1126,L1127,L1128,L1129,L1129,L1130,L1131,L1132,L1133,L1134,L1135,L1136,L1137,L1138,L1139,L1139,L1140,L1141,L1142,L1143,L1144,L1145,L1146,L1147,L1148,L1149,L1149,L1150,L1151,L1152,L1153,L1154,L1155,L1156,L1157,L1158,L1159,L1159,L1160,L1161,L1162,L1163,L1164,L1165,L1166,L1167,L1168,L1169,L1169,L1170,L1171,L1172,L1173,L1174,L1175,L1176,L1177,L1178,L1179,L1179,L1180,L1181,L1182,L1183,L1184,L1185,L1186,L1187,L1188,L1189,L1189,L1190,L1191,L1192,L1193,L1194,L1195,L1196,L1197,L1198,L1199,L1199,L1200,L1201,L1202,L1203,L1204,L1205,L1206,L1207,L1208,L1209,L1209,L1210,L1211,L1212,L1213,L1214,L1215,L1216,L1217,L1218,L1219,L1219,L1220,L1221,L1222,L1223,L1224,L1225,L1226,L1227,L1228,L1229,L1229,L1230,L1231,L1232,L1233,L1234,L1235,L1236,L1237,L1238,L1239,L1239,L1240,L1241,L1242,L1243,L1244,L1245,L1246,L1247,L1248,L1249,L1249,L1250,L1251,L1252,L1253,L1254,L1255,L1256,L1257,L1258,L1259,L1259,L1260,L1261,L1262,L1263,L1264,L1265,L1266,L1267,L1268,L1269,L1269,L1270,L1271,L1272,L1273,L1274,L1275,L1276,L1277,L1278,L1279,L1279,L1280,L1281,L1282,L1283,L1284,L1285,L1286,L1287,L1288,L1289,L1289,L1290,L1291,L1292,L1293,L1294,L1295,L1296,L1297,L1298,L1299,L1299,L1300,L1301,L1302,L1303,L1304,L1305,L1306,L1307,L1308,L1309,L1309,L1310,L1311,L1312,L1313,L1314,L1315,L1316,L1317,L1318,L1319,L1319,L1320,L1321,L1322,L1323,L1324,L1325,L1326,L1327,L1328,L1329,L1329,L1330,L1331,L1332,L1333,L1334,L1335,L1336,L1337,L1338,L1339,L1339,L1340,L1341,L1342,L1343,L1344,L1345,L1346,L1347,L1348,L1349,L1349,L1350,L1351,L1352,L1353,L1354,L1355,L1356,L1357,L1358,L1359,L1359,L1360,L1361,L1362,L1363,L1364,L1365,L1366,L1367,L1368,L1369,L1369,L1370,L1371,L1372,L1373,L1374,L1375,L1376,L1377,L1378,L1379,L1379,L1380,L1381,L1382,L1383,L1384,L1385,L1386,L1387,L1388,L1389,L1389,L1390,L1391,L1392,L1393,L1394,L1395,L1396,L1397,L1398,L1399,L1399,L1400,L1401,L1402,L1403,L1404,L1405,L1406,L1407,L1408,L1409,L1409,L1410,L1411,L1412,L1413,L1414,L1415,L1416,L1417,L1418,L1419,L1419,L1420,L1421,L1422,L1423,L1424,L1425,L1426,L1427,L1428,L1429,L1429,L1430,L1431,L1432,L1433,L1434,L1435,L1436,L1437,L1438,L1439,L1439,L1440,L1441,L1442,L1443,L1444,L1445,L1446,L1447,L1448,L1449,L1449,L1450,L1451,L1452,L1453,L1454,L1455,L1456,L1457,L1458,L1459,L1459,L1460,L1461,L1462,L1463,L1464,L1465,L1466,L1467,L1468,L1469,L1469,L1470,L1471,L1472,L1473,L1474,L1475,L1476,L1477,L1478,L1479,L1479,L1480,L1481,L1482,L1483,L1484,L1485,L1486,L1487,L1488,L1489,L1489,L1490,L1491,L1492,L1493,L1494,L1495,L1496,L1497,L1498,L1499,L1499,L1500,L1501,L1502,L1503,L1504,L1505,L1506,L1507,L1508,L1509,L1509,L1510,L1511,L1512,L1513,L1514,L1515,L1516,L1517,L1518,L1519,L1519,L1520,L1521,L1522,L1523,L1524,L1525,L1526,L1527,L1528,L1529,L1529,L1530,L1531,L1532,L1533,L1534,L1535,L1536,L1537,L1538,L1539,L1539,L1540,L1541,L1542,L1543,L1544,L1545,L1546,L1547,L1548,L1549,L1549,L1550,L1551,L1552,L1553,L1554,L1555,L1556,L1557,L1558,L1559,L1559,L1560,L1561,L1562,L1563,L1564,L1565,L1566,L1567,L1568,L1569,L1569,L1570,L1571,L1572,L1573,L1574,L1575,L1576,L1577,L1578,L1579,L1579,L1580,L1581,L1582,L1583,L1584,L1585,L1586,L1587,L1588,L1589,L1589,L1590,L1591,L1592,L1593,L1594,L1595,L1596,L1597,L1598,L1599,L1599,L1600,L1601,L1602,L1603,L1604,L1605,L1606,L1607,L1608,L1609,L1609,L1610,L1611,L1612,L1613,L1614,L1615,L1616,L1617,L1618,L1619,L1619,L1620,L1621,L1622,L1623,L1624,L1625,L1626,L1627,L1628,L1629,L1629,L1630,L1631,L1632,L1633,L1634,L1635,L1636,L1637,L1638,L1639,L1639,L1640,L1641,L1642,L1643,L1644,L1645,L1646,L1647,L1648,L1649,L1649,L1650,L1651,L1652,L1653,L1654,L1655,L1656,L1657,L1658,L1659,L1659,L1660,L1661,L1662,L1663,L1664,L1665,L1666,L1667,L1668,L1669,L1669,L1670,L1671,L1672,L1673,L1674,L1675,L1676,L1677,L1678,L1679,L1679,L1680,L1681,L1682,L1683,L1684,L1685,L1686,L1687,L1688,L1689,L1689,L1690,L1691,L1692,L1693,L1694,L1695,L1696,L1697,L1698,L1699,L1699,L1700,L1701,L1702,L1703,L1704,L1705,L1706,L1707,L1708,L1709,L1709,L1710,L1711,L1712,L1713,L1714,L1715,L1716,L1717,L1718,L1719,L1719,L1720,L1721,L1722,L1723,L1724,L1725,L1726,L1727,L1728,L1729,L1729,L1730,L1731,L1732,L1733,L1734,L1735,L1736,L1737,L1738,L1739,L1739,L1740,L1741,L1742,L1743,L1744,L1745,L1746,L1747,L1748,L1749,L1749,L1750,L1751,L1752,L1753,L1754,L1755,L1756,L1757,L1758,L1759,L1759,L1760,L1761,L1762,L1763,L1764,L1765,L1766,L1767,L1768,L1769,L1769,L1770,L1771,L1772,L1773,L1774,L1775,L1776,L1777,L1778,L1779,L1779,L1780,L1781,L1782,L1783,L1784,L1785,L1786,L1787,L1788,L1789,L1789,L1790,L1791,L1792,L1793,L1794,L1795,L1796,L1797,L1798,L1799,L1799,L1800,L1801,L1802,L1803,L1804,L1805,L1806,L1807,L1808,L1809,L1809,L1810,L1811,L1812,L1813,L1814,L1815,L1816,L1817,L1818,L1819,L1819,L1820,L1821,L1822,L1823,L1824,L1825,L1826,L1827,L1828,L1829,L1829,L1830,L1831,L1832,L1833,L1834,L1835,L1836,L1837,L1838,L1839,L1839,L1840,L1841,L1842,L1843,L1844,L1845,L1846,L1847,L1848,L1849,L1849,L1850,L1851,L1852,L1853,L1854,L1855,L1856,L1857,L1858,L1859,L1859,L1860,L1861,L1862,L1863,L1864,L1865,L1866,L1867,L1868,L1869,L1869,L1870,L1871,L1872,L1873,L1874,L1875,L1876,L1877,L1878,L1879,L1879,L1880,L1881,L1882,L1883,L1884,L1885,L1886,L1887,L1888,L1889,L1889,L1890,L1891,L1892,L1893,L1894,L1895,L1896,L1897,L1898,L1899,L1899,L1900,L1901,L1902,L1903,L1904,L1905,L1906,L1907,L1908,L1909,L1909,L1910,L1911,L1912,L1913,L1914,L1915,L1916,L1917,L1918,L1919,L1919,L1920,L1921,L1922,L1923,L1924,L1925,L1926,L1927,L1928,L1929,L1929,L1930,L1931,L1932,L1933,L1934,L1935,L1936,L1937,L1938,L1939,L1939,L1940,L1941,L1942,L1943,L1944,L1945,L1946,L1947,L1948,L1949,L1949,L1950,L1951,L1952,L1953,L1954,L1955,L1956,L1957,L1958,L1959,L1959,L1960,L1
```

100% TOLUEN - 104 -

V	A	G	DELTAT	ALFA	T	TP
.57	208.0	71116.19	-16.655	1290.3	160.57	170.000
.60	219.5	81115.56	-38.718	2049.2	142.20	147.200
.64	231.5	92222.75	-27.522	2441.9	142.52	143.000
.66	243.0	92370.12	-19.427	2724.9	142.55	143.000
.70	254.5	107248.44	-11.257	3247.7	142.55	143.000
.73	266.0	116630.52	-11.320	3647.7	142.55	143.000
.76	277.5	122229.75	-11.320	3647.7	142.55	143.000
.00						

95% TOLUEN + 5% n-(β -cianoetil)-caprolactamă

V	A	G	DELTAT	ALFA	T	TP
.57	208.0	71306.31	-27.275	2635.1	135.67	135.100
.61	219.5	81115.56	-27.522	2923.1	135.82	136.000
.64	231.5	92222.75	-27.721	3225.3	135.17	136.700
.67	243.0	92370.12	-27.721	3440.3	135.82	136.700
.70	254.5	107043.44	-22.563	3747.7	135.82	136.700
.72	266.0	115561.21	-22.513	3843.1	137.52	138.100
.77	277.5	122229.75	-22.532	3876.1	137.52	138.100
.00						

90% TOLUEN + 10% n-(β -cianoetil)-caprolactamă

V	A	G	DELTAT	ALFA	T	TP
.59	208.0	73741.13	-32.961	2237.2	142.20	142.700
.62	219.5	81115.56	-32.210	2441.9	142.52	143.000
.64	231.5	92222.75	-32.566	2743.0	142.87	143.400
.67	243.0	92370.12	-32.566	2842.4	143.27	143.900
.70	254.5	107043.44	-32.566	3115.2	143.60	144.100
.73	266.0	116630.52	-32.566	3252.3	144.10	144.400
.77	277.5	122229.75	-32.532	3647.3	144.73	145.500
.00						

85% Toluen + 15% n-(β -cianoetil)-caprolactamă

V	A	G	DELTAT	ALFA	T	TP
.58	208.0	72491.25	-35.662	2032.3	145.57	146.100
.62	219.5	81115.56	-38.718	2049.2	144.72	147.200
.64	231.5	92222.75	-37.766	2275.7	147.77	148.300
.67	243.0	92370.12	-38.023	2464.1	148.00	149.500
.70	254.5	107043.44	-38.763	2692.1	148.77	150.400
.73	266.0	116630.52	-39.763	2945.4	150.77	151.600
.78	277.5	122229.75	-41.627	3124.5	151.77	152.700
.00						

80% TOLUEN + 20% n-(β -cianoetil)-caprolactamă

V	A	G	DELTAT	ALFA	T	TP
.58	208.0	71762.19	-43.164	1662.6	154.46	155.100
.62	219.5	81115.56	-44.989	1789.0	156.19	156.900
.65	231.5	88742.37	-45.213	1958.5	156.61	157.400
.68	243.0	92652.25	-45.336	2149.5	156.64	157.500
.72	254.5	108067.24	-46.043	2302.2	159.24	159.200
.75	266.0	112652.41	-48.457	2428.1	159.76	160.200
.79	277.5	122229.75	-51.054	2583.0	161.35	162.100
.00						

70% TOLUEN + 30% n-(β -cianoetil)-caprolactamă

V	A	G	DELTAT	ALFA	T	TP
.58	208.0	73116.19	-56.655	1290.3	160.57	170.000
.62	219.5	81775.20	-57.565	1421.2	170.47	170.300
.65	231.5	91114.31	-57.756	1577.5	170.60	171.200
.68	243.0	99290.04	-59.210	1677.5	172.74	172.700
.72	254.5	110106.04	-59.215	1795.7	171.55	172.200
.75	266.0	120474.56	-60.620	1995.7	173.26	174.100
.80	277.5	132553.59	-62.412	2124.0	175.31	176.100
.00						

50% TOLUEN + 50% n-(β -cianoetil)-caprolactamă

V	A	G	DELTAT	ALFA	T	TP
.60	208.0	72991.00	-79.154	947.4	196.15	196.600
.64	219.5	84412.94	-60.298	1051.2	197.32	197.800
.67	231.5	92505.37	-81.450	1135.7	198.45	199.000
.70	243.0	102211.25	-82.792	1234.6	199.79	200.400
.75	254.5	113030.12	-84.322	1359.1	201.32	202.000
.76	266.0	121475.75	-85.055	1424.5	202.26	203.000
.81	277.5	135898.62	-88.092	1542.7	205.09	205.900
.00						

30% TOLUEN + 70% n-(β -cianoetil)-caprolactamă

V	A	G	DELTAT	ALFA	T	TP
.62	208.0	76865.75	-10.543	846.1	213.84	213.500
.65	219.5	85771.57	-13.020	912.1	221.92	221.500
.69	231.5	95291.50	-17.434	972.0	225.43	225.100
.72	243.0	105131.52	-18.575	1044.5	226.5	227.000
.75	254.5	115000.54	-18.575	1149.8	228.02	228.700
.79	266.0	125371.52	-18.575	1211.7	231.55	232.300
.83	277.5	137899.56	-18.575	1324.9	232.08	232.900
.00						

3.3. Anexări cu privire la determinarea experimentelor a coeficien-
ților de transfer de căldură și la fierberea acetoceturilor
ților cu importanță tehnologică studiate.

Ca urmare a rezultatelor obținute la determinarea coeficienților de transfer de căldură și la fierberea acetoceturilor binare cu importanță tehnologică studiate, se pot face următoarele aprecieri :

- De la lucrat cu acetocuri binare formate din două lichide complet miscibile pe întreg domeniul de concentrații 0-100%. În aceste cazuri cauză de variație a valorilor coeficientului și va fi limitată în cale două părți entreeze de valorile lui și pentru cele două lichide pure. S-a luat în studiu acetocuri de apă, benzene, toluen (în calitate de solventi) și caproilacton și α -(β -cianoethyl)-caproilacton (în calitate de substanțe disolvute).
- În β și în cazul substanțelor pure, valoarea coeficientului și la fierbere, la acetocuri, crește odată cu creșterea încărcării termice specifice q și suprafaței încălzitoare, respectiv a diferenței de temperaturi Δt , dintre temperatură suprafaței de încălzire și temperatură de fierbere a acetoceturii. Această constatare este valabilă la procedurile otocoficiale și în precum mai mică ca presiunea otocoferică și concordă cu datele din literatură^{49,76-80, 83,138,131}.
- Valoarea coeficientului și la fierbere, pentru acetocuri, scade de la valoarea pentru lichidul pur și în volatil, către valoarea pentru lichidul mai puțin volatil. Această scădere nu este lineară, constă dintr-o scădere mai accentuată la început, la concentrații scăzute ale lichidului mai puțin volatil, și apoi mai puțin accentuată, către concentrație de 100% a lichidului cu volatilitatea mai mică.

În constatării săi, în mod sistematic, pentru coloțiile apăse, coefi-

cientul de transfer de căldură și la fierbere variază direct proporțional cu $q^{0,7}$ pe căii vrese, pentru soluțiile benzeneice și toluenice, variații direct proporțional cu $q^{0,8}$. În orbile ceeaști determinările s-au realizat în același condiții experimentale de operături și regimuri de fierbere → în bale. Natură substanțelor care participă la realizarea acestorui influențări, fără o anumită cădere, velocietățile punctei dreptei (în coordonate logaritmice) care prezintă variația lui ∞ în funcție de q , acest lucru este în concordanță cu datele din literatură^{94,95,128,131} în care se indică valoarea exponentului lui q ($a = 0,6 \sim 0,8$) ca o funcție de natura substanțelor în ceeaace, presiunea de lucru și gradul de prelucrare al suprafeței.

- Interpretarea datelor experimentale obținute, prin metodică apusă în paragraful 2.2., respectiv literatura⁹⁵ de specialitate, nu a fost posibilă, deoarece unuia din compozițiile acetecuarilor binari, caprolactam sau β -(cloroethyl)-caprolactam, în condițiile de lucru, înainte de a atinge punctul de fierbere, peste 300°C, se polimerizează și apoi se decompune. Se apreciază deci că, în cazul acetecuarilor binari, în care unul din compoziți se decompune înainte de a atinge punctul de fierbere, adică este termolabil, celul frecvent al compoziților organici, metodologia și metodele aplicate în cadrul prezentului capitol rămâne să fi utilizată și pe viitor. Acesta este cel mai rapid și mai eficient, confiind la rezultate directe și sigure.

- În acetecuarile și soluțiile studiate, velociile coeficiențului ∞ se pot calcula cu relații de forma:

$$\infty = (a + \beta^2 + b + c + d) \cdot q^{\alpha} \quad (116)$$

$$\infty = (a_1 + \beta_1^2 + b_1 + c_1 + d_1) \cdot \Delta t^{\alpha_1} \quad (117)$$

660,

$$\alpha = k \cdot c^b \cdot q^3 \quad (118)$$

$$\alpha = k_1 \cdot c_1^b \cdot \Delta t^{b_1} \quad (119)$$

- Studiile întreprinse acceptă soluțiile de extracție în monootilenglicol ca puțin evidență. În general, aceleși concluzii ca cele prezentate anterior, cu excepția variațiilor care apar în domeniul de concentrații 0 - 1,7% extracție. Așa după cum este arătat, acest lucru se explică prin faptul că extracționul formicat cu monootilenglicolul are loc la concentrație de 1,7% extracție, acest lucru ca comportament de anestetizator.

În tabelul 7 sunt prezentate valorile constanțelor a, b, c, a_1 , b_1 , c_1 , b_2 , k , n , k_1 , n_1 , pentru anestecorile studiate.

Table 7. Valeurs constantes des rapports de calculs de transfert de chaleur à la surface des matériaux minéraux

N° ord	Aérodynamique	Diamètre de coupe	Géométrie de coupe	Rapport de transfert								
				a	b	c	d ₁	d ₂	e ₁	e ₂	f ₁	
1.	Ondulation simple en p = 760 mm Hg	0 - 20%	2,29•10 ⁻⁴	3,03	6,6•10 ⁻²	-2,72	39,5	-	-	-	0,7	2,33
2.	Ondulation simple en p = 760 mm Hg	10 - 30%	2,33•10 ⁻⁴	0,32	-	-	-	-	-1,475•10 ⁻²	-1,02	0,3	3,0
3.	Ondulation simple en p = 100 mm Hg	30 - 100%	1,16•10 ⁻⁵	-2,16•10 ⁻³	0,213	-	-	-	0,346	-2,13	0,3	3,0
4.	Ondulation simple en p = 760 mm Hg	35 - 95%	-	-	-	-	-	-	0,182	0	4,56•10 ⁻⁴	0
5.	Ondulation simple toujours	0 - 10%	-	-4,74•10 ⁻²	0,5	1,01•10 ⁻²	-1,055•10 ⁻²	5,5•10 ⁻²	-	-	0,8	3,0
6.	Ondulation simple en p = 760 mm Hg	30 - 100%	3,61•10 ⁻⁴	-1,15•10 ⁻²	2,14	5,33•10 ⁻³	-0,381	12,2	-	-	0,7	2,35
7.	Ondulation simple toujours	0 - 100%	-	-	-1,15•10 ⁻²	-	-	-	0,218	-0,0364	0,737	-0,13
									0,188	-0,0057	0,677	-0,17

Capitolul 6.

ANALIZA DINAMICĂ A VARIANȚEI DE PREMIU LA ÎNCHIARIREA SOLUȚIILOR ACIDAIE LA FIERBERE LA VARIABILITATE LIMITATĂ

6.1. Aspecte fizico-mateematice privind calculul coeficientilor de transfuzie de căldură la fierberea soluțiilor apăcește de substanțe cu colubilitate limitată¹³⁴.

În punct de vedere al soluțiilor pe care le formează cu apă, substanțele solide solubile în apă, se pot împărtăși în:

- substanțe solide care două soluții apăcește saturate la temperatură de fierbere (cu colubilitate limitată);
- substanțe solide care două soluții apăcește neacurate, ajungând la topituri (cu colubilitate nolimitată).

În ceea ce urmează se prezintă studiile efectuate asupra transferului de căldură la fierberea soluțiilor apăcește de substanțe solide cu colubilitate limitată.

În efectuant determinările experimentale cu soluții apăcește de acotat de potasiu și fosfat diiodic pe întreg intervalul de concentrații cuprinse între $x = 0$ și $x = x_{\text{opt}}$ (x reprezentă concentrația soluției exprimată în fracții molare), la încălziri termice specifice q ale suprafeței de încălzire cuprinse între 10^5 J/m^2 și $5 \cdot 10^5 \text{ J/m}^2$, la presiunile atmosferice și presiunile de 300 și 400 adăugate presiunile de $1,33 \cdot 10^5 \text{ Pa}$ și $4 \cdot 10^4 \text{ Pa}$.

Determinările experimentale au fost efectuate în paralel, pe instalațiile prezentate în paragraful 4.1. și 4.2. Valoările obținute au o concordanță bună.

Într-o soluție de acotat de potasiu și fosfat diiodic de concentrații mici, litoratul de specificitate^{75,77}, unde la dispoziție date referitoare la transferul de căldură la fierbere, s-

Tableau II.

Coéfficients de transfert de chaleur α et facteur d'absorption β en fonction de la pression atmosphérique ($1,0332 \cdot 10^5 \text{ N/m}^2$).

Pression atmosphérique en N/m^2	$\alpha = \frac{\text{W}}{\text{m}^2 \cdot \text{K}}$										$\beta = \frac{\text{W}}{\text{m}^2 \cdot \text{K}}$									
	100	200	300	400	500	600	700	800	900	1000	1100	1200	1300	1400	1500	1600	1700	1800	1900	2000
1	0	0	0	0	0	0	0	0	0	0	0	0	0	0	0	0	0	0	0	0
2	10	10	10	10	10	10	10	10	10	10	10	10	10	10	10	10	10	10	10	10
3	20	20	20	20	20	20	20	20	20	20	20	20	20	20	20	20	20	20	20	20
4	30	30	30	30	30	30	30	30	30	30	30	30	30	30	30	30	30	30	30	30
5	40	40	40	40	40	40	40	40	40	40	40	40	40	40	40	40	40	40	40	40
6	50	50	50	50	50	50	50	50	50	50	50	50	50	50	50	50	50	50	50	50
7	60	60	60	60	60	60	60	60	60	60	60	60	60	60	60	60	60	60	60	60
8	70	70	70	70	70	70	70	70	70	70	70	70	70	70	70	70	70	70	70	70
9	77,2	77,2	77,2	77,2	77,2	77,2	77,2	77,2	77,2	77,2	77,2	77,2	77,2	77,2	77,2	77,2	77,2	77,2	77,2	77,2

Coéfficients de transfert de chaleur α et facteur d'absorption β en fonction de la température de l'air à l'entrée (T_1) et de la température de l'air à la sortie (T_2).

rezarcă o foarte bună concordanță între aceste date și datele obținute în urmă experimentărilor personale efectuate.

Definim drept coeficient de transfer de căldură real, α_{real} , la fierbere, valorile coeficientului de transfer de căldură, α , la fierbere, obținute experimental.

Valorile experimentale ale coeficientului de transfer de căldură α_{real} la fierbere colajilor apăsește exactă de potențiu la precizia otmoferică cînt prezentate în tabelă 8 și figura 68, în care valoile coeficientului α_{real} sunt funcție de concentrația x a soluției și de încărcarea termică specifică q a suprafeței incălzitoare.

În datele prezentate (tabelă 8 și figura 68) se constată că adăugați cu creșterea concentrației x a soluției, respectiv creșterea valoarei încărcării termice specifice q a suprafeței incălzitoare, valoarea coeficientului α_{real} crește. În același timp, analizând sistemul binar în fierbere se observă că el este limitat într-o margine de solventă pură - apa ($x = 0$), iar în celelalte mărgini de soluție saturată ($x_{sat} = 0,370$). Se poate considera deci că soluția de o concentrație corectă este formată dintr-un anumită de solvent pur și soluție saturată.

Careva se consideră un astfel de anumită din punct de vedere teoretic, ar fi de ^{Nu}_{aceste} ^{este} _{condiții} _{de} _{transfer} _{real} ca valoarea coeficientului de transfer de căldură (α) la fierberea unei soluții de o concentrație corectă x , să se situeze între $x = 0$ și $x = x_{sat}$. Dacă fie medie ponderată a valorilor α_{real} pentru apă, $\alpha_{apă}$, și pentru soluție saturată, α_{sat} , avind forma:

$$\alpha_{ideal} = \frac{x}{x_{sat}} \cdot \alpha_{apă} + \left(1 - \frac{x}{x_{sat}}\right) \cdot \alpha_{sat} \quad (12) \quad 6$$

această valoare α_{ideal} este definită drept coeficient de transfer de căldură ideal, α_{ideal} , la fierberea soluțiilor.

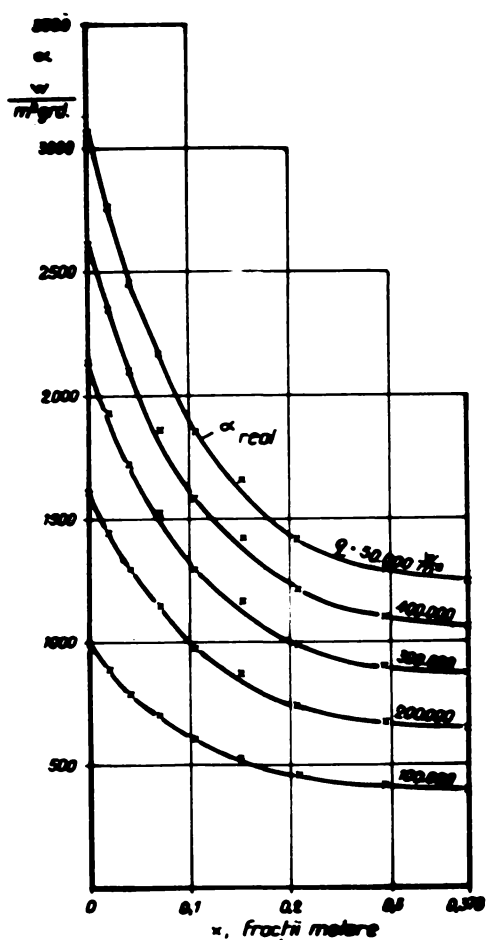
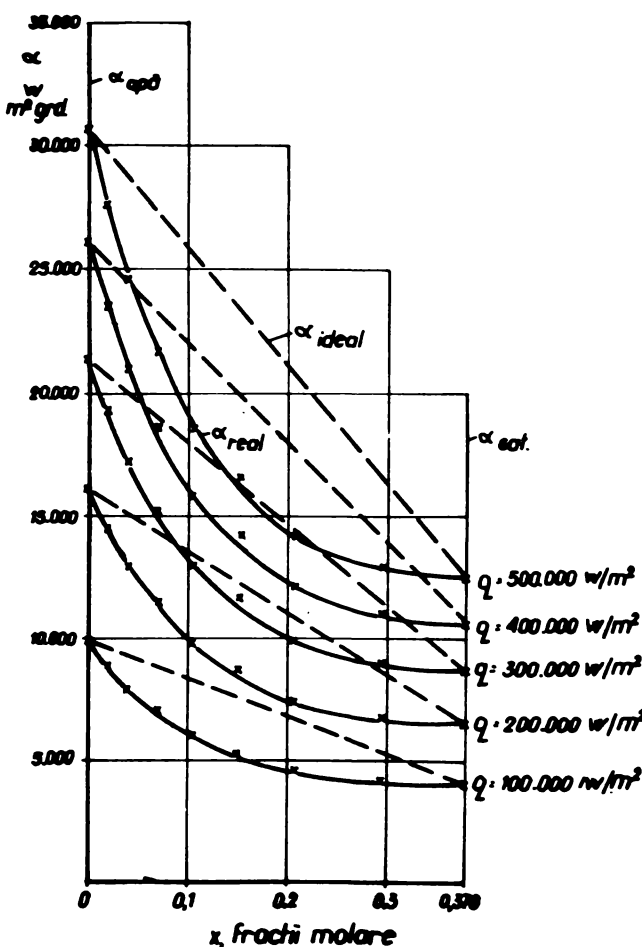


Fig. 38. Dependența coeficiențului α_{real} de concentrație și a soluțiilor apăsate de azotat de potasiu, pentru încălciri termice specifice și constante, la presiunea atmosferică.

Fig. 39. Dependența coeficienților α_{real} experimental și α_{ideal} în funcție de concentrația soluției apăsate de azotat de potasiu, pentru diferite încălciri termice specifice și constante, la presiunea atmosferică.



Reprezentarea grafică a variației $\alpha_{ideal} = f(x)$ pentru împreună termice specifice și constante (figura 68) indică o variație liniară. Valorile extrase coincid cu valorile reale pentru apă și soluția saturată. În intervalul de concentrații de la $x = 0$ pînă la $x = x_{sat}$, valorile lui α_{ideal} sunt sistematic mai mari decît valorile lui α_{real} . Aceasta înseamnă că în procesul real de fierbere a soluțiilor apar fenomene care conduc la scăderea valorilor lui α_{ideal} pînă la valorile lui α_{real} .

ecuația unei drepte cauză-care îl reprezintă pe α_{ideal} (figura 69) are forma:

$$y = a x + b$$

(121)

în care:

- punctul dreptei:

$$a = \frac{\alpha_{sat} - \alpha_{apă}}{x_{sat}}$$

(122)

- ordonata la origine:

$$b = \alpha_{apă}$$

(123)

Atenționare de specialitate: 5,75, 75, 135, 136 indică drept relații generale de calcul pentru coeficientul de transfer ce cîndva la fierberea apăi și soluțiilor apăsele ecuații de formă:

$$\alpha = \sum q^2$$

(124)

în care:

- \sum - constanță a cărei valoare depinde de natura solventului, a substanței dissolve, a concentrației și presiunii; pentru apă la presiunea atmosferică $\sum_{apă} = 3,14$;

- q - constanță a cărei valoare depinde de natura solventului și a substanței dissolve; pentru apă și soluții apăsele $q = 0,7$.

Inlocuind în relațiile (122) și (123) expresiile lui α din relația (124) pentru apă și soluția apăsată saturată, acestea capătă forma:

$$c = - \frac{\sum_{\text{apt}} - \sum_{\text{out}}}{\sum_{\text{out}}} \cdot q^{0.7} \quad (125)$$

$$b = \sum_{\text{apt}} \cdot q^{0.7} \quad (126)$$

iar ecuația (121) devine:

$$\bar{x} = \left[\sum_{\text{apt}} - (\sum_{\text{apt}} - \sum_{\text{out}}) \cdot \frac{1}{\sum_{\text{out}}} \right] \cdot q^{0.7} \quad (127)$$

similară în ceea ce privește conținutul cu ecuația (120) și deci în care $y = \infty_{\text{ideal}}$

Conform acestei ecuații generale, dreptele care reprezintă variația lui $\infty_{\text{ideal}} = f(x)$ la încălzirea termică specifică și constanți a suprafeței încălzitoare, vor intersecta abscisa între un punct ale cărui coordonate x_p și y_p , vor fi:

$$x_p = \frac{\sum_{\text{apt}}}{\sum_{\text{apt}} + \sum_{\text{out}}} \cdot x_{\text{out}} \quad (128)$$

$$y_p = 0$$

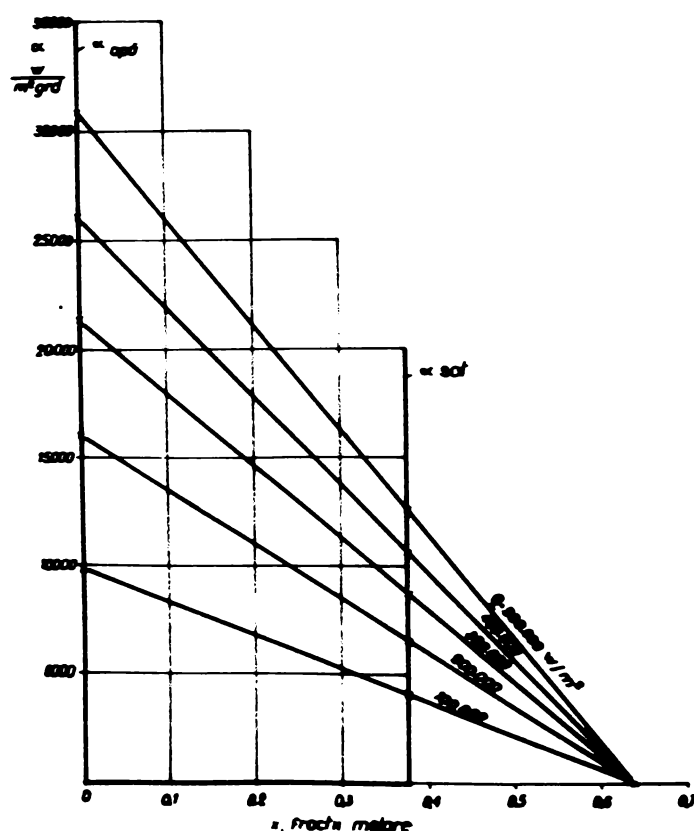


Fig. 70.- Familie de drepte $\infty_{\text{ideal}} = f(x)$ la diferite încălziri termice specifice q , pentru soluțiile apone de azotat de potasiu, la presiunea atmosferică.

Period	Time	Rate	Interest
1	1 year	10%	100
2	2 years	10%	200
3	3 years	10%	300
4	4 years	10%	400
5	5 years	10%	500
6	6 years	10%	600
7	7 years	10%	700
8	8 years	10%	800
9	9 years	10%	900
10	10 years	10%	1000

Le pendiente constante (α) de tramos de círculo es igual a la fuerza centrífuga dividida entre el peso del agua y el radio de curvatura. La pendiente de los tramos de círculo es de $3\pi/16$ o 4.7% ($1.1/\text{m}^2$).

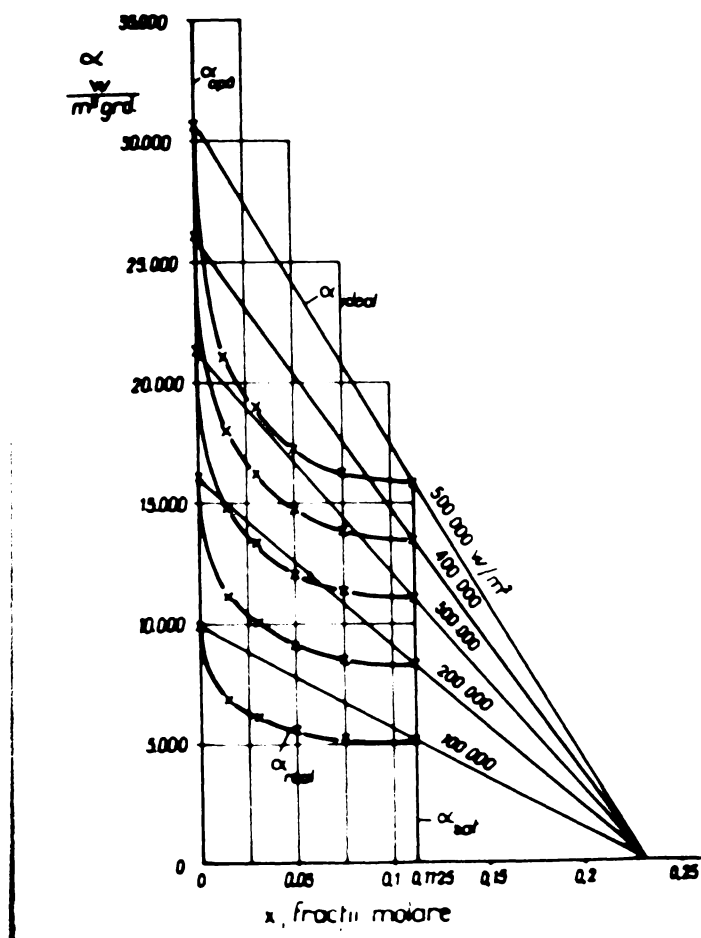
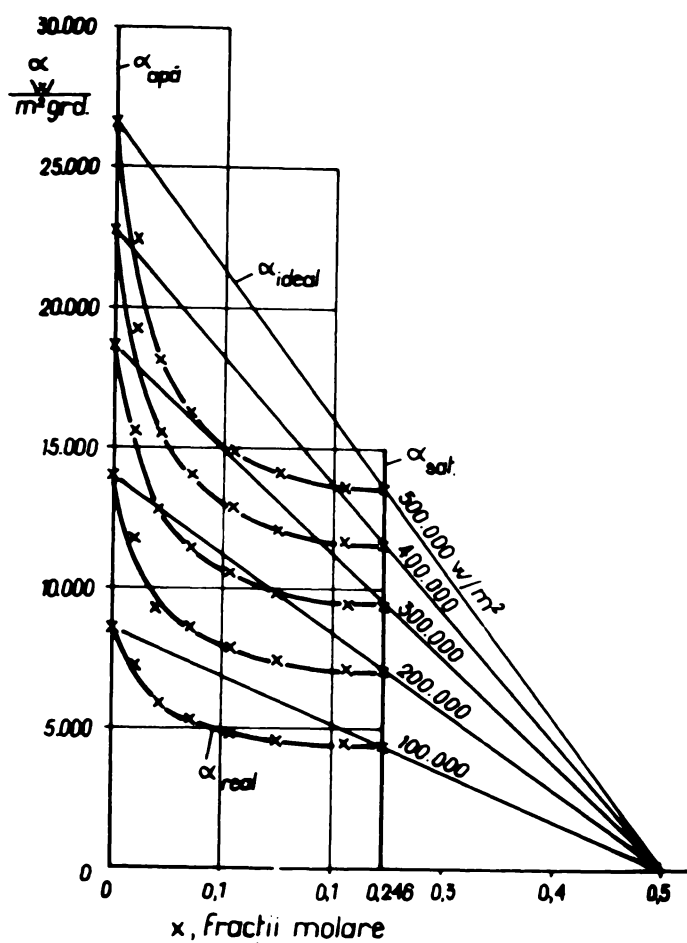
Table 16.

Coeficientes de transmisión de estímulos y real la función de colisión conocida de los órganos sensoriales y sus contenidos y resistencias a solutaz de las fases terminales específicas.

En el cuadro 16 se presentan los coeficientes de transmisión de estímulos y resistencias a solutaz de las fases terminales específicas.

Número de la fase	Resistencia de los órganos sensoriales y sus contenidos en milio volts	α_{real}	Resistencias de los órganos sensoriales y sus contenidos en milio volts									
			1	2	3	4	5	6	7	8	9	10
1	0	0	0	0	0	0	0	0	0	0	0	0
2	10	0,0010	6,000	11,100	16,200	21,300	26,400	31,500	36,600	41,700	46,800	51,900
3	20	0,0020	6,166	10,000	13,833	17,667	21,500	25,333	29,167	32,167	35,000	37,833
4	30	0,0030	6,333	10,000	13,667	17,500	21,333	25,167	28,933	31,833	34,700	37,567
5	40	0,0040	6,500	10,000	13,833	17,667	21,500	25,333	29,167	32,000	34,833	37,667
6	50	0,0050	6,667	10,000	14,000	17,833	21,667	25,500	29,333	32,167	35,000	37,833
7	60	0,0060	6,833	10,000	14,167	18,000	21,833	25,667	29,500	32,333	35,167	38,000
8	70	0,0070	7,000	10,000	14,333	18,167	22,000	25,833	29,667	32,500	35,333	38,167
9	80	0,0080	7,167	10,000	14,500	18,333	22,167	26,000	29,833	32,667	35,500	38,333
10	90	0,0090	7,333	10,000	14,667	18,500	22,333	26,167	30,000	33,167	36,333	39,500
11	100	0,0100	7,500	10,000	14,833	18,667	22,500	26,333	30,167	33,333	36,500	39,667
12	110	0,0110	7,667	10,000	15,000	18,833	22,667	26,500	30,333	33,500	36,667	40,000
13	120	0,0120	7,833	10,000	15,167	19,000	22,833	26,667	30,500	33,667	36,833	40,167
14	130	0,0130	8,000	10,000	15,333	19,167	23,000	26,833	30,667	33,833	37,000	40,333
15	140	0,0140	8,167	10,000	15,500	19,333	23,167	27,000	30,833	34,000	37,167	40,500
16	150	0,0150	8,333	10,000	15,667	19,500	23,333	27,167	31,000	34,167	37,333	40,667
17	160	0,0160	8,500	10,000	15,833	19,667	23,500	27,333	31,167	34,333	37,500	40,833
18	170	0,0170	8,667	10,000	16,000	19,833	23,667	27,500	31,333	34,500	37,667	41,000
19	180	0,0180	8,833	10,000	16,167	20,000	23,833	27,667	31,500	34,667	37,833	41,167
20	190	0,0190	9,000	10,000	16,333	20,167	24,000	27,833	31,667	34,833	38,000	41,333
21	200	0,0200	9,167	10,000	16,500	20,333	24,167	28,000	31,833	35,000	38,167	41,500
22	210	0,0210	9,333	10,000	16,667	20,500	24,333	28,167	32,000	35,167	38,333	41,667
23	220	0,0220	9,500	10,000	16,833	20,667	24,500	28,333	32,167	35,333	38,500	41,833
24	230	0,0230	9,667	10,000	17,000	20,833	24,667	28,500	32,333	35,500	38,667	42,000
25	240	0,0240	9,833	10,000	17,167	21,000	24,833	28,667	32,500	35,667	38,833	42,167
26	250	0,0250	10,000	10,000	17,333	21,167	25,000	28,833	32,667	35,833	39,000	42,333
27	260	0,0260	10,167	10,000	17,500	21,333	25,167	29,000	32,833	36,000	39,167	42,500
28	270	0,0270	10,333	10,000	17,667	21,500	25,333	29,167	33,000	36,167	39,333	42,667
29	280	0,0280	10,500	10,000	17,833	21,667	25,500	29,333	33,167	36,333	39,500	42,833
30	290	0,0290	10,667	10,000	18,000	21,833	25,667	29,500	33,333	36,500	39,667	43,000
31	300	0,0300	10,833	10,000	18,167	22,000	25,833	29,667	33,500	36,667	39,833	43,167
32	310	0,0310	11,000	10,000	18,333	22,167	25,167	29,833	33,667	36,833	40,000	43,333
33	320	0,0320	11,167	10,000	18,500	22,333	25,333	30,000	33,833	37,000	40,167	43,500
34	330	0,0330	11,333	10,000	18,667	22,500	25,500	30,167	34,000	37,167	40,333	43,667
35	340	0,0340	11,500	10,000	18,833	22,667	25,667	30,333	34,167	37,333	40,500	43,833
36	350	0,0350	11,667	10,000	19,000	22,833	25,833	30,500	34,333	37,500	40,667	44,000
37	360	0,0360	11,833	10,000	19,167	23,000	26,000	30,667	34,500	37,667	40,833	44,167
38	370	0,0370	12,000	10,000	19,333	23,167	26,167	30,833	34,667	37,833	41,000	44,333
39	380	0,0380	12,167	10,000	19,500	23,333	26,333	31,000	34,833	38,000	41,167	44,500
40	390	0,0390	12,333	10,000	19,667	23,500	26,500	31,167	35,000	38,167	41,333	44,667
41	400	0,0400	12,500	10,000	19,833	23,667	26,667	31,333	35,167	38,333	41,500	44,833
42	410	0,0410	12,667	10,000	19,999	23,833	26,833	31,500	35,333	38,500	41,667	45,000
43	420	0,0420	12,833	10,000	20,167	24,000	27,000	31,667	35,500	38,667	41,833	45,167
44	430	0,0430	13,000	10,000	20,333	24,167	27,167	31,833	35,667	38,833	42,000	45,333
45	440	0,0440	13,167	10,000	20,500	24,333	27,333	32,000	35,833	39,000	42,167	45,500
46	450	0,0450	13,333	10,000	20,667	24,500	27,500	32,167	35,999	39,167	42,333	45,667
47	460	0,0460	13,500	10,000	20,833	24,667	27,667	32,333	36,167	39,333	42,500	45,833
48	470	0,0470	13,667	10,000	20,999	24,833	27,833	32,500	36,333	39,500	42,667	46,000
49	480	0,0480	13,833	10,000	21,167	25,000	28,000	32,667	36,500	39,667	42,833	46,167
50	490	0,0490	14,000	10,000	21,333	25,167	28,167	32,833	36,667	39,833	43,000	46,333
51	500	0,0500	14,167	10,000	21,500	25,333	28,333	33,000	36,833	40,000	43,167	46,500
52	510	0,0510	14,333	10,000	21,667	25,500	28,500	33,167	36,999	40,167	43,333	46,667
53	520	0,0520	14,500	10,000	21,833	25,667	28,667	33,333	37,167	40,333	43,500	46,833
54	530	0,0530	14,667	10,000	21,999	25,833	28,833	33,500	37,333	40,500	43,667	47,000
55	540	0,0540	14,833	10,000	22,167	26,000	29,000	33,667	37,500	40,667	43,833	47,167
56	550	0,0550	15,000	10,000	22,333	26,167	29,167	33,833	37,667	40,833	44,000	47,333
57	560	0,0560	15,167	10,000	22,500	26,333	29,333	34,000	37,833	41,000	44,167	47,500
58	570	0,0570	15,333	10,000	22,667	26,500	29,500	34,167	37,999	41,167	44,333	47,667
59	580	0,0580	15,500	10,000	22,833	26,667	29,667	34,333	38,167	41,333	44,500	47,833
60	590	0,0590	15,667	10,000	22,999	26,833	29,833	34,500	38,333	41,500	44,667	48,000
61	600	0,0600	15,833	10,000	23,167	27,000	30,000	34,667	38,500	41,667	44,833	48,167
62	610	0,0610	16,000	10,000	23,333	27,167	30,167	34,833	38,667	41,833	45,000	48,333
63	620	0,0620	16,167	10,000	23,500	27,333	30,333	35,000	38,833	42,000	45,167	48,500
64	630	0,0630	16,333	10,000	23,667	27,500	30,500	35,167	38,999	42,167	45,333	48,667
65	640	0,0640	16,500	10,000	23,833	27,667	30,667	35,333	39,167	42,333	45,500	48,833
66	650	0,0650	16,667	10,000	23,999	27,833	30,833	35,500	39,333	42,500	45,667	49,000
67	660	0,0660	16,833	10,000	24,167	28,000	31,000	35,667				

DIG. 71. - dependența coeficienților de transfer de cilduzi α_{real} și α_{ideal} la fierberea soluțiilor apăsate de sucat de potociu, în funcție de concentrație, la diferite indicații termice specifice și preciumene de $\beta_{\text{ap}} \text{ cm}^2 \text{ kg}$ (4.10^4 J m^{-2}).



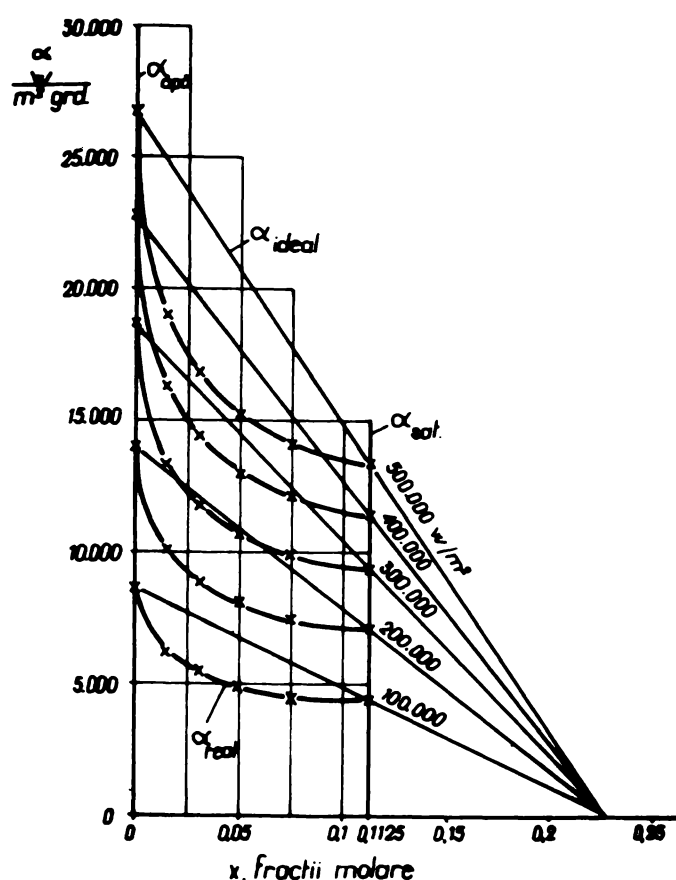
DIG. 72. - dependența coeficienților de transfer de cilduzi α_{real} și α_{ideal} la fierberea soluțiilor apăsate de sucat diiodic, în funcție de concentrație, la diferite indicații termice specifice și preciumene atrofice.

Tabela 11a.

Dependența coeficientului de transmisie de căldură α și a fierberii solutilor operești de coeficienții din funcție de concentrație și a coloanelor de lădișoare termică specifică q și a suprafeței termice. La presiunile de 300 mm Hg ($4 \cdot 10^4$ N/m²).

Culoare cristal	Concen- trație g/100 g	α , m ² /s	Presiune atmosferică mm Hg	Presiune atmosferică mm Hg					
				100	150	200	300	400	500
1	0	0	6 694	14 060	16 670	22 030	26 100	36 000	46 000
2	10	0,0038	6 160	10 000	15 300	20 000	26 260	30 070	36 767
3	20	0,0079	5 469	8 832	11 800	14 490	16 670	18 724	20 724
4	30	0,0115	4 926	7 000	10 630	13 000	15 200	18 740	21 000
5	40	0,0179	4 502	6 302	7 442	9 000	12 100	14 140	16 843
6	50	0,0225	4 240	7 030	9 350	11 490	13 400	15 000	16 000

Fig. 73.- Dependenta coeficientilor de transfer de cilduri α_{real} și α_{ideal} la fierberea solutiilor apozice de fosfat disodic in functie de concentrazie, la diferite incalziri termice specifice q și presiunile de 30. mm Hg ($4 \cdot 10^4$ N/m²).



coordonatele acestui punct nu depind de valoarea q -urilor termice specifice q a suprafeței încălzitoare, însoțită cu dreptele α_{ideal} , caracterizate de ecuație (127), formând o semilice de drepte ce trece prin punctul de coordonate date de ecuația (128). Poziția acestui punct depinde de natura substanței solide disolvute în apă și de presiunea de lucru, respectiv de x_{sat} , E_{ap} și E_{sat} .

Atât cele experimentale, referitoare la coeficientii de transfer de cilduri la fierberea solutiilor apozice de osotat de potasiu la presiunile atmosferice (figura 60) și la presiunea de 30 mm Hg (tabula 1) și figura 71) precum și pe a solutiilor apozice de fosfat disodic la presiunile atmosferice (tabula 1. și figura 72) și la presiunea de 30 mm Hg (tabula 11 și figura 73), confirmă aceeași concluzie teoretică.

În determinările experimentale se au constatări că valoarea raportului $\alpha_{real}/\alpha_{ideal}$ (tabelele 8, 9, 10, 11) pentru o-ocogii concentrație a soluției este o mărimă constantă, independentă de valoarea încărcării termice specifice q și suprafaței incisitoare. Prin urmare, cunoscând variația lui α_{real} pentru o anumită valoare a încărcării termice specifice q, implicit și valorile raportului $\alpha_{real}/\alpha_{ideal}$ pe întreg domeniul de concentrații cuprinse între $x = 0$ și $x = x_{sat}$, se pot determina valoziile lui α_{real} pentru diferite concentrații ale soluțiilor și încărcării termice specifice q, cunoscându-se valoziile lui

$E_{spă}$ și E_{sat} pentru încărcările respective.

6.2. Interpretarea rezultatelor experimentale la fierberea în bulă a soluțiilor avuse de substanțe cu solubilitate limitată. Stabilitatea unei noi soluții de calori¹³⁷.

In determinările experimentale, efectuate cu soluții avuse de substanță de potasiu și sulfat disodic, la presiuni atmosferice și presiuni de $4 \cdot 10^4$ N/m^2 , este constatătă, (aceea după cum erau noi rezultat,) că α_{real} are sistematic valori mai mici decât α_{ideal} pentru aceeași concentrație a soluției. De asemenea se constată că, pentru aceeași concentrație a soluției, independent de valoarea încărcării termice specifice q și suprafaței incisitoare, valoarea raportului $\alpha_{real}/\alpha_{ideal}$ este constantă.
(13,8) Dependenta valorilor raportului $\alpha_{real}/\alpha_{ideal}$ în funcție de concentrația x a soluției este prezentată în tabelale 8, 9, 10 și 11 și redată grafic în figura 74, pentru soluțiile de acetat de potasiu la presiuni atmosferice.

Literatura de specialitate precizează că intencitatea tranzistorului termic în cazul fierberii este o mărimă determinată mai ales de proprietățile termodinamice ale substanței care se

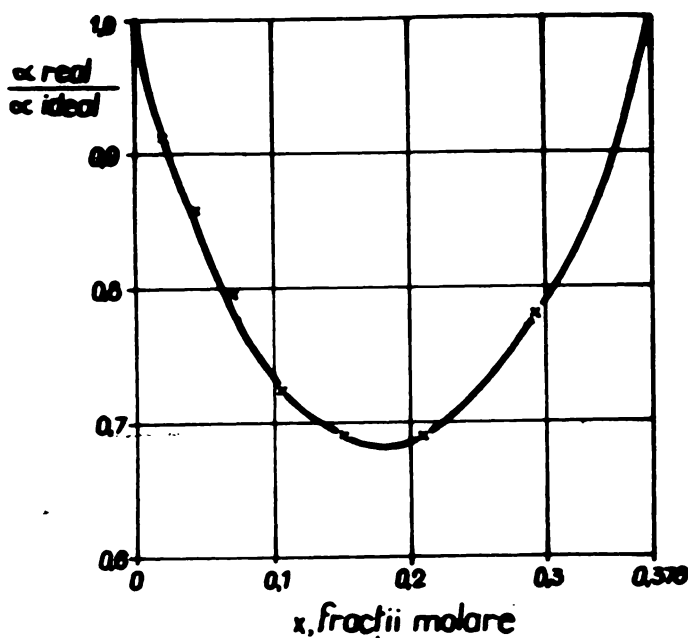


Fig. 74.- Dependența $\alpha_{real}/\alpha_{ideal}$ de concentrația x a soluțiilor apăsate de acetat de potasic, la presiunea atmosferică.

fierberii, presiunea de lucru și natura suprafeței de încălzire, pentru soluții, prezintă o importanță deosebită, de asemenea, natura și concentrația substanței solide溶解的.

În cazul fierberii soluțiilor se constată că valoarea coeficientului de transfer de căldură α este diferită de valoarea pentru solventul pur, de obicei mai mică. Prezența substanței溶解的 determină o concentrație diferită a solventului în faza lichidă față de cea din fază de vaporii. Transferul de暖ă din soluție spre vaporii din balon depinde de concentrația substanței溶解的.

Referitor la fenomenul fierberii în bule ai soluțiilor apăsate, se constată că cu creșterea concentrației soluției, respectiv scăderea valoarei coeficientului α crește și temperatura de fierbere a acesteia. Prin analogie cu acetocurile de lichide ${}^{50,5} \text{--} {}^{55}$, se pare că aceste fenomene se datorează nu atât modificării parametrilor fizico-chimici ai soluțiilor, cît mai ales variațiilor de concentrație la nivelul suprafeței de încălzire. Acești se îndepărtașă apoi (solventului), prin transformarea ei în vaporii, substanța solidă

dissolvării precum și tendința de凝聚 la stătul lichid, astfel încât energia pentru formarea nucleelor de vaporizare crește, iar densitatea centrilor de nucleație scade.

Valoarea curentă a concentrației relative (definită ca raportul dintre concentrația soluției în nivelul suprafeței de încălzire și concentrația soluției în întregă se masă), în domeniul concentrațiilor mici ale soluției, determină o scădere bruscă a valoii coeficientului de transfer de căldură real α_{real} la fierberea soluției, fără de valoarea coeficientului ideal α_{ideal} . În concentrații mai mari, pe măsură ce crește concentrația soluției, valoarea concentrației relative scade, ajungind egală cu unitatea pentru soluție saturată, respectiv valoarea lui α_{real} cunoscută α_{sat} (figurile 72 și 73).

Rezistența de difuzie, care apare în timpul transferului de cald, alături de rezistența termică, determină reducerea valoii coeficientului de transfer de căldură α_{real} la fierbere. Phenomenul fierberii soluțiilor constă în trecerea componentului volatil din soluție în stare de vapor. Ca atare, intensitatea schimbului termic se va putea exprima în funcție de concentrația soluției și presiunea de vaporii.

Înînd seama de cele arătate mai sus se propune următoarea relație de calcul:

$$\frac{\alpha_{real}}{\alpha_{ideal}} = 1 + c \left(\frac{x}{x_{sat}} - \frac{\Delta P}{\Delta P_{sat}} \right)^d \quad (1) \quad (229)$$

în care:

- c = constantă a cărei valoare depinde de natura substanței dissolvute și de presiunea de locuri;
- d = constantă a cărei valoare depinde de natura substanței dissolvute;
- x = concentrația soluției, fracții molare;

- x_{sat} = concentrație soluției la saturatie, fracții molare;
- Δp = diferență de presiune între presiunile de vaporii a solventului pur la temperatură de fierbere a soluției de concentrație x_s (%), și presiunea de lucru (p_0), N/m^2 ;
- Δp_{sat} = diferență de presiune între presiunile de vaporii a solventului pur la temperatură de fierbere a soluției saturate, (p_{sat}), și presiunea de lucru (p_0), N/m^2 ;
- α_{real} = coeficient de transfer de căldură real la fierberea soluțiilor, $\text{J/m}^2 \cdot \text{grad}$;
- α_{ideal} = coeficient de transfer de căldură ideal, $\text{J/m}^2 \cdot \text{grad}$.

Ecuatia (12) a fost utilizată la calculul valorii coeficien-
tului de transfer de căldură real la fierberea soluțiilor apăsă
de azotat de potasiu și fosfat disodic la presiunee atmosferice și
presiunee de 300 și 400 (4.10⁴ N/m²). Datele experimentale și din
literatură^{75,76,138,139}, precum și cele rezultate din calcule sunt
prezentate în tabelele 12 - 15, respectiv figurile 75 - 83.

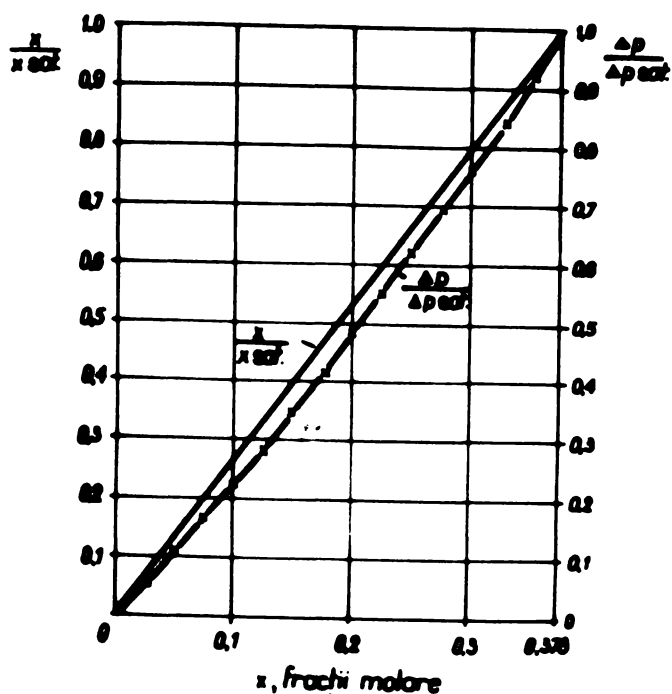


Fig. 75. - Reprezentarea rapor-
telor x/x_{sat} și $\Delta p / \Delta p_{\text{sat}}$
de concentrație x a solu-
țiilor apăsă de azotat de po-
tasic, la presiunee atmosferice.

Tableau 1

Variation d'un des trois paramètres spécifiques d'écoulement, en fonction de la concentration à 0 °C pour une température de 30 °C et une pression atmosphérique (1,0132910⁵ N/m²).

Concentration	Carte	Température	Pression	Coef. de dilatation	Coef. de pression	Coef. de tension	Coef. de tension - Ap.	Coef. de tension - Ap. final	Coef. de tension - Ap. initial
1	1	13.10	101.324	101	1.00	0.032	0.032	0.032	0.032
2	2	22.71	102.045	102	1.00	0.032	0.032	0.032	0.032
3	3	32.02	102.569	103	1.00	0.032	0.032	0.032	0.032
4	4	45.1	103.273	104	1.00	0.032	0.032	0.032	0.032
5	5	56.3	103.987	105	1.00	0.032	0.032	0.032	0.032
6	6	67.4	104.699	106	1.00	0.032	0.032	0.032	0.032
7	7	78.6	105.411	107	1.00	0.032	0.032	0.032	0.032
8	8	89.7	106.123	108	1.00	0.032	0.032	0.032	0.032
9	9	100.8	106.835	109	1.00	0.032	0.032	0.032	0.032
10	10	122.0	107.547	110	1.00	0.032	0.032	0.032	0.032
11	11	143.1	108.259	111	1.00	0.032	0.032	0.032	0.032
12	12	164.3	108.971	112	1.00	0.032	0.032	0.032	0.032
13	13	185.4	109.683	113	1.00	0.032	0.032	0.032	0.032
14	14	206.4	110.395	114	1.00	0.032	0.032	0.032	0.032
15	15	227.5	111.107	115	1.00	0.032	0.032	0.032	0.032
16	16	248.6	111.819	116	1.00	0.032	0.032	0.032	0.032
17	17	269.7	112.531	117	1.00	0.032	0.032	0.032	0.032
18	18	290.8	113.243	118	1.00	0.032	0.032	0.032	0.032
19	19	311.9	113.955	119	1.00	0.032	0.032	0.032	0.032
20	20	333.0	114.667	120	1.00	0.032	0.032	0.032	0.032
21	21	354.1	115.379	121	1.00	0.032	0.032	0.032	0.032
22	22	375.2	116.091	122	1.00	0.032	0.032	0.032	0.032
23	23	396.3	116.793	123	1.00	0.032	0.032	0.032	0.032
24	24	417.4	117.495	124	1.00	0.032	0.032	0.032	0.032
25	25	438.5	118.197	125	1.00	0.032	0.032	0.032	0.032
26	26	459.6	118.899	126	1.00	0.032	0.032	0.032	0.032
27	27	480.7	119.591	127	1.00	0.032	0.032	0.032	0.032
28	28	501.8	120.293	128	1.00	0.032	0.032	0.032	0.032
29	29	522.9	120.995	129	1.00	0.032	0.032	0.032	0.032
30	30	544.0	121.697	130	1.00	0.032	0.032	0.032	0.032
31	31	565.1	122.399	131	1.00	0.032	0.032	0.032	0.032
32	32	586.2	123.091	132	1.00	0.032	0.032	0.032	0.032
33	33	607.3	123.793	133	1.00	0.032	0.032	0.032	0.032
34	34	628.4	124.495	134	1.00	0.032	0.032	0.032	0.032
35	35	649.5	125.197	135	1.00	0.032	0.032	0.032	0.032
36	36	670.6	125.899	136	1.00	0.032	0.032	0.032	0.032
37	37	691.7	126.591	137	1.00	0.032	0.032	0.032	0.032
38	38	712.8	127.293	138	1.00	0.032	0.032	0.032	0.032
39	39	733.9	127.995	139	1.00	0.032	0.032	0.032	0.032
40	40	755.0	128.697	140	1.00	0.032	0.032	0.032	0.032
41	41	776.1	129.399	141	1.00	0.032	0.032	0.032	0.032
42	42	797.2	130.091	142	1.00	0.032	0.032	0.032	0.032
43	43	818.3	130.793	143	1.00	0.032	0.032	0.032	0.032
44	44	839.4	131.495	144	1.00	0.032	0.032	0.032	0.032
45	45	860.5	132.197	145	1.00	0.032	0.032	0.032	0.032
46	46	881.6	132.899	146	1.00	0.032	0.032	0.032	0.032
47	47	902.7	133.591	147	1.00	0.032	0.032	0.032	0.032
48	48	923.8	134.293	148	1.00	0.032	0.032	0.032	0.032
49	49	944.9	134.995	149	1.00	0.032	0.032	0.032	0.032
50	50	966.0	135.697	150	1.00	0.032	0.032	0.032	0.032
51	51	987.1	136.399	151	1.00	0.032	0.032	0.032	0.032
52	52	1008.2	137.091	152	1.00	0.032	0.032	0.032	0.032
53	53	1029.3	137.793	153	1.00	0.032	0.032	0.032	0.032
54	54	1050.4	138.495	154	1.00	0.032	0.032	0.032	0.032
55	55	1071.5	139.197	155	1.00	0.032	0.032	0.032	0.032
56	56	1092.6	139.899	156	1.00	0.032	0.032	0.032	0.032
57	57	1113.7	140.591	157	1.00	0.032	0.032	0.032	0.032
58	58	1134.8	141.293	158	1.00	0.032	0.032	0.032	0.032
59	59	1155.9	141.995	159	1.00	0.032	0.032	0.032	0.032
60	60	1177.0	142.697	160	1.00	0.032	0.032	0.032	0.032
61	61	1198.1	143.399	161	1.00	0.032	0.032	0.032	0.032
62	62	1219.2	144.091	162	1.00	0.032	0.032	0.032	0.032
63	63	1240.3	144.793	163	1.00	0.032	0.032	0.032	0.032
64	64	1261.4	145.495	164	1.00	0.032	0.032	0.032	0.032
65	65	1282.5	146.197	165	1.00	0.032	0.032	0.032	0.032
66	66	1303.6	146.899	166	1.00	0.032	0.032	0.032	0.032
67	67	1324.7	147.591	167	1.00	0.032	0.032	0.032	0.032
68	68	1345.8	148.293	168	1.00	0.032	0.032	0.032	0.032
69	69	1366.9	148.995	169	1.00	0.032	0.032	0.032	0.032
70	70	1388.0	149.697	170	1.00	0.032	0.032	0.032	0.032
71	71	1410.1	150.399	171	1.00	0.032	0.032	0.032	0.032
72	72	1431.2	151.091	172	1.00	0.032	0.032	0.032	0.032
73	73	1452.3	151.793	173	1.00	0.032	0.032	0.032	0.032
74	74	1473.4	152.495	174	1.00	0.032	0.032	0.032	0.032
75	75	1494.5	153.197	175	1.00	0.032	0.032	0.032	0.032
76	76	1515.6	153.899	176	1.00	0.032	0.032	0.032	0.032
77	77	1536.7	154.591	177	1.00	0.032	0.032	0.032	0.032
78	78	1557.8	155.293	178	1.00	0.032	0.032	0.032	0.032
79	79	1578.9	155.995	179	1.00	0.032	0.032	0.032	0.032
80	80	1599.0	156.697	180	1.00	0.032	0.032	0.032	0.032
81	81	1620.1	157.399	181	1.00	0.032	0.032	0.032	0.032
82	82	1641.2	158.091	182	1.00	0.032	0.032	0.032	0.032
83	83	1662.3	158.793	183	1.00	0.032	0.032	0.032	0.032
84	84	1683.4	159.495	184	1.00	0.032	0.032	0.032	0.032
85	85	1704.5	160.197	185	1.00	0.032	0.032	0.032	0.032
86	86	1725.6	160.899	186	1.00	0.032	0.032	0.032	0.032
87	87	1746.7	161.591	187	1.00	0.032	0.032	0.032	0.032
88	88	1767.8	162.293	188	1.00	0.032	0.032	0.032	0.032
89	89	1788.9	162.995	189	1.00	0.032	0.032	0.032	0.032
90	90	1809.0	163.697	190	1.00	0.032	0.032	0.032	0.032
91	91	1830.1	164.399	191	1.00	0.032	0.032	0.032	0.032
92	92	1851.2	165.091	192	1.00	0.032	0.032	0.032	0.032
93	93	1872.3	165.793	193	1.00	0.032	0.032	0.032	0.032
94	94	1893.4	166.495	194	1.00	0.032	0.032	0.032	0.032
95	95	1914.5	167.197	195	1.00	0.032	0.032	0.032	0.032
96	96	1935.6	167.899	196	1.00	0.032	0.032	0.032	0.032
97	97	1956.7	168.591	197	1.00	0.032	0.032	0.032	0.032
98	98	1977.8	169.293	198	1.00	0.032	0.032	0.032	0.032
99	99	1998.9	169.995						

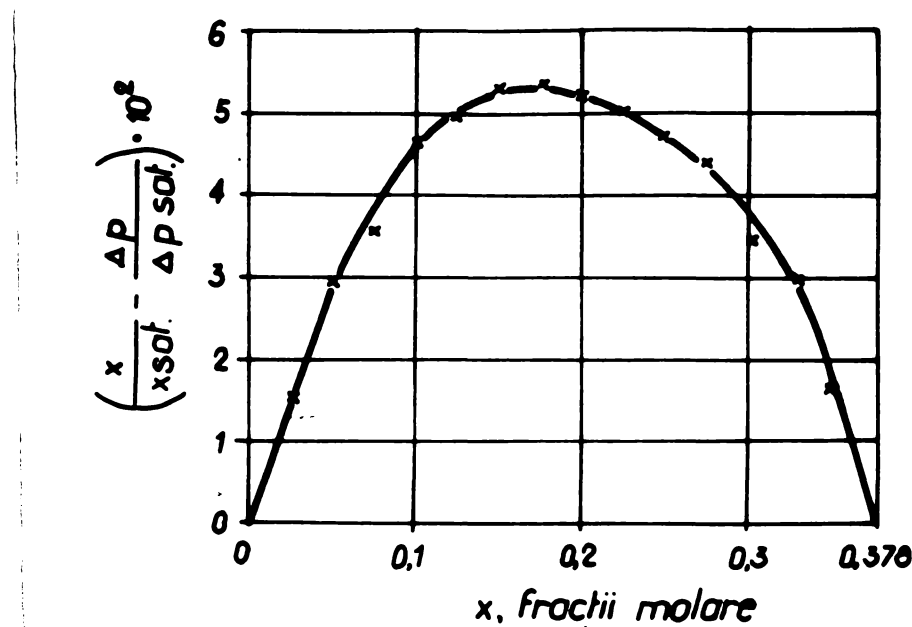


Fig. 75. - Ependență ($x/x_{\text{sat}} = \Delta p/\Delta p_{\text{sat}}$) de concentrație x a soluțiilor de acetat de potasiu, în prezintă atmosferică.

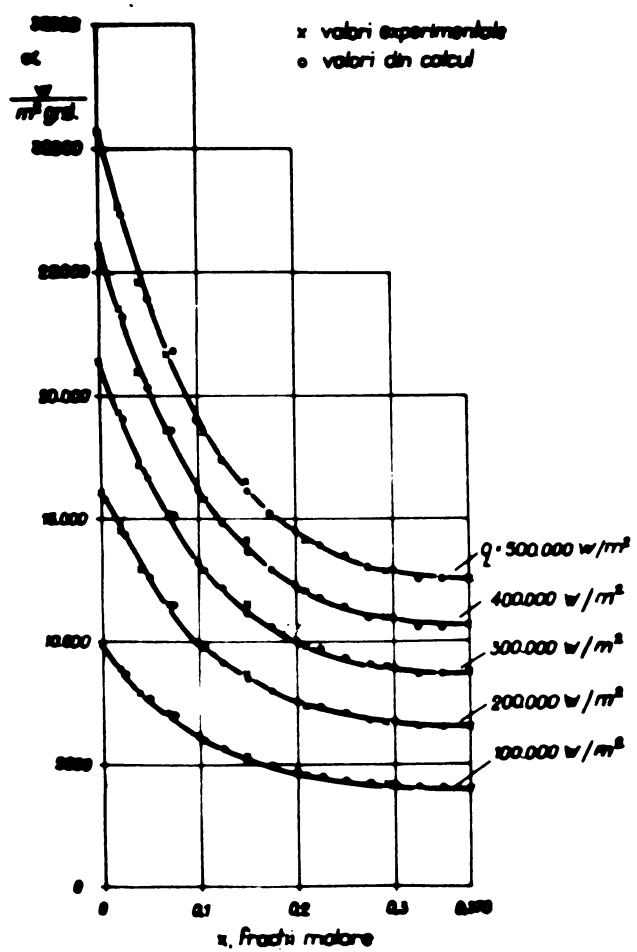


Fig. 77. - Ependență lui $\sqrt{\frac{p}{p_{\text{sat}}}}$ real (experiental și calculat) de concentrație x a soluțiilor apone de acetat de potasiu, în prezintă atmosferică.

Tabela 1.2.

Variáveis voltadas para monitorar e controlar fatores da função de concentração a 0
poluentes químicos de origem de poeira no solo (4.054 m^2/m^2).

Ordem	Concentração original de poluentes químicos de origem de poeira	Concentração original de poluentes químicos de origem de poeira	ΔP_{rest}	$\frac{\Delta P_{\text{rest}}}{P_{\text{rest}}}$	P_{rest}	$\Delta P_{\text{rest}} - \Delta P_{\text{rest}}$	$\frac{\Delta P_{\text{rest}} - \Delta P_{\text{rest}}}{\Delta P_{\text{rest}}}$	$\Delta P_{\text{rest}} - \Delta P_{\text{rest}}$	$\frac{\Delta P_{\text{rest}} - \Delta P_{\text{rest}}}{\Delta P_{\text{rest}}}$	$\Delta P_{\text{rest}} - \Delta P_{\text{rest}}$	$\frac{\Delta P_{\text{rest}} - \Delta P_{\text{rest}}}{\Delta P_{\text{rest}}}$	
1	0	0	75	0	0,3950	0	0	0	0	0	0	0
2	12,62	10,025	75,6	0	0,0102	0,4017	0,0619	0,0330	0,0330	0,0330	0,0330	0,0330
3	32,82	29,050	76,5	0	0,0232	0,2034	0,1526	0,0312	0,0312	0,0312	0,0312	0,0312
4	51,26	46,075	77,4	0	0,0352	0,4344	0,3051	0,0316	0,0316	0,0316	0,0316	0,0316
5	69,40	60,110	78,3	0	0,0474	0,4914	0,3543	0,0343	0,0343	0,0343	0,0343	0,0343
6	86,60	76,225	79,2	0	0,0595	0,4657	0,3751	0,0363	0,0363	0,0363	0,0363	0,0363
7	103,75	92,130	80,1	0	0,0716	0,4360	0,3436	0,0386	0,0386	0,0386	0,0386	0,0386
8	124,3	110,175	81,0	0	0,0836	0,4069	0,3139	0,0412	0,0412	0,0412	0,0412	0,0412
9	150,40	136,200	81,9	0	0,0956	0,3757	0,3137	0,0467	0,0467	0,0467	0,0467	0,0467
10	181,90	167,225	82,8	0	0,1073	0,3440	0,3133	0,0527	0,0527	0,0527	0,0527	0,0527
11	216,40	197,250	83,6	0	0,1190	0,3123	0,2890	0,0595	0,0595	0,0595	0,0595	0,0595
12	254,60	235,275	84,5	0	0,1306	0,2806	0,2673	0,0667	0,0667	0,0667	0,0667	0,0667
13	296,00	276,300	85,3	0	0,1421	0,2489	0,2356	0,0734	0,0734	0,0734	0,0734	0,0734
14	340,40	319,625	86,2	0	0,1536	0,2171	0,1937	0,0802	0,0802	0,0802	0,0802	0,0802
15	387,60	366,950	87,1	0	0,1646	0,1853	0,1613	0,0869	0,0869	0,0869	0,0869	0,0869
16	437,80	417,275	88,0	0	0,1756	0,1535	0,1303	0,0936	0,0936	0,0936	0,0936	0,0936
17	490,00	469,300	88,9	0	0,1866	0,1217	0,0973	0,1000	0,1000	0,1000	0,1000	0,1000
18	544,20	523,525	90,8	0	0,1973	0,0899	0,0655	0,1066	0,1066	0,1066	0,1066	0,1066
19	601,40	580,750	92,6	0	0,2080	0,0581	0,0337	0,1133	0,1133	0,1133	0,1133	0,1133
20	661,60	640,875	94,4	0	0,2187	0,0263	0,0119	0,1200	0,1200	0,1200	0,1200	0,1200

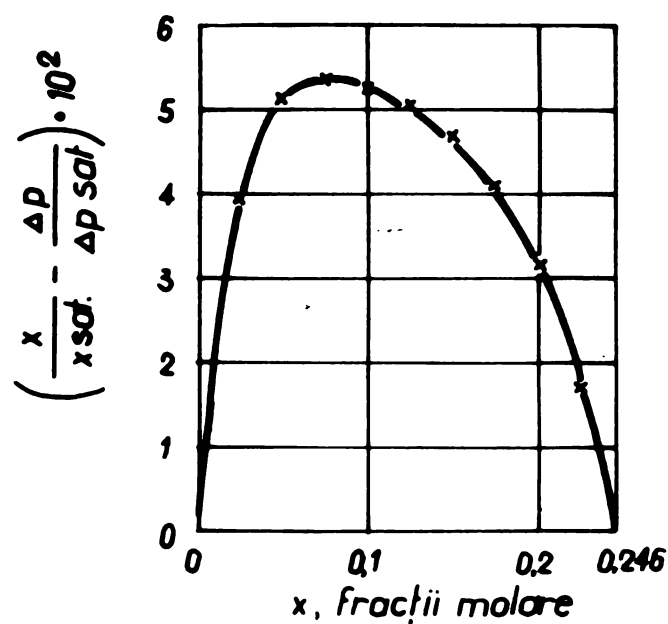


Fig. 73a.- dependența $(x/x_{sat} - \Delta P / \Delta P_{sat})$ de concentrația x a soluțiilor apăsate de azotat de potasiu, la presiunea de 300 mm Hg ($4 \cdot 10^4$ Pa).

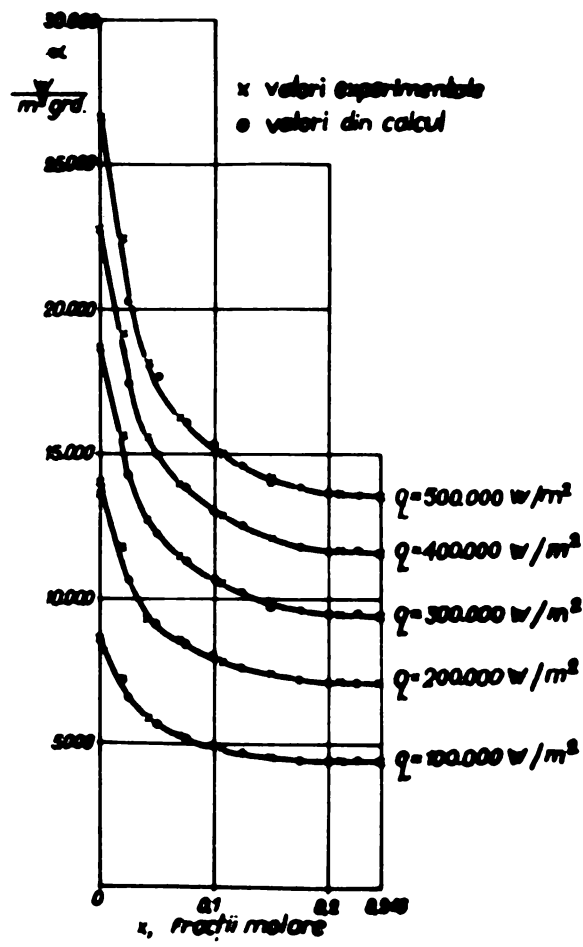


Fig. 73b.- dependența lui π (experimental și calculat) de concentrația x a soluțiilor apăsate de azotat de potasiu, la presiunea de 300 mm Hg ($4 \cdot 10^4$ Pa).

Verlust von Wasser durch Verdunstung verschiedener Pflanzenarten bei konstanter Temperatur und gleichem Wasserdampfdruck im Raum (20°C, 100% R.H.).

Diagramm 14a

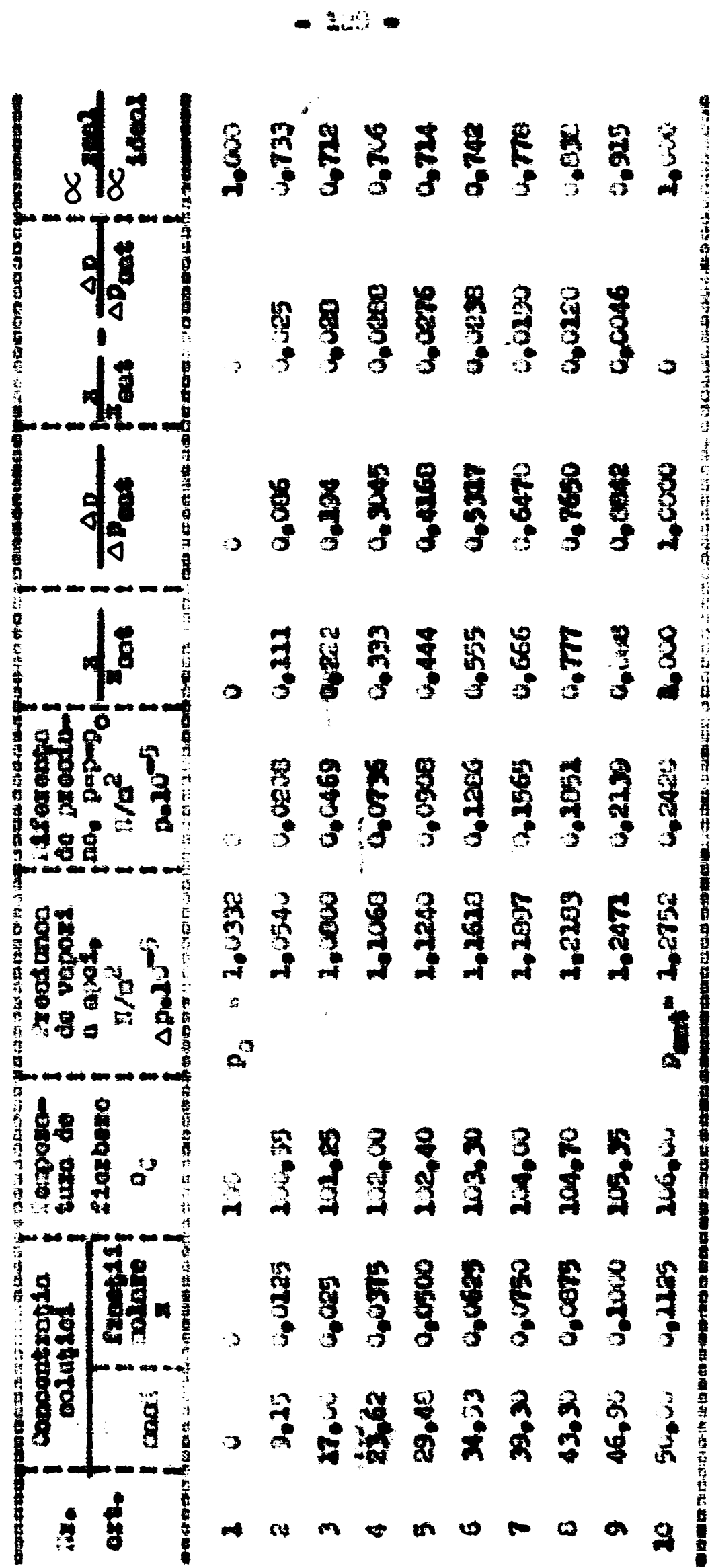


Fig. 80.- dependență (x/x_{sat})
 $\sim (\Delta P / \Delta P_{\text{sat}})$ de concentrație
 a soluțiilor apărate de fosfat diiodic, la presiunea atmoferică.

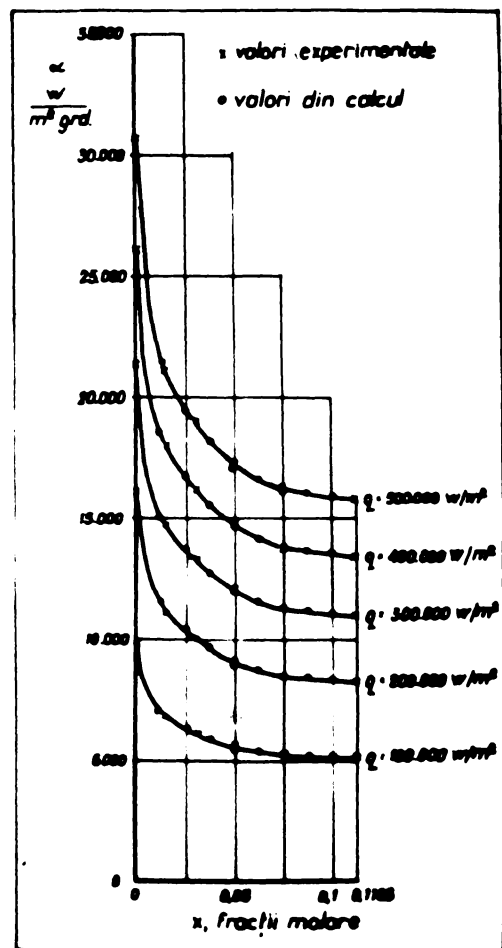
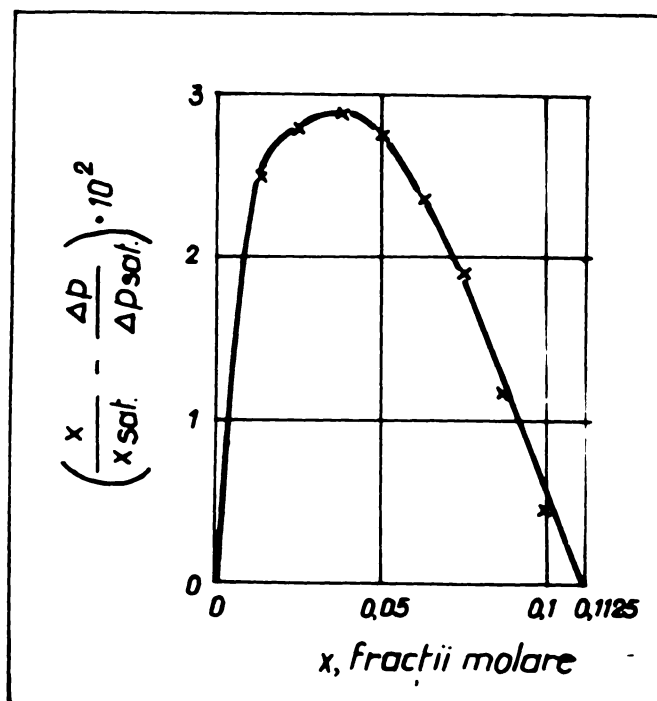


Fig. 81.- dependență a α_{ecol}
 (experimental și calculat) de concentrație a soluțiilor apărate de fosfat diiodic, la presiunea atmosferică.

	1000	900	800	700	600	500	400	300	200	100
1. Total	2.000	1.700	1.400	1.100	800	500	300	100	0	0
2. Capital	1.000	800	600	400	200	100	0	0	0	0
3. Current Assets	1.000	800	600	400	200	100	0	0	0	0
4. Inventories	500	400	300	200	100	0	0	0	0	0
5. Receivables	400	300	200	100	0	0	0	0	0	0
6. Cash	100	0	0	0	0	0	0	0	0	0
7. Total Assets	2.000	1.700	1.400	1.100	800	500	300	100	0	0
8. Current Liabilities	1.000	800	600	400	200	100	0	0	0	0
9. Payables	500	400	300	200	100	0	0	0	0	0
10. Accrued expenses	200	100	0	0	0	0	0	0	0	0
11. Total Liabilities	1.000	800	600	400	200	100	0	0	0	0
12. Net Assets	1.000	800	600	400	200	100	0	0	0	0
13. Net Income	0	0	0	0	0	0	0	0	0	0
14. Dividends	0	0	0	0	0	0	0	0	0	0
15. Retained Earnings	0	0	0	0	0	0	0	0	0	0
16. Total Equity	1.000	800	600	400	200	100	0	0	0	0
17. Total Assets = Total Liabilities + Total Equity	2.000	1.700	1.400	1.100	800	500	300	100	0	0

• 13 •
 1. Total
 2. Capital
 3. Current Assets
 4. Inventories
 5. Receivables
 6. Cash
 7. Total Assets
 8. Current Liabilities
 9. Payables
 10. Accrued expenses
 11. Total Liabilities
 12. Net Assets
 13. Net Income
 14. Dividends
 15. Retained Earnings
 16. Total Equity
 17. Total Assets = Total Liabilities + Total Equity

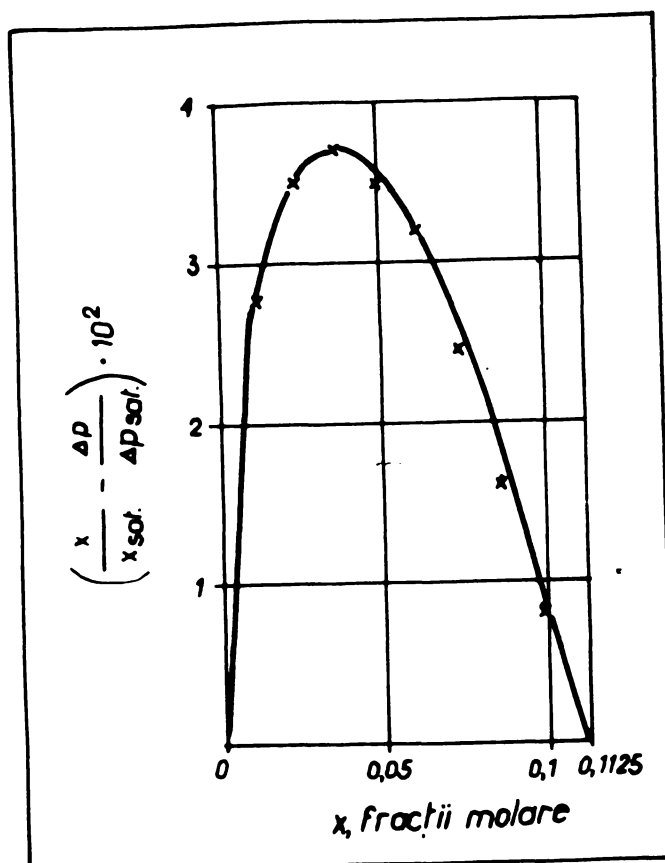


Fig. 82.- Dependența ($x/x_{sat} = \Delta p/\Delta p_{sat}$) de concentrația x a soluțiilor apăsate de fosfat dicodic, la presiunea de 300 mm Hg ($4 \cdot 10^4 \text{ N/m}^2$).

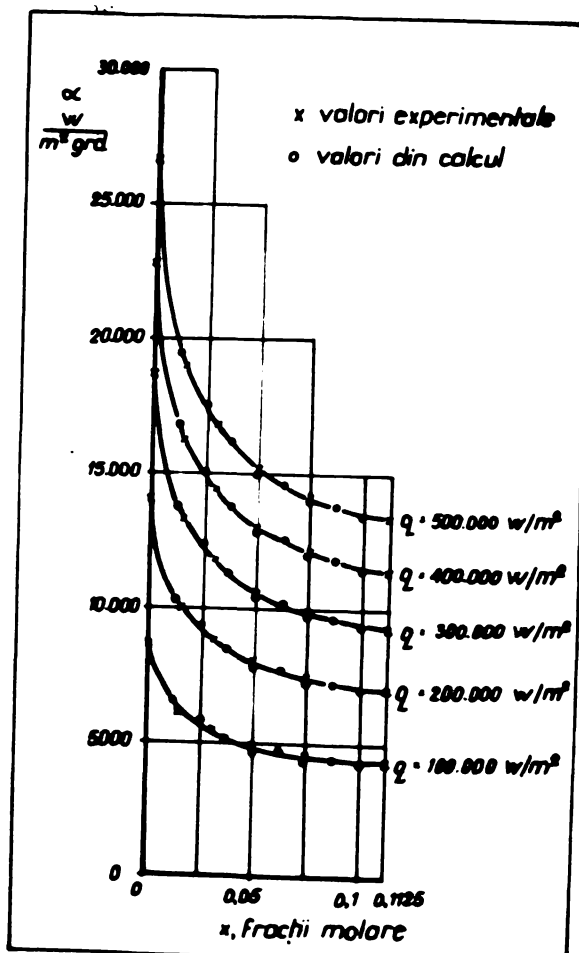


Fig. 83.- Dependența lui α_{real} (experimental și calculat) de concentrația x a soluțiilor apăsate de fosfat dicodic, la presiunea de 300 mm Hg ($4 \cdot 10^4 \text{ N/m}^2$).

Tabel 16.

Valorile constantelor c și d pentru soluții opuse de efectu
de potensie și fierbătoare

nr. crt.	constantă	Abstăț de potenție		Fierbătoare	
		pres. atmosf. 100 m la dg	pres. atmosf. 300 m la dg	pres. atmosf. 100 m la dg	pres. atmosf. 300 m la dg
		$1,0332 \text{ l}/\text{m}^2$	$4 \cdot 10^4 \text{ l}/\text{m}^2$	$1,0332 \text{ l}/\text{m}^2$	$4 \cdot 10^4 \text{ l}/\text{m}^2$
1	e	11,0	16,9	3,24	2,59
2	d	1,24	1,24	0,677	0,677

In tabel 16 se prezintă valorile constantelor c și d din rea-
liația (129) obținute pentru soluțiile mai sus menținute, ca urmare
a utilizării a trai determinările experimentale.

Din figurile 77, 79, 81 și 83 se constată că valorile coefi-
cientilor de transfer de căldură reală α_{real} , calculate cu rea-
liația (129), utilizând valorile constantelor c și d din tabelul
16, coincid cu valorile corespondente determinate experimen-
tal. Așez la acestă rezabilitatea relației (129), proponind
pentru calculul coeficientelor de transfer de căldură reală la
fierberea soluțiilor opuse de substanțe solide cu solubilitate
limitată.

6.3. Rezabilitatea de către oia relației stabilite în punctul inițial față de oare rezabilitatea

Relația (129) poate fi utilizată la calculuri coeficientului
de transfer de căldură α_{real} la fierberea soluțiilor opuse de
substanțe cu solubilitate limitată, metodica de calcul constă în
următoarele:

Având valoarea α_{ant} determinată experimental, se află co-
eficientul E_{ant} din relație:

$$E_{ant} = \frac{\alpha_{ant}}{\alpha_{real}} \quad (130)$$

Se calculează α_{ideal} pentru două concentrații ale soluțiilor x_1 și x_2 , în domeniul de colabilitate, la aceeași încălzitoare termică specifică q_s , cu relația:

$$\alpha_{ideal} = \left[\Sigma_{apl} - (\Sigma_{apl} - \Sigma_{cat}) \cdot \frac{x}{x_{cat}} \right] \cdot e^{0.7} \quad (131)$$

Coefficientul Σ_{apl} dându-^y de precizie de locuție valoarea sa cote indicată în literatură^{52,80}.

Pe baza valorilor lui α_{ideal} și a două valori ale coeficiențului de tranfer α_{real} și a încălzitoarei termice specifică q_s a suprafeței încălzitoare, se calculează valoile constanțelor c și d din relația (11).

$$N \quad \frac{\alpha_{real}}{\alpha_{ideal}} = 1 - c \left(\frac{1}{x_{cat}} + \frac{\Delta n}{\Delta P_{cat}} \right)^d \quad (132)$$

Unoccindu-se valoile coeficienților Σ_{cat} , c și d și precizia de vaporii ale solventului pur (apa) la temperaturile de fierbere ale soluțiilor, pentru o precizie de locuție dată, cu relația (132) se pot calcula valoile lui α_{real} pentru întreg domeniul de concentrații a soluțiilor (de la $x = 0$ și pînă la $x = x_{cat}$). În diferite valori ale încălzirii termice specifice q_s a suprafeței încălzitoare.

Avantajul pe care-l prezintă relația propusă constă în multe-
rul redus de determinări experimentale cu ajutorul cărora tranferul termic în fierboze este caracterizat total pe întreg domeniul de con-
centrații și încălzirii termice. În acest sens, sănt necesare să se
efectueze trei determinări experimentale ale coeficiențului α_{real}
la fierberea soluțiiei, pentru valori arbitrar ales ale încălzirii
termice specifice q_s , la concentrațiile x_1 și x_2 în domeniul de colin-
ibilitate, și la concentrația de astură x_{cat} .

6.4. Modelul autonomic al transformării de căldură la fierbere
soluțiilor apăse de substanțe cu solubilitate limitată
rezervat pe calculator. în licență 141

Înălțarea ecuației de modalitățile de interpretare a fenomenului de fierbere în cazul soluțiilor apăse de substanțe cu solubilitate limitată, prezentată în paragraful anterior, precum și de rezolvările (130), (131) și (132), modelul autonomic al fenomenului de fierbere al acestor soluții este:

$$\alpha_{real} = \left[\sum_{\text{apă}} + \left(\sum_{\text{apă}} \frac{\alpha}{q_{\text{apă}}^{\text{real}}} \right) \cdot \frac{x_{\text{real}}}{x_{\text{apă}}} \right] \cdot$$

$$\cdot \left\{ 1 + \left(1 + \frac{\alpha}{\left[\sum_{\text{apă}} + \left(\sum_{\text{apă}} \frac{\alpha}{q_{\text{apă}}^{\text{real}}} \right) \cdot \frac{x_1}{x_{\text{apă}}} \right] \cdot q_1^{0,7} \right)} \right) \cdot \right.$$

$$1_g = \frac{1}{\left[\sum_{\text{apă}} + \left(\sum_{\text{apă}} \frac{\alpha}{q_{\text{apă}}^{\text{real}}} \right) \cdot \frac{x_1}{x_{\text{apă}}} \right] \cdot q_1^{0,7}} \quad (1)$$

$$1_g = \frac{1}{\left[\sum_{\text{apă}} + \left(\sum_{\text{apă}} \frac{\alpha}{q_{\text{apă}}^{\text{real}}} \right) \cdot \frac{x_2}{x_{\text{apă}}} \right] \cdot q_2^{0,7}}$$

$$1_g = \left(\frac{x_1}{x_{\text{apă}}} \cdot \frac{\Delta P_1}{\Delta P_{\text{apă}}} \right) / \left(\frac{x_2}{x_{\text{apă}}} \cdot \frac{\Delta P_2}{\Delta P_{\text{apă}}} \right)$$

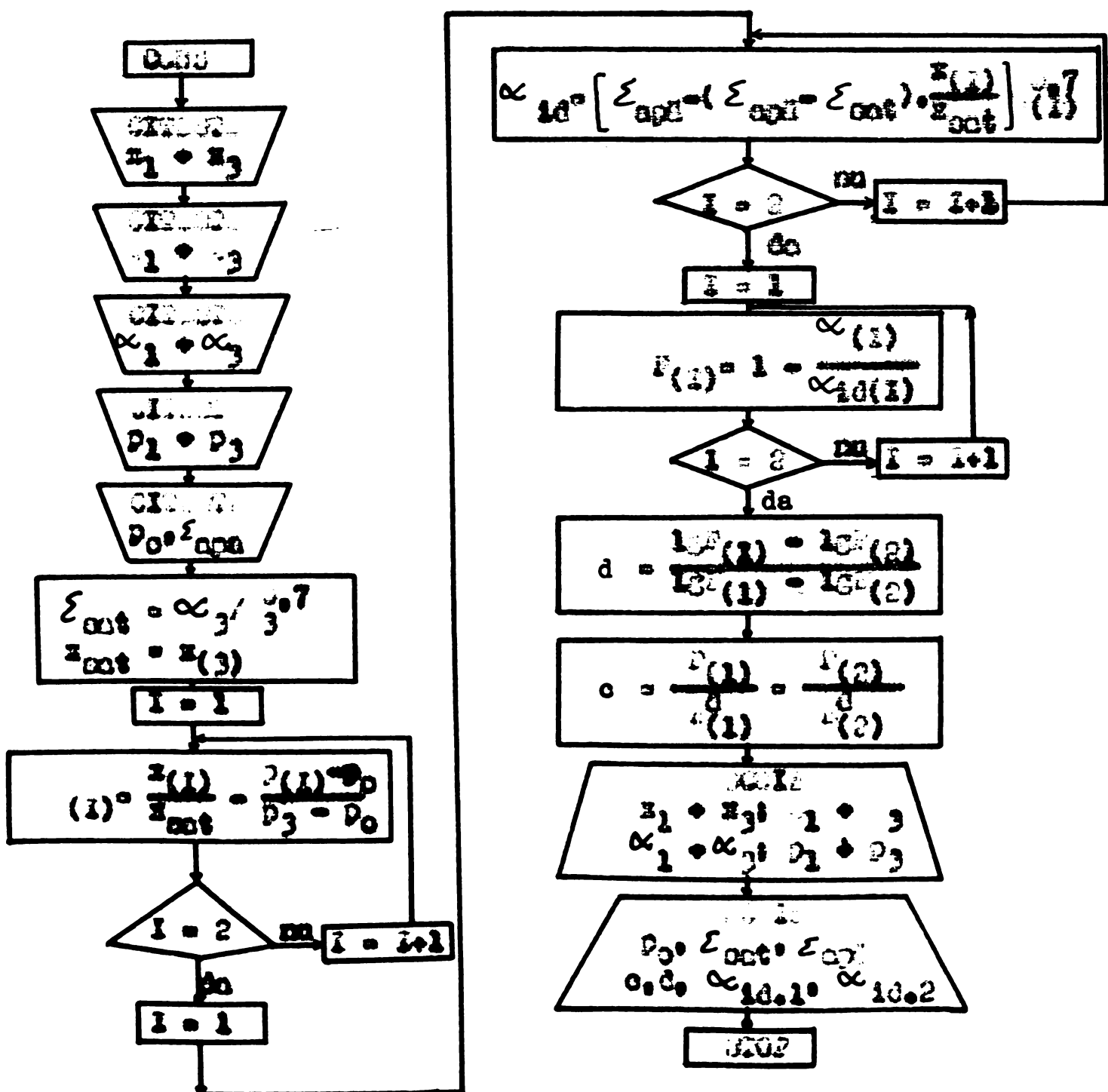
$$\cdot \left[\begin{array}{l} \frac{x_1}{x_{\text{apă}}} \cdot \frac{\Delta P_1}{\Delta P_{\text{apă}}} \\ \frac{x_2}{x_{\text{apă}}} \cdot \frac{\Delta P_2}{\Delta P_{\text{apă}}} \end{array} \right] \cdot q^{0,7}$$

Înălțarea după cum o-a arătat, acest model autonomic a fost verificat pentru soluțiile de apăse potențial și fiind discutabil în prezență atacăfericii și precizarea de 300 mm Hg ($4 \cdot 10^4$ Pa/m²), dând rezultate bune și reproducibile.

În vederea scădării cu o mai mare ușorință și rapiditate a

calcululor legate de determinarea valorilor coeficienților de transfer de căldură α_{real} la fișierele soluțiilor apărute de cureauțe cu scăditate limitată, conform metodologiei și relațiilor expuse în paragraful 6.3., și-a întocmit organizarea și programul pentru calculator, în limbaj PASCAL. Programul întocmit a fost verificat prin exemplificarea pentru soluție apărută de cureauț de potențiu la presiunea atmosferică. Rezultatele obținute corespund cu cele experimentale și cu cele calculate manual.

Organizarea calculului valorilor conotantelor a și d.



Programul in limbaj PASCAL al relatiilor pentru calculul valorilor constantelor c si d.

JOB CONST.AN: YQ46.PN: JASCANU.COND: (126,LT)
COMPILE FORTRAN
STARTED 00.00
FORTRAN
FORTRAN

CONST 05/05/76 10.01.46

CALCULUL CONSTANTELOR C S I D

०००

FORTRAN 66, 00

***** FIN DE COMPIRATION (PLUS HAUT NIVEAU D'ERREUR RENCONTRE = 0) 19.07.03
0244 CONST AN = PQ26 PH = 0001 DATE = 11/05/76
H.DFB = 19H 06M 47S H.FIN = 19H 07M 05S IPTVT = 00000673
LGP = 00012 MEM = 00011 LO = IN = OUT = 00000
MT = 02 CP = 01

LINK STARTED

AUCUNE ERREUR A L EDITION DE LIENS

0244 CONST AN = PQ26 PH = 0002 DATE = 11/05/76
H.DFB = 19H 07M 05S H.FIN = 19H 07M 43S IPTVT = 00000660
LGP = 00012 MEM = 00011 LO = IN = OUT = 00000
MT = 02 CP = 01

RUN TIME:3
STARTED

X	Q	ALFA	P
•020	200000.	14687.	1.00000
•107	400000.	15850.	1.1956
•378	500000.	12550.	1.7239
PO=1.0332			
ESAT=1.29			
EAPA=3.14			
DE=1.124			
C=1.118			
C/D=1.118			
A/D=1.1627			
A/D2=21825.			

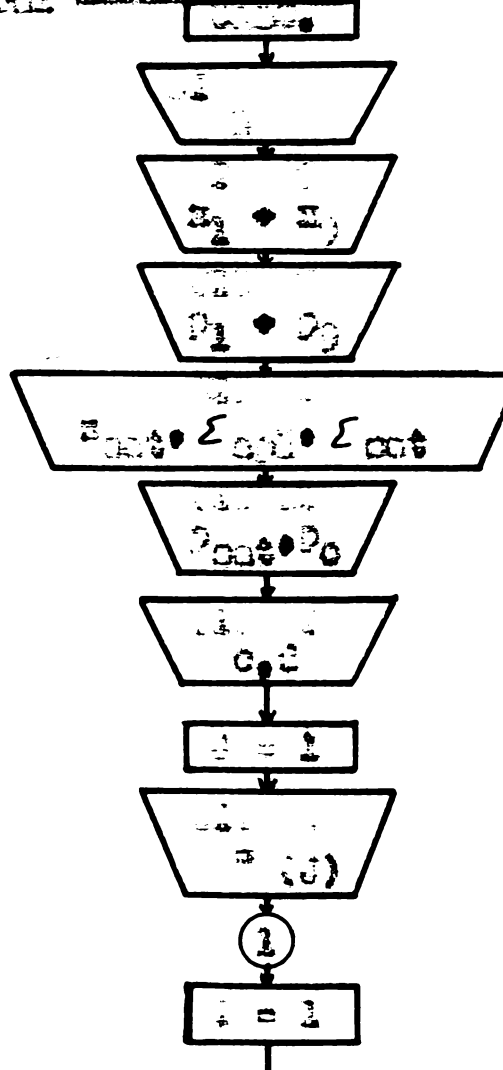
STOP

0244 CONST AN = PQ26 PH = 0003 DATE = 11/05/76
H.DFB = 19H 07M 43S H.FIN = 19H 07M 48S IPTVT = 00000687
LGP = 00012 MEM = 00009 LO = IN = OUT = 00000
MT = 02 CP = 01

CADRE0

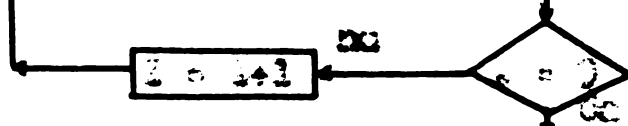
Algoritmo calculando coeficiente de transitor de difusão α_{real} da iluminação

Entrada: α_{real} da iluminação



$$\alpha_{10(i)} = (\epsilon_{cool} + (\epsilon_{out} - \epsilon_{cool}) \frac{Z_{out}}{Z_{out}}) \quad [3]$$

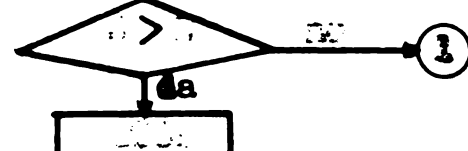
$$\alpha_{(i)} = \alpha_{10(i)} (1 - c \left(\frac{Z_{out}}{\epsilon_{out}} - \frac{P_{out}}{\epsilon_{out} P_0} \right))^c$$



$$\epsilon_{cool} = \frac{\epsilon_{cool} + \epsilon_{out} - \epsilon_{cool}}{\epsilon_{cool} + \epsilon_{out}}$$

$$Z_1 + Z_2 \cdot P_1 + P_2 \\ \alpha_1 \cdot \alpha_i$$

$$i = i + 1$$



εcool

Programul în limbaj FORTRAN al relațiilor pentru calculul
valorilor coeficientului de transfer de căldură α real la
fierbere.

3 CALCOAN: 220.24: JASCANU. CONDO: (126.LT)
3 TÉG
3 PÉG
3 FÉG
3 MÉG

FORTRAN

CALCULUL VALOARELURUI ALFA REAL
 DIMENSIUNI X(9), P(9), ALFA(9), A(9), B(15)

1	X(1)	P(1)	ALFA(1)	A(1)	B(1)
2	X(2)	P(2)	ALFA(2)	A(2)	B(2)
3	X(3)	P(3)	ALFA(3)	A(3)	B(3)
4	X(4)	P(4)	ALFA(4)	A(4)	B(4)
5	X(5)	P(5)	ALFA(5)	A(5)	B(5)
6	X(6)	P(6)	ALFA(6)	A(6)	B(6)
7	X(7)	P(7)	ALFA(7)	A(7)	B(7)
8	X(8)	P(8)	ALFA(8)	A(8)	B(8)
9	X(9)	P(9)	ALFA(9)	A(9)	B(9)
10	X(10)	P(10)	ALFA(10)	A(10)	B(10)
11	X(11)	P(11)	ALFA(11)	A(11)	B(11)
12	X(12)	P(12)	ALFA(12)	A(12)	B(12)
13	X(13)	P(13)	ALFA(13)	A(13)	B(13)
14	X(14)	P(14)	ALFA(14)	A(14)	B(14)
15	X(15)	P(15)	ALFA(15)	A(15)	B(15)

uuu
uuu

८०८

X_{SAT}= .378
P_{SAT}=1.7239
P₀=1.0332
EAPA=3.14
ESAT=1.288
C= 11.
D= 1.24
X

	P	ALFA
.0264	1.0707	8877.
.0526	1.1092	7774:
.1030	1.1898	6187:
.1525	1.2751	5217:
.1773	1.3196	4890:
.2020	1.3654	4617:
.2520	1.4609	4402:
.3020	1.5618	4327:
.3540	1.6684	4113:

** Q = 200000

X_{SAT}= .378
P_{SAT}=1.7239
P₀=1.0332
EAPA=3.14
ESAT=1.288
C= 11.
D= 1.24
X

	P	ALFA
.0264	1.0707	14421.
.0526	1.1092	12629.
.1030	1.1898	10051:
.1525	1.2751	8475:
.1773	1.3196	7944:
.2020	1.3654	7598.
.2520	1.4609	7152.
.3020	1.5618	7030.
.3540	1.6684	6681.

** Q = 300000

X_{SAT}= .378
P_{SAT}=1.7239
P₀=1.0332
EAPA=3.14
ESAT=1.288
C= 11.
D= 1.24
X

	P	ALFA
.0264	1.0707	12155.
.0526	1.1092	16774:
.1030	1.1898	13350:
.1525	1.2751	11256.
.1773	1.3196	10552.
.2020	1.3654	10092:
.2520	1.4609	9449.
<u>.3020</u>	<u>1.5618</u>	<u>9337.</u>

** Q = 400000

XSAT= ,378
PSAT=1.7239
P0=1.0332
EAPA=3.14
ESAT=1.288
C= 11.
D= 1.24

X	P	ALFA
.0264	1.0707	23428.
.0526	1.1092	20516:
.1030	1.1898	16328:
.1525	1.2751	13167.
.1773	1.3196	12906:
.2020	1.3654	12544:
.2520	1.4609	11618:
.3020	1.5618	11420:
.3540	1.6684	10854:

** Q = 500000

XSAT= ,378
PSAT=1.7239
P0=1.0332
EAPA=3.14
ESAT=1.288
C= 11.
D= 1.24

X	P	ALFA
.0264	1.0707	27388.
.0526	1.1092	23985:
.1030	1.1898	19089:
.1525	1.2751	16094:
.1773	1.3196	15087:
.2020	1.3654	14431:
.2520	1.4609	13582:
.3020	1.5618	13311:
.3540	1.6684	12639:

TOP*

6.5. Aplicări asupra problematicii abordate.

- Se introduce noțiunea de coeficient de transfer de căldură ideal, α_{ideal} , la fierberea soluțiilor apăcate de substanțe cu solubilitate limitată și se stabilește relația generală de calcul în funcție de natura substanței disolvate, de concentrația soluției, de presiunea de lucru și de încălzirea termică specifică a suprafeței încălzitoare, de forma:

$$\alpha_{ideal} = \left[\mathcal{E}_{apă} - (\mathcal{E}_{apă} - \mathcal{E}_{sat}) \cdot \frac{x}{x_{sat}} \right] \cdot q^{0.7} \quad (131)$$

- În încălzirile termice specifice concrete, la o presiune corectă de lucru, constanța stabilită pentru α_{ideal} reprezintă ecuația unei familii de drepte care au punctul de întâlnire cîndat pe abscisa. Se pusă în evidență, în acest mod, existența unei ambiții regularități în ceea ce privește variația valorilor coeficienților de transfer de căldură α_{real} la fierberea soluțiilor apăcate de substanțe cu solubilitate limitată.

- Pe baza regularității observate și a modului de variație a parametrilor de care depinde fierberea se propune o nouă relație de calcul pentru coeficientul de transfer de căldură real α_{real} la fierberea soluțiilor apăcate de substanțe cu solubilitate limitată, de forma:

$$\frac{\alpha_{real}}{\alpha_{ideal}} \cdot 1 = c \left(\frac{x}{x_{sat}} - \frac{\Delta P}{\Delta P_{sat}} \right)^c \quad (132)$$

și se indică metodica de efectuare a calculului. Aplicarea soluției pentru întreg domeniul de concentrații ($x = 0$ până la $x = x_{sat}$) și încălzirile termice specifice a suprafeței încălzitoare, necesită un număr minim (trei) de determinări experimentale pentru α_{real} .

- Relația de calcul a fost verificată pentru soluțiile apăcate de acetat de potasiu și fosfat disodic la presiuni atmosferice și

presiunea de 300 cm Hg , ($4 \cdot 10^4 \text{ N/m}^2$). Datele rezultate din calcul prezintă o foarte bună concordanță cu datele experimentale proprii, precum și cu cele existente în literatură^{75,76} pentru aceste soluții, ceea ce confirmă valabilitatea relațiilor de calcul propuse.

• În prezintă codinu metodic, relația (13), și formula de fierbere pentru soluțiile apărate de substanțe cu valabilitate limitată, precum și organigrama și programul în limbaj standard al relațiilor de calcul a valorii coeficientului de transfer de căldură α la fierbere; de asemenea se dă și un exemplu de calcul pe calculator conform acestui program. Rezultatele obținute concordă cu cele experimentale.

Capitolul 7

ANALIZA EXPERIMENTAL COMPARATIV AL COMPATIBILITATII LICHIDURILOR DE LA GRAD DE TERMOIADA CU IUS CLIMATICO CHIMIC¹⁴³

7.1. Determinarea coeeficientului de transfer de căldură α la fierberea pe aparatul cu fier.

Literatura de specialitate^{7-3, 15, 19, 21, 53, 61, 62, 59-71, 94-111}, cea deși cum este indicat în paragraful 3.2.1., arată că printre altele, aparatul cu fier metalic nu utilizează și la determinarea valorilor coeficientului de transfer de căldură α la fierbere, în toate regimurile de fierbere. În altfel, aparatul cu fier metalic a fost primul aparat experimental de laborator utilizat la studiul fenomenului de fierbere a lichidelor¹⁴⁴. Pentru ca rezultatele obținute în urma experimentărilor efectuate cu acest aparat să poată fi utilizate în calculurile de proiectare tehnică a utilajelor chimice, este necesar să avea certitudinea că aceste valori sunt similară cu cele care se vor intinge practic în instalație industriale.

Se cunoaște do aceeași¹⁴⁴ că, odată cu micșorarea diametrului fizului, îndurcarea termică specifică q a suprafeței încălzitoare crește (fiecare având la bază, probabil, același proces ca și fenomenul de creștere a densității energiei electrice și a densității ei prin vîrfuri acoperite, în casul micșorării zonei de curbură a suprafeței pe care se găsește), la diferență de temperatură Δt constantă între temperatură suprafeței încălzitoare și temperatură de fierbere a fluidului cuprins fierberii.

Problema care s-a pus în fața prezentului studiu a fost aceea de a determina valoarea limită minimă a diametrului fizului încălzitor pentru care valoările lui α corespund celor întâlnite în

practici. Pentru aceasta s-au considerat drept valori de referință datele obținute pe aparatul experimental cu tub cilindric înălțitor, aparat prezentat în paragraful 4.1. S-a lucrat cu apă distilată, toluen și amestec de 30% n-amid α -(β -cianoctil)-caproate de către toluen.

• Determinările experimentale ale coeficientului de transfer de căldură \propto la fierberea apelor distilate. S-a efectuat determinările experimentale pe aparatul cu fir prezentat în paragraful 4.3., la presiunea atmosferică, pentru încălziri termice specifice q ale suprafeței încălzitoare cuprinse între $1,4 \cdot 10^5 \text{ W/m}^2$ și $5,3 \cdot 10^5 \text{ W/m}^2$, pentru firuri încălzitoare de plășini cu diametrul δ egal cu $0,1$; $0,3$ și $0,5 \text{ mm}$.

Valorile experimentale obținute sunt prezentate în tabela 17 și figurile 84-86.

În tabela 17 și figurile 84-86 prezentate, se constată că,

Fig. 84.- Dependența încălzirii termice specifice q a suprafeței de încălzire de diferența de temperatură Δt și de diametrul δ al firului încălzitor, la fierberea apelor distilate, la presiunea atmosferică, (în coordinate zeciunile).

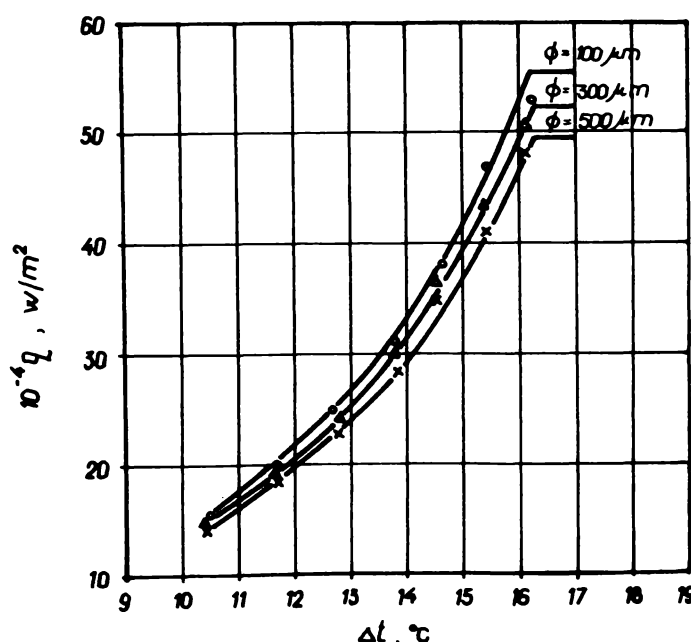


Tabla 17.

Dependența încărcării termice specifice q , a coefficientului de transfer de căldură α la fierbere și a diferenței de temperatură Δt de diametrul firului încălzitor, la fierberea apel distilate, la presiunea atmosferică.

Dacă se consideră că $\alpha = \text{const} \cdot \frac{1}{\text{diam}} \cdot \frac{1}{\text{temp}}$ și $\text{temp} = \frac{\text{P}}{\rho \cdot g}$, atunci:

$\frac{\lg q}{\text{const}}$	$\frac{1}{\text{diam}}$	Δt	α

$$\theta = 1 \cdot 10^{-4} \text{ s}$$

1.	154 550	5,109	10,5	1,021	24 700	4,157
2.	200 000	5,303	11,7	1,068	27 200	4,235
3.	250 200	5,398	12,7	1,109	29 700	4,294
4.	312 400	5,495	13,8	1,140	32 700	4,358
5.	382 800	5,583	14,6	1,164	36 200	4,418
6.	452 100	5,655	15,4	1,187	39 400	4,468
7.	532 000	5,723	16,2	1,209	42 600	4,513

$$\theta = 3 \cdot 10^{-4} \text{ s}$$

8.	140 930	5,173	10,4	1,017	24 920	4,156
9.	193 420	5,266	11,7	1,068	26 560	4,220
10.	242 280	5,364	12,9	1,107	28 950	4,277
11.	301 000	5,478	13,8	1,140	31 850	4,339
12.	368 900	5,567	14,5	1,162	35 500	4,405
13.	435 600	5,639	15,4	1,183	38 300	4,452
14.	503 000	5,706	16,1	1,207	41 600	4,514

$$\theta = 5 \cdot 10^{-4} \text{ s}$$

15.	140 500	5,148	10,4	1,017	23 500	4,130
16.	182 500	5,261	11,7	1,068	25 600	4,193
17.	228 900	5,359	12,8	1,107	27 850	4,252
18.	284 000	5,453	13,8	1,140	30 950	4,313
19.	348 000	5,541	14,5	1,162	34 500	4,380
20.	411 600	5,613	15,4	1,183	36 600	4,426
21.	480 000	5,682	16,1	1,207	39 800	4,474

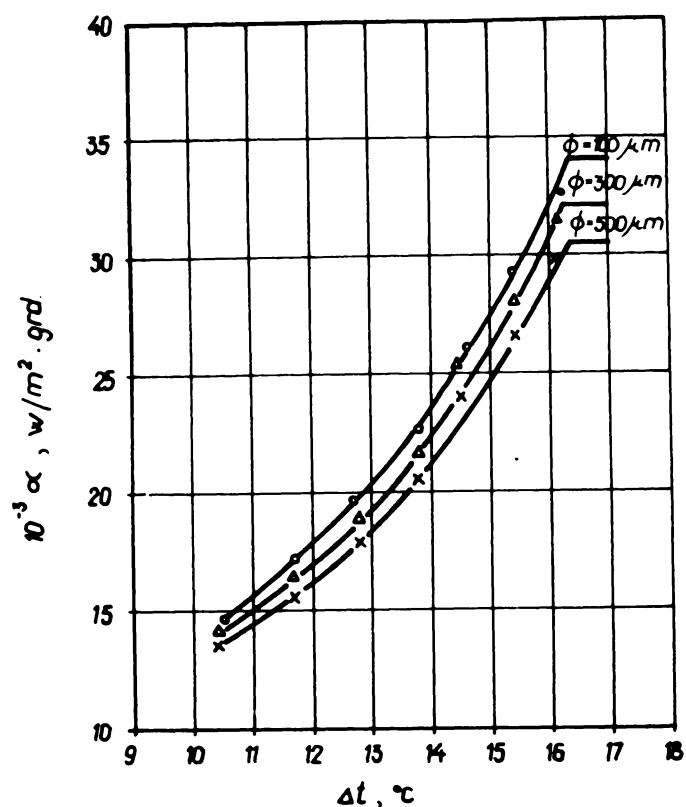


Fig. 85.- Dependența coeficientului de transfer de căldură \propto la fierberea de diferența de temperatură Δt și de diametrul ϕ al firului înalțitor la fierberea apelor distilate, la presiunea atmosferică (în coordinate carteziene).

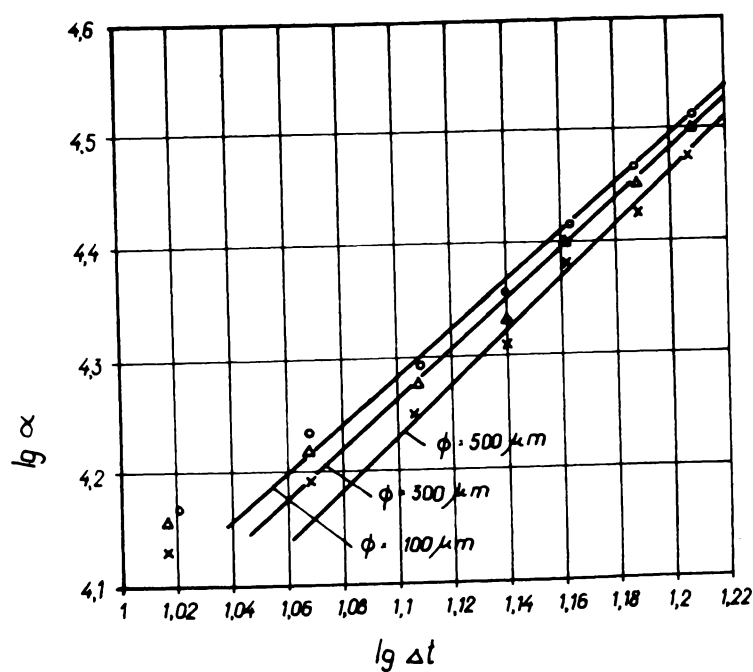


Fig. 86.- Dependența coeficientului de transfer de căldură \propto la fierberea de diferența de temperatură Δt și de diametrul ϕ al firului înalțitor la fierberea apelor distilate, la presiunea atmosferică (în coordinate logaritmice).

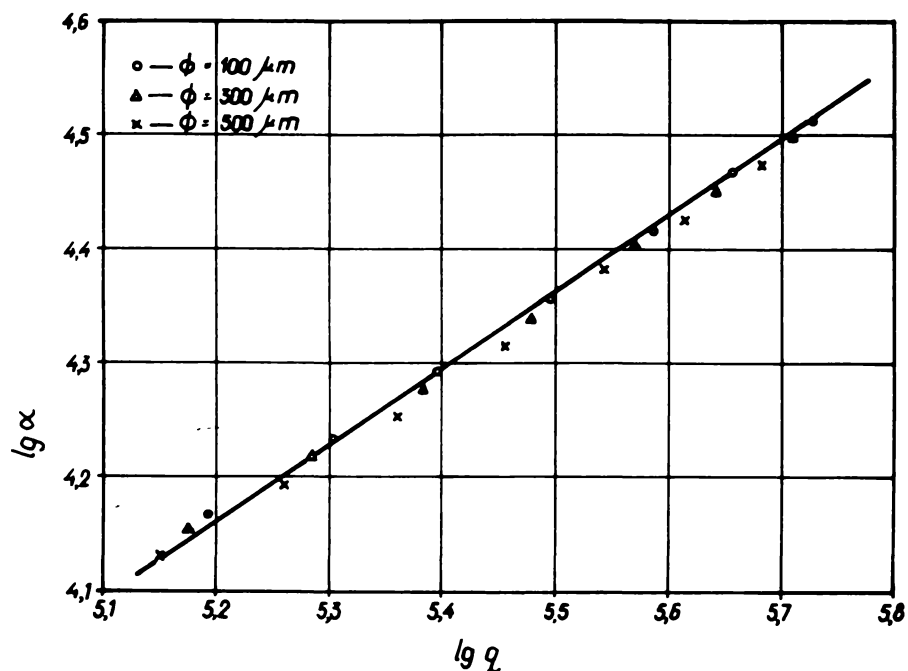


Fig. 57.- Dependență coeficientului de transfer de căldură α la fierberea de încălzirea termică specifică q a suprafeței de încălzire și de diametrul ϕ al firului încălzitor, la fierberea apelor distilate, în presiunea atmosferică (în coordinate logaritmice).

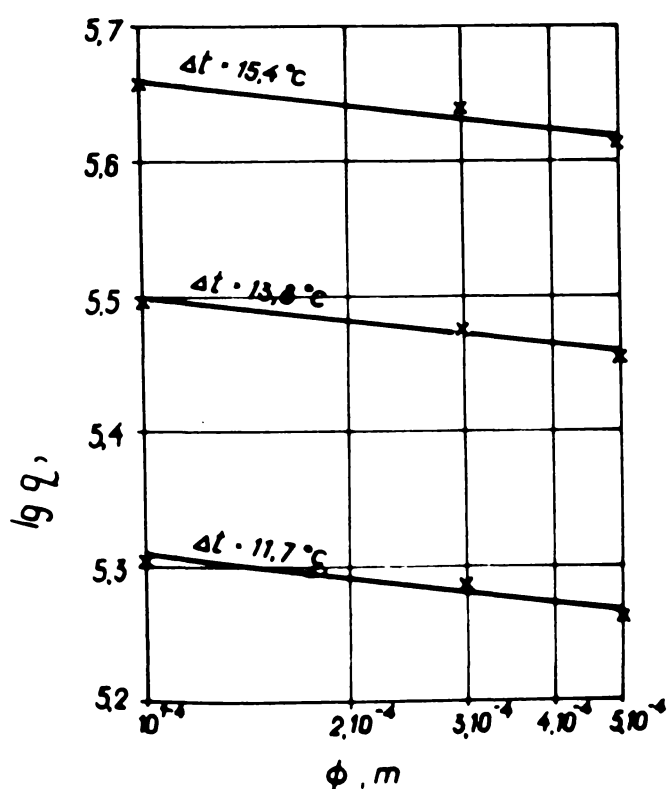
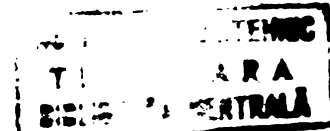


Fig. 58.- Dependență încălzirii termice specifice q a suprafeței de încălzire de diametrul ϕ al firului încălzitor și de diferența de temperatură Δt , la fierberea apelor distilate, în presiunea atmosferică.



Începînd cu fișul cu diametrul de 0,9 mm valoarea coeficientului de transfer de căldură ∞ la fierbere pentru epi distilat sunt similare cu cele obținute pe aparatul cu tub cilindric înclinațor (figura 30 și tabelă 2, paragraful 4.1.; figurile 51 și 53, paragraful 5.4.) și concordă cu cele indicate în literatură de specialitate^{52,136}. Dependența lui ∞ de încărcarea termică specifică q este dată de relația:

$$\infty_{\text{exp}} = 3,16 \cdot q^{0,7} \quad (134)$$

fapt de relație

$$\infty_{\text{lit}} = 3,14 \cdot q^{0,7} \quad (135)$$

indicată în literatură^{52,136}.

În acenzi, se constată că, pe graficul $\lg \infty = f(\lg q)$, figura 37, perechile de valori obținute pe cele trei firuri înclinațor se așază pe o singură dreaptă. În fi tentativă că concluziile, că diametrul firului metalic nu influențează intensitatea transpirului termic, acest lucru este contrară de celelalte reprezentări grafice (figurile 84, 85, 86, 88). Apărarea pe aceeași dreaptă a perechilor de valori în acest mod de reprezentare grafică se datorează faptului că, prin intermediul diferenței de temperatură Δt , care rămâne constantă, creșterea încărcării termice specifice q a suprafeței înclinațioare se transmit proporțional, coeficientului de transfer de căldură ∞ la fierbere.

b. Determinări experimentale ale coeficientului de transfer de căldură ∞ la fierberea folgorantă. Sunt efectuat determinări experimentale pe aparatul cu fir prezentat în paragraful 4.3., la presiunile atmosferice, pentru încărcări termice specifice q ale suprafeței înclinațioare cuprinse între $7,1 \cdot 10^4 \text{ W/m}^2$ și $1,4 \cdot 10^5 \text{ W/m}^2$, pentru firuri înclinațioare de plotini cu diametrul și lungimea de 0,1; 0,3 și 0,5 mm.

Valourile experimentale obținute sunt prezentate în tabelă 13

Tabla 10.

Dependența împăduririi termice specifică q , a coefficientului de transforță a căldurii α la fierbere și a diferenței de temperatură Δt de diametrul firului încălzitor la fierberea tolnealni, la presiunea atmosferică.

Nr. crt.	q J/m^2	10 q	Δt $^\circ\text{C}$	10 Δt	α $\text{m}^2/\text{m}^3 \cdot \text{grd}$	10 α
$\theta = 1 \cdot 10^{-4} \text{ s}$						

1.	79 000	4,890	17,4	1,240	4 540	3,650
2.	86 000	4,939	17,5	1,244	4 970	3,696
3.	97 700	4,990	17,9	1,253	5 470	3,730
4.	105 900	5,025	18,0	1,256	5 500	3,771
5.	117 700	5,070	18,5	1,267	6 360	3,803
6.	127 400	5,105	18,8	1,274	6 700	3,832
7.	140 360	5,147	19,3	1,286	7 200	3,862

8.	76 100	4,881	17,4	1,240	4 300	3,642
9.	83 740	4,923	17,5	1,244	4 700	3,680
10.	94 100	4,973	17,9	1,253	5 260	3,721
11.	102 100	5,009	18,0	1,256	5 670	3,754
12.	113 400	5,055	18,5	1,267	6 150	3,793
13.	122 700	5,089	18,8	1,274	6 520	3,814
14.	135 200	5,131	19,3	1,286	7 020	3,846

15.	71 000	4,856	17,4	1,240	4 130	3,626
16.	79 000	4,890	17,5	1,244	4 520	3,655
17.	88 000	4,949	17,9	1,253	4 980	3,690
18.	96 300	4,984	18,0	1,256	5 360	3,720
19.	107 000	5,030	18,5	1,267	5 800	3,763
20.	115 800	5,064	18,8	1,274	6 160	3,790
21.	127 600	5,106	19,3	1,286	6 600	3,820

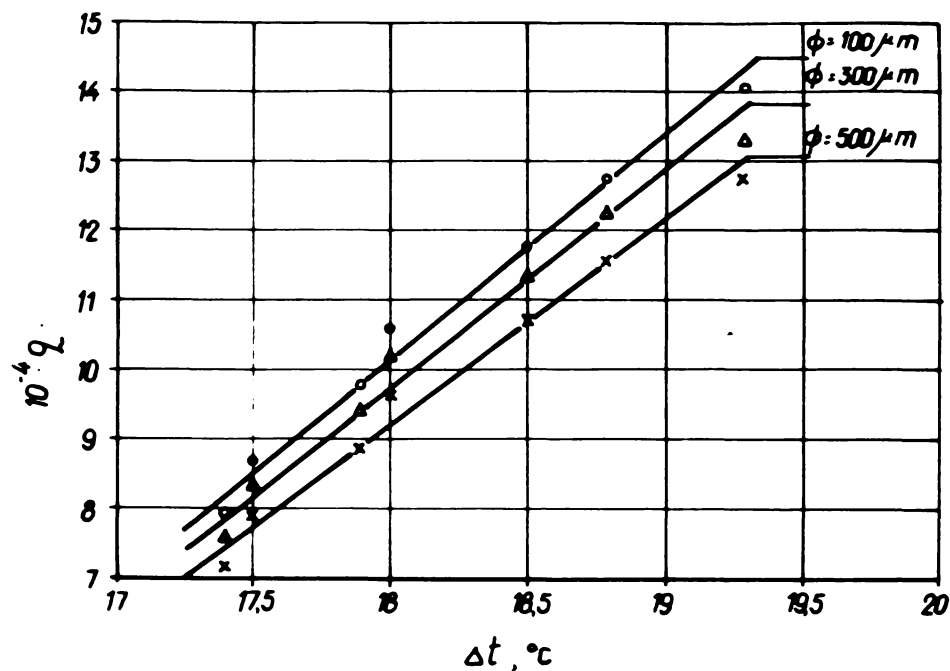


fig. 30-1 - dependența încălzirii termice specifică a suprafeței de încălzire de diferența de temperatură Δt și de diametrul ϕ al firului încălzitor, la fierberea toluenului, la presiunea atmosferică (în coordonate zecimale).

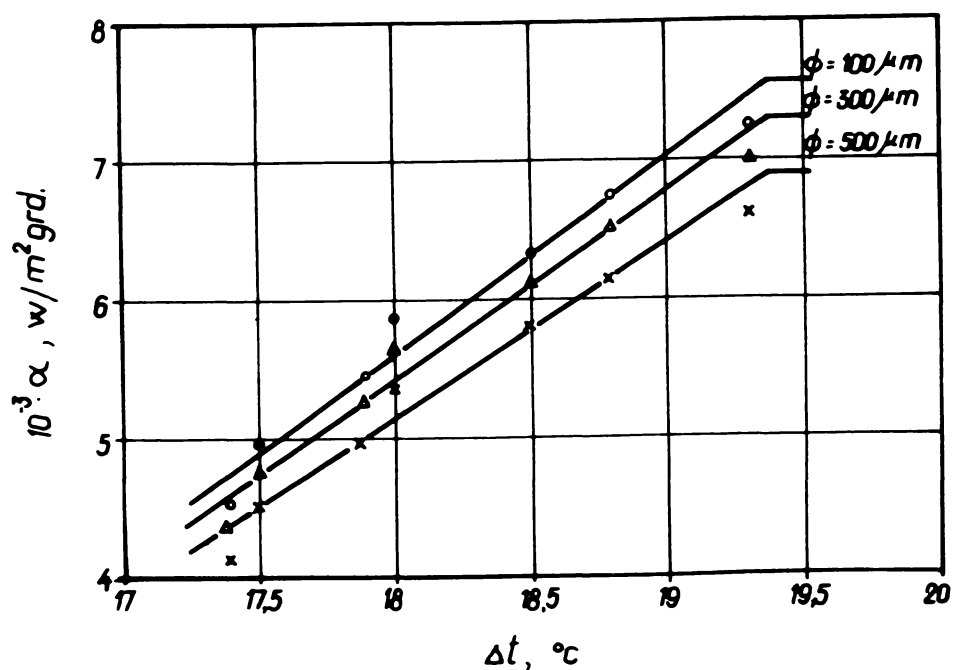


fig. 30-2 - dependența coeficientului de transfer de căldură α la fierbere de diferența de temperatură Δt și de diametrul ϕ al firului încălzitor la fierberea toluenului, la presiunea atmosferică (în coordonate zecimale).

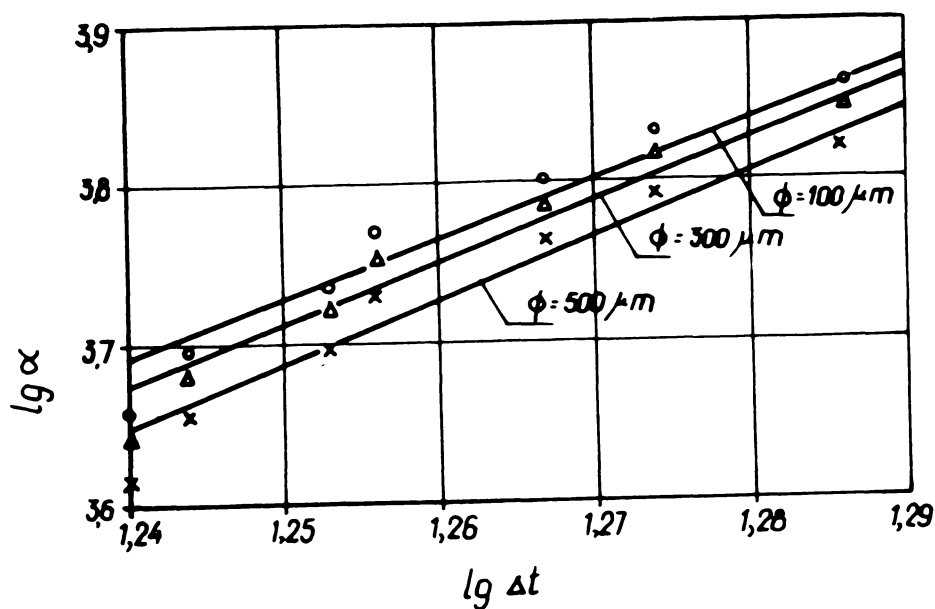


fig. 31.- Dependența coeficientului de tranfer de căldură \propto la fierberea de diferența de temperatură Δt și de diametrul ϕ al firului încălzitor la fierberea tolucenului, la procedeu atmosferic (in coordonate logaritmice).

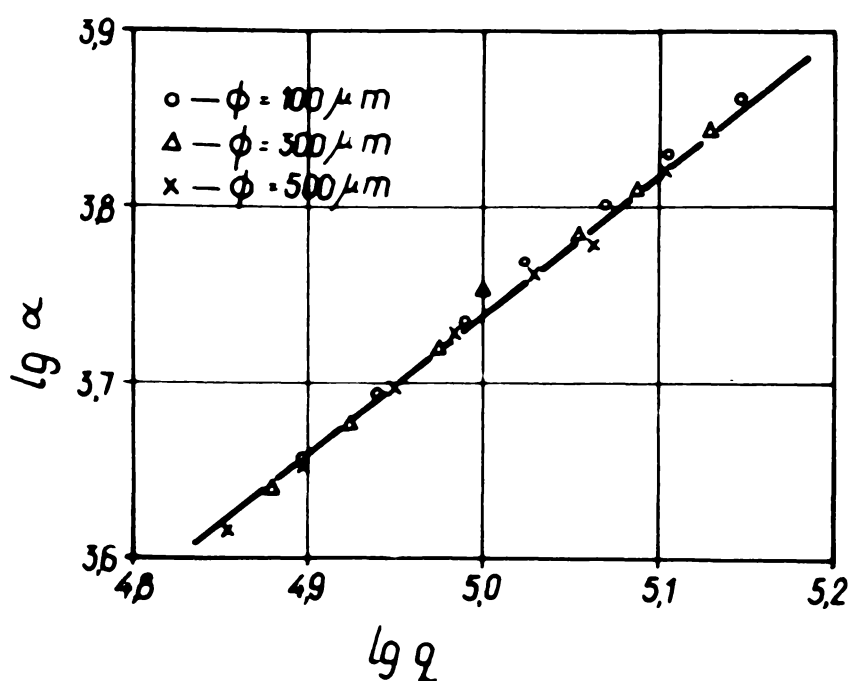
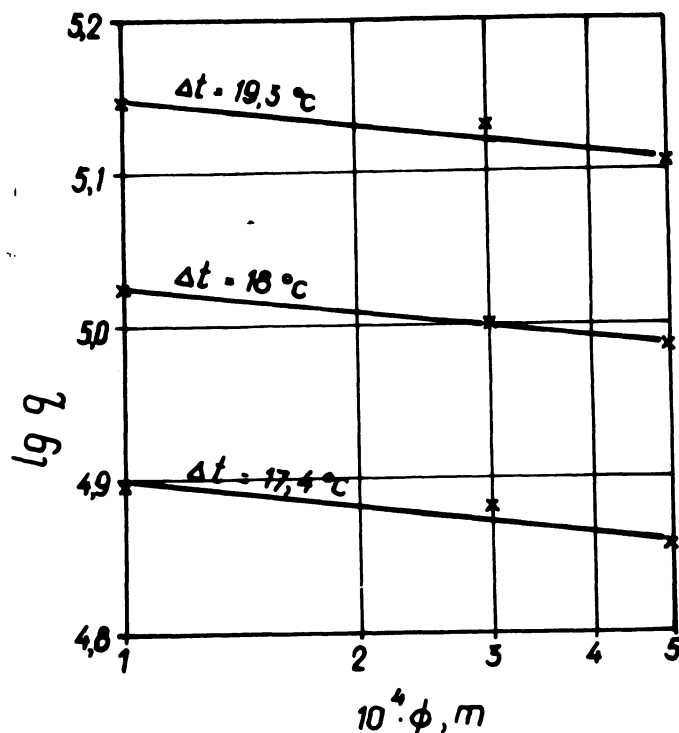


fig. 32.- Dependența coeficientului de tranfer de căldură \propto la fierberea de încălzirea termică specifică a suprafeței de încălzire și de diametrul ϕ al firului încălzitor, la fierberea tolucenului, la procedeu atmosferic (in coordonate logaritmice).

Fig. 93. - Dependența încălzirii termice specifice q a suprafeței de încălzire de diametrul ϕ al firului încălzitor și de diferența de temperatură Δt , la flexarea tolzului, la procedura atemperării.



și figurile 89 - 93.

În tabelul 18 și figurile 89 - 93 prezentate, se constată că, începând cu firul cu diametrul de 4,5 mm, valoarea coeficientului de transmitere a căldurii ∞ la flexare pentru tolz este similară cu cele obținute pe aparatul cu tub cilindric încălzitor (vezi figurile 47 și 49, paragraful 5,3). Dependența lui ∞ de încălzirea termică specifică q este dată de relația:

$$\infty = 0,540 \cdot q^{0,8} \quad (156)$$

Fenomenul de apăzare pe aceeași dreptă a pereteilor de valori 10∞ , $10 q$ în cazul reprezentatii $10 \infty = f(10 q)$, figura 92, pentru cele trei firuri metalice de dimensiuni diferențiate și în cazul transforțării căldurii la flexarea tolzului.

c. determinarea experimentale ale coeficientului de transmitere a căldurii α la fierberea amestecului de 30 masă molară $n-(\beta-\text{cianoctil})\text{-caprolicători}$ în toluen. Sunt efectuat determinările experimentale pe aparatul cu fir prezentat în paragraful 4.3., la presiunea atmosferică, pentru încălziri termice specifice q ale suprafeței încălzitoare cuprinse între $7,3 \cdot 10^4 \text{ J/m}^2 \text{ și } 1,46 \cdot 10^5 \text{ J/m}^2$, pentru fire încălzitoare de platini cu diametrul \varnothing egal cu 0,1 ; 0,3 și 0,5 mm.

Valorile experimentale obținute sunt prezentate în tabelă 19 și figurele 24 - 26.

În tabelă 19 și figurele 24 - 26 prezentate, se constată că, începând cu firul cu diametrul de 0,5 mm, valorile coeficientului de transmitere a căldurii α la fierbere pentru amestec de 30 masă de $n-(\beta-\text{cianoctil})\text{-caprolicători}$ în toluen sunt similară cu cele obținute pe aparatul cu tub cilindric încălzitor (vezi figura

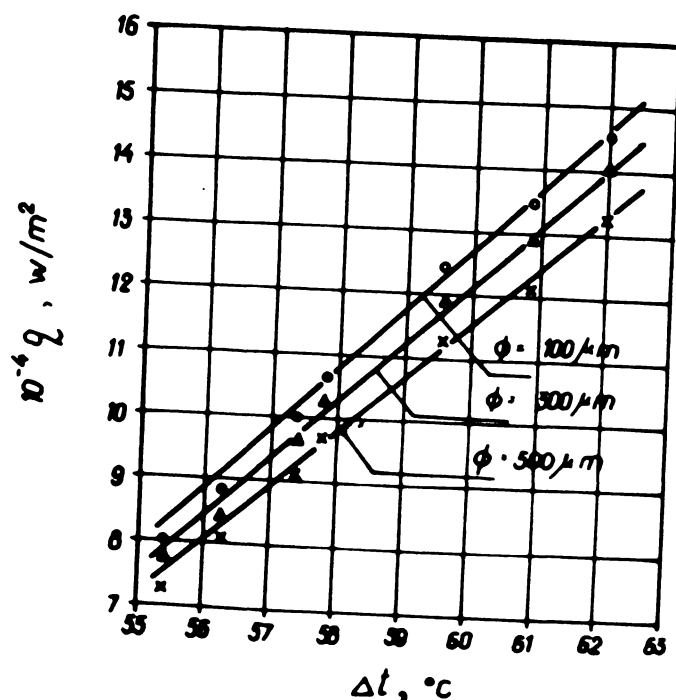


Fig. 24.- dependența încălzirii termice specifice q a suprafeței încălzitoare de diferența de temperatură Δt și de diametrul \varnothing al firului încălzitor, la fierberea amestecului de 30 masă de $n-(\beta-\text{cianoctil})\text{-caprolicători}$ în toluen, la presiunea atmosferică (în coordinate sociale).

Tabelo 12.

Dependență incărcării termice specifice q , a coeficientului de transfer a căldurii α la fierbere și a diferenței de temperaturi Δt de diametru fixului încălzitor, la fierberea acetescoului de 30 secă de α -(β -ciclopentil)-caprolic acid în toluen, la presiunea atmosferică.

Nr. crt.	q W/m^2	Δt		α $\text{W/m}^2 \cdot \text{grad}$	$\lg \alpha$
		13 q	$^{\circ}\text{C}$		
$q = 1 \cdot 10^{-4} \text{ m}$					
1.	66 500	4,935	55,4	1,744	3,451
2.	98 500	4,947	56,3	1,750	3,472
3.	100 100	5,000	57,4	1,759	3,490
4.	106 700	5,020	57,8	1,762	3,495
5.	124 000	5,094	59,6	1,776	3,518
6.	135 000	5,130	60,9	1,794	3,544
7.	145 700	5,163	62,0	1,792	3,570
$q = 3 \cdot 10^{-4} \text{ m}$					
8.	77 400	4,938	55,4	1,744	3,445
9.	84 000	4,929	56,3	1,750	3,474
10.	96 500	4,935	57,4	1,759	3,496
11.	102 300	5,012	57,8	1,762	3,498
12.	119 200	5,074	59,6	1,776	3,501
13.	129 200	5,111	60,9	1,794	3,527
14.	140 400	5,147	62,0	1,792	3,556
$q = 5 \cdot 10^{-4} \text{ m}$					
15.	73 000	4,864	55,4	1,744	3,120
16.	80 500	4,906	56,3	1,750	3,155
17.	91 000	4,939	57,4	1,759	3,200
18.	97 000	4,987	57,8	1,762	3,225
19.	112 700	5,052	59,6	1,776	3,276
20.	121 000	5,085	60,9	1,794	3,301
21.	132 500	5,122	62,0	1,792	3,336

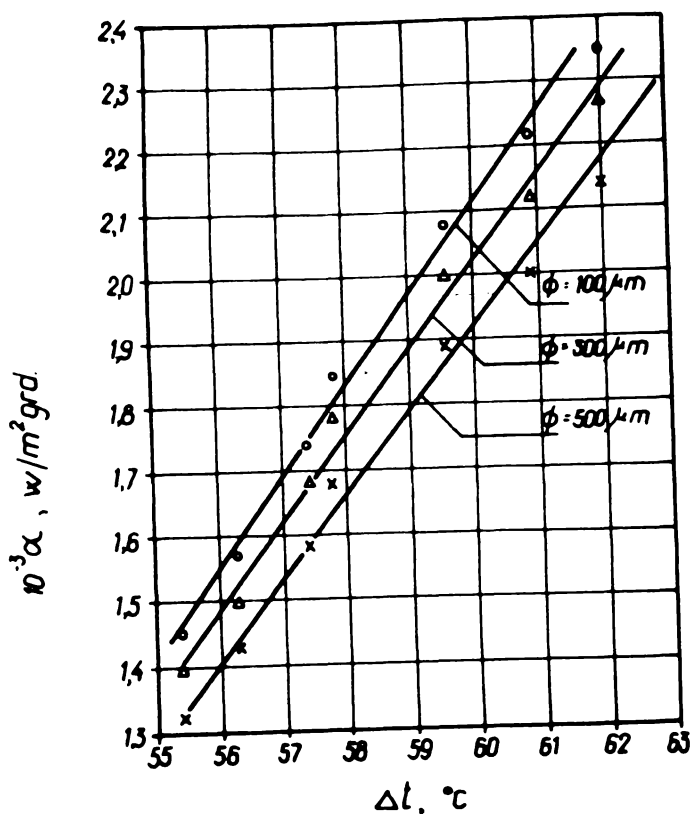


Fig. 15.- dependența coeficiențului de transfer de căldură α la fierbere de diferența de temperatură Δt și de diametru ϕ al firului închisitor la fierberea acetoculuui de $55^\circ C$ și de $n-(\beta-\text{cianoctil})-\text{caproloctam}$ în toluen, la presiunea atmosferică (în coordinate logaritmice).

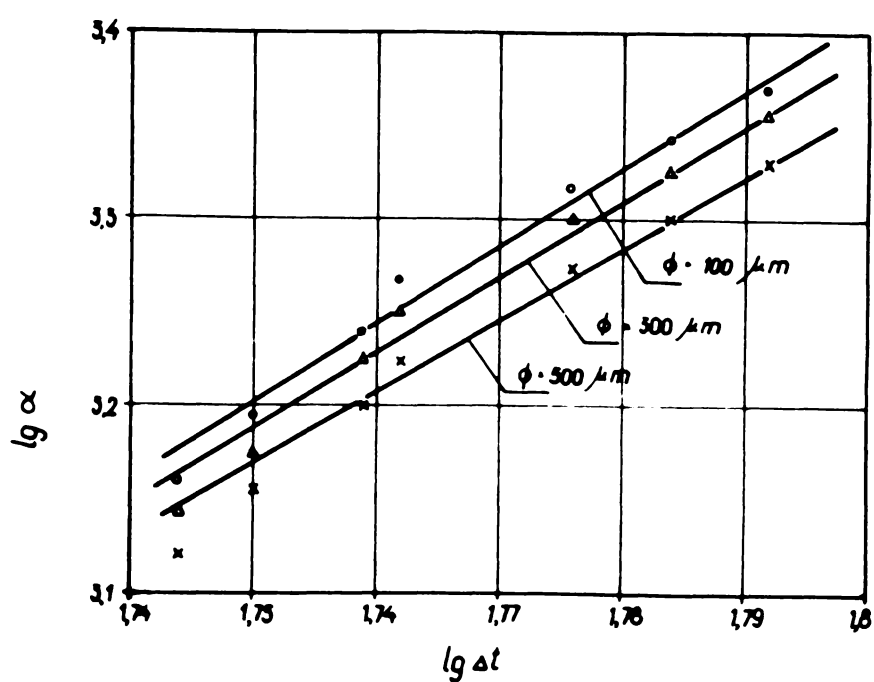
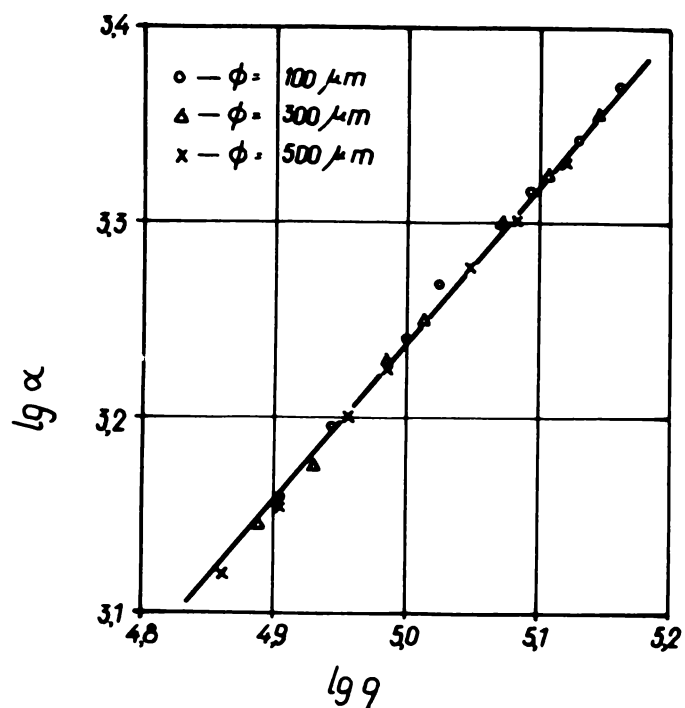


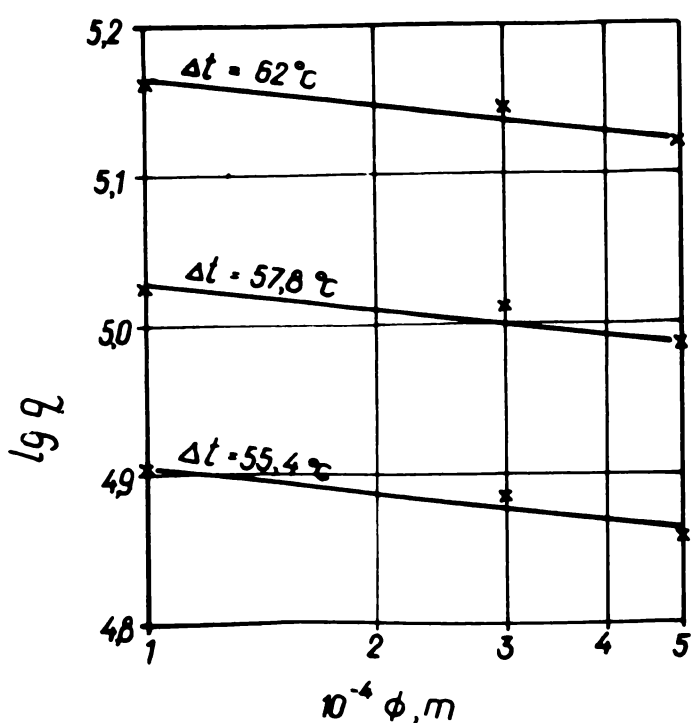
Fig. 16.- dependența coeficientului de transfer de căldură α la fierbere de diferența de temperatură Δt și de diametru ϕ al firului închisitor la fierberea acetoculuui de $55^\circ C$ și de $n-(\beta-\text{cianoctil})-\text{caproloctam}$ în toluen, la presiunea atmosferică (în coordinate logaritmice).



?

Fig. 96.- Dependența închidării termice specifică q a suprafeței de finalizare de diametrul ϕ al firului finalizator și de diferența de temperatură Δt , în fizberca acetocelulai de 3% sau. De $\alpha-(\beta-\text{cianoctil})$ -caprolactam în toluen, la presiune atmosferică.

Fig. 97.- Dependența coeficientului de transfer de căldură α la fizberca de încărcare termică specifică q a suprafeței de finalizare și de diametrul ϕ al firului finalizator, în fizberca acetocelulai de 3% sau. De $\alpha-(\beta-\text{cianoctil})$ -caprolactam în toluen, la presiune atmosferică (în coordonate logaritmice).



(zile 47 și 49, paragraful 5.3.). Dependenta lui α de încărcarea termică specifică și este dată de relația:

$$\alpha = 0,172 \cdot q^{0,8} \quad (137)$$

faptul de:

$$\alpha = 0,17 \cdot q^{0,8} \quad (138)$$

obținută din ecuația $\alpha = 1,31 \cdot c^{0,6} \cdot q^{0,8}$, relația (C), în care $c = 30$ masă m-(β -cianostil)-caprolocteni.

Concordanța este bună. și în cazul fierberii acetatii acetesc, la reprezentarea grafică $\lg \alpha = f(\lg q)$, figura 37, se observă ocazionali drepturi a punctelor paralelelor de valori $\lg \alpha$, $\lg q$, pentru cele trei firuri de diametre diferite.

7.2. Anexelei sănătate posibilităților de utilizare a aparatului cu fir metalic în determinarea valorilor coefficientului de transfer de căldură α la fierbere, cu valabilitate sufici- entă practică.

În urma a coroborării datelor experimentale obținute pe aparatul cu fir metalic, în cazul fierberii apei distilante, a toluenului și a acetescului de 30% masă m-(β -cianostil)-caprolocteni în toluen, și prezentate în tabelele 17 -19 și figurile 34 - 38, se pot face următoarele aprecieri:

- pentru diametre ale firului încălzitor de platini, mai mici de 0,5 mm, valoarea lui q și α experimentale, cresc, adăugați cu scăderea diametrului firului, fapt de cale practică, obținută pe aparatul cu tub încălzitor orizontal, pentru ocazii diferenții de temperatură Δt (vezi figurile 34, 35, 36, 39, 37, 38, 39, 34, 35, 36);
- ocazii lăsat se pune în evidență și în reprezentarea lui α în funcție de Δt , în coordonate logaritmice (figurile 36, 37 și 38);
- în cazul reprezentării lui α în funcție de q (figurile 37,

92 și 97), în coordonate logaritmice, punctele experimentale, împărțite de valoarea diametrului firului de platini, se așază pe același dreptă. Acest lucru se explică prin faptul că, la diferenții de temperatură și constanță, creșterea lui α atrage după sine creșterea în același mod și a lui α . În acest motiv reprezentarea doar în sistemul de axe de coordonate $\lg \alpha - \lg q$ nu este suficient pentru a caracteriza comportarea lui α în funcție de variația diametrului firului. Se impune deci ca o necesitate, reprezentarea variației acestor parametri și în alte sisteme de coordonate, operație care de altfel este fizică;

- se constată și în cazul acestor determinări, aspectele puse în evidență în capitolul 5, și anume: pentru apă, punctul dreptei $\lg \alpha = f(\lg q)$ are cota 0,7, iar pentru oxazocurile organice studiate punctul este egal cu 0,0;
- valorile experimentale ale coeficientului de transfer de căldură α la fierberea celor trei substanțe studiate au același valori cu cele obținute pe aparatul cu tub cilindric închisitor pentru diametre ale firului egale sau mai mici ca 0,5 mm.

Se poate concluziona deci că, aparatul cu fir metalic închisitor, aparat prezentat în paragraful 4.3., poate fi utilizat în condiții optime și cu un grad de siguranță și precizie suficient, la determinarea valorilor coeficientului de transfer de căldură α la fierbere, valori ce ar trebui să fie utilizate în calculul de proiectare termică, atunci când diametrul firului închisitor este egal sau mai mic ca 0,5 mm.

CONCLUSAII

Lucrarea intitulată "Contribuții la studiul transferului căldurii la fierberea soluțiilor și emulsioneilor cu ajutorul tehnicii tehnologice", conține, în partea a doua, formată din patru capitole, contribuții originale ale autorului, în domeniul transferului de căldură la fierbere.

În capitolul 4 se prezintă construcția și funcționarea trei apărate de laborator, apărate cu ajutorul căldurei se pot determina valourile coeficienților de transfer de căldură și a fierberea emulsioneilor și soluțiilor, în diverse condiții și presiuni și temperaturi. Apăratele prezентate au fost proiectați și construite în cadrul Laboratorului de Operații și Apărate din Industria Chimică, Facultatea de Inginerie Chimică - Sinaia. Acele distincție ele, originale, proiectate și construite autor (aparat experimental cu corp încălzitor cilindric cristal, cu încălzire cu vaporii de zirconiu) altfel, existente în laborator, (aparat experimental cu corp încălzitor cilindric cristal, cu încălzire electrică și aparat experimental cu corp încălzitor cu focuri de fix metalic, cu încălzire electrică), coincidențe și adaptările de către autor pentru a servi scopului propus.

Odată cu punerea în practică a tehnicii de lucru, s-a putut trage la efectuarea studiilor propriu ales după cum urmărește.

De în capitolul 5 se prezintă determinările corecte efectuate în vederea determinării valoilor coeficien-

superfață de căldură și la fierberea anesteziazilor și solu-

ză un importanță tehnologică. Se poate în evidență următo-

1. De la locul cu anesteziazii binază formate din două li-

complect nisipibile (cu excepția soluției extracetonico-

nealcool) în domeniile de concentrații recomandate în la-

bo. De remarcat că la majoritatea acestor anesteziazuri, ca-

litatea valorilor coeficientului de transfer de căldură și

fierbere, a apărut ca o cerință obiectivă, ca urmare a nece-

zitării proiectării termice a aparatelor de lucru de căldură,

fierbere. În unele cazuri, pe lîngă intervalul strict practic

există și probleme de interes fundamental ale transferului de

căldură la fierbere (de exemplu soluție-anestezie de extracetonică ne-

alcoolică).

În cadrul în studiu anesteziazuri de apă, benzocen, toluen, n-

amilenglicol (în calitate de solventi) și esprolactam, $\alpha(\beta-$

metil) - caprolactam, extracen, alcool etilic (în calitate

instantane disolvante).

2. Ca și în cazul substanțelor paroase, valoarea coeficien-

ți α la fierbere, la anesteziazuri, crește cu atât cu creșterea in-

tervalului termic specific q și a suprafeței înnălțitoare, respec-

ță diferenței de temperatură Δt , dintre temperatura supro-

feței de inciliuare și temperatura de fierbere a anesteziazurii.

rezultatul constatăză este valabil și pentru precizarea atmosferică

și pentru precizări mai mici decât precizarea atmosferică

corespondă cu observațiile din literatura de specialitate⁴⁷,

, 55, 129, 132.

3. Valoarea coeficientului α la fierbere pentru anes-

teziazuri, scade de la valoarea pentru lichidul par mai volatil,

și valoarea pentru lichidul mai puțin volatil. Această adică

re nu este liniară, constatăndu-se o scădere mai accentuată la început, la concentrația mică ale liqidului și puțin voluntă, și apoi mai puțin accentuată, către concentrația de 100 % a liqidului ca volatilitatea săi să fie;

4. Se constată că, în mod similar, pentru coloțiile apuse și monoetilenoglicolice, coeficientul de transfer de căldură α la fierbere variază direct proporțional cu $q^{0.7}$ pe cărui vreme, pentru coloțiile benzeneice și toluenice, variază direct proporțional cu $q^{0.8}$. În ambele cazuri determinările au avut loc în același condiții experimentale de aparat și regimuri de fierbere în bals. Ictura substanțelor care participă la realizarea anestecicului influențează într-o măsură mică valoarea pantei dreptei $lg \alpha = f(lg q)$. Această observație este în concordanță cu datele din literatură^{64, 65, 128, 131} în care se indică valoarea exponentului lui q cuprinsă între 0,6 și 0,8, ea fiind funcție de natura substanțelor în anestecic, precum și de lucru și gradul de prelucrare al suprafetei;

5. Interpretarea datelor experimentale obținute, prin metoda expusă în paragraful 2.2, nu a fost posibilă, deoarece unul din compoziții anestecicilor binari, caproilactam sau $n = (\beta - clorozil) - caproilactam$, în combinație de lucru, înainte de a atinge punctul de fierbere, peste 300°C , se polimerizează și apoi se decoagănează. Se apreciază deci că, în ceea ce înseamnă înainte de a atinge punctul de fierbere, adică cete termolabil, casul frecvent al compușilor organici, metodologia de determinare a coeficienților de transfer de căldură α la fierbere expusă și aplicată în cadrul capitolei 5, rămâne să fie utilizată și pe viitor. În ceea ce mai rapid și mai eficient, confacând la rezultatele directe și sigure;

6. Studii întreprinse acasă saluțiilor de extracție în acetileniglicol au pus în evidență, în general, aceleasi concluzii cu cele prezentate anterior, cu excepția variațiilor care apar în domeniul de concentrații $\phi = 1,7 \pm$ extracție. Așa după cum sună arătat, acest lucru se explică prin excesul cărui extracțional favorizează acetileniglicolul acetrop la concentrație de 1,7% extracție, acetrop la comportament de sinestititor.

7. În acetecazile studiate, valorile coeficientului α se pot calcula cu relații de forma:

$$\alpha = (a + c^2 + b + c + e) \cdot q^2$$
$$\alpha = (a_1 + c^2 + b_1 + c + e_1) \cdot \Delta t^{a_1}$$

cum:

$$\alpha = k \cdot C^2 \cdot q^2$$
$$\alpha = k_1 \cdot C^2 \cdot \Delta t^{a_1}$$

valorile coeficientilor și exponentilor calculindu-se din datele experimentale.

8. Referindu-ne la problematica determinării valorilor coeficientului de transfer de căldură α la fierbere în cazul soluțiilor apăsă de substanțe cu solubilitate limitată, problematică tratată în cadrul capitolului 6, se poate conchide următoarele:

8. Sistemul binar apă - substanță dizolvată poate fi considerat a fi format dintr-un acetec , în proporții diferite de apă și soluție apăsă saturată, deci limitat într-o parte de apă fier în contactă de soluție apăsă saturată;

9. Se introduce termenul de coeficient de transfer de căldură ideal, α_{ideal} la fierberea soluțiilor apăsă de substanțe cu solubilitate limitată și s-a stabilit relație generală de calcul în funcție de natura substanței溶解的, de cunos-

trăția soluției, de precizia de lucru și de îndreptarea tehnicii specifici și a suprafeței încălziitoare;

10. În îndrăzni termice specifice și constante, la o presiune corectă de lucru constantă, se obține stabilitate pentru α_{ideal} conștientă unei familii de drepte care se paralelă de întărire situit pe abscisa. Acea pac în evidență în acest mod existența unei anumite regularități în ceea ce privește variația valorilor coeficientilor de transfer de căldură α_{real} la fierberea soluțiilor apărate de substanțe cu solubilitate limitată;

11. Pe baza regularității observate și a modului de variație a parametrilor de care depinde fierberea apă propus o nouă relație de calcul pentru coeficientul de transfer de căldură real, α_{real} , la fierberea soluțiilor apărate de substanțe cu solubilitate limitată, de forma:

$$\frac{\alpha_{real}}{\alpha_{ideal}} = 1 + C \left(\frac{x}{x_{sat}} - \frac{\Delta p}{\Delta p_{sat}} \right)^d$$

și se indică metoda de efectuare a calculului, aplicarea relației pentru întreg domeniul de concentrații ($x = 0$ pînă la $x = x_{sat}$) și îndrăzni termice specifice și a suprafeței încălziitoare, necesari un număr minim (trei) de determinări experimentale pentru α_{real} .

12. Relația de calcul a fost verificată pentru soluții apărate de acizat de potasiu și fosfat dihidric, la presiuni atmosferice și presiunea de 300 m ac (4.10⁻⁴ N/m²). Datele rezultate din calcule prezintă o suartă bună concordanță cu datele experimentale proprii, precum și cu cele existente în literatură^{73,75} pentru aceste soluții, ceea ce confirmă valabilitatea relației de calcul propuse.

13. Se prezintă modelul matematic, relația (13), al

fierbezelui de fierbere pentru soluțiile apăne de substanțe cu solubilitate limitată, precum și substanțe legiole (organizme) și programul pe calculator, în limbaj FORTRAN, al relațiilor de calcul a valorilor coeficientului de transfer de căldură α la fierbere; ca exemplu se dă și un exemplu de calcul pe calculator, confoga acestui program, rezultatele obținute concordă cu cele experimentale.

13. În urma preocupării și interpretării datelor experimentale obținute pe aparatul cu fir metalic încălzitor, proiectat în tratatul în cadrul capitolului 7, și ca urmare a comparii acestor date cu datele obținute pe aparatul cu corp cilindric încălzitor, date considerate drept valori de referință, pentru apă distilată, toluen și amestec de 30% mesil n-(β -miozoetil)-caproacetat în toluen, se poate scrie că:

14. Aparatul cu fir metalic încălzitor poate fi utilizat în condiții optime și cu un grad de siguranță și precisie suficient, pentru determinarea valorilor coeficientului de transfer de căldură α la fierbere, valori ce ar trebui să fie utilizate în calculile de proiectare termică, atunci când diametrul și lungimea firului încălzitor este egal sau mai mare ca 0,5 mm.

15. La valori mai mici ca 0,5 mm ale diametrului firului încălzitor, incircarea termică specifică q și suprafața firului crește mult, ceea ce strâng după sine și creșterea lui α , pentru valori constante ale diferenței de temperatură Δt .

În concluzie, se poate spune că, prezintă lucrare însoțită de înțelegere cercul cunoștințelor în domeniu:

- noțiunile fundamentale ale fenomenului fierbezii și soluțiilor apăne de substanțe cu solubilitate limitată;

- fierbezii amestecurilor și soluțiilor bazate de substanțe organice, amestecuri cu importanță tehnologică, stabilind valorile coeficientului de transfer de căldură α , pentru o se-

xie de anestezici și soluții, precum și posibilitățile și metodele de abordare ale fenomenului fierberii în aceste cazuri;

- posibilitățile de aplicare ale aparatului cu fir metalic insilizator la determinarea experimentală a valorilor coeficientului de transfer de căldură α la fierbere, valori care în urmă să fie utilizate în continuare la proiectarea termică a utilajelor chimice.

DEFINITIONE

Acolo unde noțiunile utilizate au altă semnificație decit cea indicată în cele ce urmăresc, explicațiile necesare sunt date în text.

- A = aria suprafeței, m^2 ;
- A' = activitatea, J;
- C = concentrația substanței溶解的, : mol/l;
- C₀ = constantă;
- F_L = forța exercitată de lichid la presiune constantă(= 1.2), N;
- F_V = forța exercitată de vaporii la presiune constantă(= 1.2), N;
- F_T = forța de tensiune superficială, N;
- G₂ = debitul de lichid, kg/s;
- I = intensitatea curentului încilitor, A;
- I_{st} = constantă;
- N_H = concentrațiile celor doi compoziți (1 și 2) în soluție termică, : mol/l;
- P = presiunea, N/m²;
- P_r = număr Prandtl;
- R = rază de curbură a suprafeței de separație lichid-vapori, m;
- Re = număr Reynolds;
- R_{res} = rezistența electrică a corpului încilitor, ;
- S = antropie, J / K (≈ 1.2);
- T = temperatură, °K;
- T_p, T_{per} = temperatura peretelui suprafeței încilitoare, °K;
- U = energia interală, J;
- V = volumul, m^3 ;
- X, x = concentrația fracțională a volatililor în lichid sau a substanțelor solide溶解的, fructii calore;
- y = concentrația fracțională a volatililor în vaporii, fructii calore;

a, b, c_0

- a_2, b_2, c_2 = constante;
- c = căldură specifică, $J/kg \cdot \text{grad}$;
- c = concentrație gazului, $\text{kg/kg} (\pm 1\%)$;
- d = diametrul tubului cilindric încălzitor, m ;
- g = accelerarea gravitațională, m/s^2 ;
- h = constantă lui Planck, $6,63 \cdot 10^{-34} \text{ J} \cdot \text{s}$;
- k = constantă lui Boltzmann, $1,38 \cdot 10^{-23} \text{ J/K}$;
- l = lungimea tubului cilindric încălzitor, m .

n, n_1, n_2

- n_1, k_1, k_2 = constante;
- z = căldura latentă de vaporizare, J/kg ;
- z_0 = rază găzii covității, m ;
- q = încărcare termică specifică a suprafeței încălzitoare, W/m^2 ;
- t = temperatură, $^\circ\text{C}$;
- v = viteză de fierbere, $\text{m}^3/\text{m}^2 \cdot \text{s}$;
- ∞ = coeficient de transfer de căldură la fierbere, $\text{W/m}^2 \cdot \text{grad}$;

β = constante;

Δp = diferență de presiune, Pa ;

$\Delta T, \Delta t$ = diferență de temperatură, grad ;

= grosimea peretei încălzitoare, m .

$\frac{\partial}{\partial x}, \frac{\partial}{\partial y}, \frac{\partial}{\partial z}$ = diferențială parțială;

Σ = constante;

λ = conductivitatea termică, W/m \cdot grad ;

μ = viscositatea dinanică, kg/s \cdot m ;

ν' = rezine definite de ec.(17);

ρ = densitatea, kg/m^3 ;

σ = conductivitatea electrică, $\Omega^{-1} \cdot \text{m}^{-1}$ (f. 4+3);

- C = tensionen superficiale, N/m;
S = diametru firului metalic, m

Indici:

- a = apă;
ox = oxitic;
o = exterior;
p = florbere;
i = interior;
l = lichid;
c = paronstrui caracteristica mediuui ambient oc conditiiile noastre;
p = presiune constantă;
sat = satuație;

Elemente:

- G = gaze;
L = lichide;
V = vaporii.

BIBLIOGRAPHY

1. JACOB H., LIEKE W.: Phys. Zeits., 36(8), 267, 1935.
2. CICCHETTI M.F., BOHILLA G.F.: Recens. Amer. Inst. Chem. Engns., 41, 755, 1945.
3. KIRIHARA H.M., MYERS J.E.: Amer. Inst. Chem. Engns. J., 6(1), 83, 1960.
4. ROSENBLIT I.H., WEINHAZL J.W.: Amer. Rocket Soc., Propellants Combustion and Liquid-Rocket Conference, 26-28 apr., 1961.
5. SAMANIAKIAN G.: Chem. Eng. Techn., 25, 477, 1955.
6. ROHNEDL W., GRIFFITH P.: Chem. Engg. Progr. Symp., 50(18), 47, 1956.
7. LOWRY A.J., WESTBURN J.W.: Ind. and Engg. Chem., 49(9), 2445, 1957.
8. DIXON TH., WESTBURN J.W.: Chem. Eng. Progr. Symp., Dec. 57(32), 173, 1961.
9. VAN OJIK W.H., VAN STRALM S.J.B.: Chem. Eng. Techn., 37(5), 509, 1965.
10. KUHLTOV H.H., BURAKOV D.A.: Teploenergetika, no. 1, 70, Jan., 1966.
11. PRATE W.: Chem. Eng. Techn., 35(11), 753, 1963.
12. SZILTONOVI J.: Revue de Phys. Acad. R.P.R., Tom VI, 1961, Suppl.
13. KUTATLAZIS S.S., LEONTIWA A.I., KIRDIASHVIL A.G.: Chem. Eng. Techn., 5, 590, 1966.
14. HUKIYAMA S.: Soc. Indus. Engg. Japan, 37, 206-267, 1934.
15. WESTBURN J.W., SAMADGHOI J.G.: Eng. Engg. Chem., 47, 1603, 1955.
16. KUTATLAZIS S.S.: Teploperedacha pri Zondovani i Kipenii, 2-477., N.P.-Enggdis., 1952 (trad. din I. russ.).
17. HOLLAN E.A., SCHIEBEL V.E., PAULIUS D.: J. Appl. Phys., 27(2), 193, 1956.
18. DONALD H.D., HALLAN F.: Chem. Eng. Ind., 8(3-4), 257, 1953.
19. PARKINS A.S., WESTBURN J.W.: A.I.Ch.E. Journal, 2(4), 471, 1956.
20. SHIROV V.P., SHIROV L.P.: Usp. fiz. nauk, 84, 727, 1964 / Sov. Phys. Usp., 7, 837, (1964-1965).
21. LOMA T.D., HULME A.C.: Trans. Am. Inst. Chem. Engns., 33, 449, 1937.

22. LARIKOV LeLo: Toploemenezet, 3, 60, 1963.
23. MIROPOLSKII Z.L.: Toploemenezet, 3, 49, 1963.
24. BROMLEY R.A.: Chem. Eng. Prog., 46, 221, 1950.
25. WADAMS W.H., ADAMS J.H., RIBALLO P.H., LAY R.S.: Chem. Eng. Prog., 44, 639, 1948.
26. BAHKOFF S.G.: AIChE Chem. Eng. Prog. Symp. Series, Vol. 57, No. 32, p. 156-172, 1961.
27. COLL R.: Advances in Heat Transfer, vol. 10, p. 85-166, 1974, Academic Press, Inc.
28. BACKER R., DÖRING K.: Ann. Phys. (Leipzig), 24, 729, 1935.
29. VOLMIK A.: "Kinetic Theory of Liquids" Steinkopff, Dresden-Leipzig, 1939.
30. PRAKAL J.: "Kinetic Theory of Liquids" Dover, New-York, 1975.
31. BLISS H.: Indust. Chem., 44, 1284, 1952; C.A. 46 10469(1953).
32. LOTHE J., FOURL G.H.: J. Chem. Phys., 36, 2090, 1962.
33. RAIS H., HAIZ J.L., COLLIN R.H.: J. Chem. Phys., 48, 5353, 1968.
34. ZETTLHÄUSER A.G. ed.: "Nucleation", Dekker, New-York, 1969.
35. FISH M.J.C.: J. Appl. Phys., 19, 1062, 1948; C.A. 46 14(1949).
36. TURNBULL D.: J. Chem. Phys., 10, 198, 1950; C.A. 7620(1951).
37. BAHKOFF S.G.: Trans. AIChE, 79, 735, 1957.
38. LORENZ J.J., NIKIC B.B., ROHSEIER W.H.: Heat Transfer 1974, vol. IV, Proceedings of the 5th International Heat Transfer Conference, Tokyo, Japan, p. 35-39.
39. KOTOWSKI E.L., GROSS G., SPILLER E.H.: Heat Transfer 1974, vol. IV, Proceedings of the 5th International Heat Transfer Conference, Tokyo, Japan, p. 320-324.
40. STEPANOVIC M.: Heat Transfer 1974, vol. IV, Proceedings of the 5th International Heat Transfer Conference, Tokyo, Japan, p. 320-324.
41. SCHNEIDER H.A.: Atomkernenergie (ATKE), Bd. 24(1974), Nr. 4, p. 243.
42. CARL G.A., BALAKRISHNA A., HOPPE F.G.: J. Basic. Eng., 95, 693, 1973; C.A. 66 121(1972).
43. PORSTEN R.L., ZUBER B.: AIChE Journal, vol. 1, 1955, p. 531.

44. FURTER E.E., GRIFF R.: *Advances in Heat Transfer* 81, 6,
1 feb. 1959, p.43-53.
45. GLENN C.R.: *Chem. Eng. Progr.*, 54, 10, 1958, p.77-79.
46. LIVY: *J. Heat Transfer*, vol. 81, no. 1, feb. 1959, p. 37-42.
47. KUZNETSOV S.A.: "Fundamentals of Heat Transfer", Academic Press
1963, p. 362.
48. TIEG C.L.: *Int. J. Heat and Mass Transfer*, 1, 533, march, 1962.
49. BROGLIATO L., KOMI L., IOVI A., GROBLIANO RODICA, KOBARU H., JASCHI
V.: "Provenenie problem himieckoi tehnologii", Leningrad, 1975, p.83-97.
50. *Westwater Hartner* M. J. et al.: Lecture series on Boiling and two phase flow
for Heat Transfer Engineers, Ed. H. A. Johnson, Univ. of
California extension, 1965, p. 109-123.
51. GALLAGHER R.F., HALLIBURTON J. et al.: *Chem. Eng. Progr.* May p. 55-56, 57-36,
39(1960).
52. LILLYEV N.: "Fundamentals of Heat Transfer" (translated from
1960), Pergamon Publishers, London, p. 116-132.
53. LILLYEV N., DOBRETT J., JONES J.: *Advances in Chemical Engineering*, vol.
1, Academic, New York, 1956, p. 2-73.
54. VAN DRAALIK D.J. et al.: *Int. J. Heat Mass Transfer*, 10, no. 12, 1967(1967).
55. KURATOWSKI W.: *Osnovy teorii toploobmena*, Izd. Naukova,
1957, p. 239-291.
56. LINDNER W. et al.: *Chem. Ing. Techn.*, 27, no. 5, 242(1955).
57. FRANKLIN E.: *Heat Transfer 1970, Fourth Intern. Heat Transfer Con-*
ference, Paris-Versailles 1970, vol VI, B, 7-2.
58. LINDNER W., WOLFGANG G.P., HORNUNG R.H.: *Trans. Am. Inst. oct. 1395(1955)*.
59. COOK W., CLIFFORD C.J., HILL C.J.: *Int. J. Heat Mass Transfer*, 10, no. 7,
931(1967).
60. KONDRATYEV P., ZILMAN A.C.: *Int. J. Heat Mass Transfer*, 13, no. 1,
635(1970).
61. VAN DRAALIK D.J. et al.: *Int. J. Heat Mass Transfer*, 11, 1491(1968).
62. VAN DRAALIK D.J. et al., WILSON R.M.: *Int. J. Heat Mass Transfer*, 12,
1352(1969).

63. LIOETILOVA Z.A., GALEV V.Y.: Klin. Reft. Technostek, 12, 19
(1967); C.A., 68, 14, 60360 (1968).
64. GRIGOREV V.B.: Topofiz. Vizok, Zapo., 6, nr. 1, 127 (1968).
65. ^{Sternlyuk} S. A., GLASS G.V., TIKHONIK L.S.: Chem. Eng. Sci., 16, nr. 3, 297 (1961).
66. BISCHI L.A., HEDRUM J.C.: Jellact Jass Transfer, 25, nr. 3, 215,
Huber (1963).
67. GRIGORIEV V.B., KALINOVIC I.K., UZMANOV A.O.: Int. Chir. Anas., 8,
nr. 1, 39 (1969).
68. POLUBILSKI V.Z., OSTRIVSKIY V.B.: Korrektivniy topofizmen,
kod. Nauk Ukrainskiy Soj. Nauk, Izd. Naukova Dumka, Kiev, 1965.
69. POLUBILSKI V.Z., OSTRIVSKIY V.B.: Topofizmeni ghidrodinamika v
dvuhfaznykh sredakh, Izd. Naukova Dumka, Kiev, 1967, p. 9-17.
70. VAN STRAETE G.J.D.: Intellact Jass Transfer, 10, nr. 11, 1469,
1967.
71. VAN STRAETE G.J.D.: Intellact Jass Transfer, 10, nr. 11, 1469,
1967.
72. CHOPALAU Z., ROMEI L., IOVI A.: Rev. Roumaine de Chim., 12, nr. 3,
435 (1967).
73. CHOPALAU Z., ROMEI L., IOVI A.: Rev. Roumaine de Chim., 12, nr. 6,
721 (1967).
74. CHOPALAU Z., ROMEI L., IOVI A.: Bul. St. si Tehn. al I.P.T. din
Buc., seria Chimie, 15(29), nr. 1, 31 (1970).
75. CHOPALAU Z., ROMEI L., IOVI A.: Rev. Roumaine de Chim., 24, nr. 6,
721 (1969).
76. CHOPALAU Z., ROMEI L., IOVI A.: Rev. Roumaine de Chim., 24, nr. 7,
873 (1969).
77. CHOPALAU Z., ROMEI L., IOVI A.: Rev. Roumaine de Chim., 14, nr. 4,
491 (1969).
78. CHOPALAU Z., ROMEI L., IOVI A.: Rev. Roumaine de Chim., 15, nr. 6,
807 (1970).
79. CHOPALAU Z., ROMEI L., IOVI A.: Rev. Roumaine de Chim., 16, nr. 1,
45 (1971).
80. ROM L.: Contributii la studiul transferului de cilduri la
stierbese coloajile, teză de doctorat, Timișoara
1972.

11. MUNI L., GIO. SIAHU POLICA: Bol. Inst. Tech. Univ. Politecnica al I.P. Timisoara, Ser. Chimie, 16(30), nr. 1, 111 (1971).
12. CHURILANU Z., HOMI L., IONI A.: Rev. Recenzie de Chim., 14, nr. 8, 1031 (1963).
13. CHURILANU Z., JAPCAIU V., HOMI L.: Bol. Inst. Tech. Univ. Politecnica al I.P. Timisoara, Ser. Chimie, tom. 19(33), fasc. 1/1974, pg. 56.
14. STEPHAN K.: abholl. des Dt. Heatetechn. Vereins, nr. 10, 1964, p. 98.
15. HAPPEL O., STOHLER K.: Heat Transfer 1974, 5-7-8, Proceedings of the 5th International Heat Transfer Conference, Tokyo, Japan, p. 340.
16. CHURILANU Z.: Paper presented at the Conference on Heat and Mass Exchange, Inst. 1963.
17. ALJANI U.: Proceedings of the 3rd Intern. Heat Transfer Conference, 1966, III, p. 175.
18. HÖGLIN W.: Dissertation, Aachen, 1967.
19. DOLAN T., WILSWATER J. E.: Aero-Rocket Soc., Propellants Combustion and Liquid Rockets Conference, 26-28 apr. 1961.
20. LIIV V. I., GORYA V. V., DUDOVSKI S. P.: Rezonansergetika, 12, nr. 18, 73 (1965).
21. JAHNKE C. G.: Am. Ind. Chem. Eng. J., 7, nr. 3, 403 (1961).
22. KATO Y., MIYOSHI T.: Int. J. Heat Mass Transfer, 13, nr. 8, 1299 (1970).
23. KELCI R., KELCI J., WILLIS A.: Int. J. Heat Transfer, 13, nr. 3, 503 (1970).
24. ISALAIN R. A.: "Heat Transfusioin" McGraw-Hill Book Company Inc., New-York-London, Ed. III, 1954, p. 369.
25. KATO Y., YOKOYA S., YASUHARA H.: "Heat Transfer 1970" Fourth Intern. Heat Transfer Conference, Paris-Versailles, 1970, vpl. V, p. 3-2.
26. JORDAN R., AL JAIKH A. G.: NASA Accession 65-15048, Sept. 12, 1965 - 216 (1965); Col. 63, nr. 12, 19874 (1965).
27. LIIV V. I., GORYA V. V.: "Advances in Chemical Engineering", vol. II, Acad. Press, New-York, 1958, p. 1-30.
28. VAN GENDELL G. J.: 6th International Congress on Highspeed photogaphy, Hague-Denveringen, 17-22 sept. 1962, p. 934.
29. VAN GENDELL G. J.: Int. J. Heat Mass Transfer, 11, 1467 (1968).

103. VAN DER ALDE G.J., DE GROOT H.H.: Int. J. Heat Mass Transfer, 12, 187(1969).
104. VAN DER ALDE G.J.: Chem. Eng. Sci., 25, 149(1970).
105. VAN DER ALDE G.J.: "Heat Transfer 1970" Fourth Intern. Heat Transfer Conference, Paris-Versailles, 1970, vol. VI, p. 766.
106. VODKOVIC Dele, MAJERLOVA Milena: Intern. J. Heat Mass Transfer, 8, no. 11, 1421(1965).
107. VODKOVIC Dele, SCHROEDER V.: J. Heat Transfer, 85, no. 3, 261(1963).
108. VAN DER ALDE G.J.: Chem. Eng. (Div.) 4, no. 2, 78(1959).
109. PHILIPPSOVA Svetla, JURKAV J. B.: Ind. Eng. Chem., 50, no. 5, 837(1958).
110. CANTRELL W.A.: Chem. Eng. (Div.) 9, no. 2, 93(1963).
111. CALLEGARI J. E., HALEY R. F.: Chem. Eng. Sci., 20, 711, (1963); Chem. & Ind., 64, no. 3, 3476(1960).
112. KALINOV V. B., PAVLOV Petr, SAMITOV A. B.: Toplofiz. Vysokih Temp., Akad. Nauk SSSR, 3, no. 5, 722(1965).
113. BENJAMIN J. S., CALLEGARI J. E.: "Int. Heat Transfer Conference", Boulder, Colorado USA, Aug. 1961.
114. DANGA R. R., DANGA R. J.: Am. Inst. Chem. Eng. J., 13, no. 5, 872(1967).
115. DANGA R. R., DANGA R. J.: Indian J. of Phys., 41, 7, 516(1967); Chem. & Ind., 6027(1968).
116. DANGA R. R., DANGA R. J.: Chem. Eng. Progr., 58, no. 17, 67(1962).
117. DANGA R. R., DANGA R. J.: Chem. Eng. Progr., 58, no. 17, 67(1962).
118. DANGA R. R., DANGA R. J.: Toploenergetika, 7, 27(1958).
119. DANGA R. R., DANGA R. J.: Holodilin Techn., 42, no. 2, 36(1965); Chem. & Ind., 63, no. 3, 19(1965).
120. DANGA R. R.: Einwirkung von Boxgang bei der Verdampfung unter hohen Drucken (Dissertation), Berlin, 1966.
121. DANGA R. R., LUGGEMAN H. L., HEND G.: Int. J. Heat Mass Transfer, 9, no. 4, 235(1966).
122. DANGA R. R.: Chem. Eng. Techn., 39, no. 1, 73(1966).

123. BOBINS V.A.: *Polimeregetics*, 5, 61, 1958.
124. MICHIGORI I., HAKAJIMA T., IBODE S., ITO Y.: *Ind.Chem.Jpn.*, 10, no.1, 151 (1970).
125. TURAN D., COHAN C.P.: *J. Heat Transfer*, 93, no. 96, 1 (1971).
126. A. OLBRADDE R.H., MACLAUGHLIN P.C.: *J. Heat Transfer*, 93, no. 96, 11, (1971).
127. HUA SHI L., LINHARD J.: *Int.J. Heat Transfer*, 13, no. 9, 1423 (1970).
128. BIER K., CORTEPILO G., RICHTERUSCHL G.: *Chem.Ing.Techn.*, 45, Jahrg. 1973, no. 14.
129. LINHARD J.H., HUA V.E., RICHARD D.H.: *Transactions of the ASME, J.of Heat Transfer*, nov. 1973, p.477.
130. WILDE J.R., JULL R.L.: *Transactions of the ASME, J.of Heat Transfer*, nov. 1973, p.493.
131. CORTEPILO G.: *Chem.Ing.Techn.*, 40, Jahrg. 1968, Heft 15, p.737.
132. BANCIL J., SCHNEIDER E.U.: *Chem.Ing.Techn.*, 45, Jahrg. 1973, no. 6, p.343.
133. HUGG G.: *Int.J. Heat Transfer*, vol. 16, p.1611-27, 1973.
134. GROPSIAU Z., JĂSCĂIU V., ROHES D., IOVI A.: *Bul. St. și Tehn. al L.P. Timișoara, fasc. 2/1976* (^{P.275} cu 2 tipuri).
135. BRĂTU L.A.: "Operații și utilaje în industria chimică" Ed. Tehnică, București, 1970, vol. II, p.66.
136. PAVLOV K.F., ROMANOV P.G., BOGDANOV A.A.: "Exerciții și probleme la cursul de procese și operații din tehnologia chimică", Ed. Tehnică, București, 1972 (trad. din I. Rus).
137. GROPSIAU Z., JĂSCĂIU V., ROHES D., IOVI A.: *Bul. St. și Tehn. al L.P. Timișoara, fasc. 1/1977* (cu 2 tipuri).
138. x x x "Spesocinio esotico" tom. 2, Instalatii "Midea", BUCURA, 1969, p.173.
139. IOVI A.: "Tehnologia aciunilor fizice și a fenomenelor tehnice", Edit. L.P. Timișoara, 1973, p.236.
140. IOVI A.: "Tehnologia ingrijinătoare minereale", Edit. L.P. Timișoara, 1970, p.391.
141. GROPSIAU Z., JĂSCĂIU V., ROHES D., IOVI A.: *Bul. St. și Tehn. al L.P. Timișoara, fasc. 2/1977* (cu 2 tipuri).

142. GROPSIANU Z., JĂNGAȚU V., AGRIH D.: Analele Universității din Galati, fasc.1/1976.
143. CUIBALI P., JĂNGAȚU V., RUDIL L.: Contract de cercetare științifică încheiat cu CNCS, perioada 1970-1975.
144. PARASCHI V. C., BĂNDOLIU A. C.: Transactions of the ASME, J. of Heat Transfer, nov. 1971, p. 400.
145. VEZINAU P., PARASCHI V.: "Elemente teoretice în tehnici" Ed. Tehnică, București, 1968.
146. PAVLOV D. V.: "Studiu experimental ai proceselor de transmisie a căldurii", Ed. Tehnică, București, 1956 (trad. din rusă).
147. VASILESCU I., MIRAIL R.: "Tehnologia sintezei monomerilor", Ed. Tehnică, București, 1966, p. 919.
148. x x x International Critical Tables, 3, 221.
149. GROPSIANU Z., JĂNGAȚU V., AGRIH D.: A Cincoa Conferință Republicană de Chimie Fizică Generală și Aplicații, 1-4 sept. 1976, București, România.
150. GROPSIANU Z., JĂNGAȚU V. și alții: Contract de cercetare științifică nr. 115/1976.
151. SIZMAN R.: Angew. Chem., 71, 243 (1959).